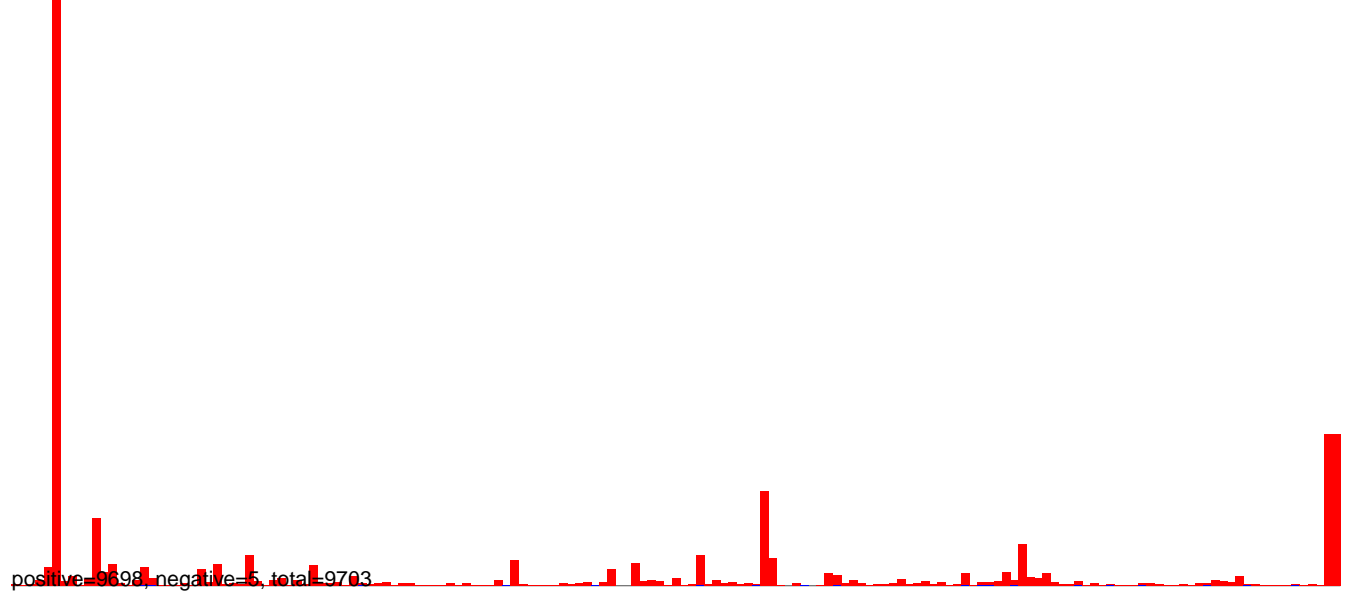
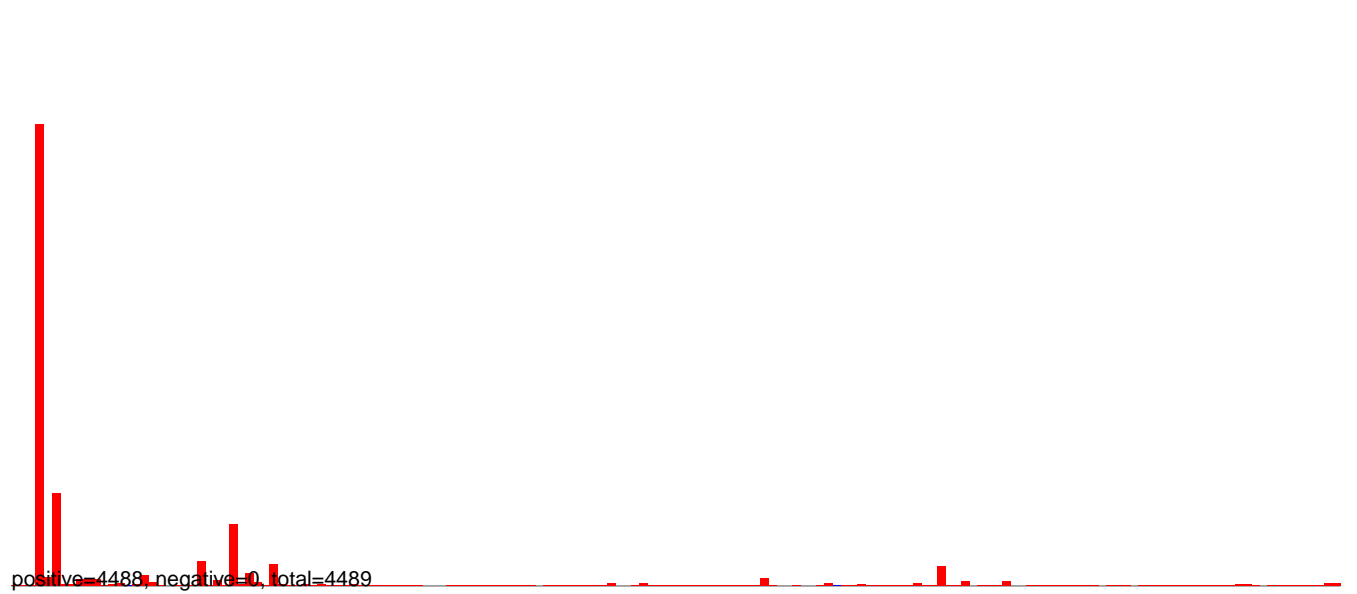


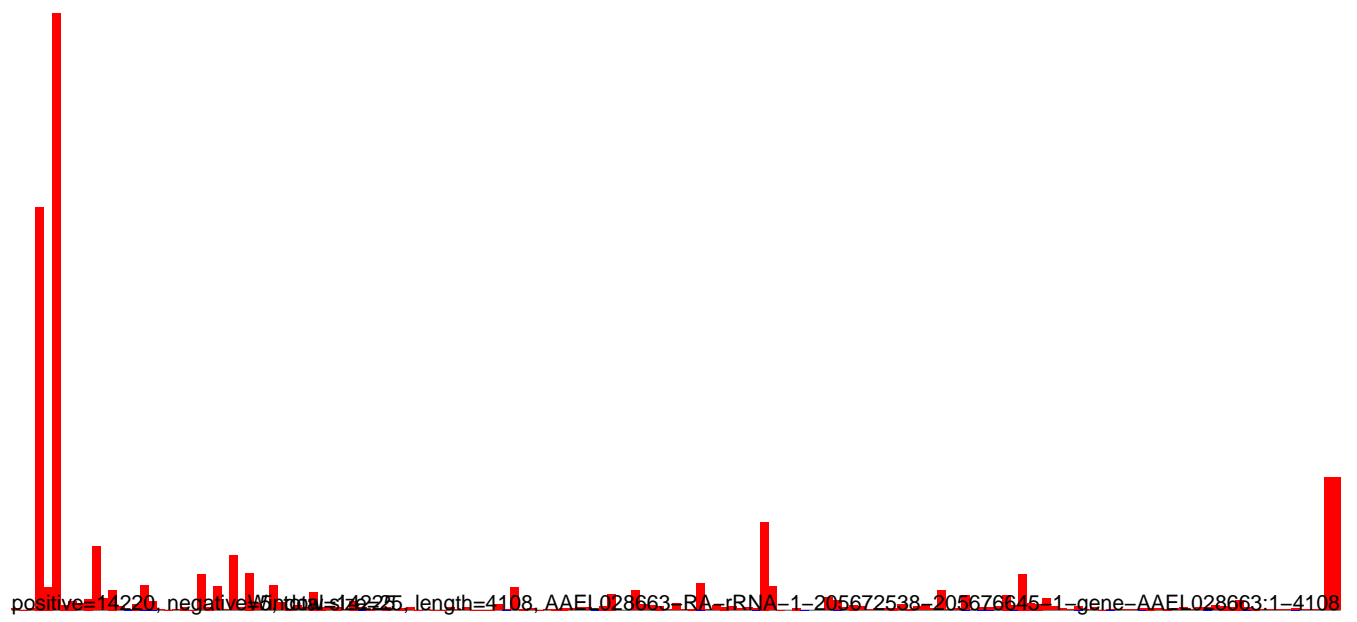
AeAlbo_C636_6dpi_SINV2.18_23.rep



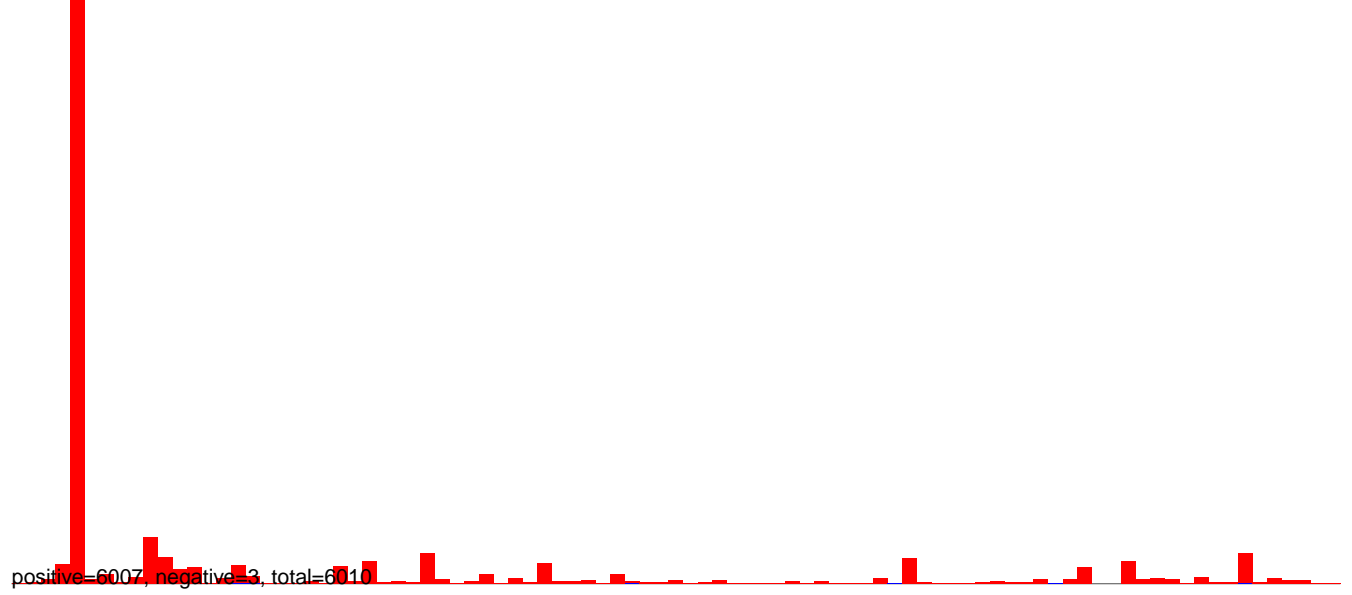
AeAlbo_C636_6dpi_SINV2.24_35.rep



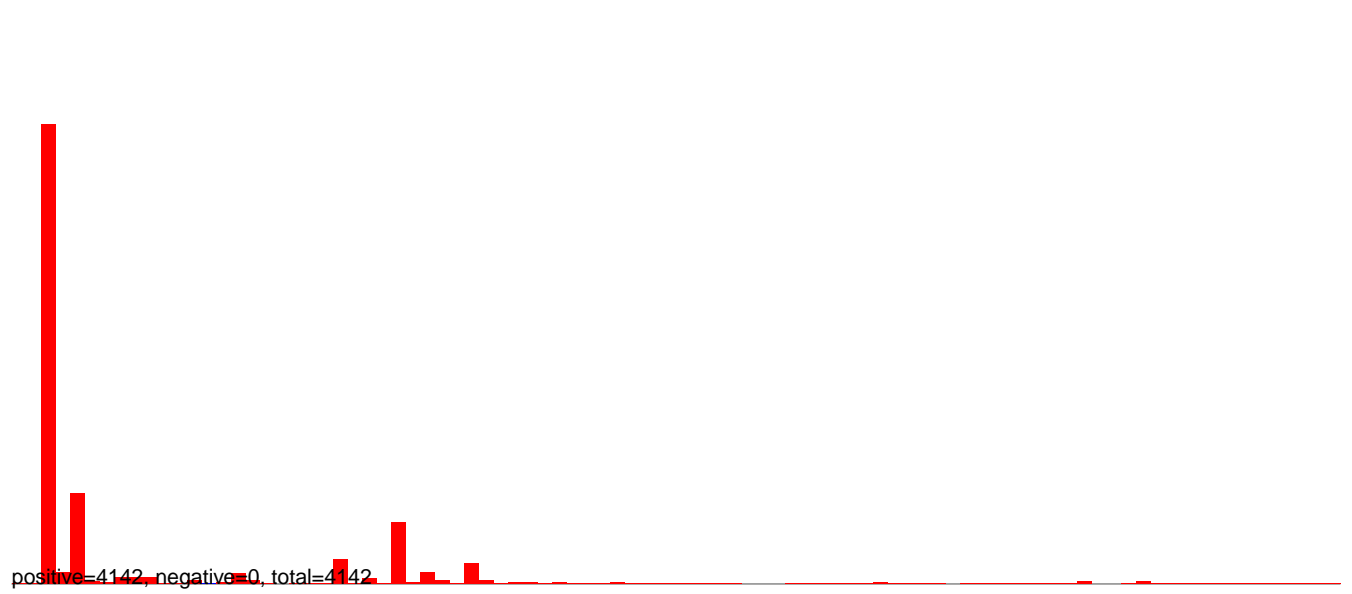
AeAlbo_C636_6dpi_SINV2.rep



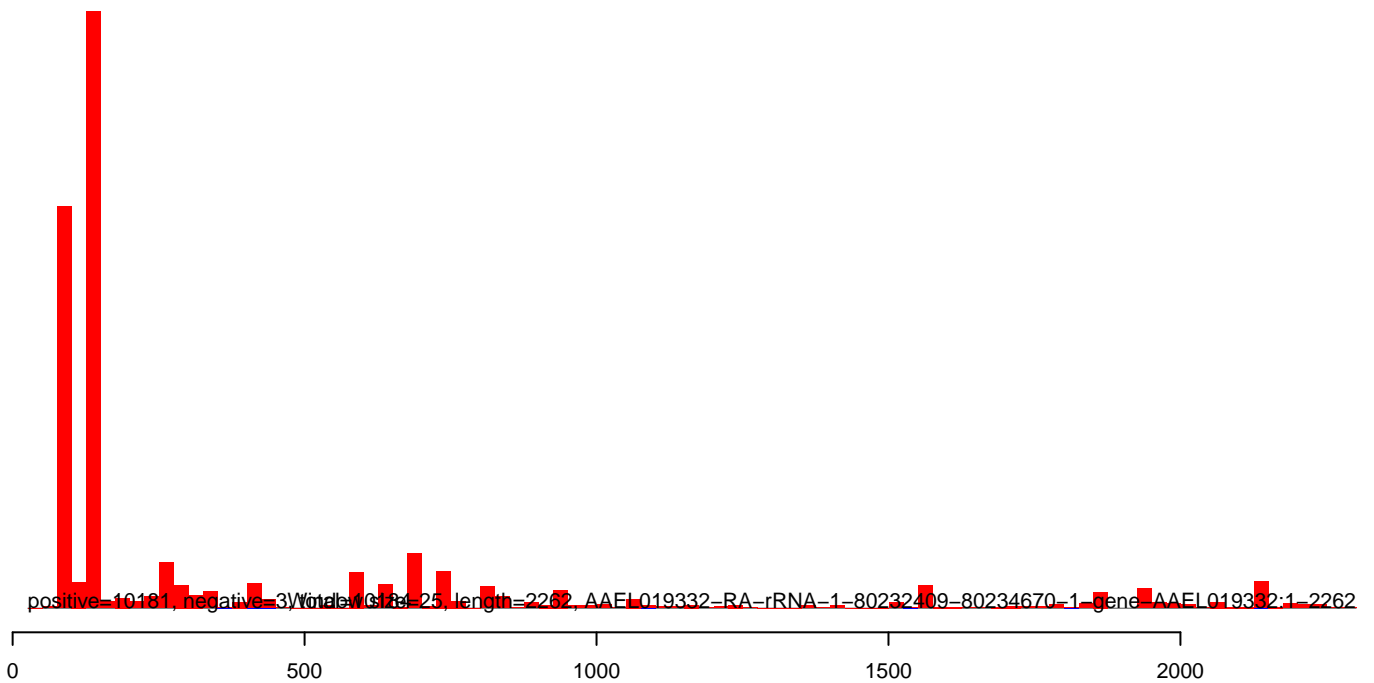
AeAlbo_C636_6dpi_SINV2.18_23.rep



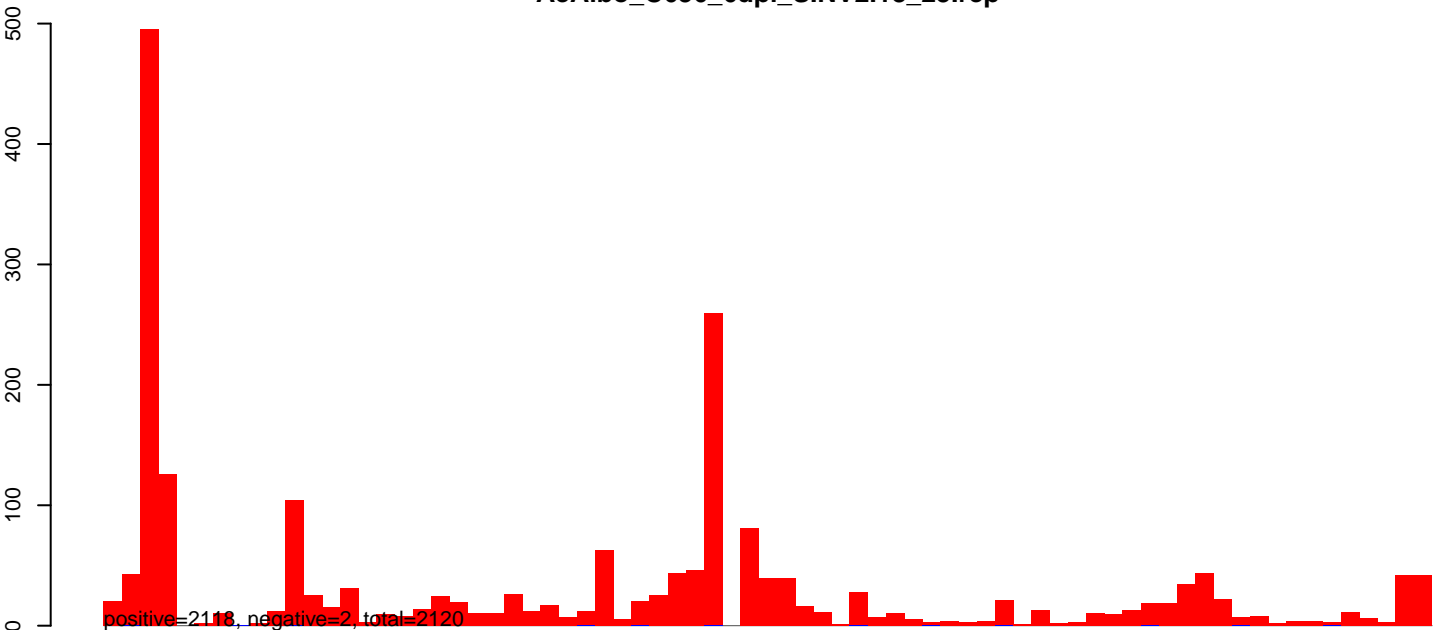
AeAlbo_C636_6dpi_SINV2.24_35.rep



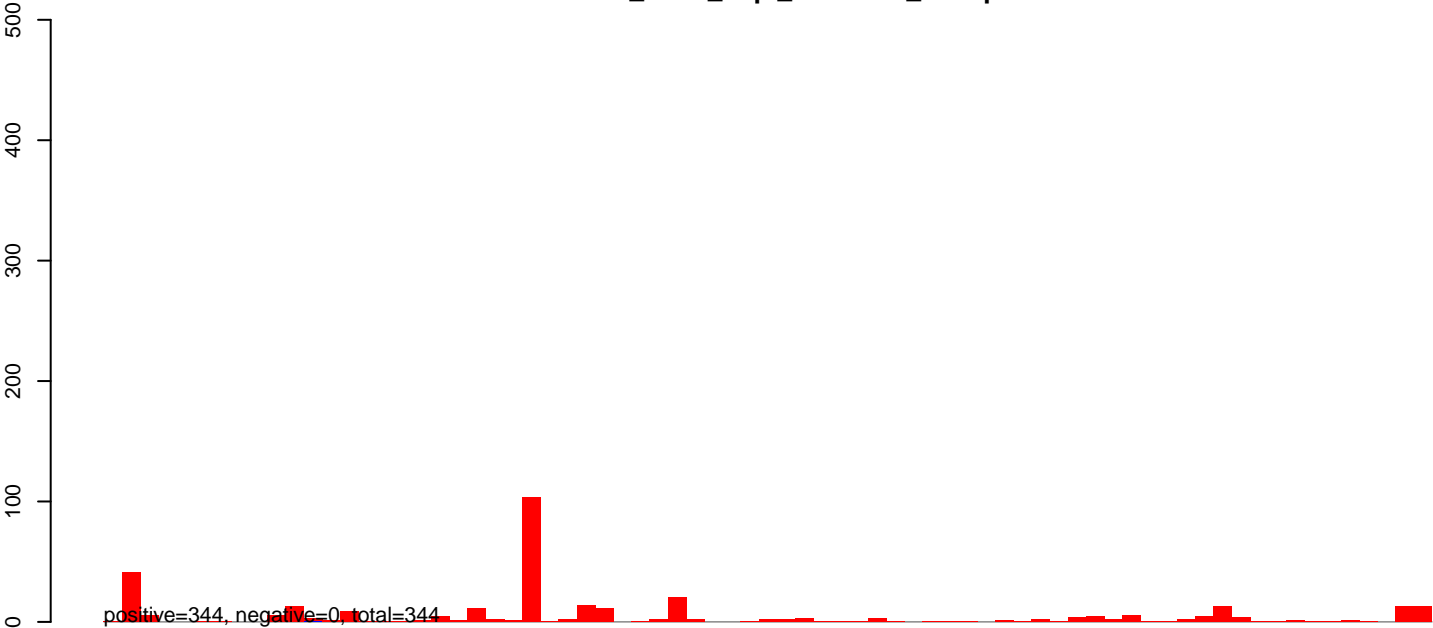
AeAlbo_C636_6dpi_SINV2.rep



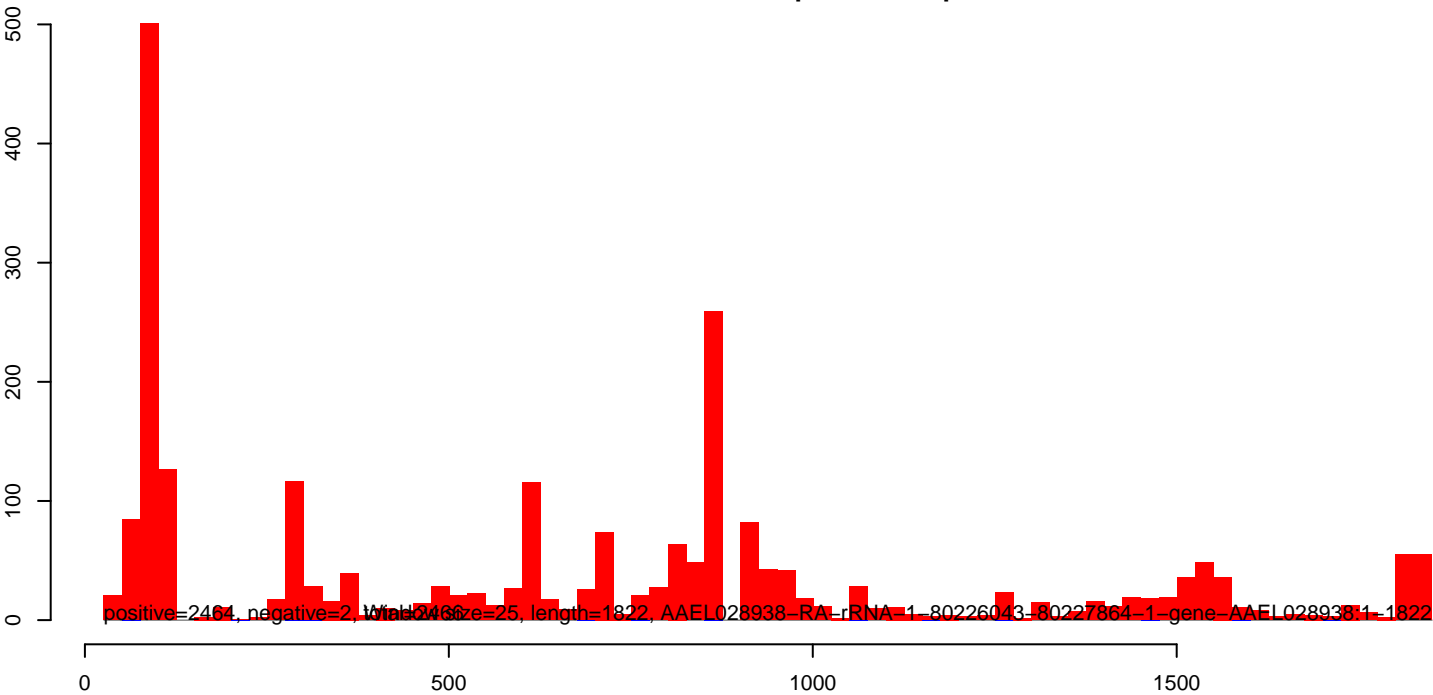
AeAlbo_C636_6dpi_SINV2.18_23.rep



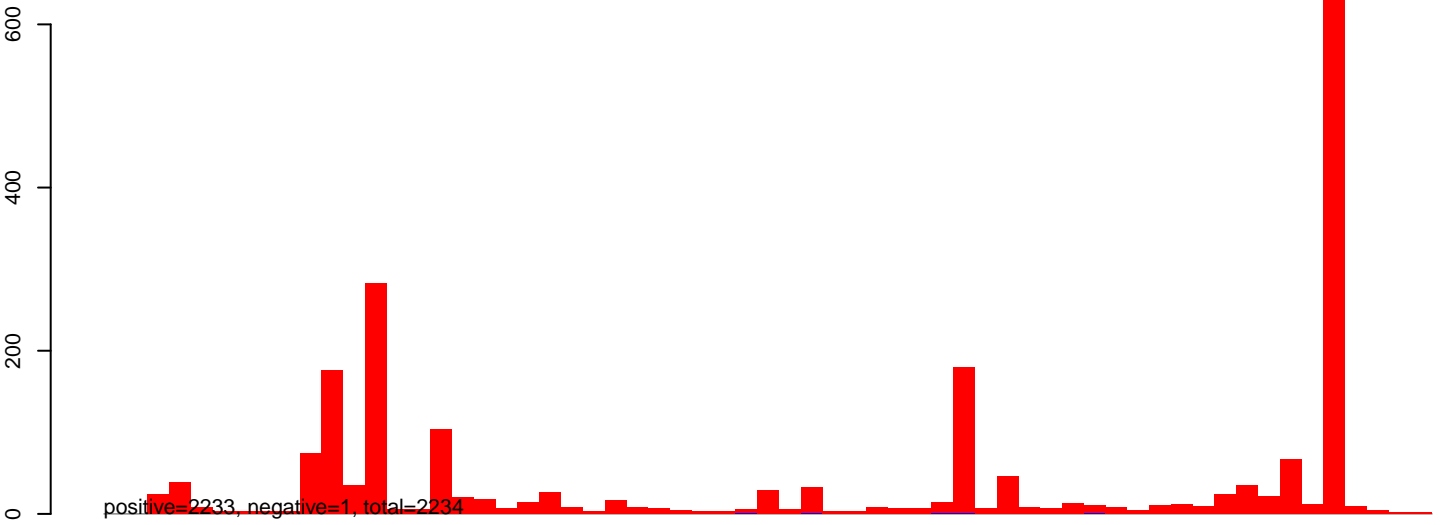
AeAlbo_C636_6dpi_SINV2.24_35.rep



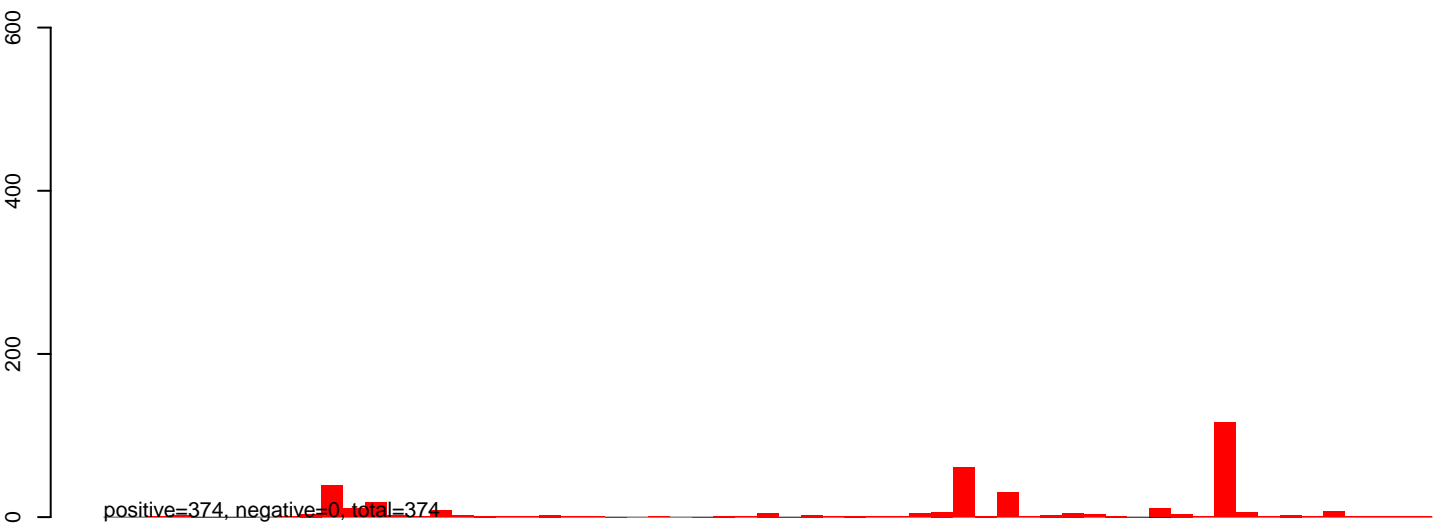
AeAlbo_C636_6dpi_SINV2.rep



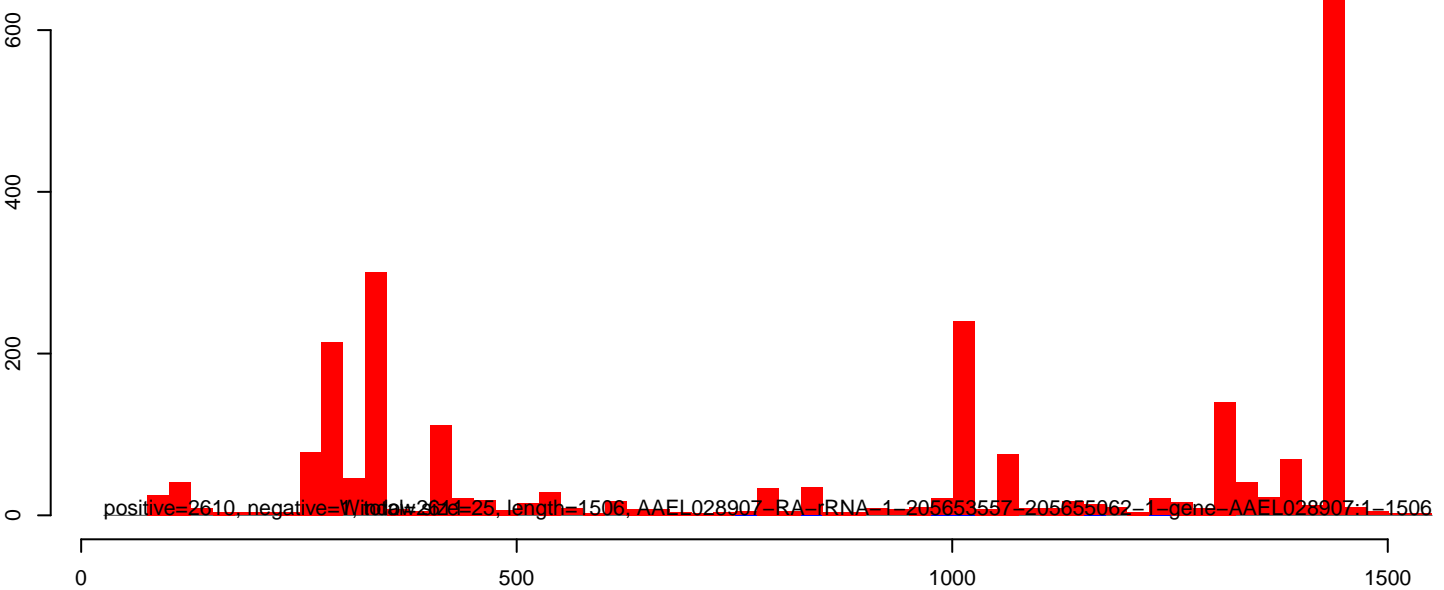
AeAlbo_C636_6dpi_SINV2.18_23.rep



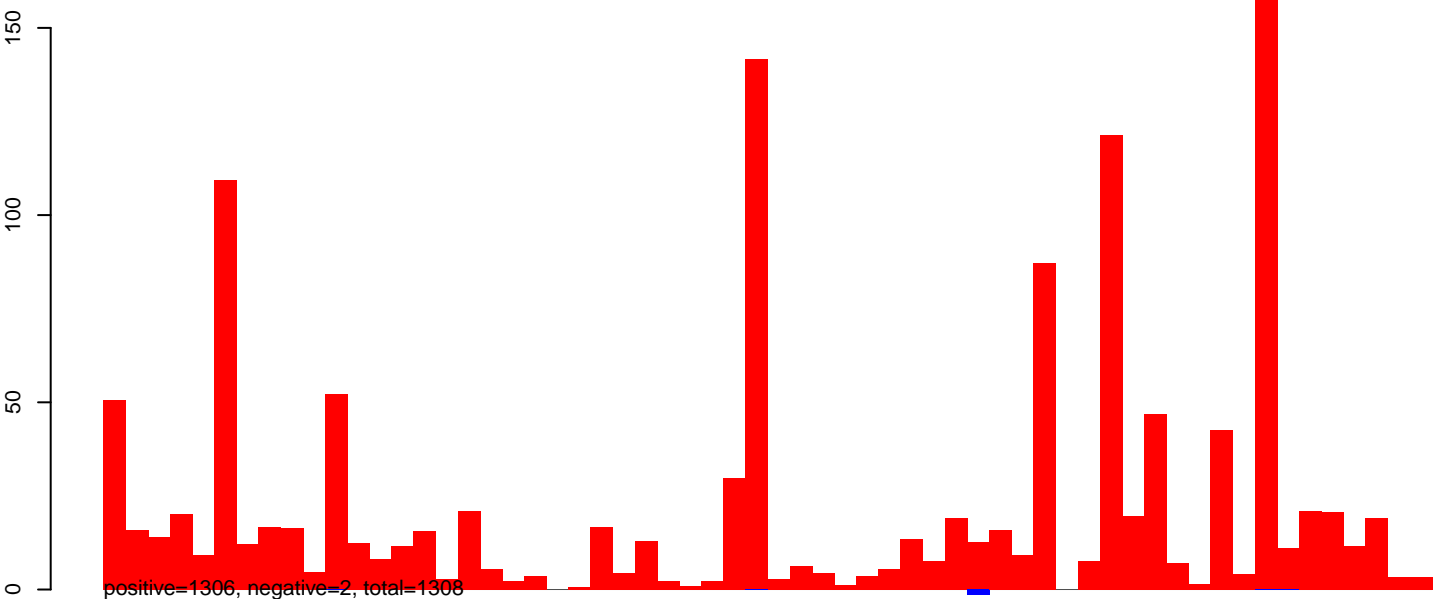
AeAlbo_C636_6dpi_SINV2.24_35.rep



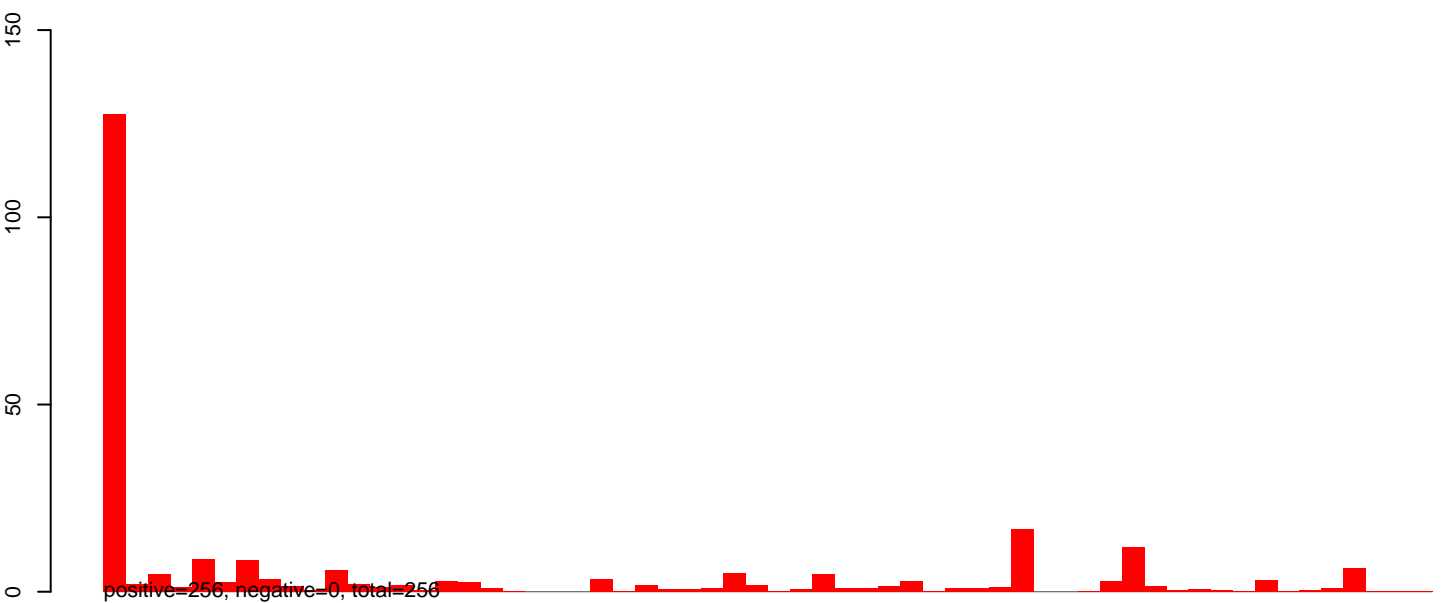
AeAlbo_C636_6dpi_SINV2.rep



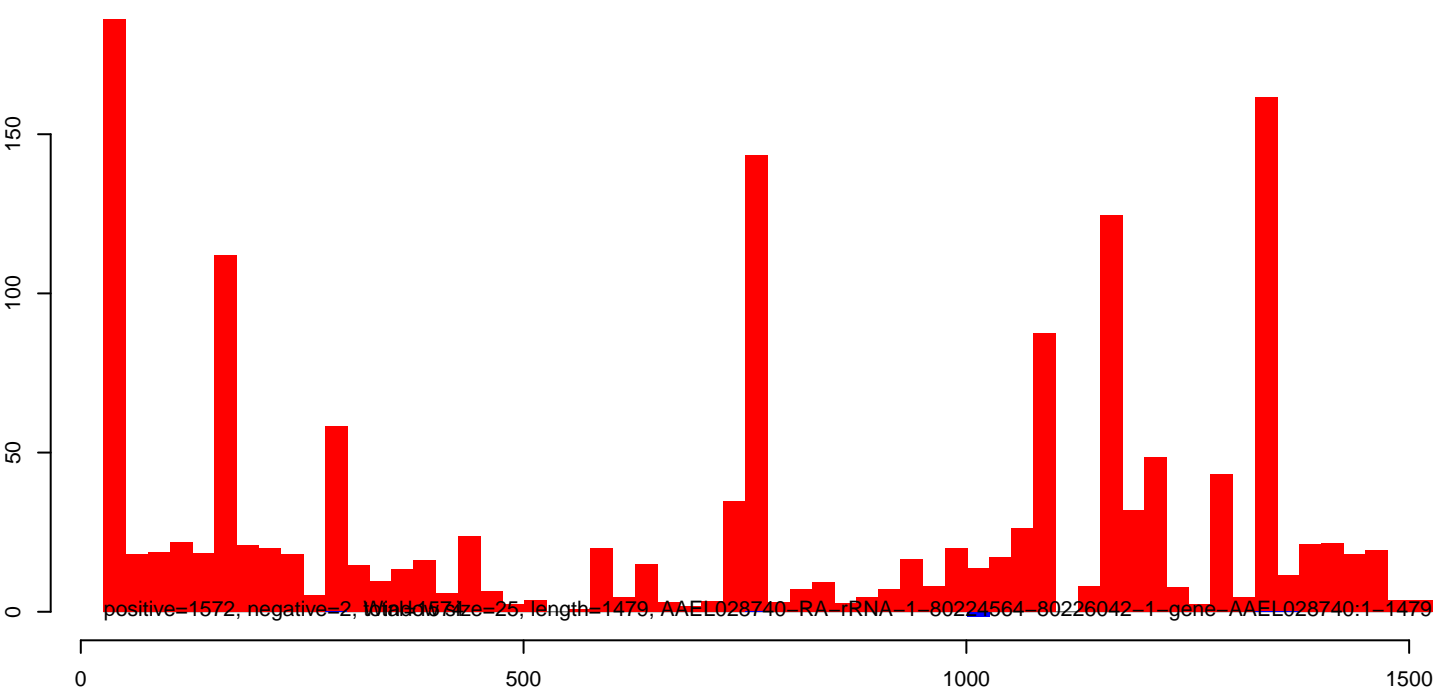
AeAlbo_C636_6dpi_SINV2.18_23.rep



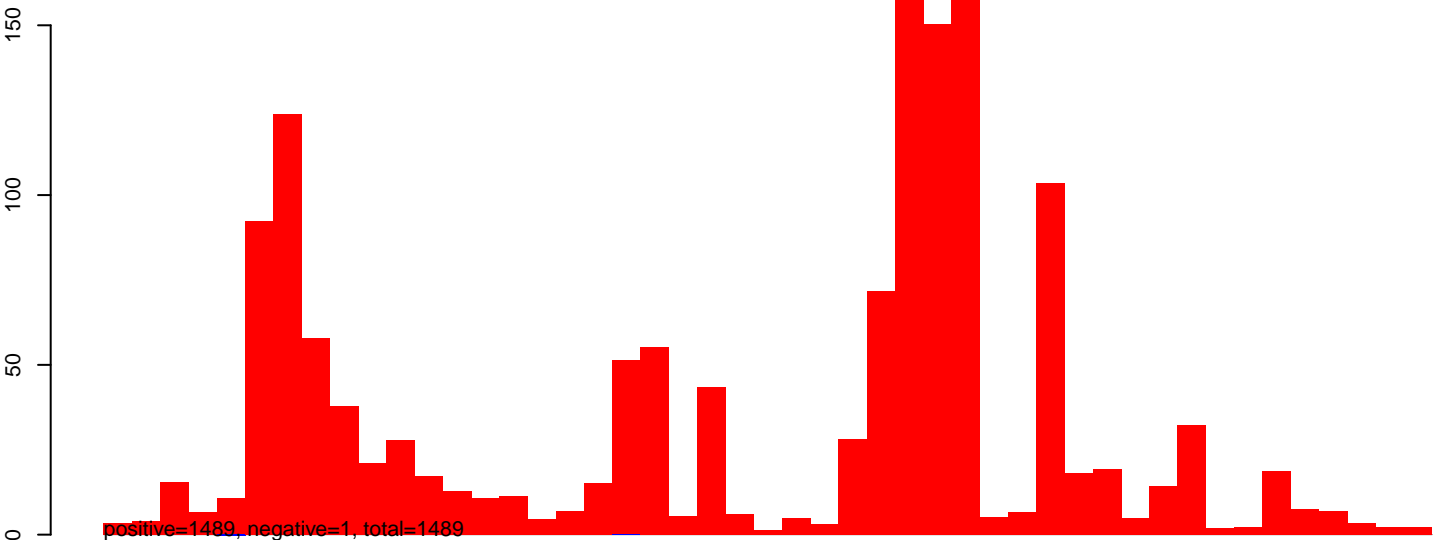
AeAlbo_C636_6dpi_SINV2.24_35.rep



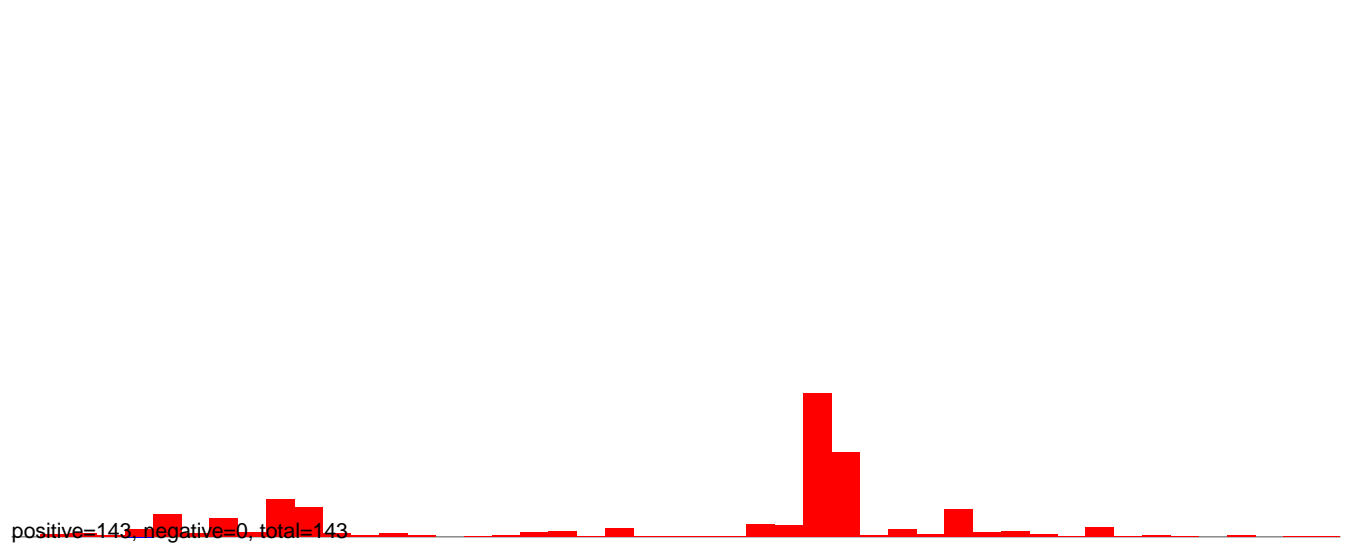
AeAlbo_C636_6dpi_SINV2.rep



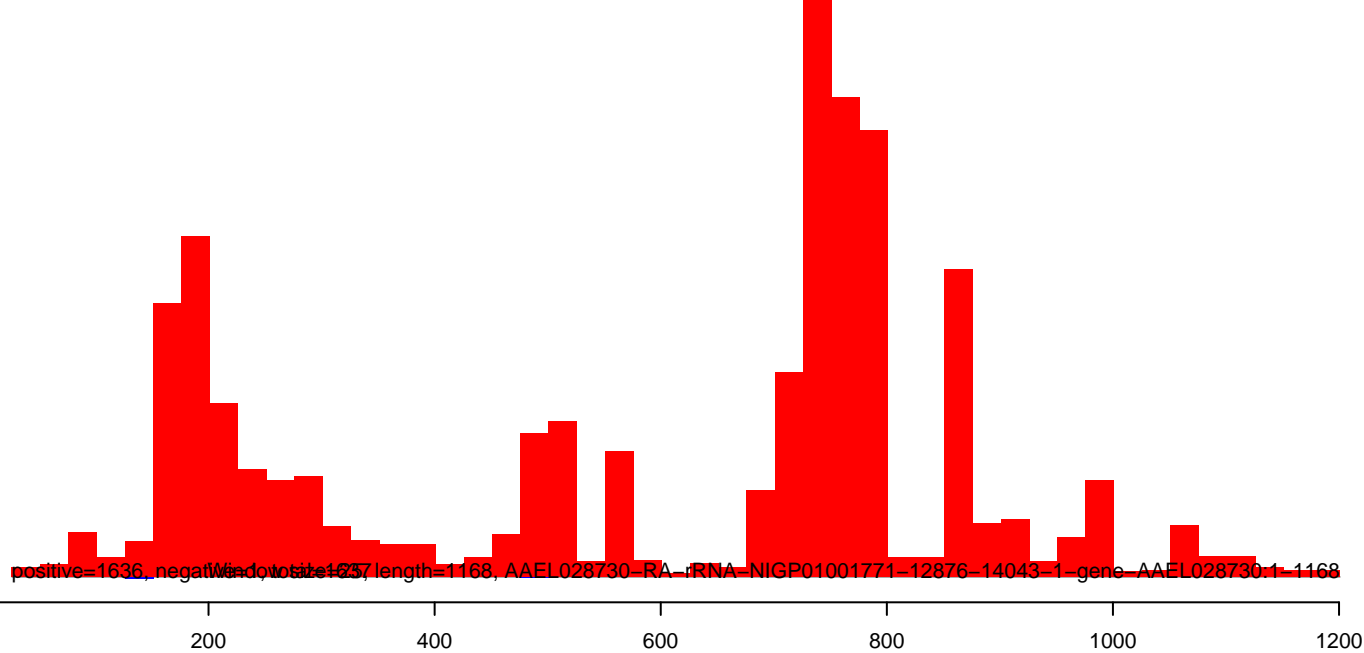
AeAlbo_C636_6dpi_SINV2.18_23.rep



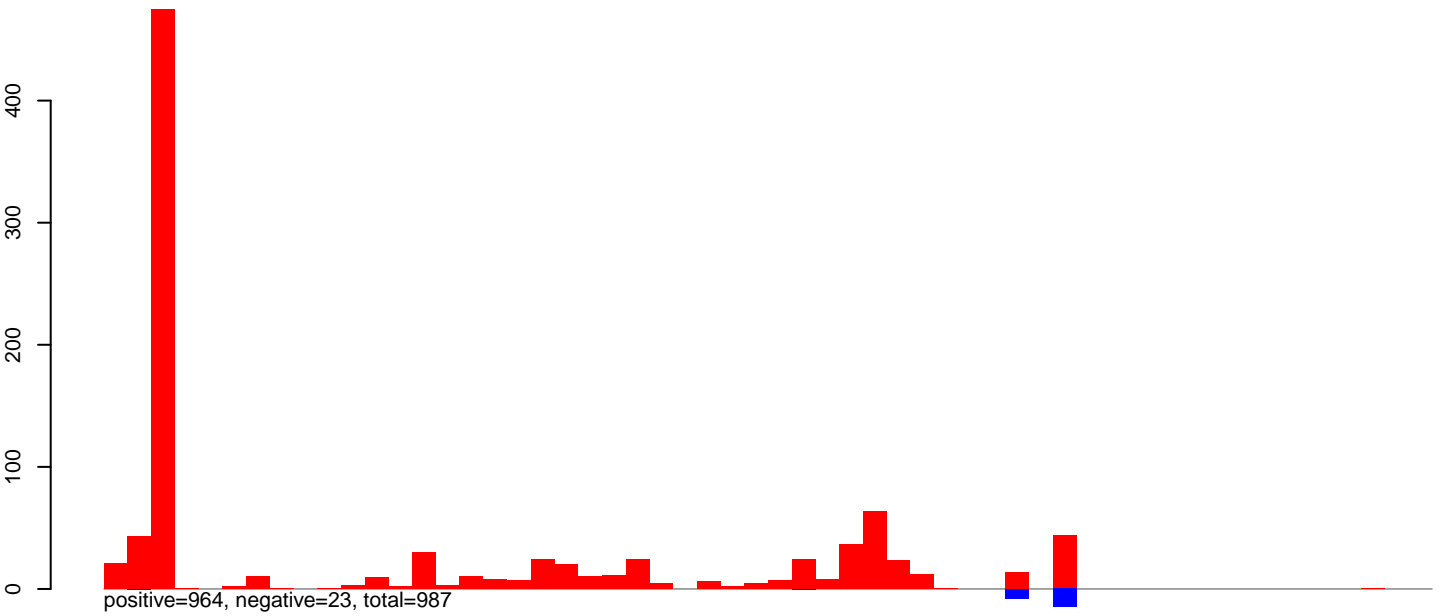
AeAlbo_C636_6dpi_SINV2.24_35.rep



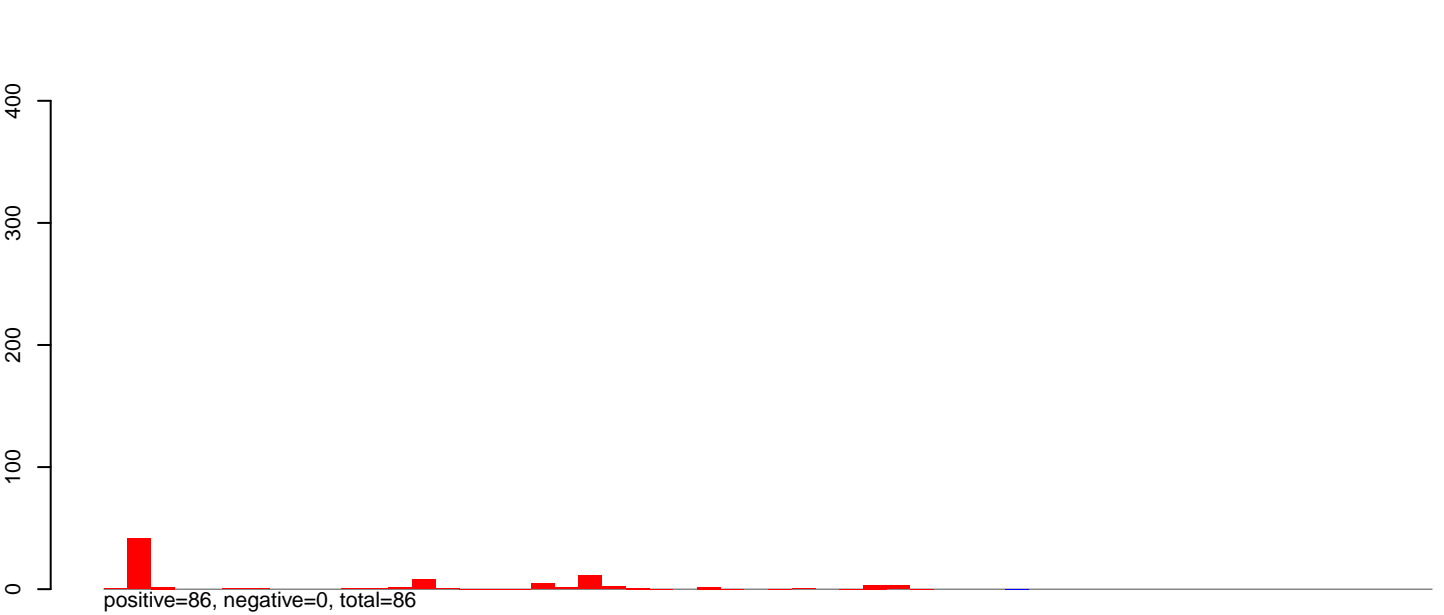
AeAlbo_C636_6dpi_SINV2.rep



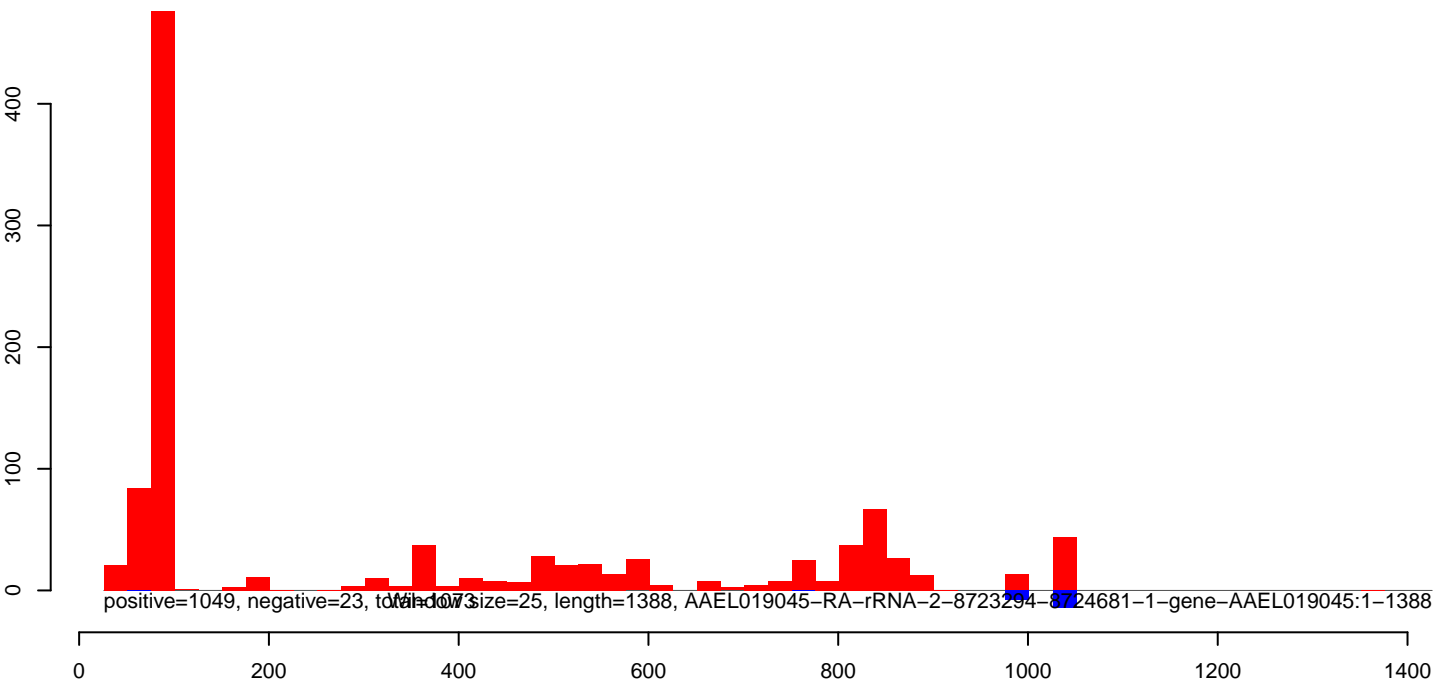
AeAlbo_C636_6dpi_SINV2.18_23.rep



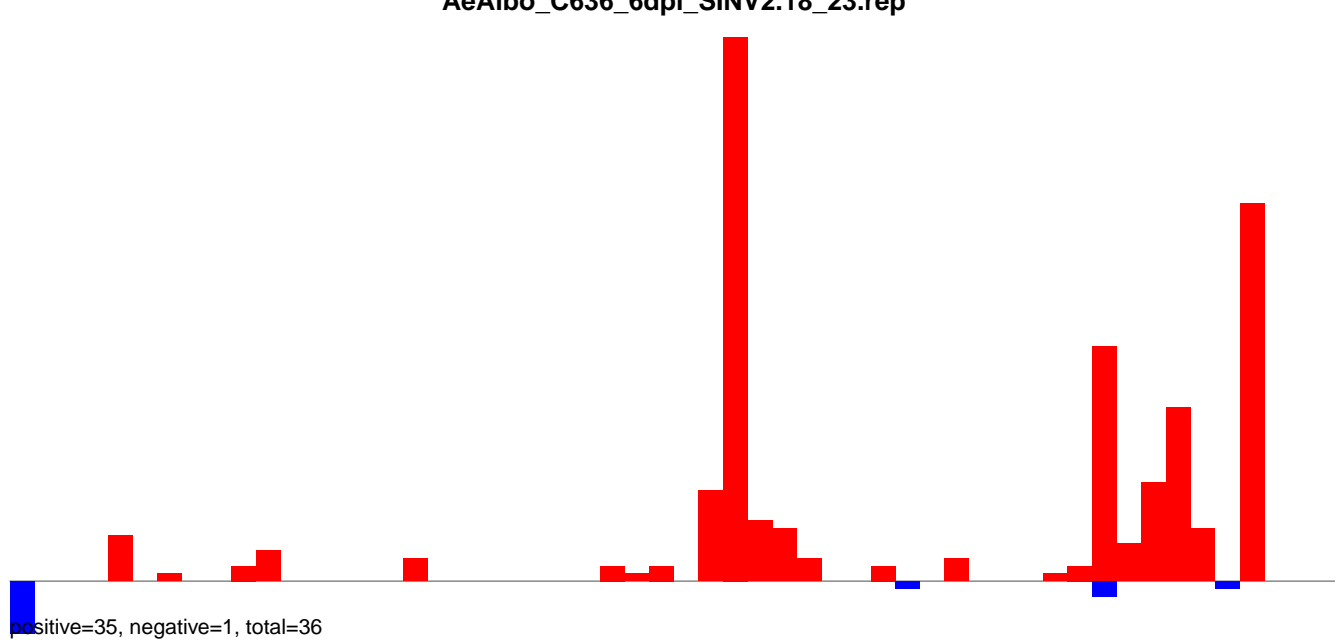
AeAlbo_C636_6dpi_SINV2.24_35.rep



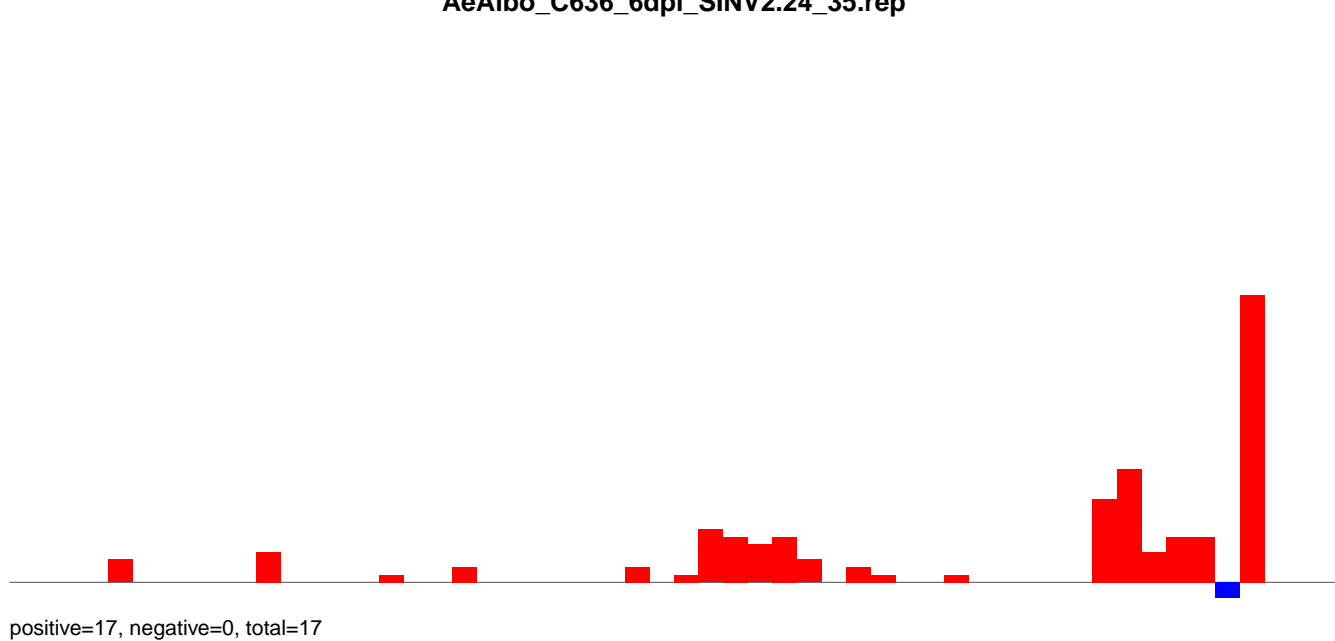
AeAlbo_C636_6dpi_SINV2.rep



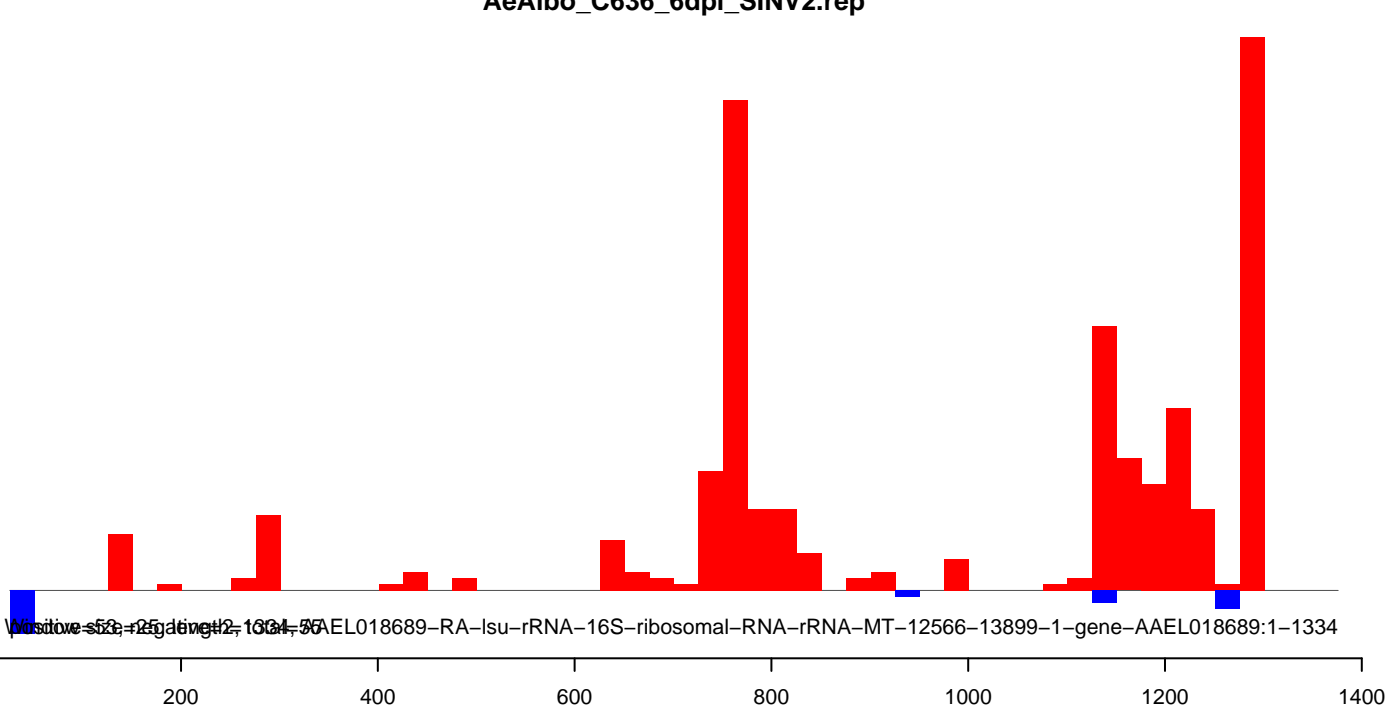
AeAlbo_C636_6dpi_SINV2.18_23.rep



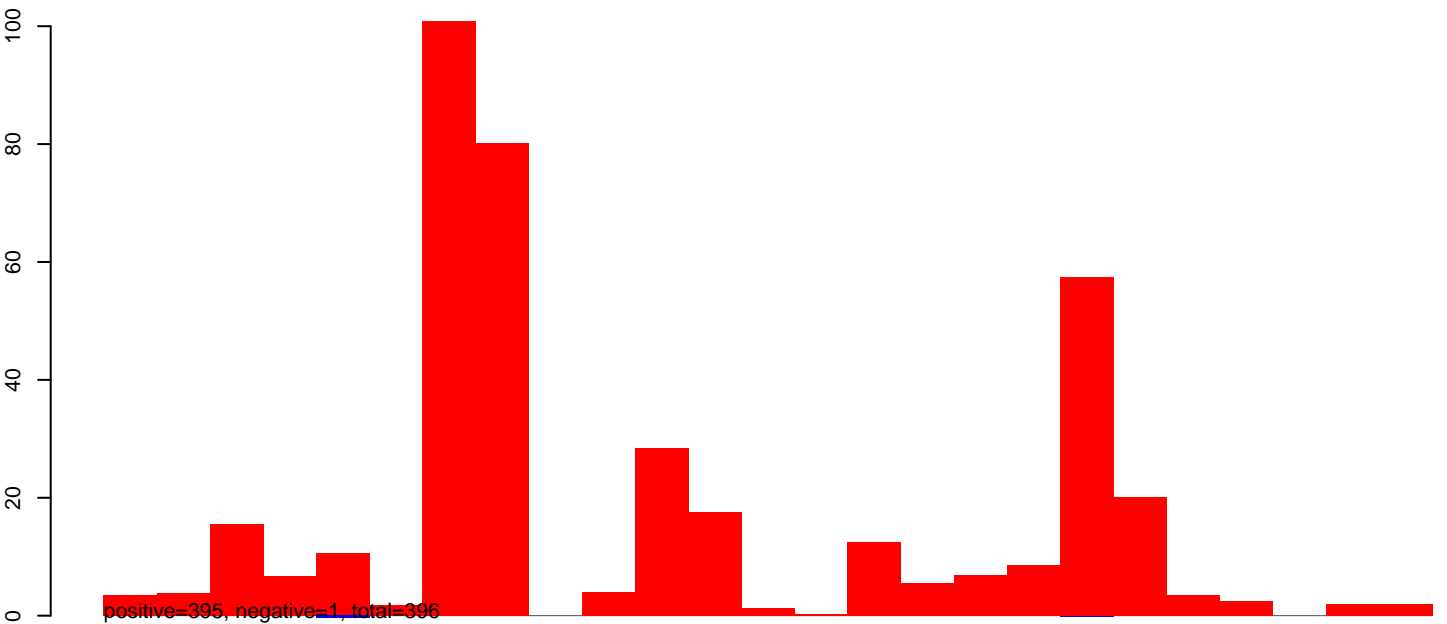
AeAlbo_C636_6dpi_SINV2.24_35.rep



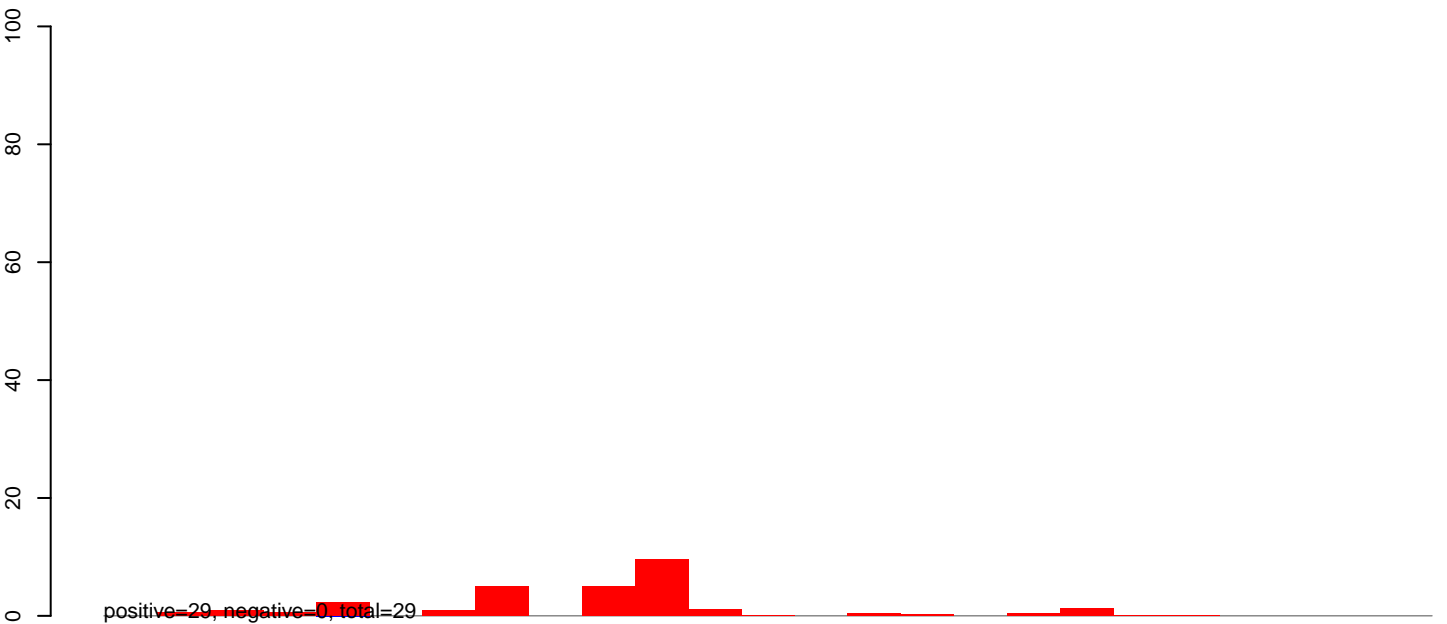
AeAlbo_C636_6dpi_SINV2.rep



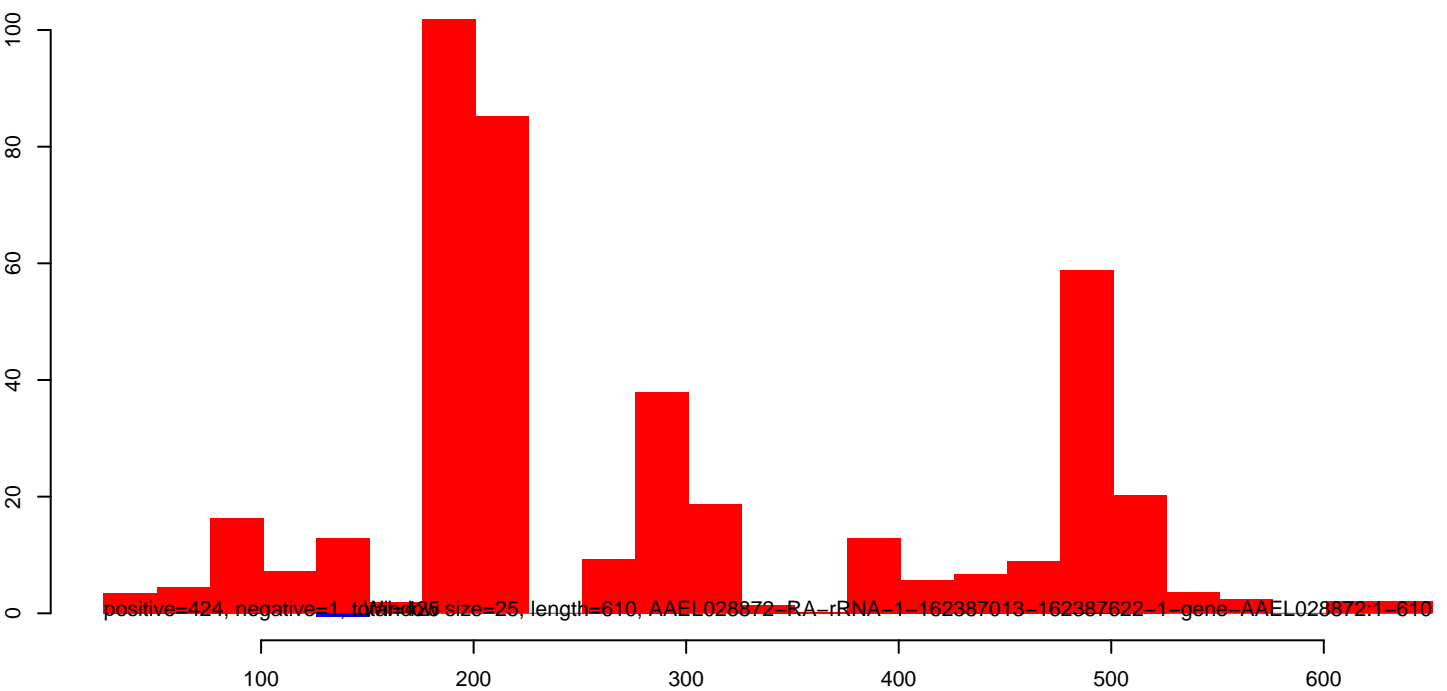
AeAlbo_C636_6dpi_SINV2.18_23.rep



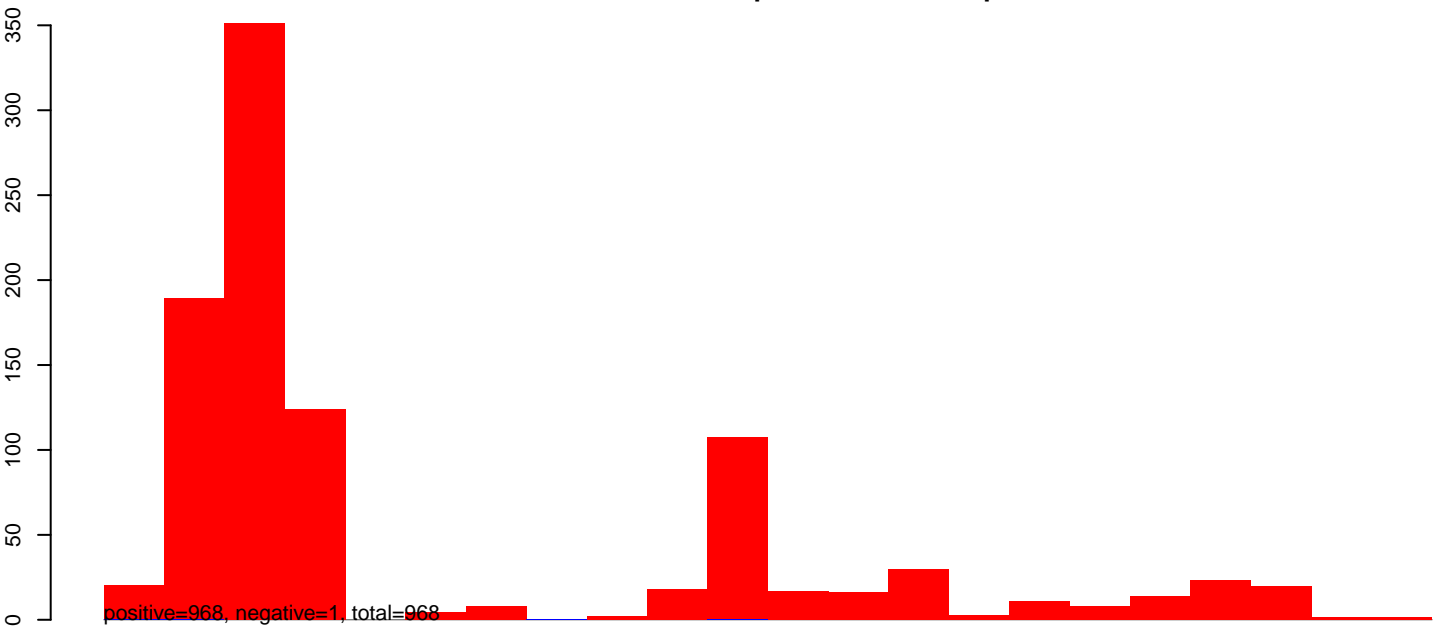
AeAlbo_C636_6dpi_SINV2.24_35.rep



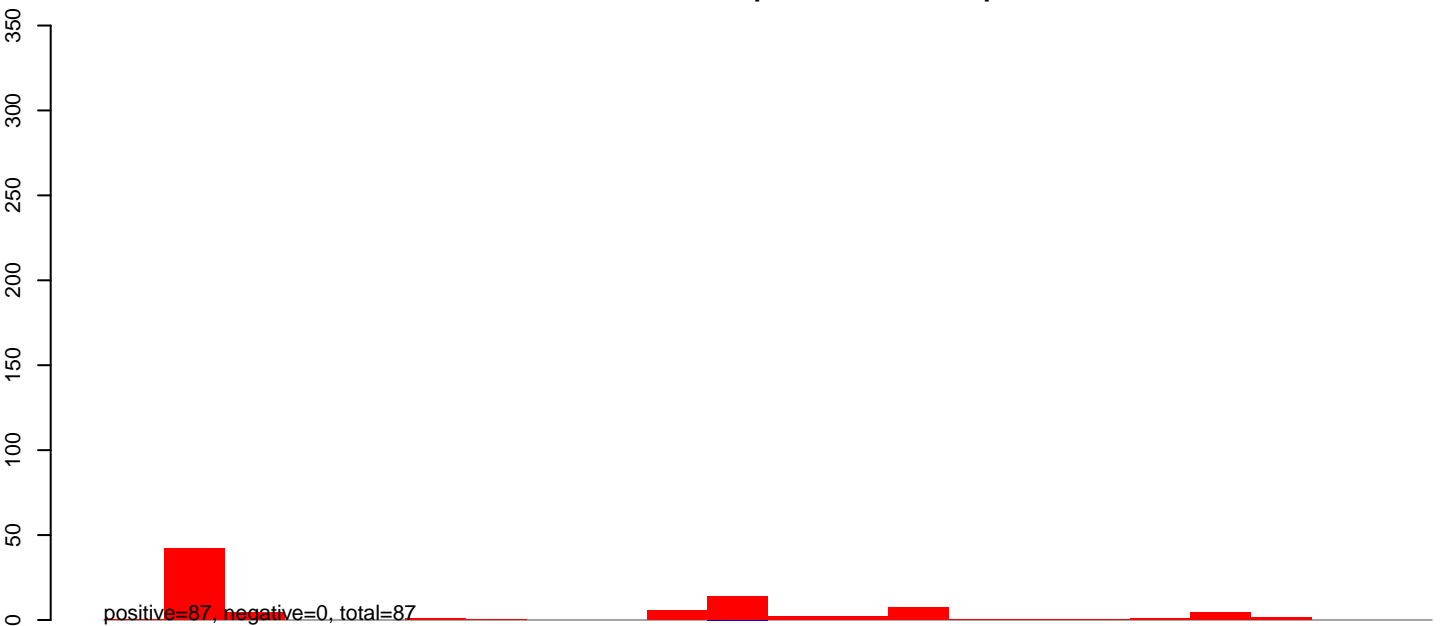
AeAlbo_C636_6dpi_SINV2.rep



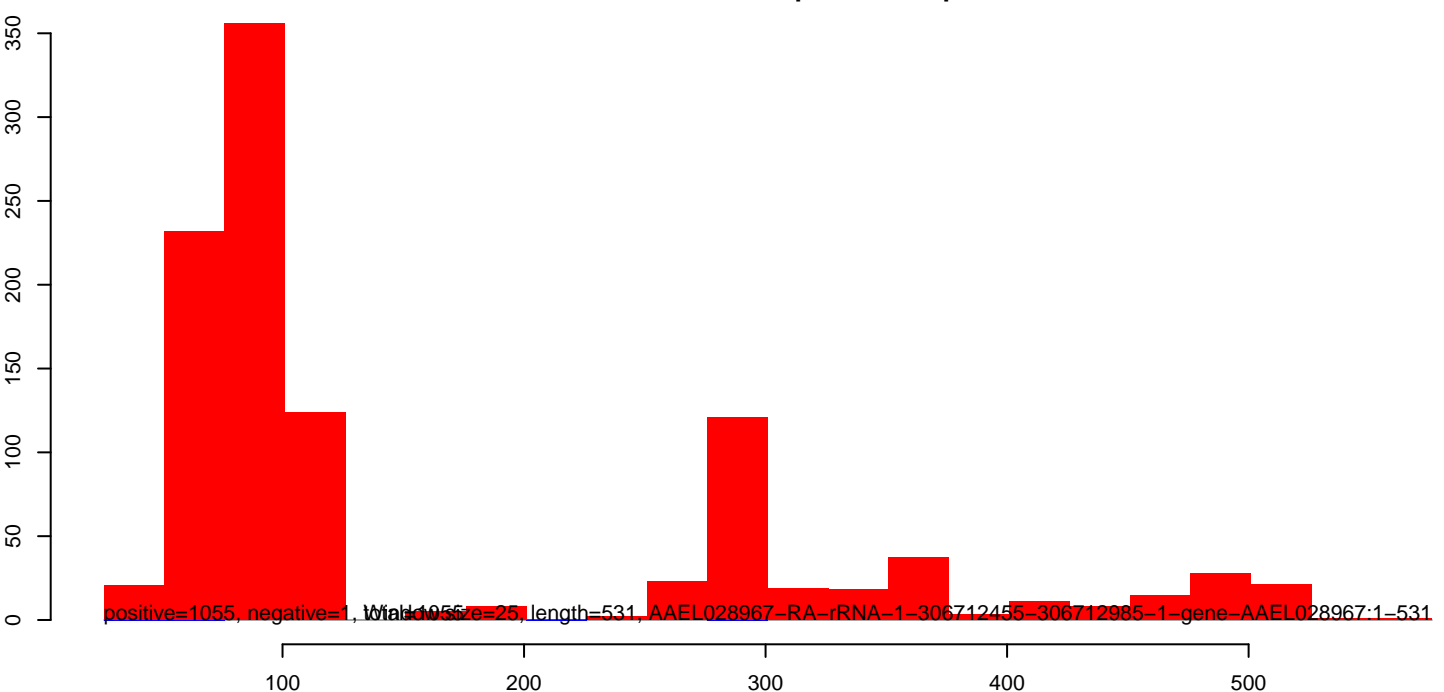
AeAlbo_C636_6dpi_SINV2.18_23.rep



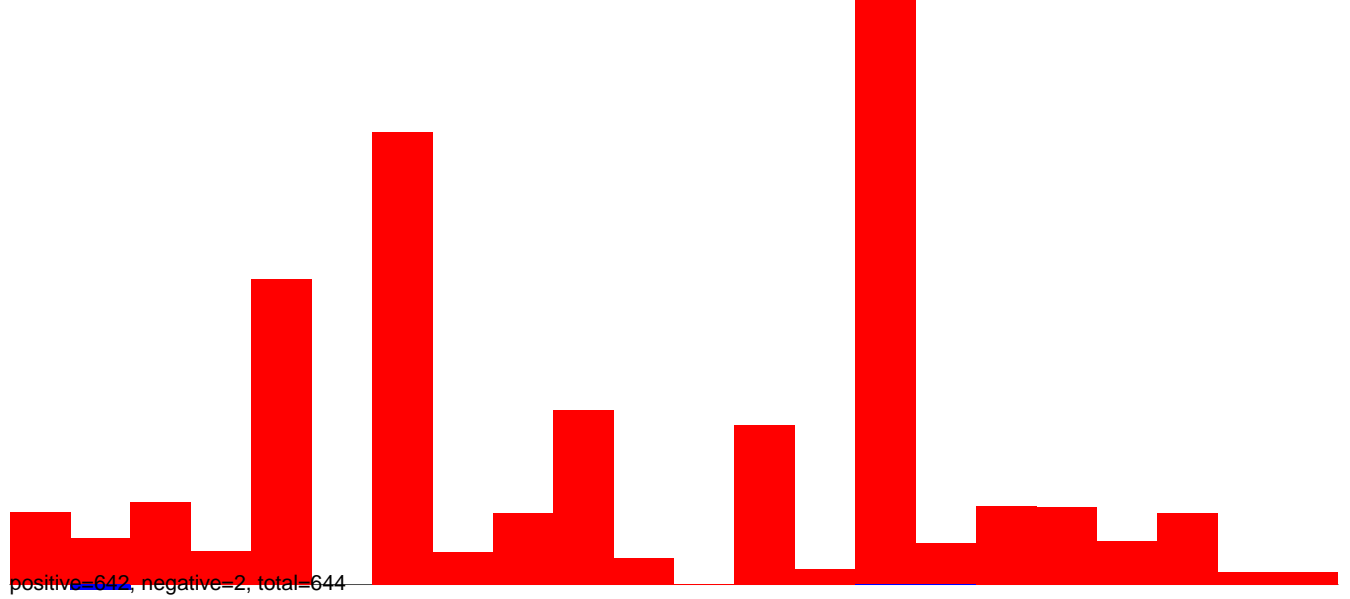
AeAlbo_C636_6dpi_SINV2.24_35.rep



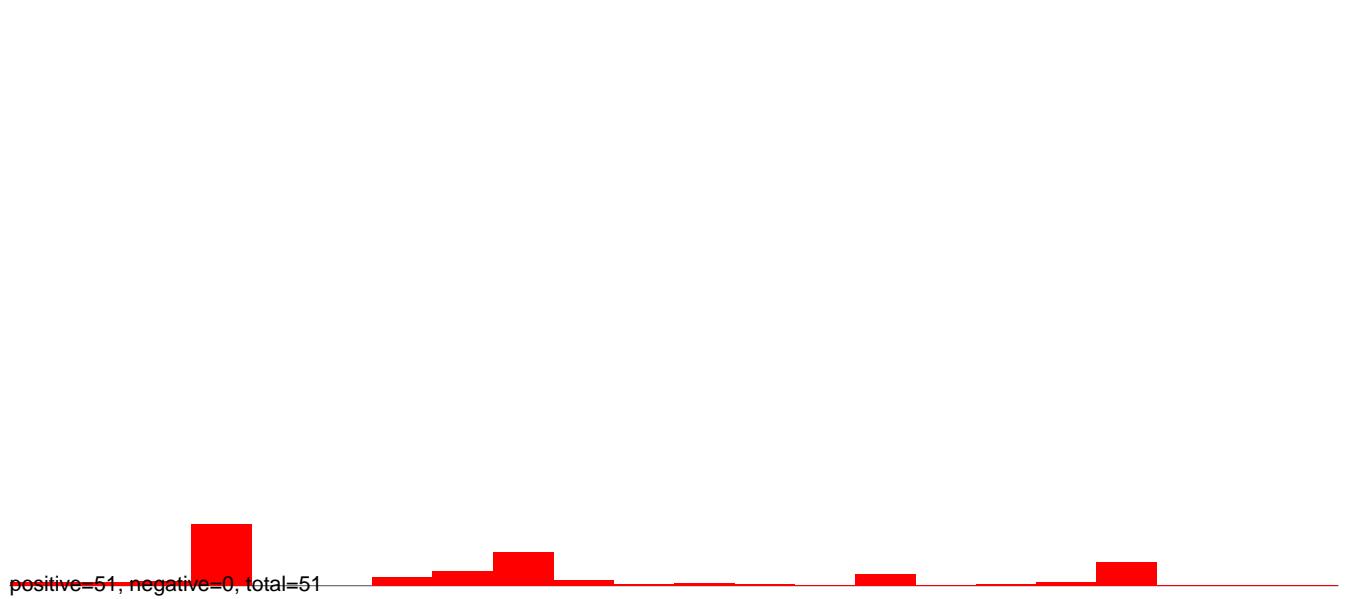
AeAlbo_C636_6dpi_SINV2.rep



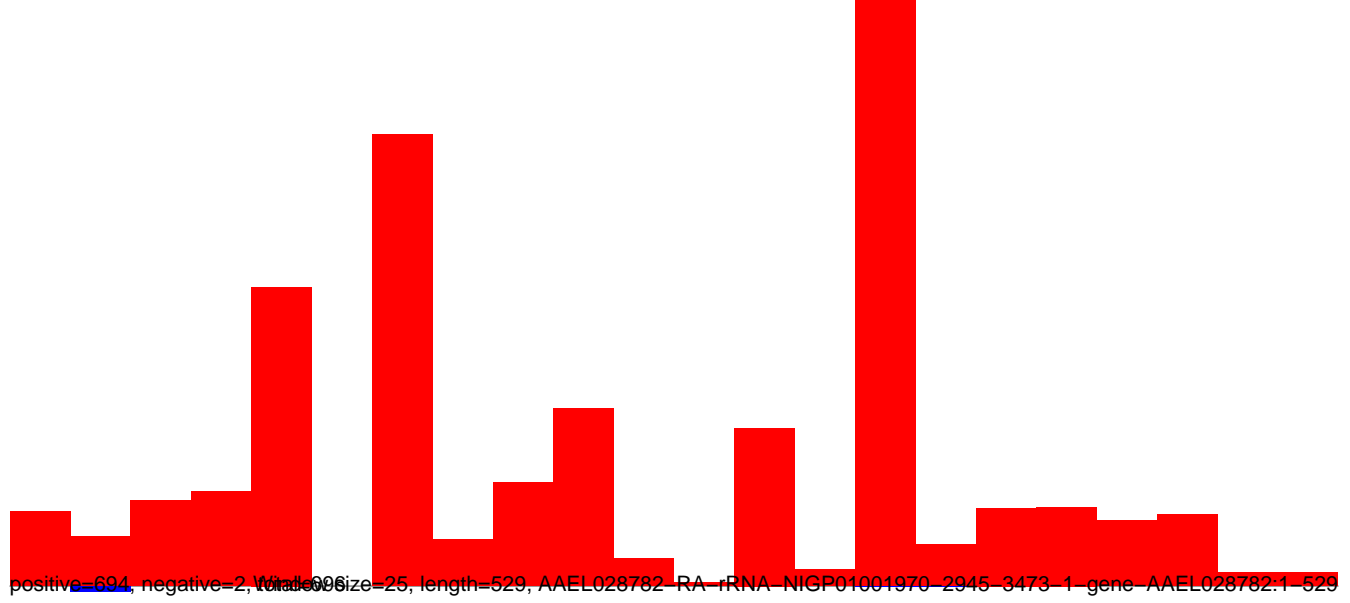
AeAlbo_C636_6dpi_SINV2.18_23.rep



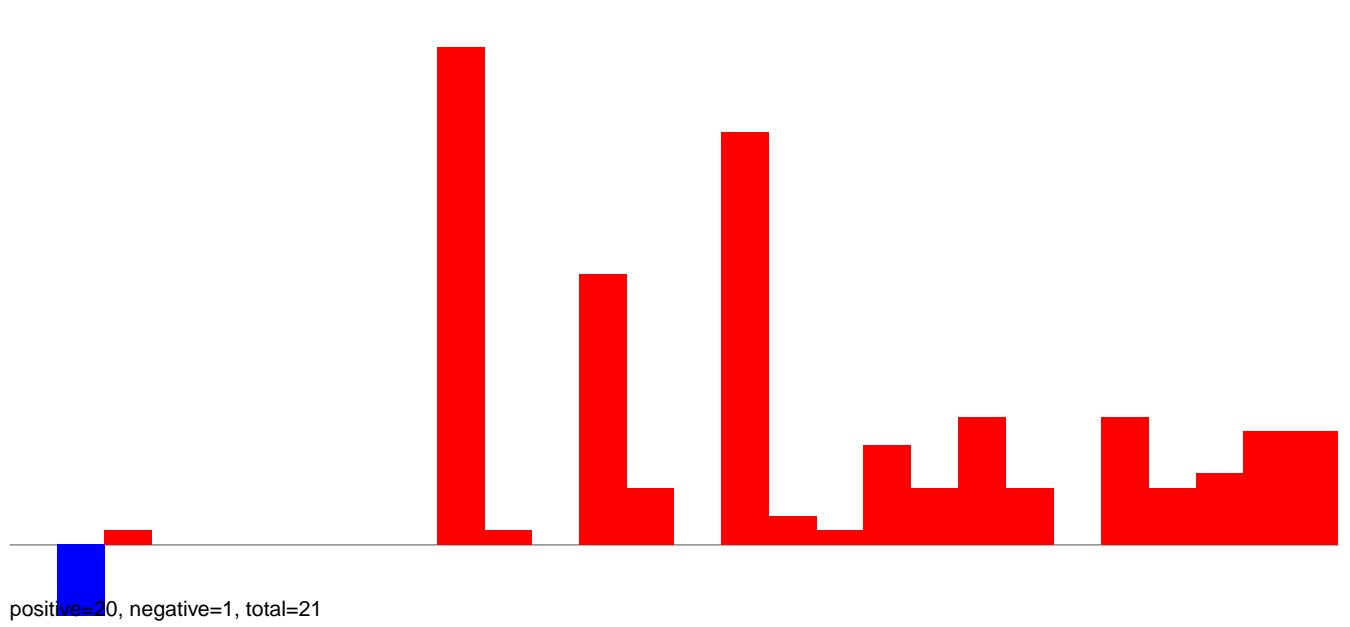
AeAlbo_C636_6dpi_SINV2.24_35.rep



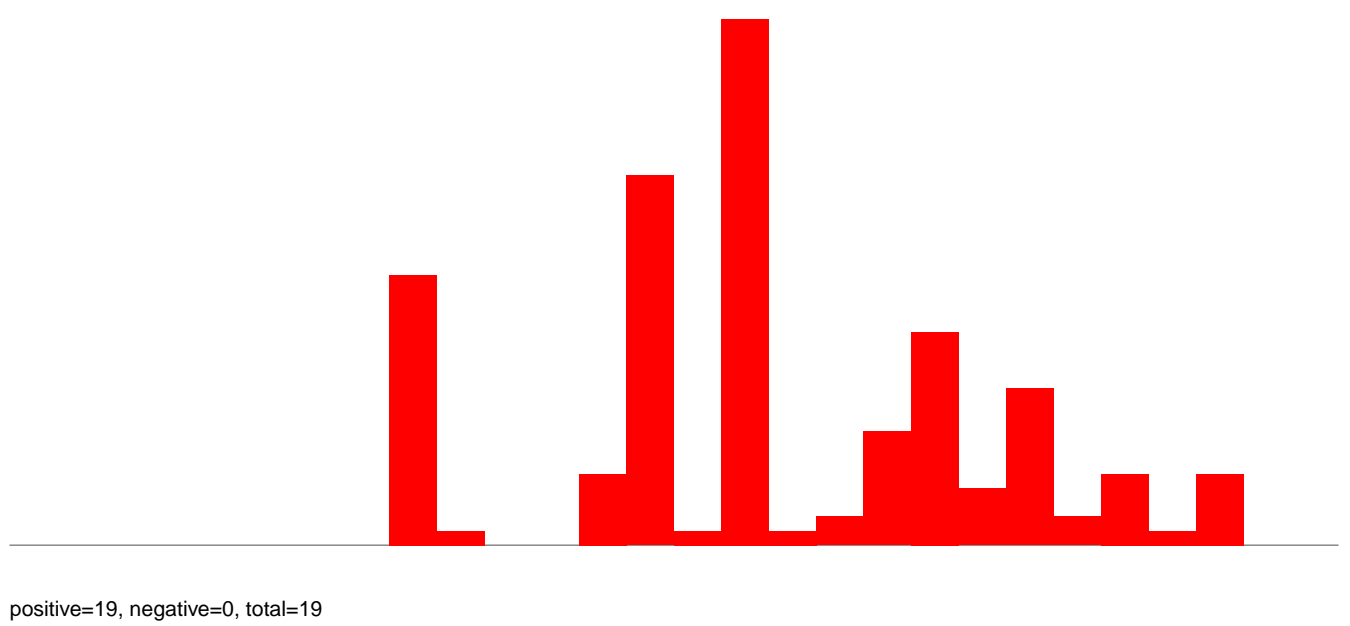
AeAlbo_C636_6dpi_SINV2.rep



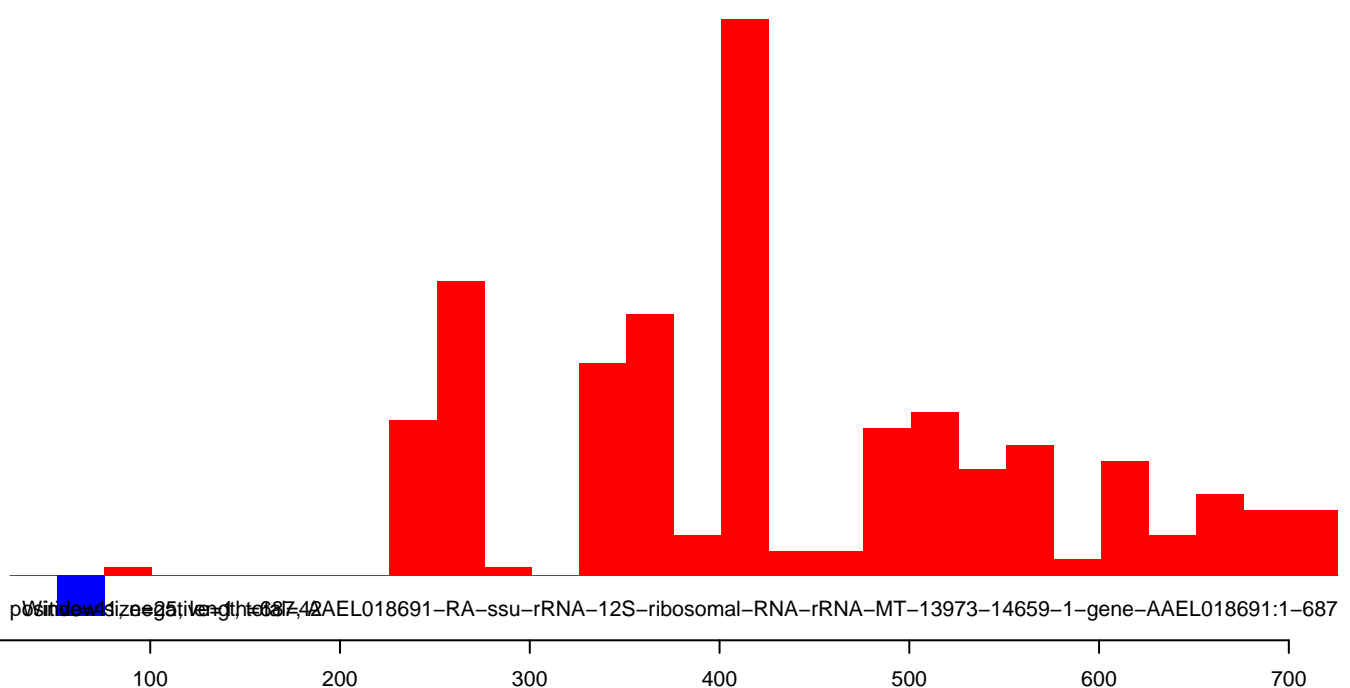
AeAlbo_C636_6dpi_SINV2.18_23.rep



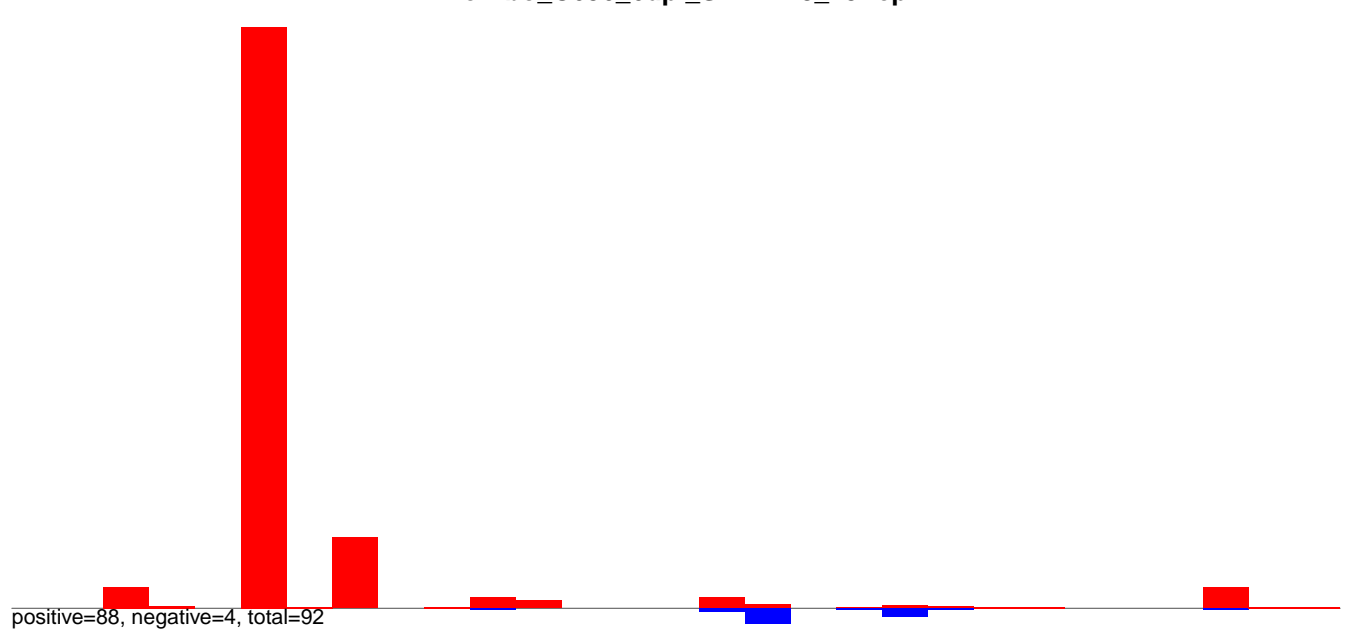
AeAlbo_C636_6dpi_SINV2.24_35.rep



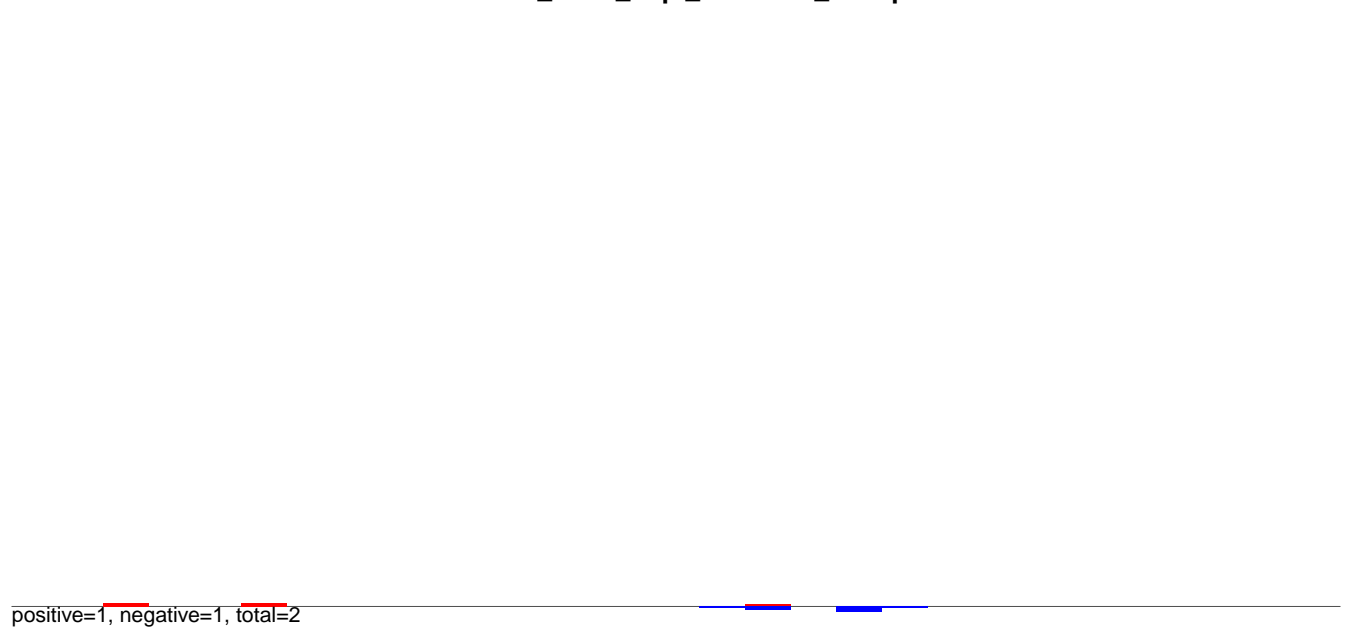
AeAlbo_C636_6dpi_SINV2.rep



AeAlbo_C636_6dpi_SINV2.18_23.rep



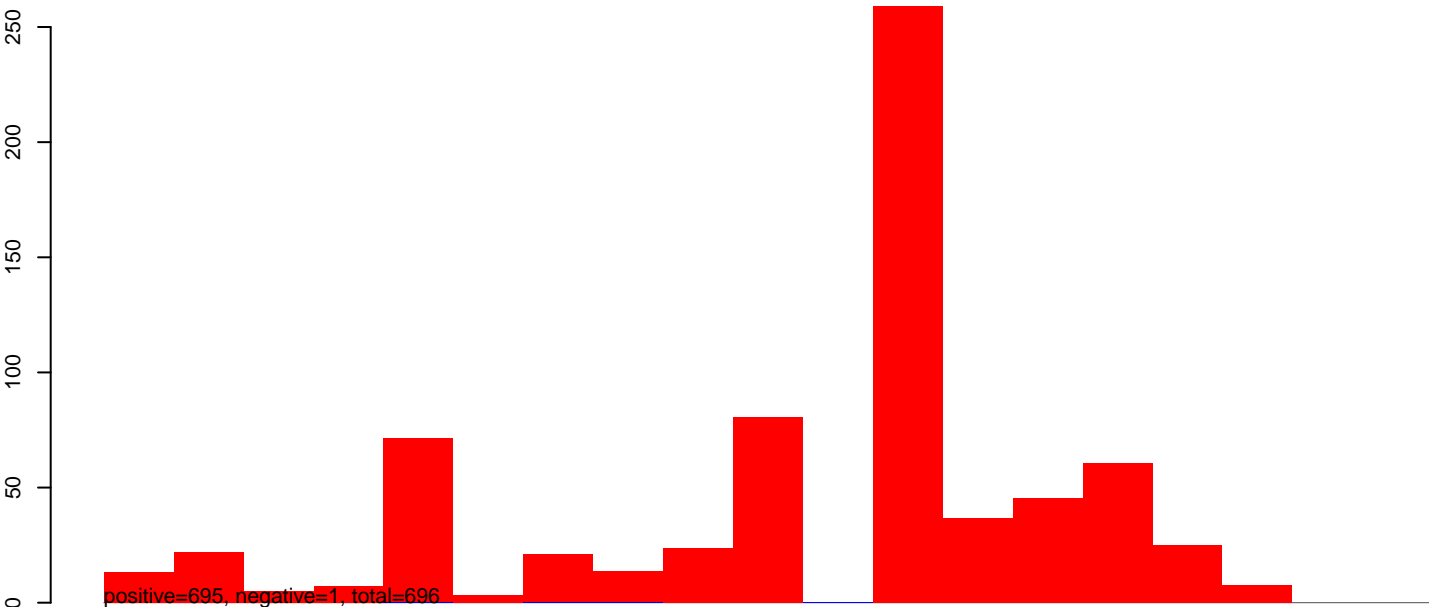
AeAlbo_C636_6dpi_SINV2.24_35.rep



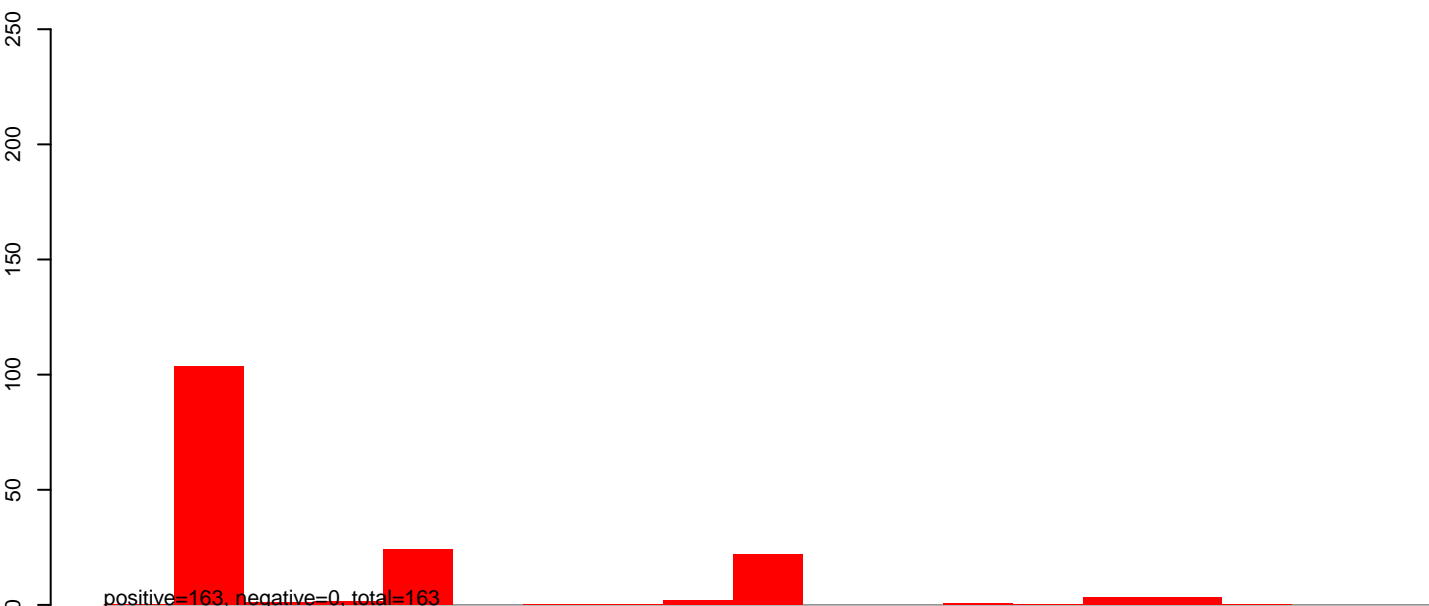
AeAlbo_C636_6dpi_SINV2.rep



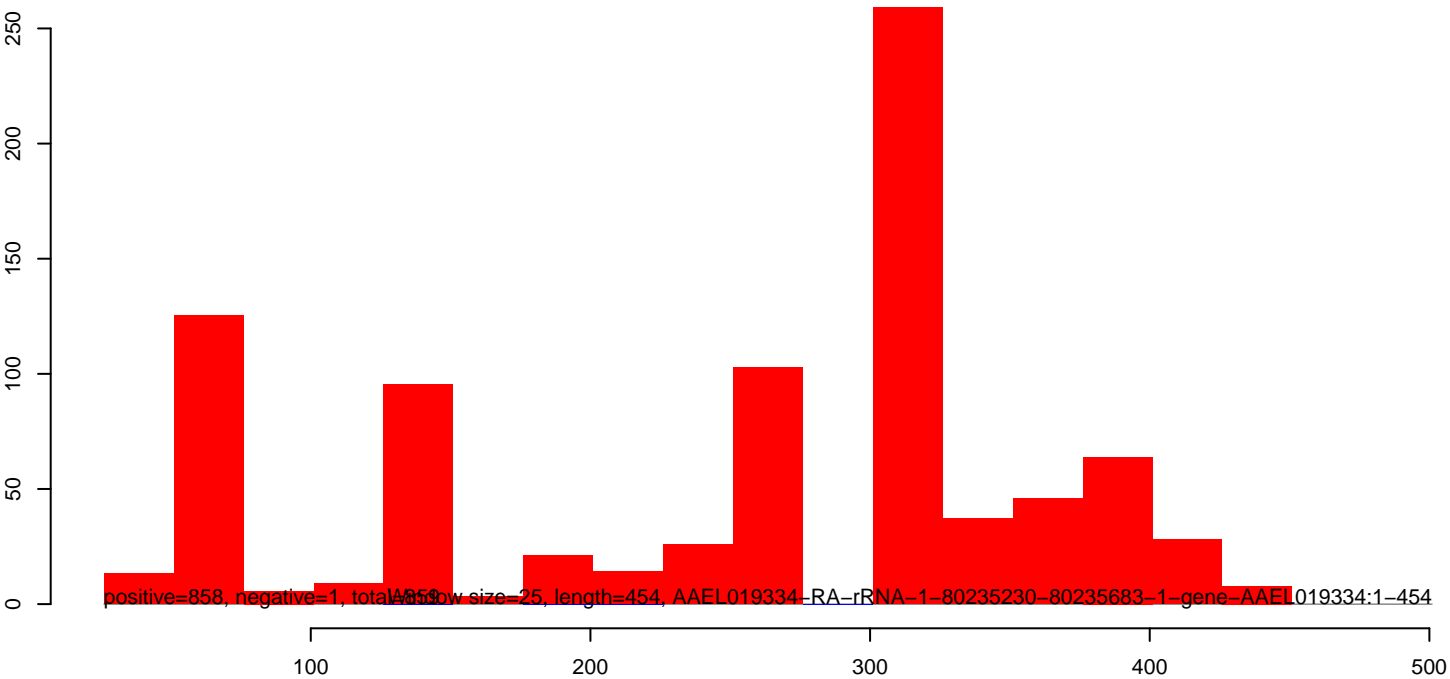
AeAlbo_C636_6dpi_SINV2.18_23.rep



AeAlbo_C636_6dpi_SINV2.24_35.rep



AeAlbo_C636_6dpi_SINV2.rep



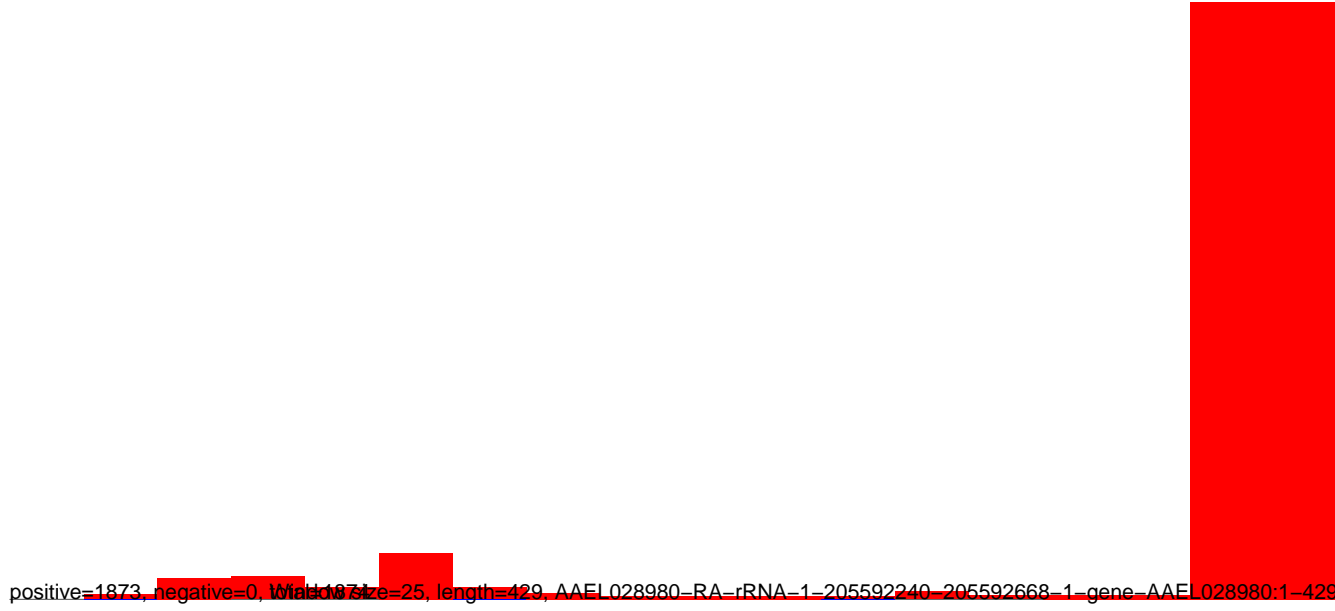
AeAlbo_C636_6dpi_SINV2.18_23.rep



AeAlbo_C636_6dpi_SINV2.24_35.rep

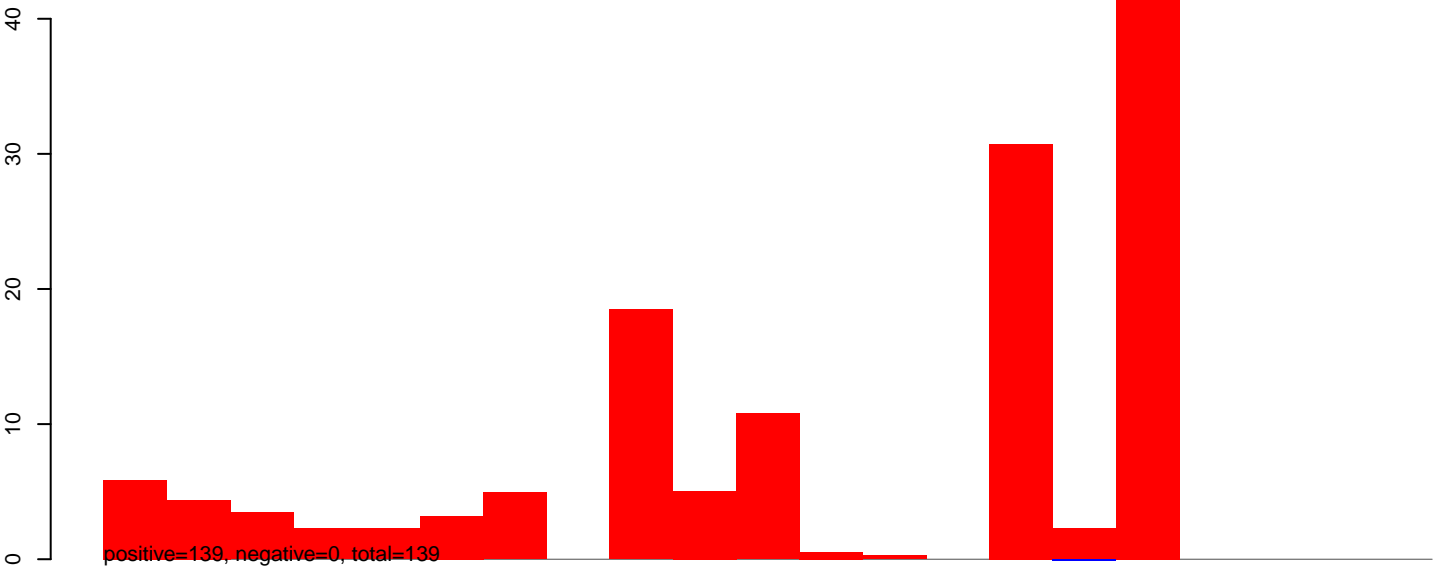


AeAlbo_C636_6dpi_SINV2.rep

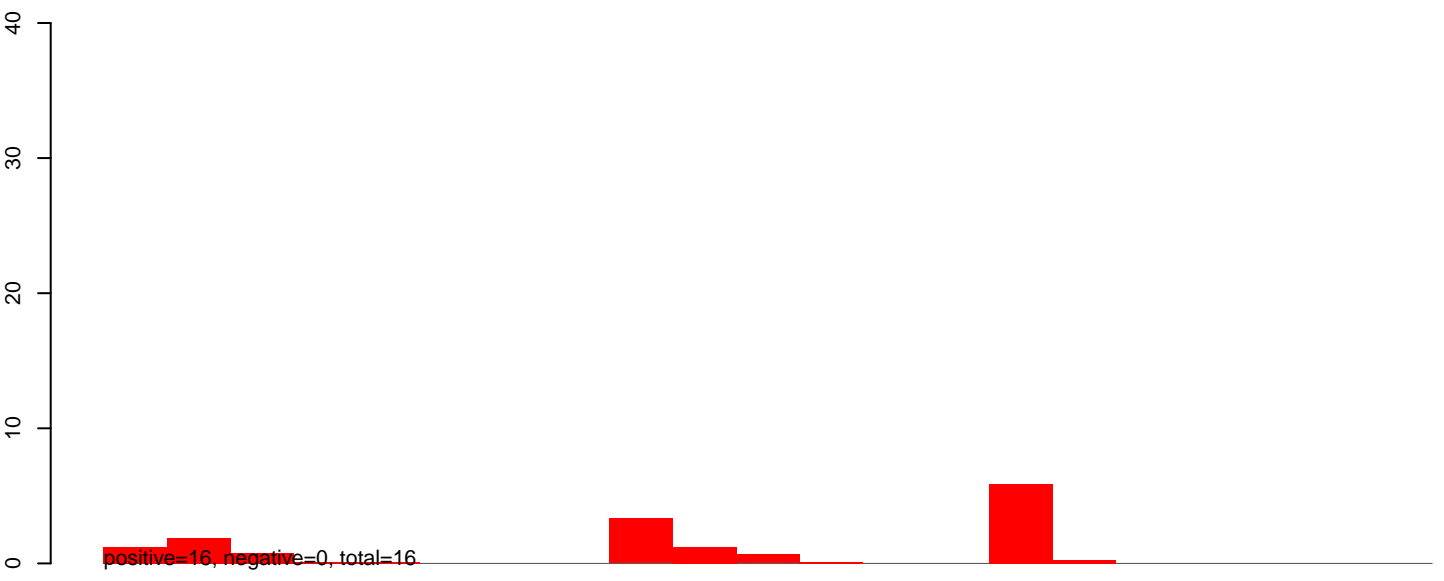


100 200 300 400

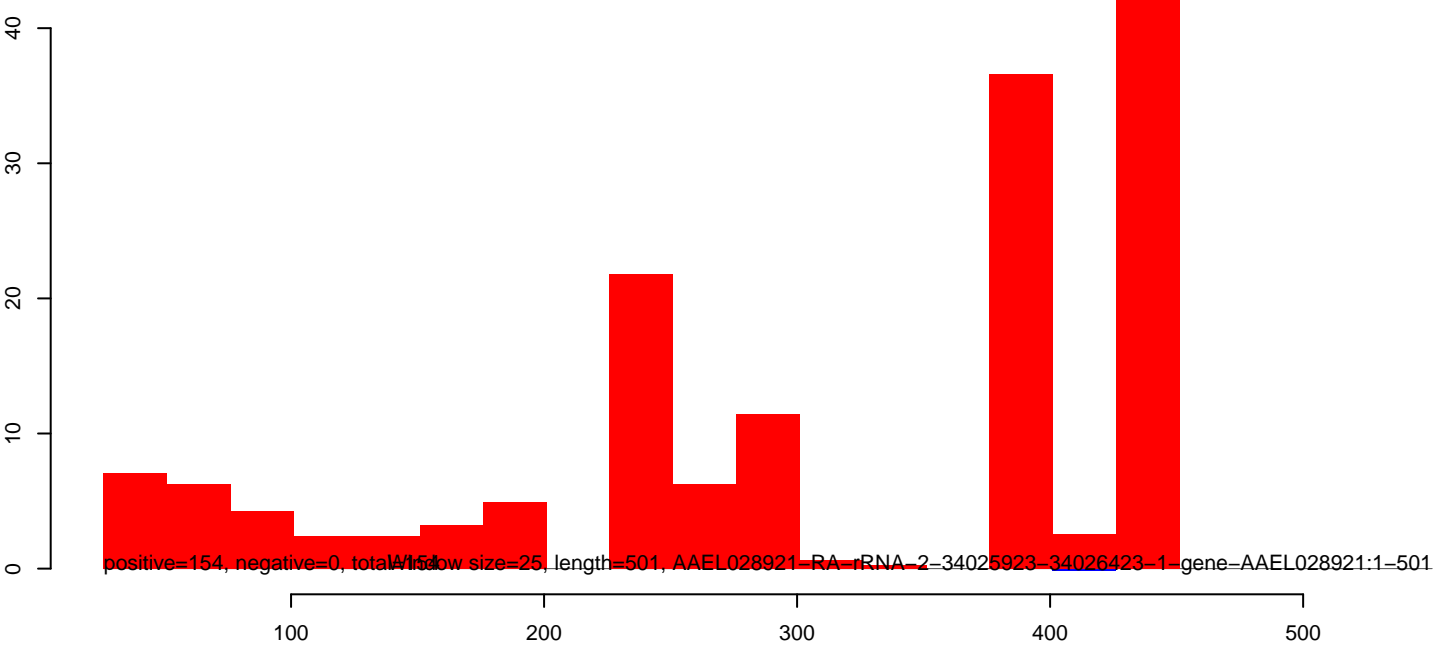
AeAlbo_C636_6dpi_SINV2.18_23.rep



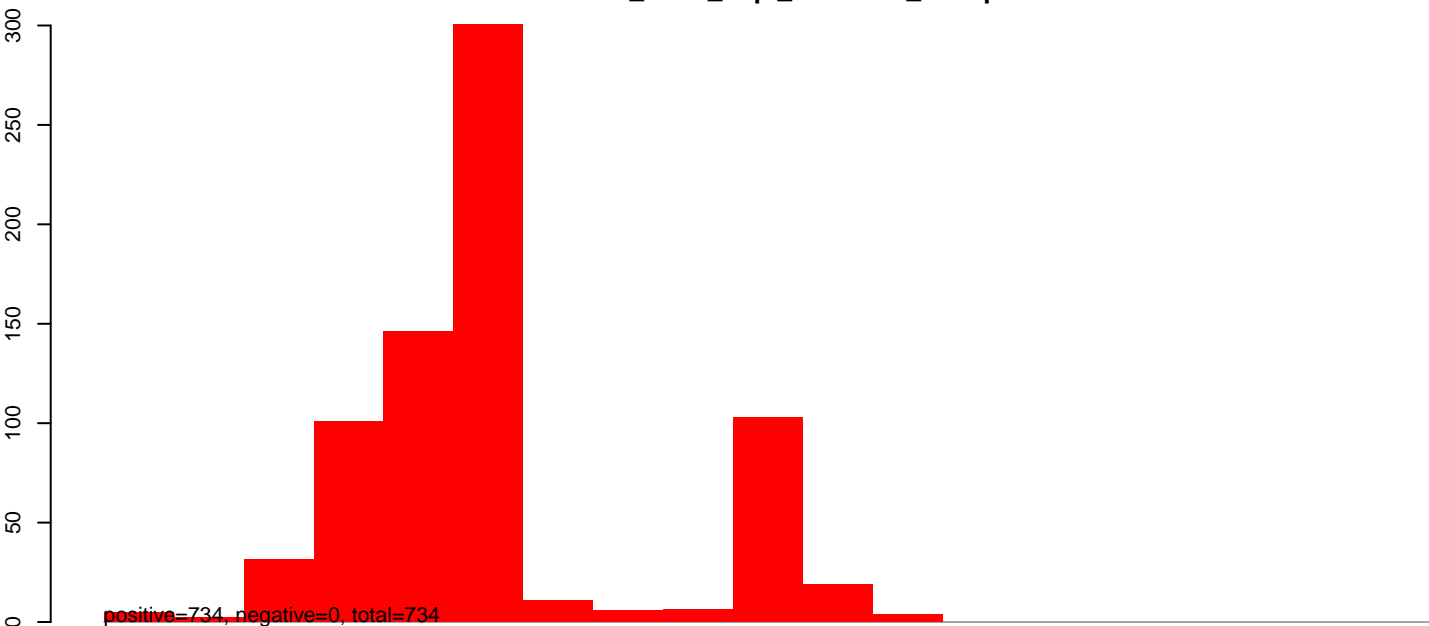
AeAlbo_C636_6dpi_SINV2.24_35.rep



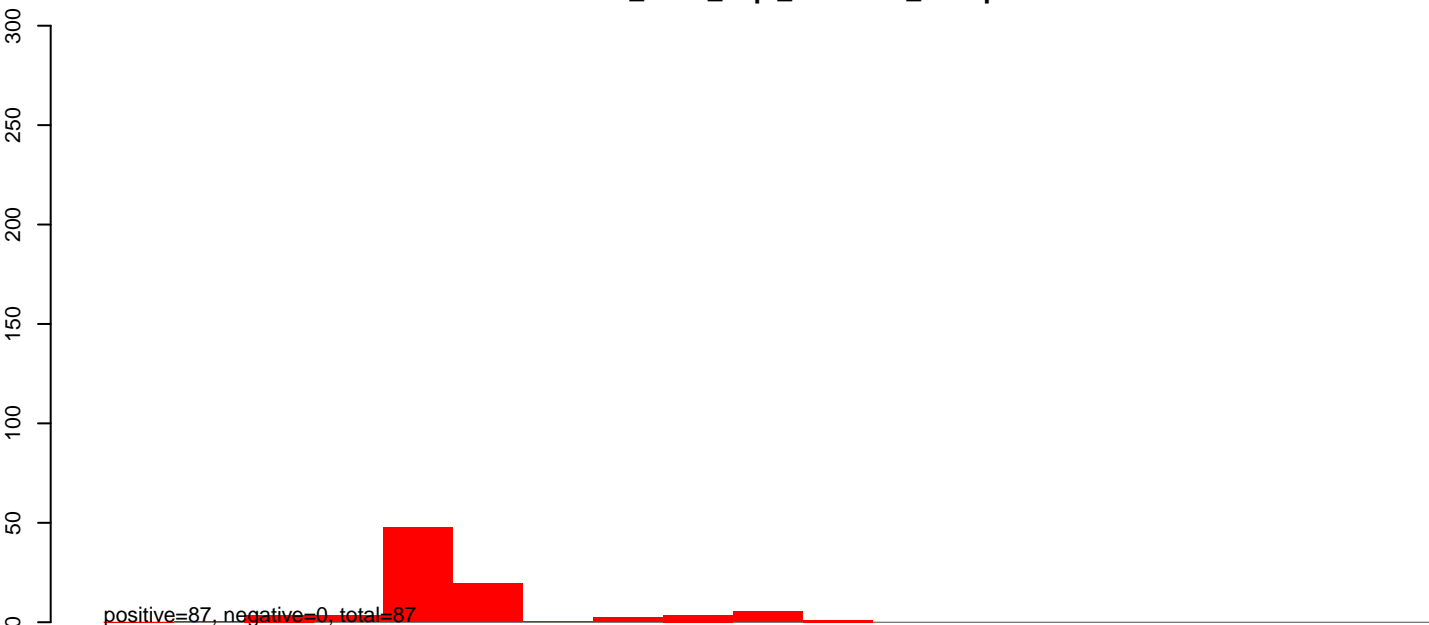
AeAlbo_C636_6dpi_SINV2.rep



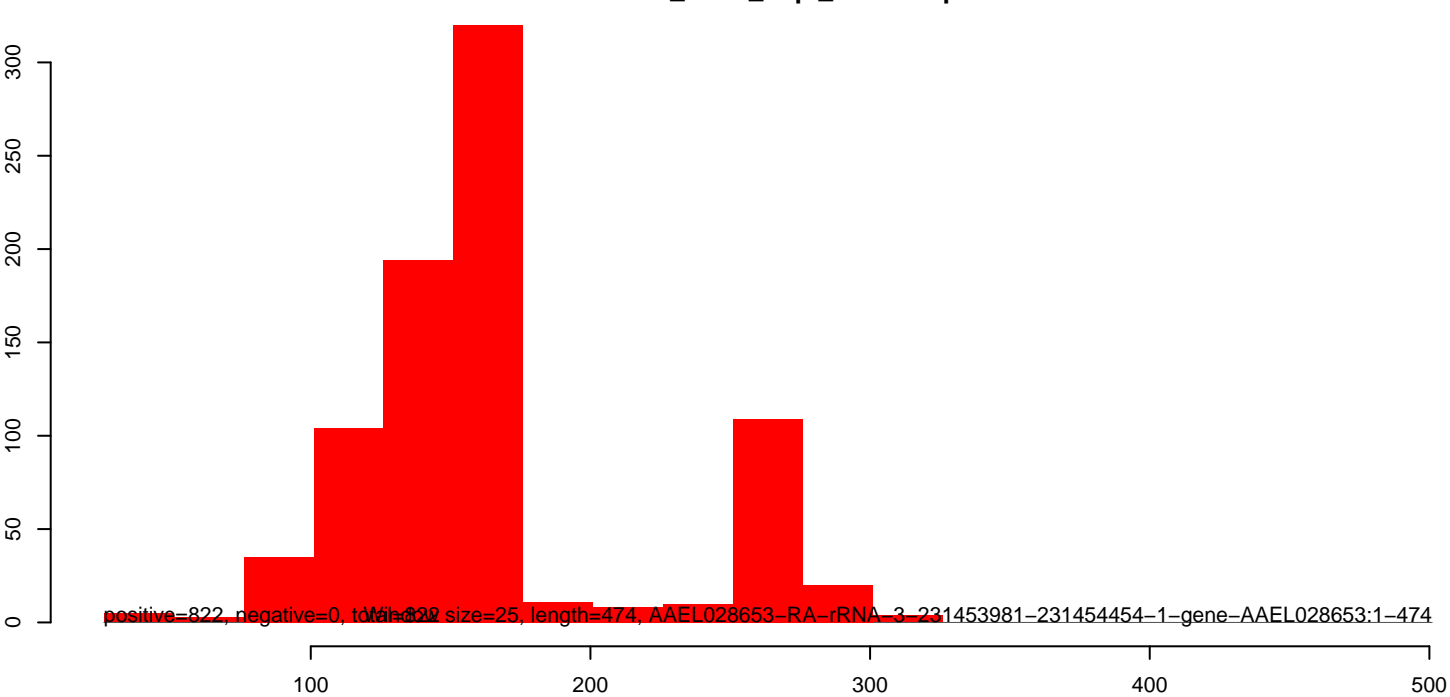
AeAlbo_C636_6dpi_SINV2.18_23.rep



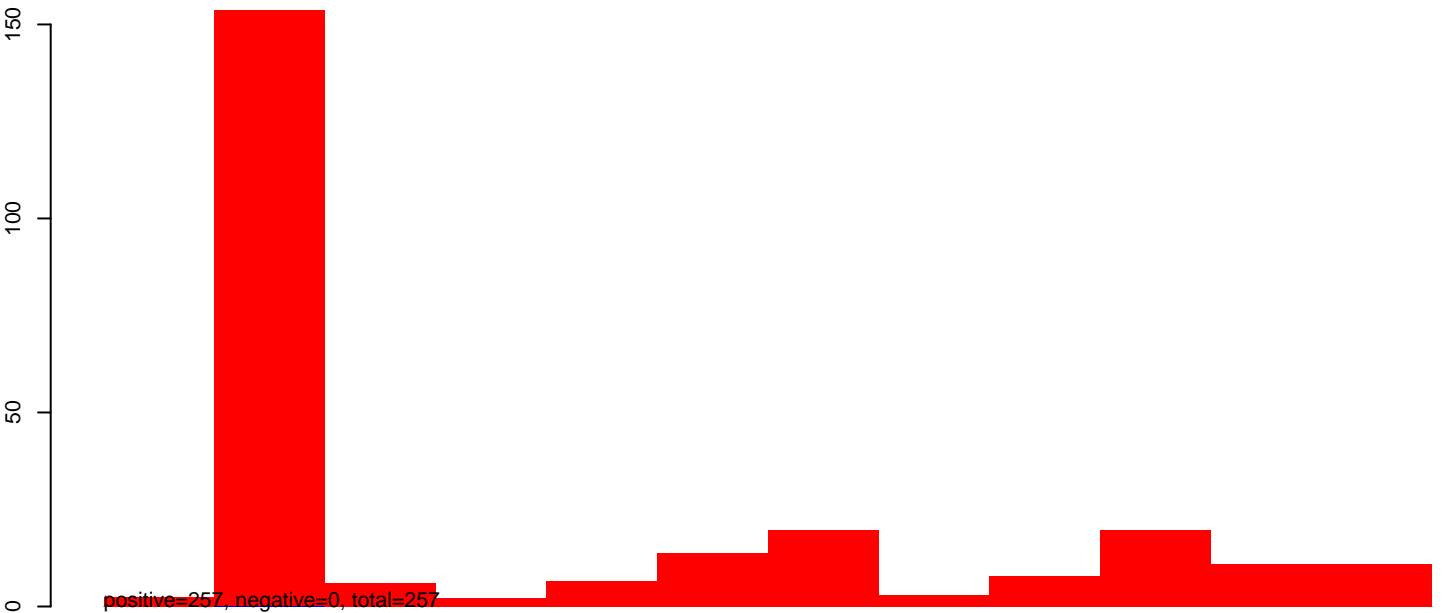
AeAlbo_C636_6dpi_SINV2.24_35.rep



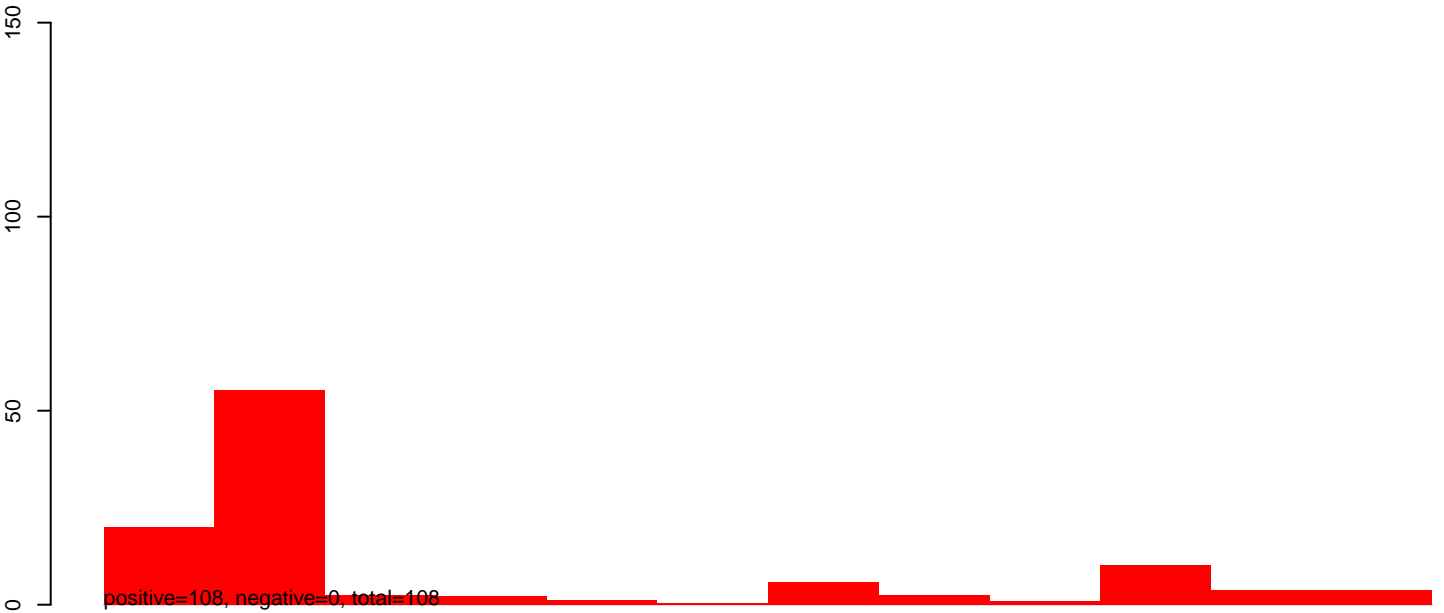
AeAlbo_C636_6dpi_SINV2.rep



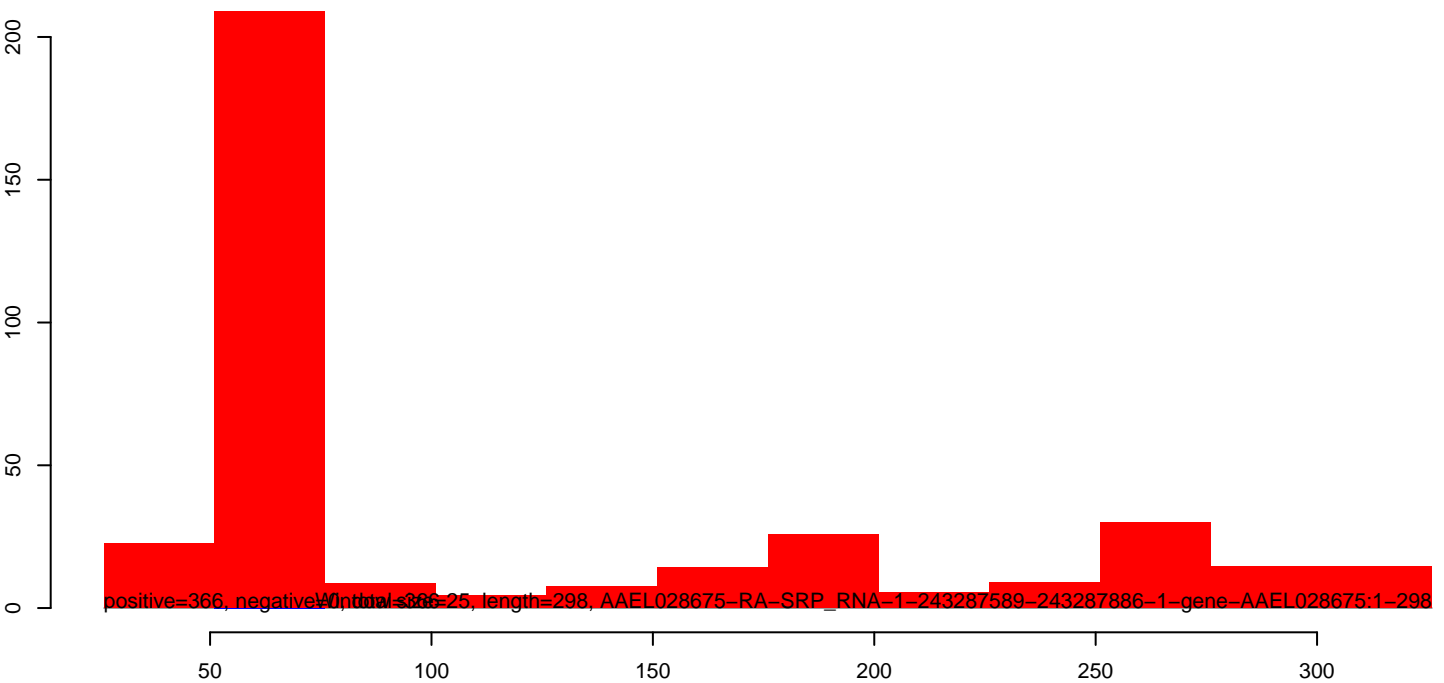
AeAlbo_C636_6dpi_SINV2.18_23.rep



AeAlbo_C636_6dpi_SINV2.24_35.rep



AeAlbo_C636_6dpi_SINV2.rep



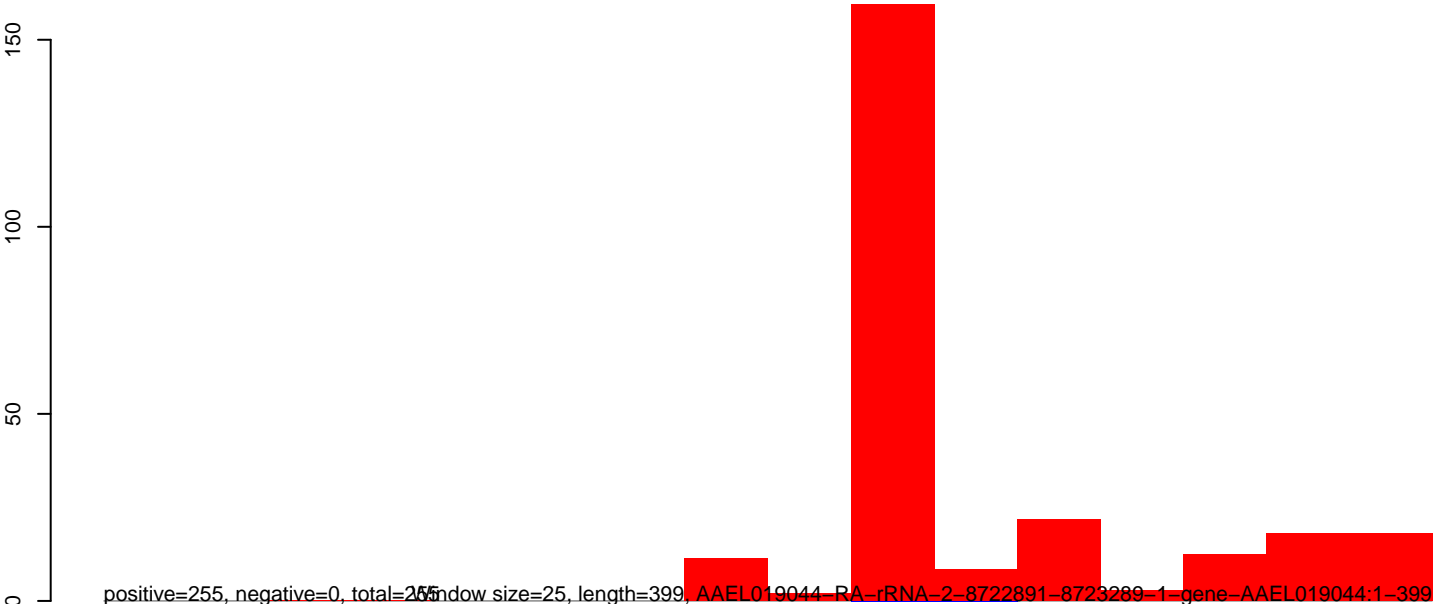
AeAlbo_C636_6dpi_SINV2.18_23.rep



AeAlbo_C636_6dpi_SINV2.24_35.rep



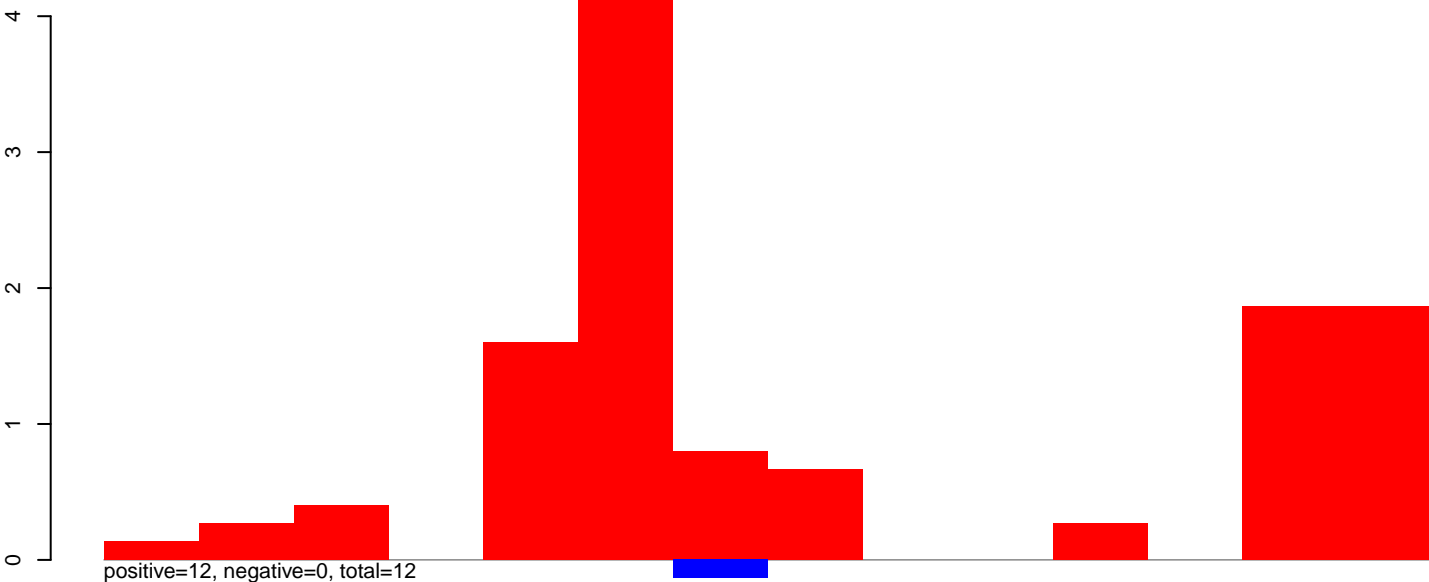
AeAlbo_C636_6dpi_SINV2.rep



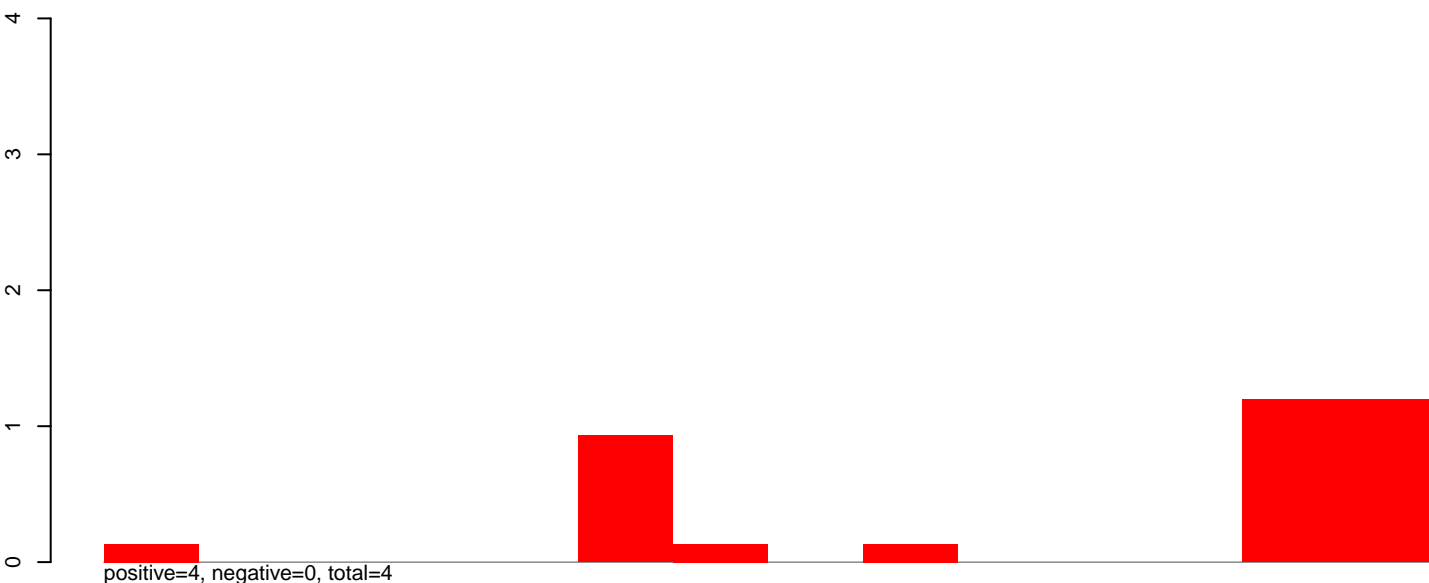
Window size=25, length=399, AAEL019044-RA-rRNA-2-8722891-8723289-1-gene-AAEL019044:1-399

100 200 300 400

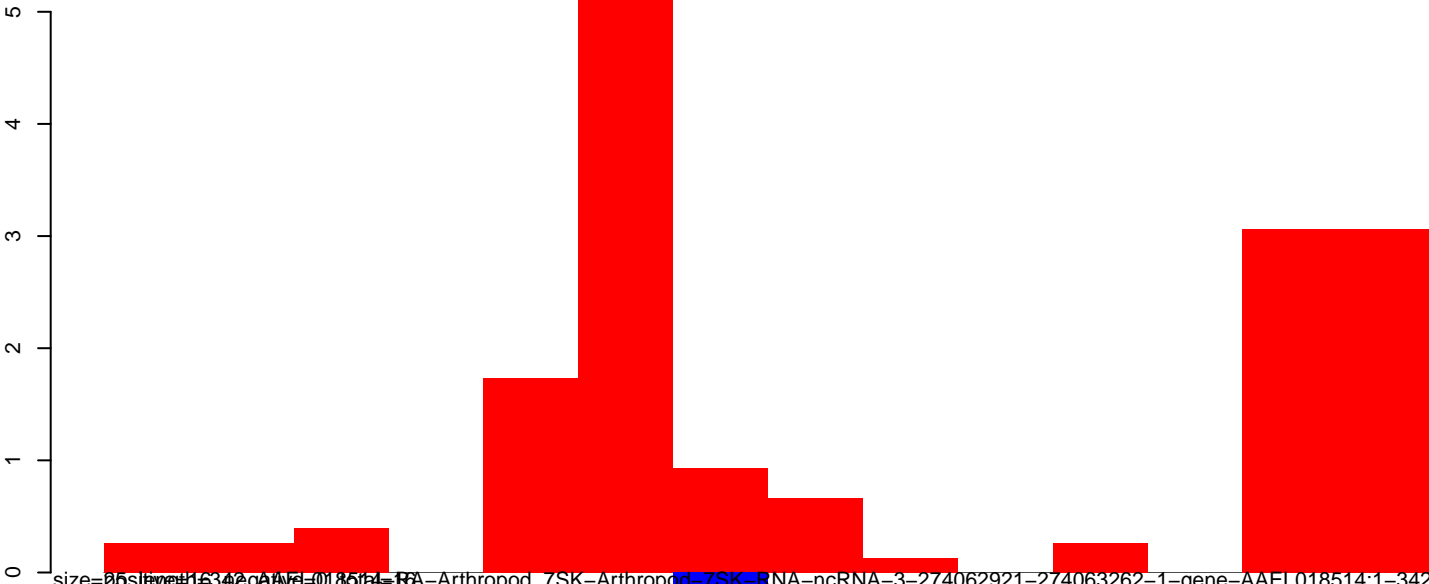
AeAlbo_C636_6dpi_SINV2.18_23.rep



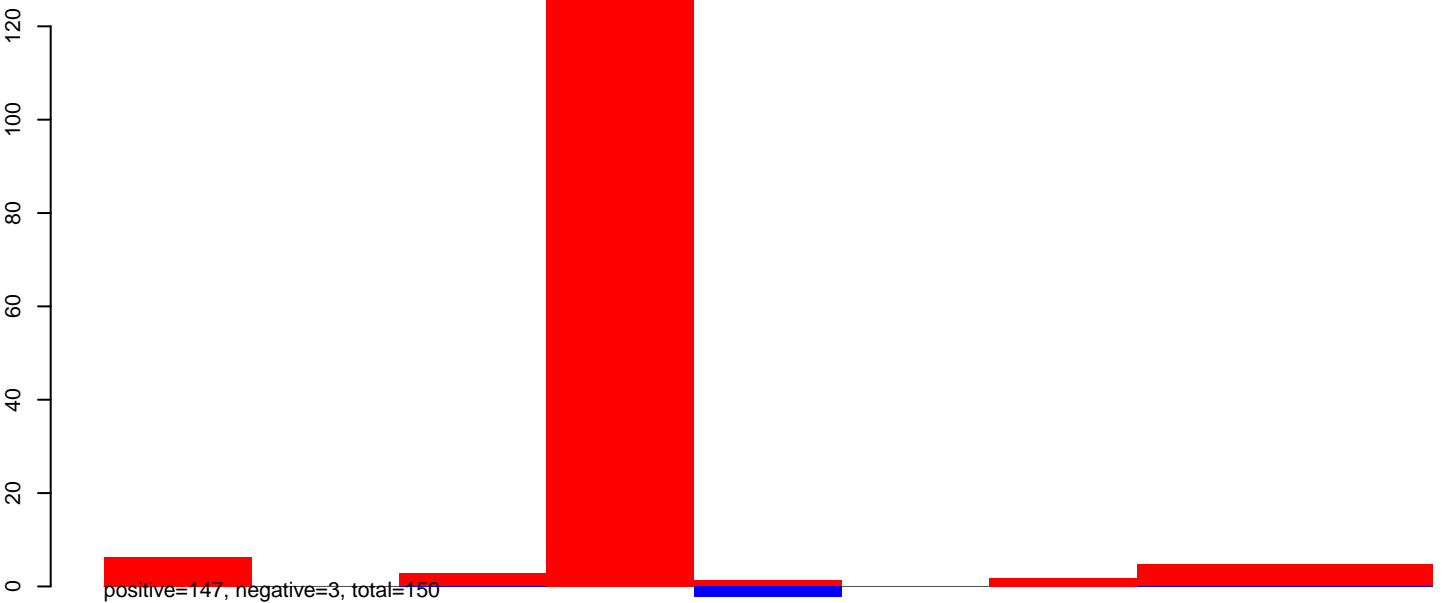
AeAlbo_C636_6dpi_SINV2.24_35.rep



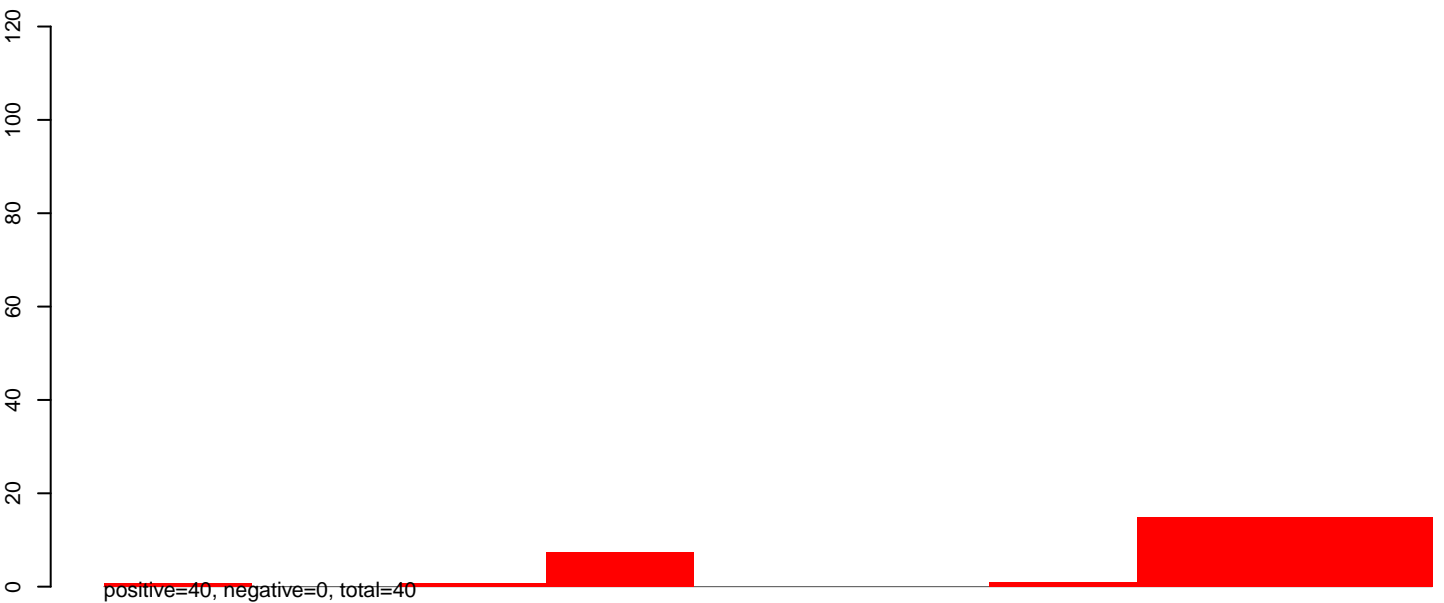
AeAlbo_C636_6dpi_SINV2.rep



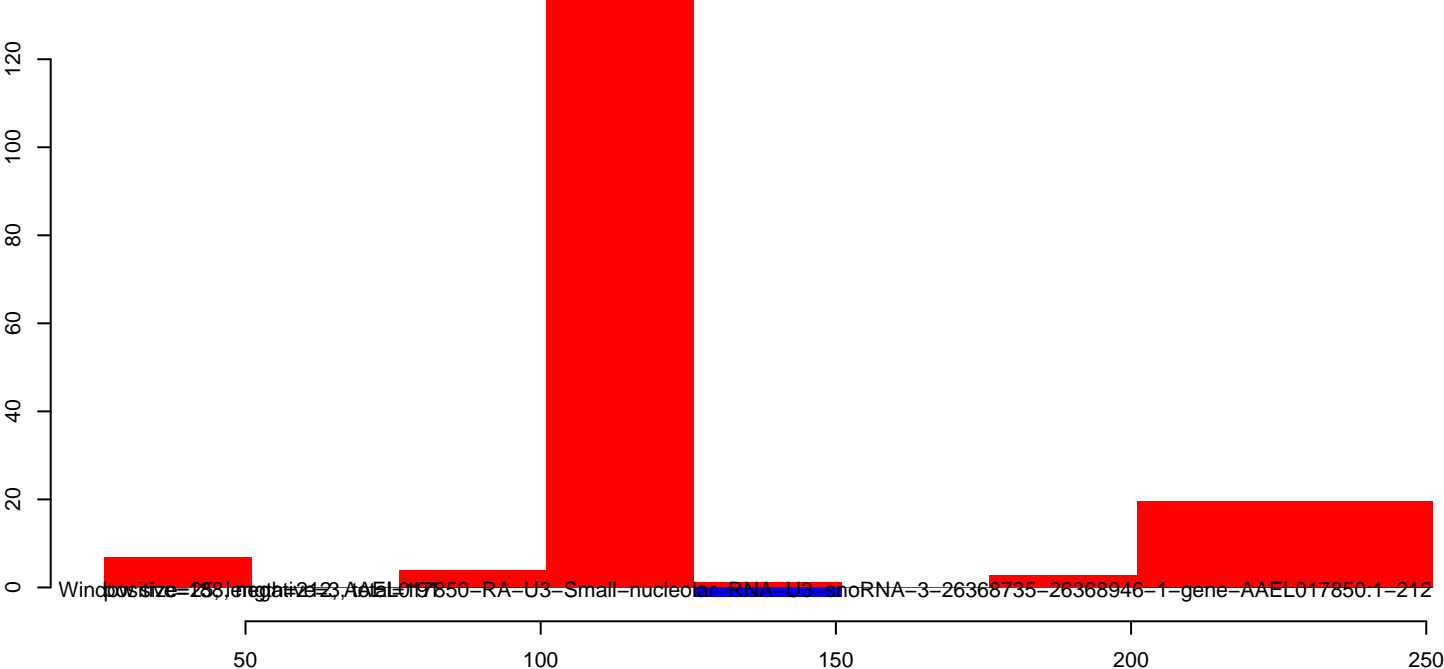
AeAlbo_C636_6dpi_SINV2.18_23.rep



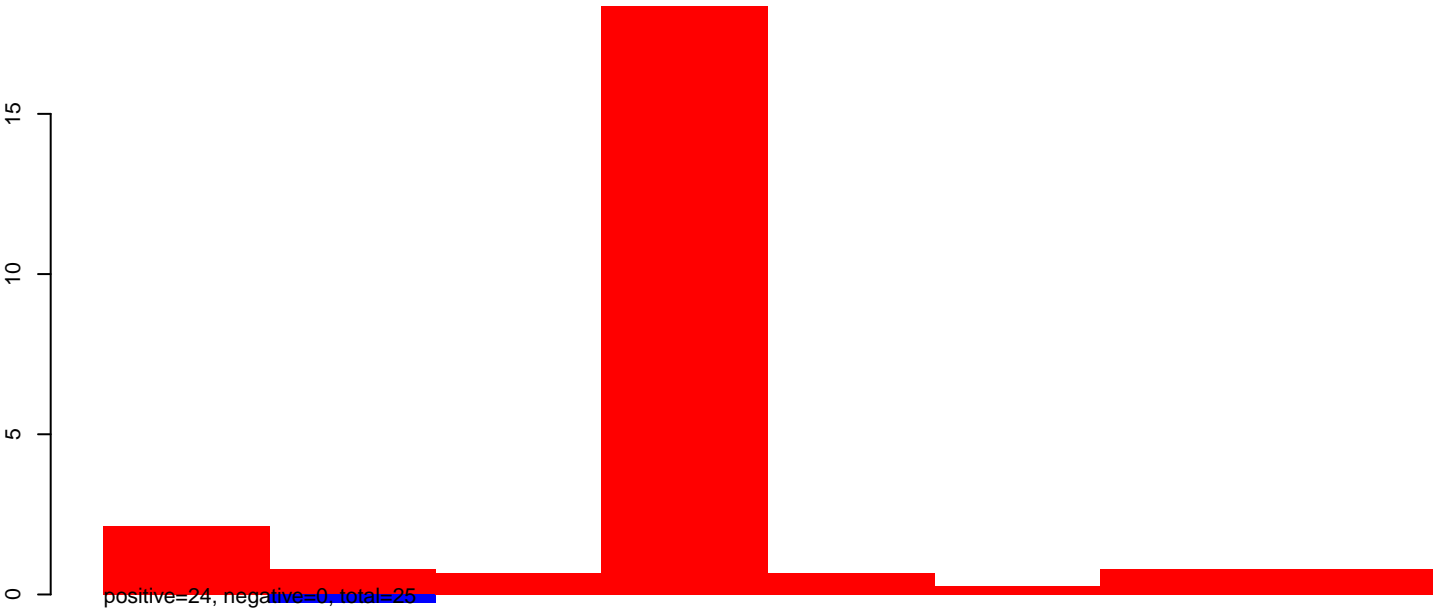
AeAlbo_C636_6dpi_SINV2.24_35.rep



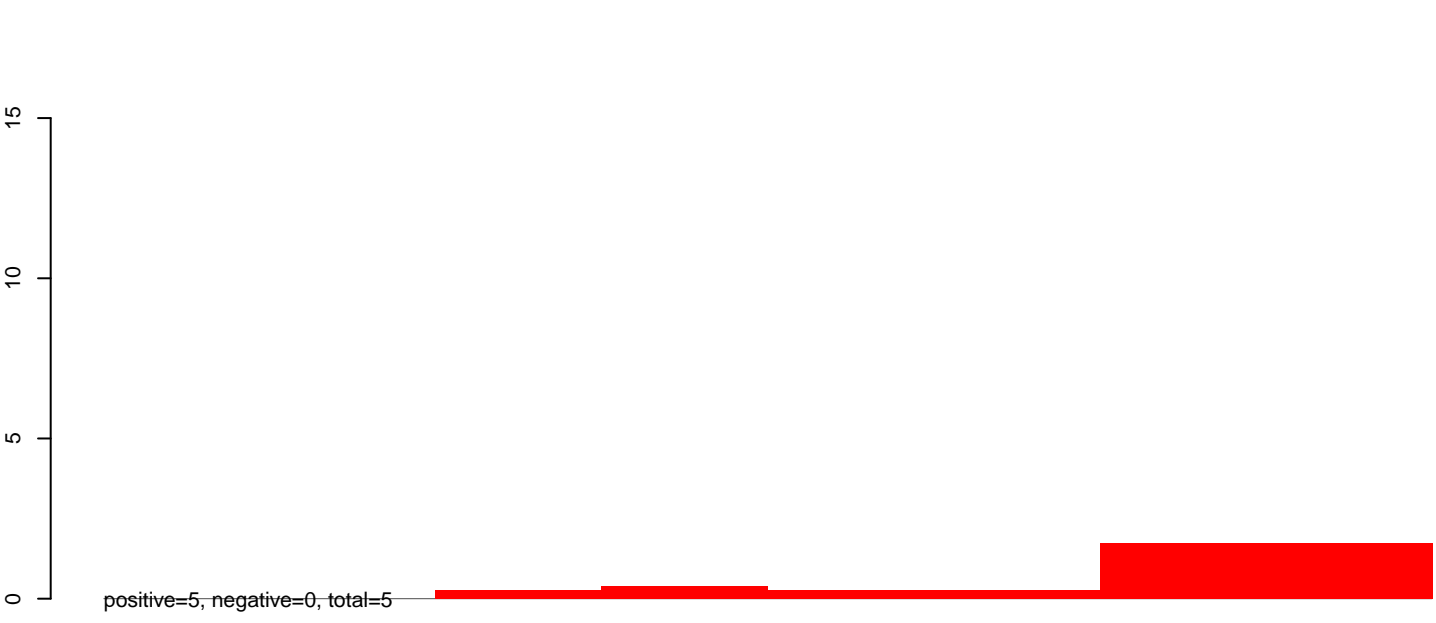
AeAlbo_C636_6dpi_SINV2.rep



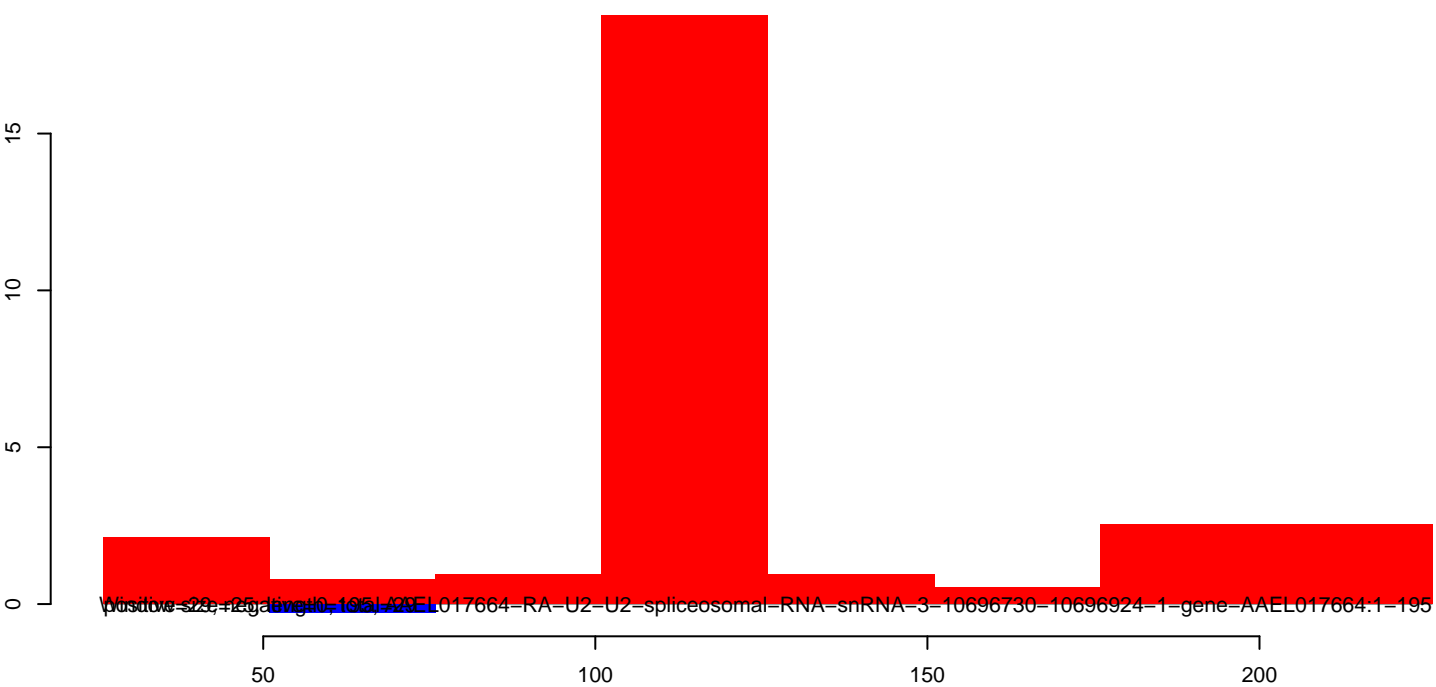
AeAlbo_C636_6dpi_SINV2.18_23.rep



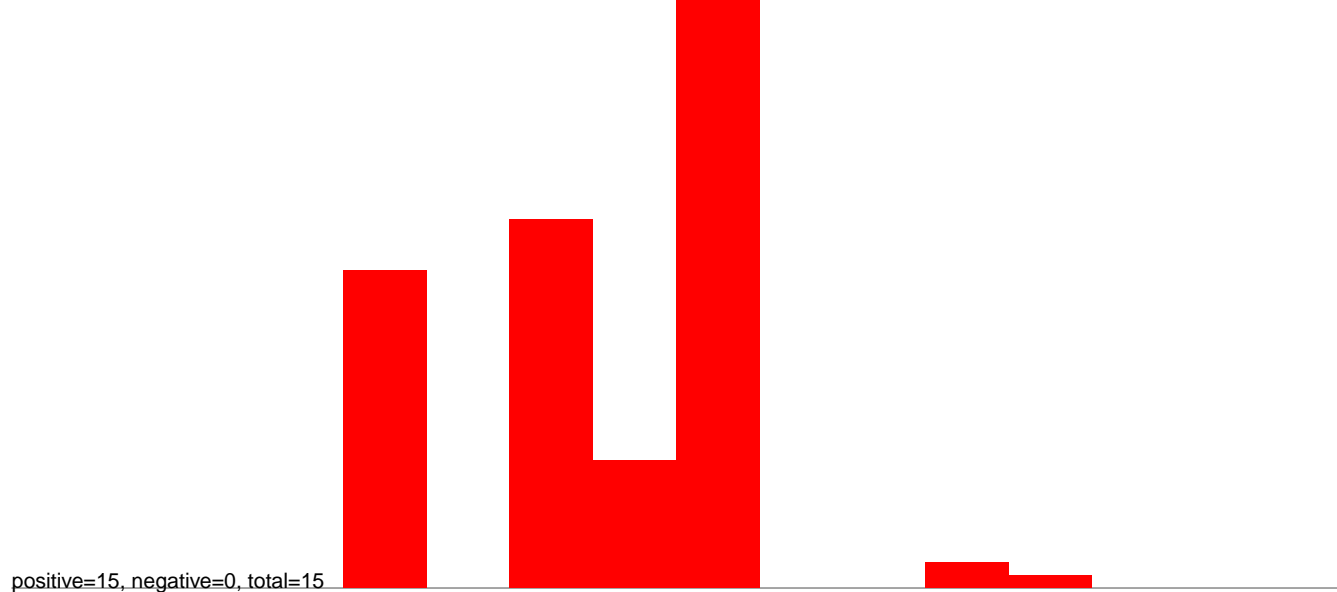
AeAlbo_C636_6dpi_SINV2.24_35.rep



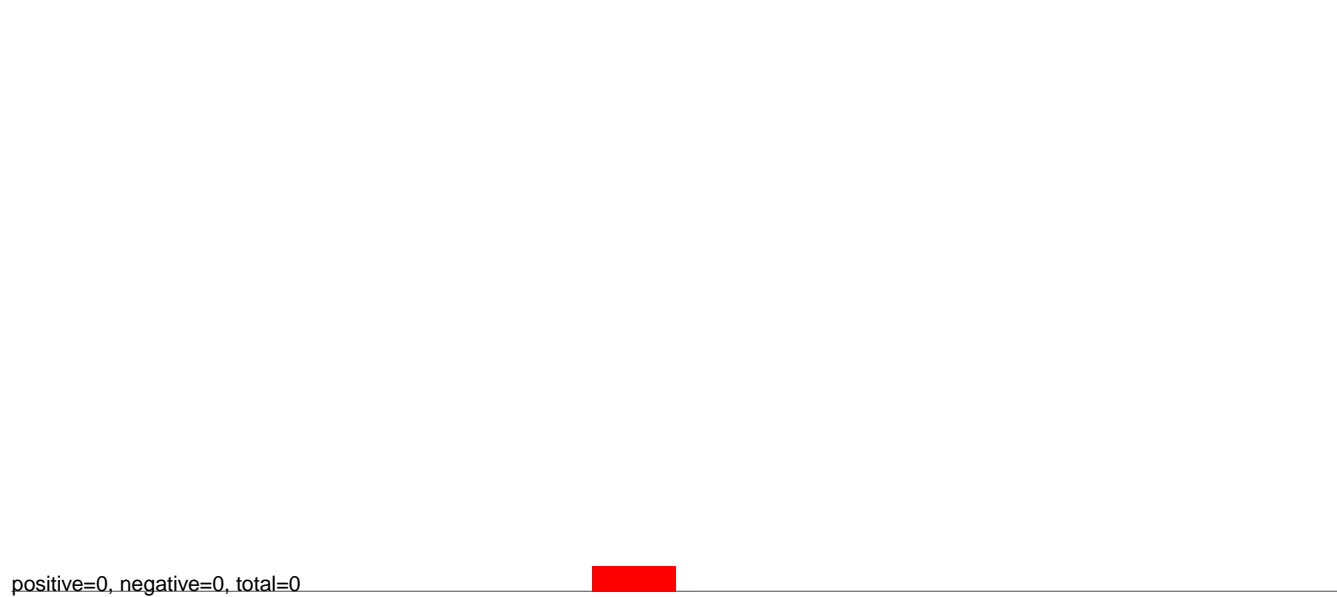
AeAlbo_C636_6dpi_SINV2.rep



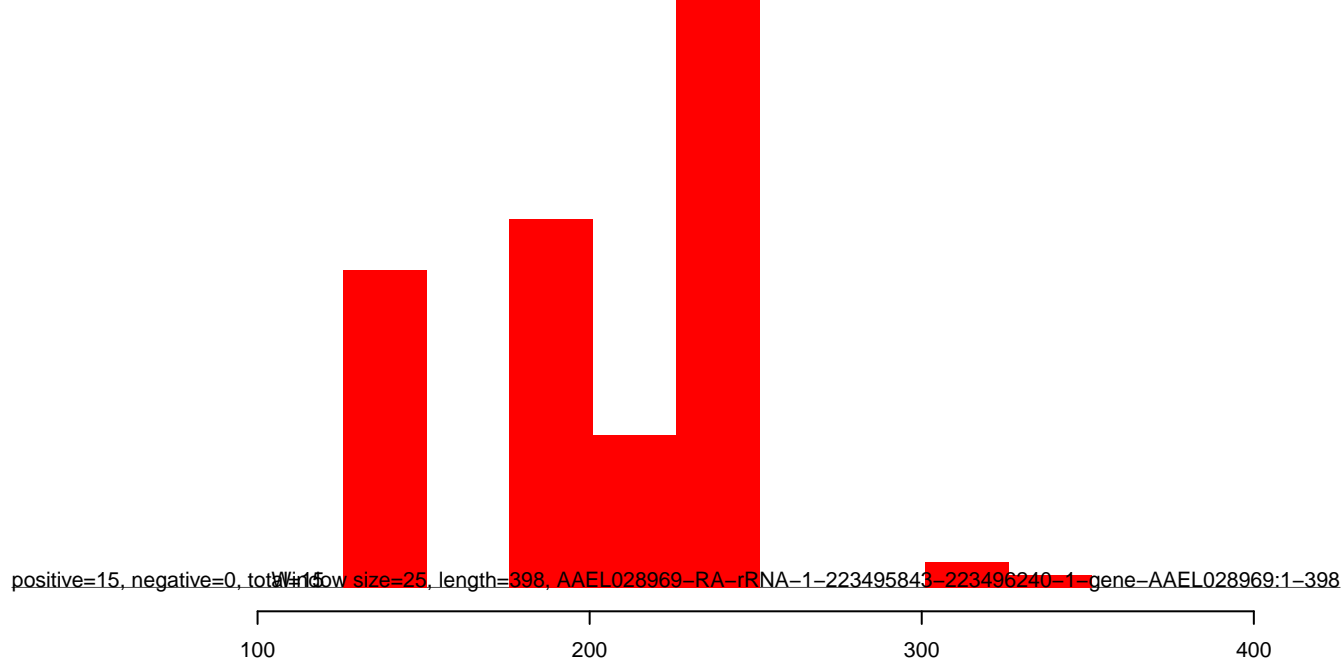
AeAlbo_C636_6dpi_SINV2.18_23.rep



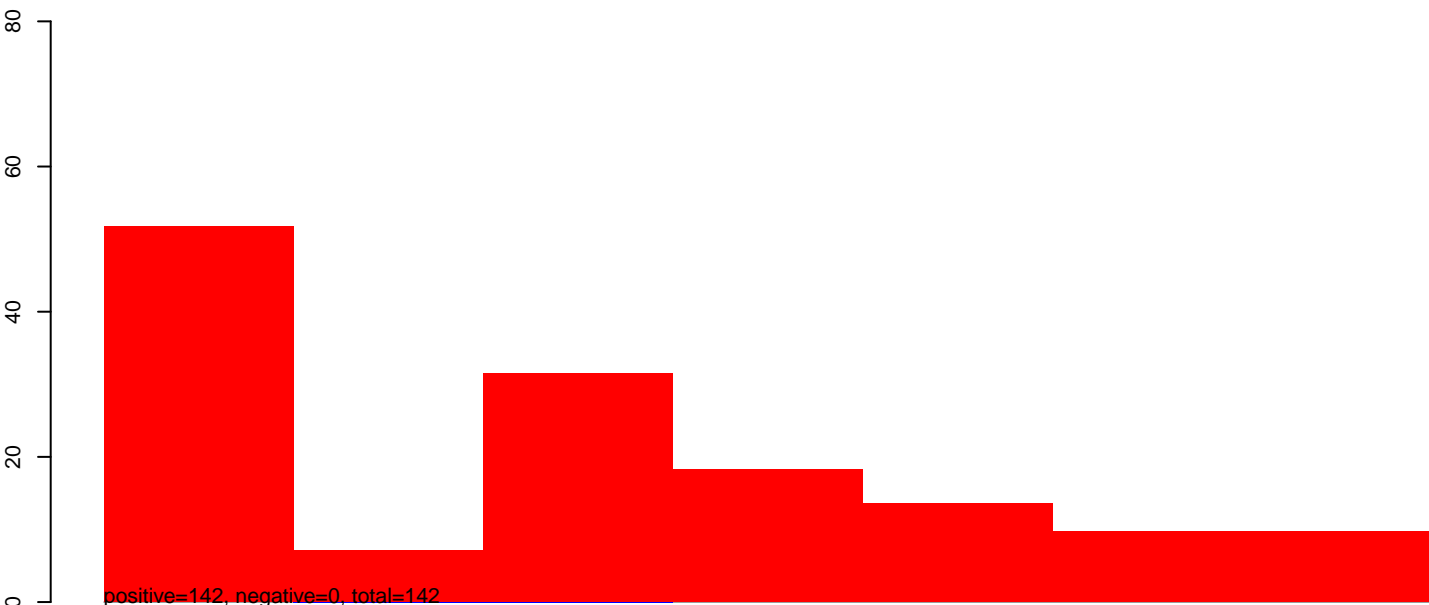
AeAlbo_C636_6dpi_SINV2.24_35.rep



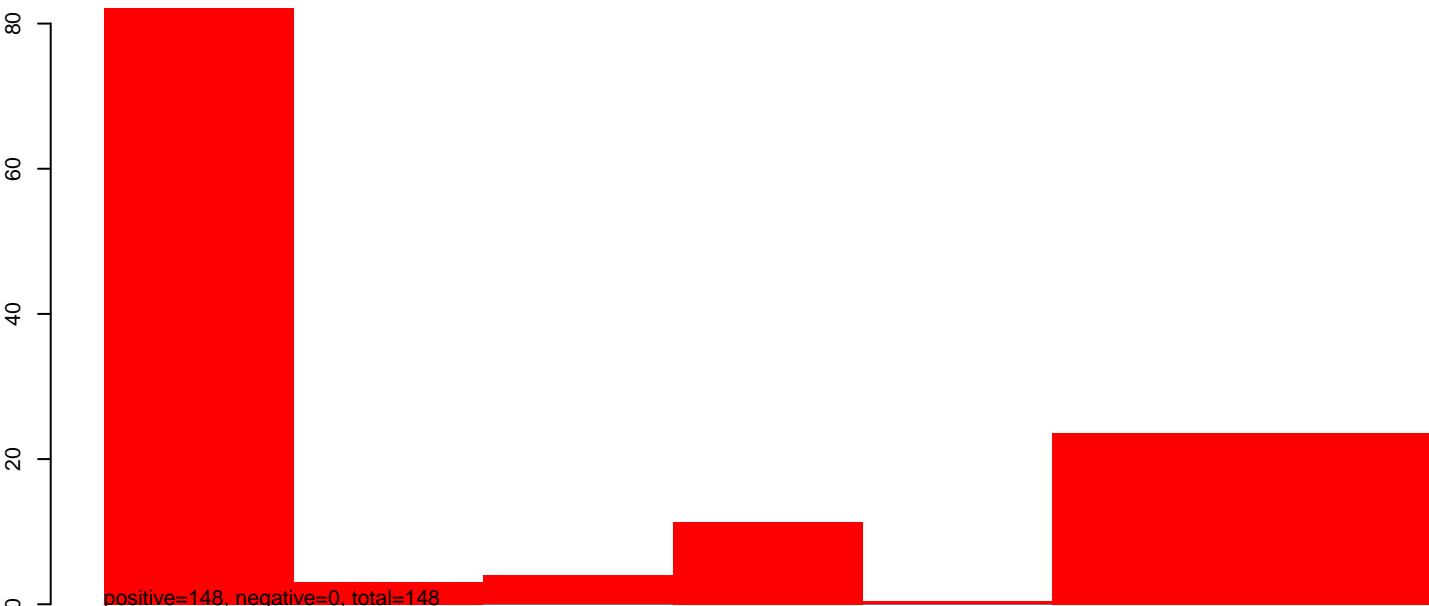
AeAlbo_C636_6dpi_SINV2.rep



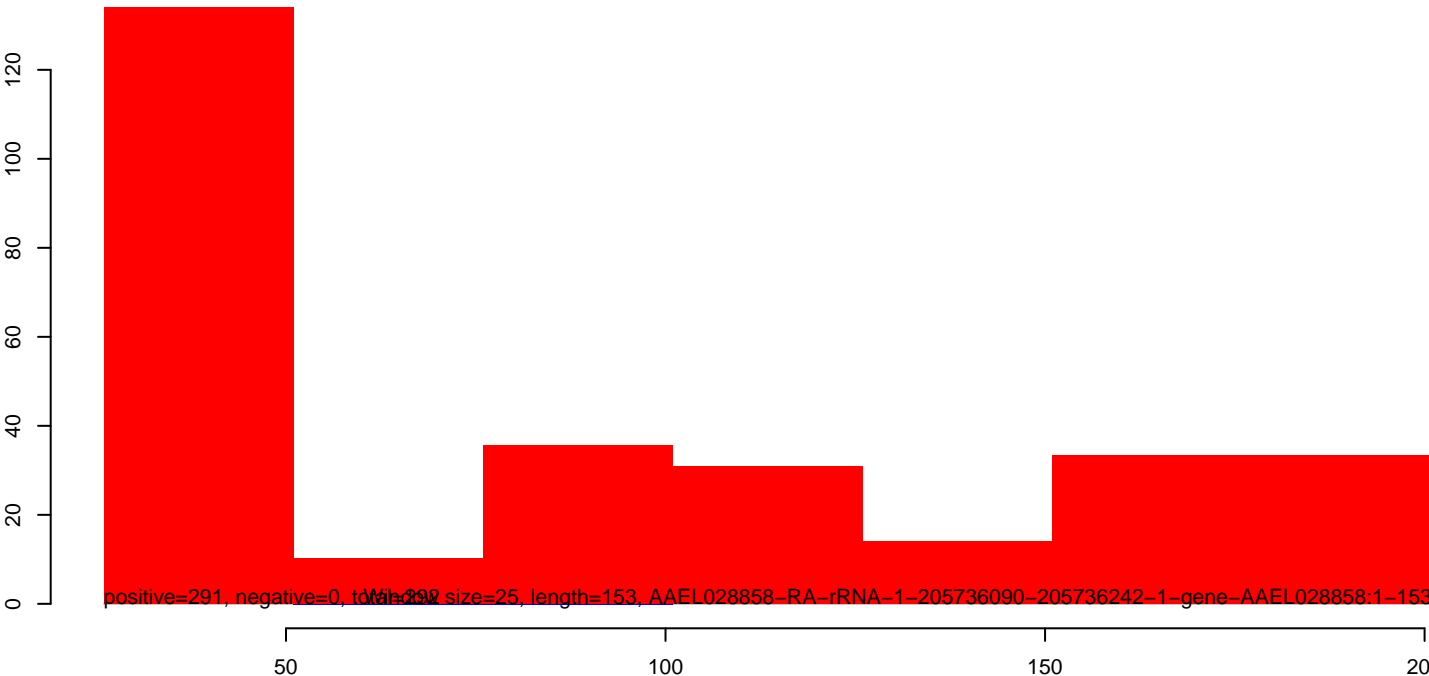
AeAlbo_C636_6dpi_SINV2.18_23.rep



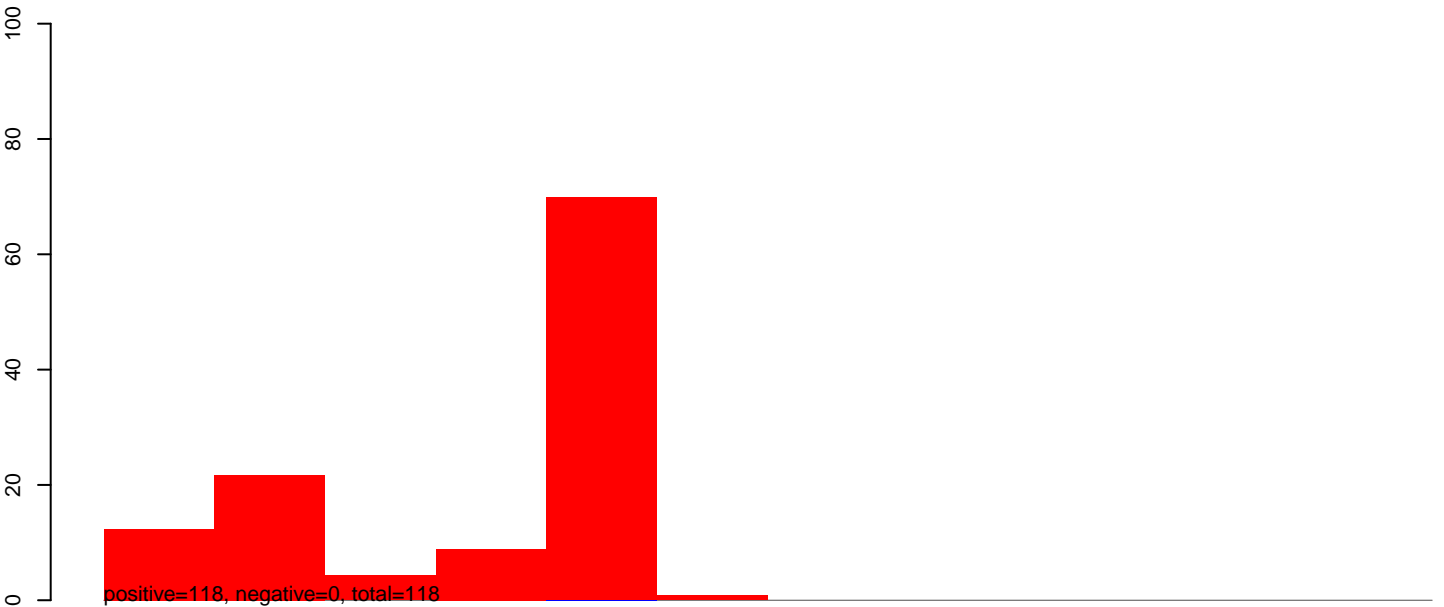
AeAlbo_C636_6dpi_SINV2.24_35.rep



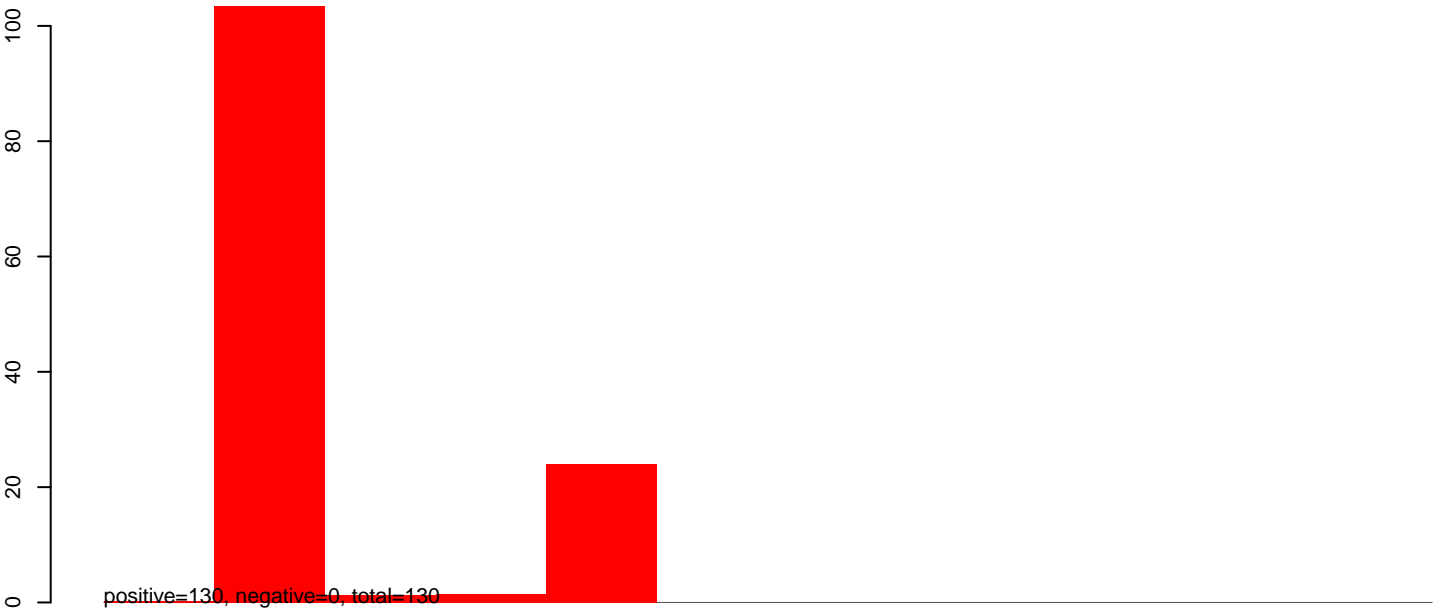
AeAlbo_C636_6dpi_SINV2.rep



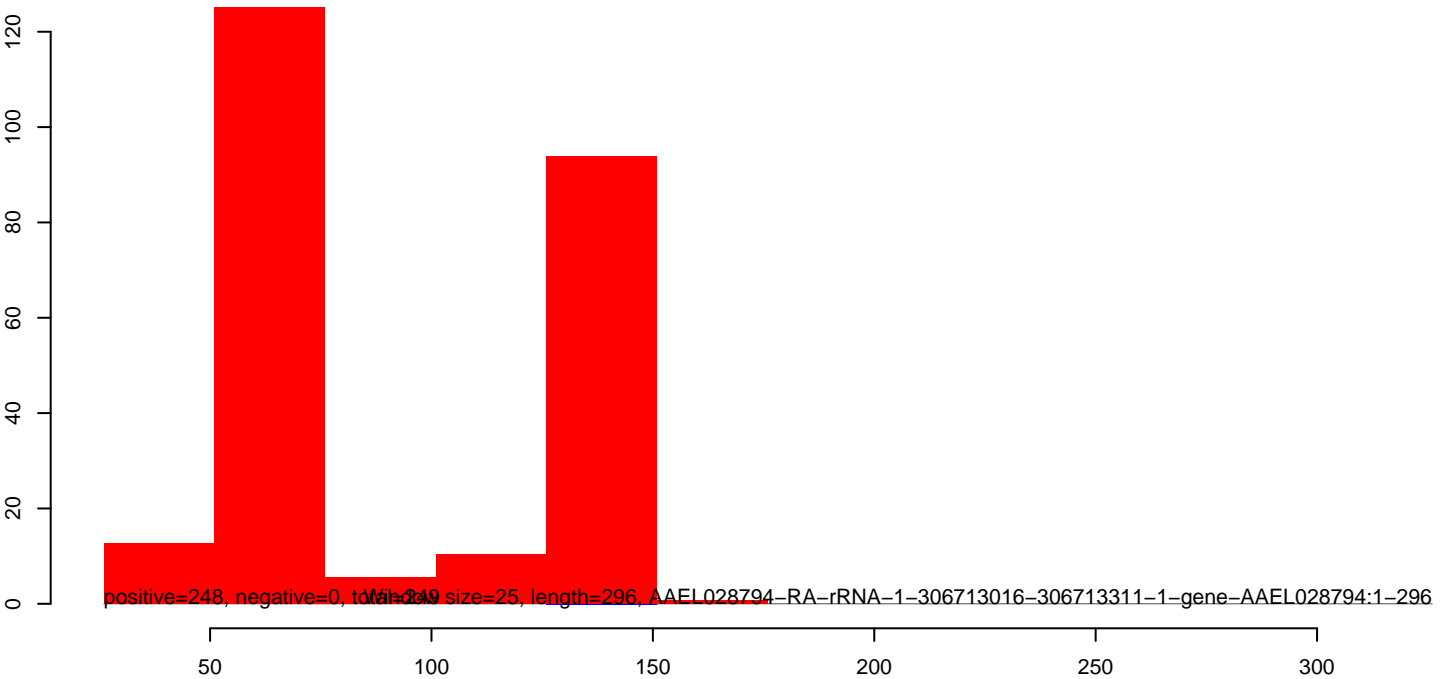
AeAlbo_C636_6dpi_SINV2.18_23.rep



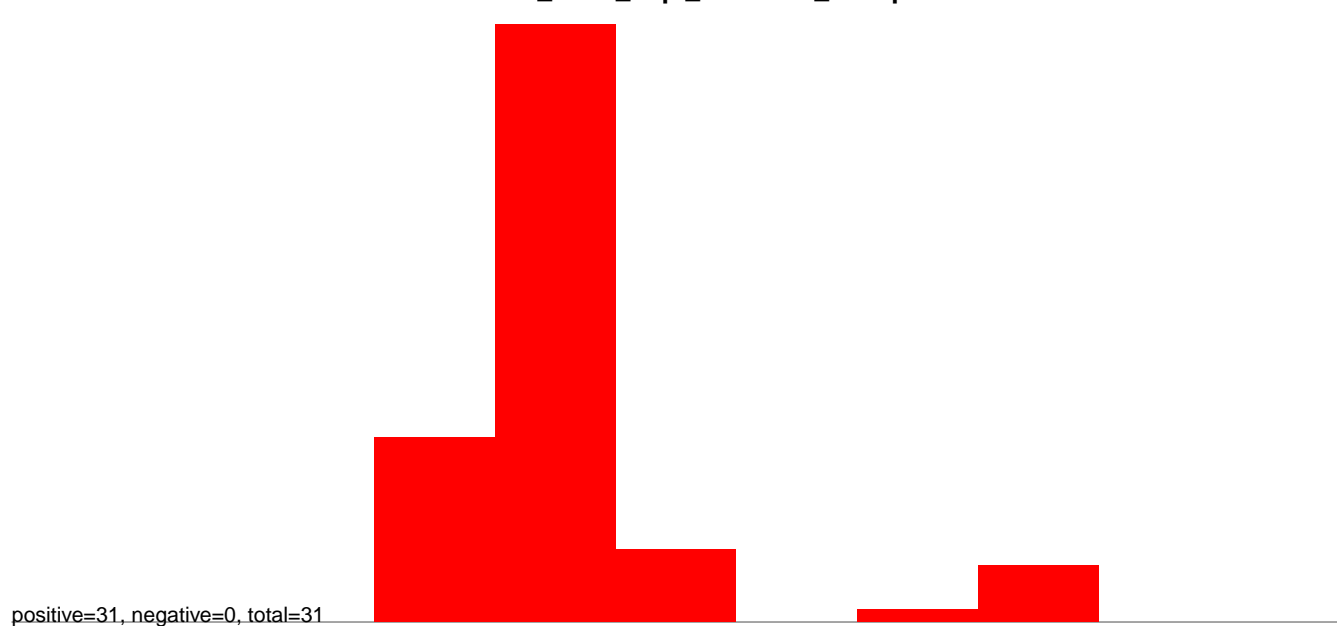
AeAlbo_C636_6dpi_SINV2.24_35.rep



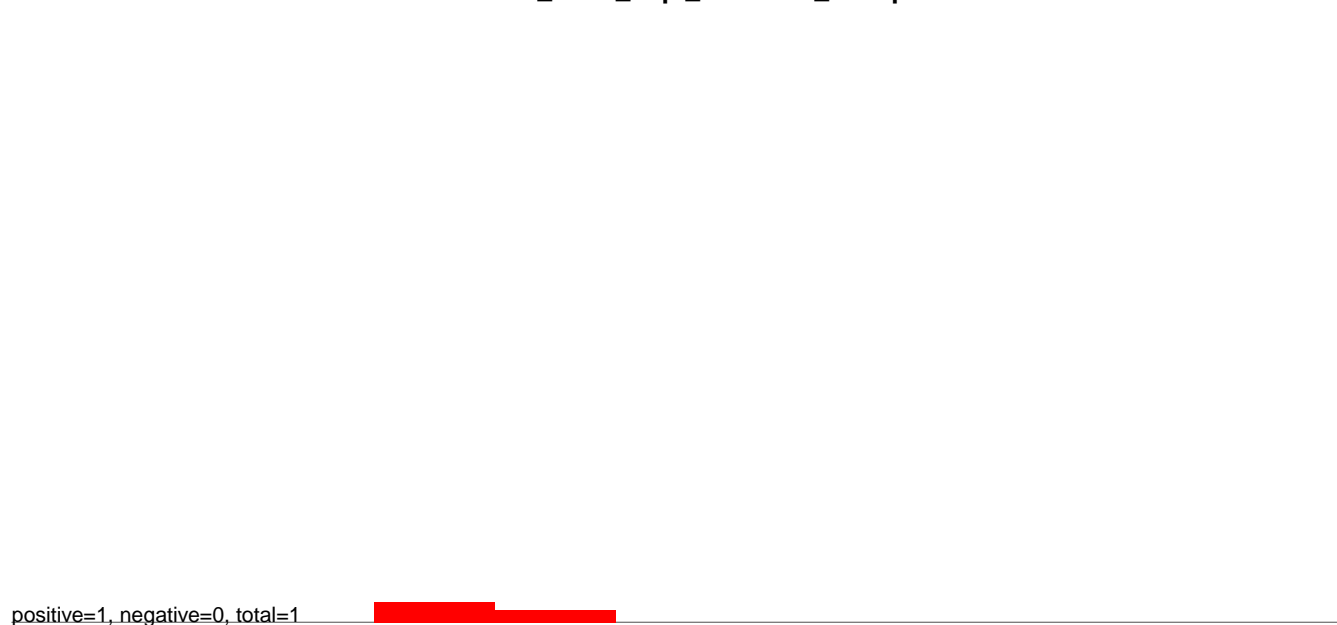
AeAlbo_C636_6dpi_SINV2.rep



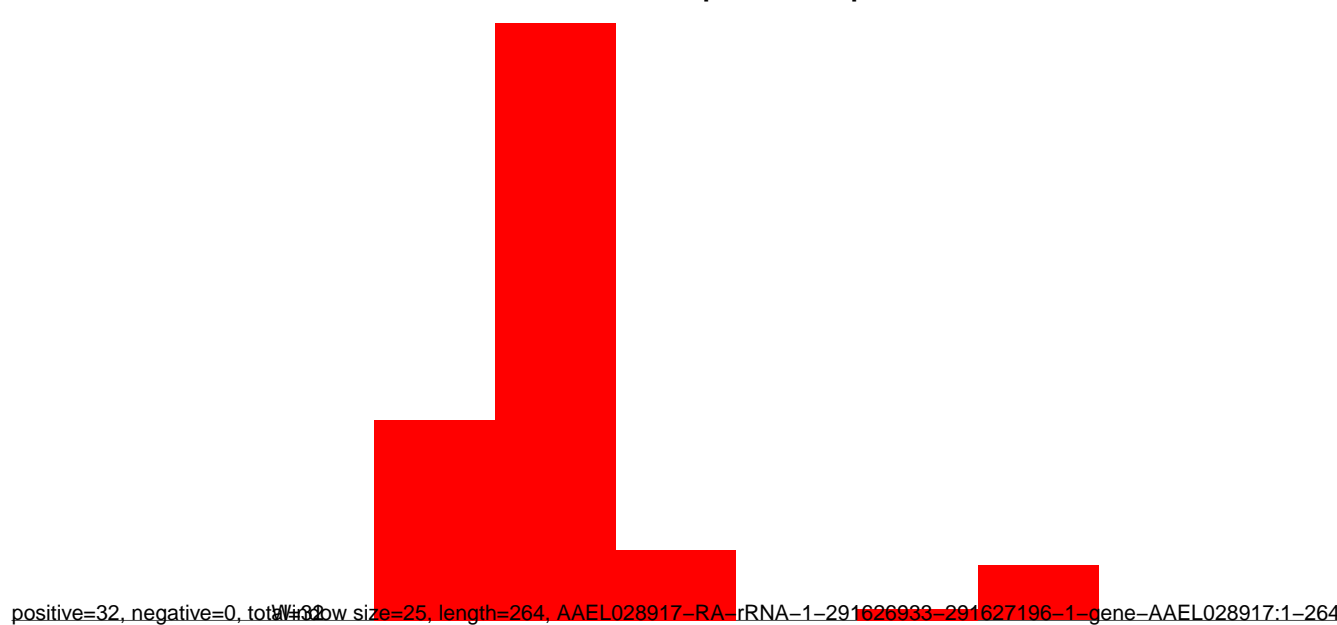
AeAlbo_C636_6dpi_SINV2.18_23.rep



AeAlbo_C636_6dpi_SINV2.24_35.rep



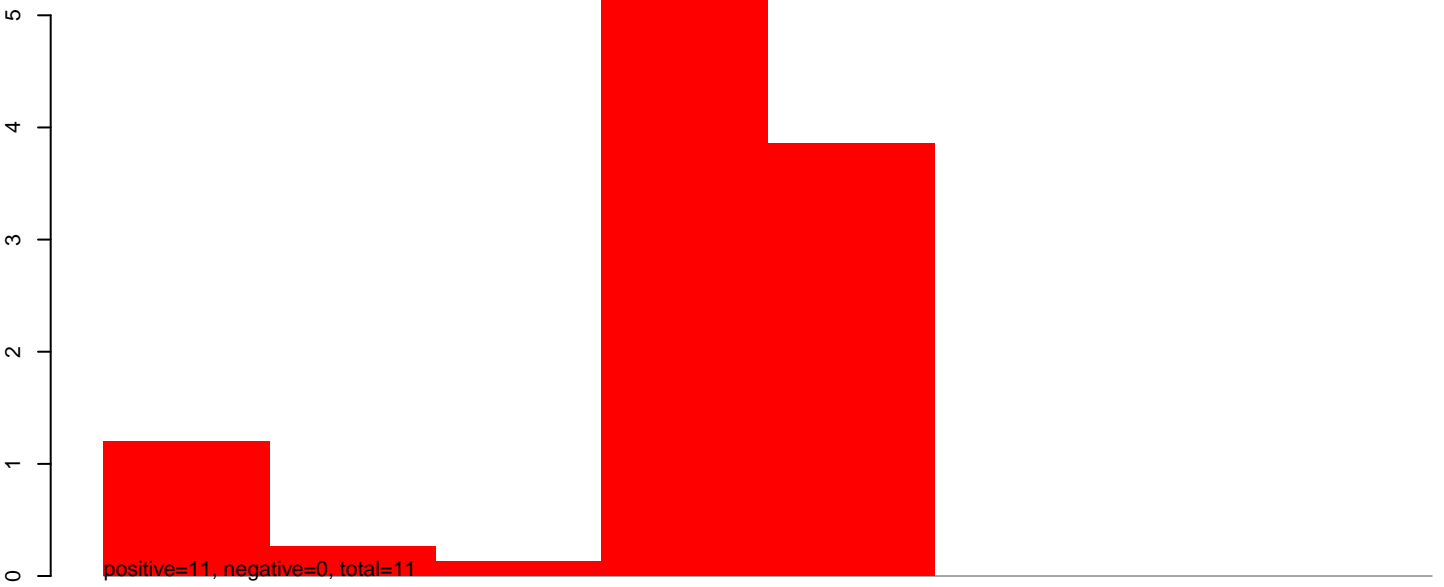
AeAlbo_C636_6dpi_SINV2.rep



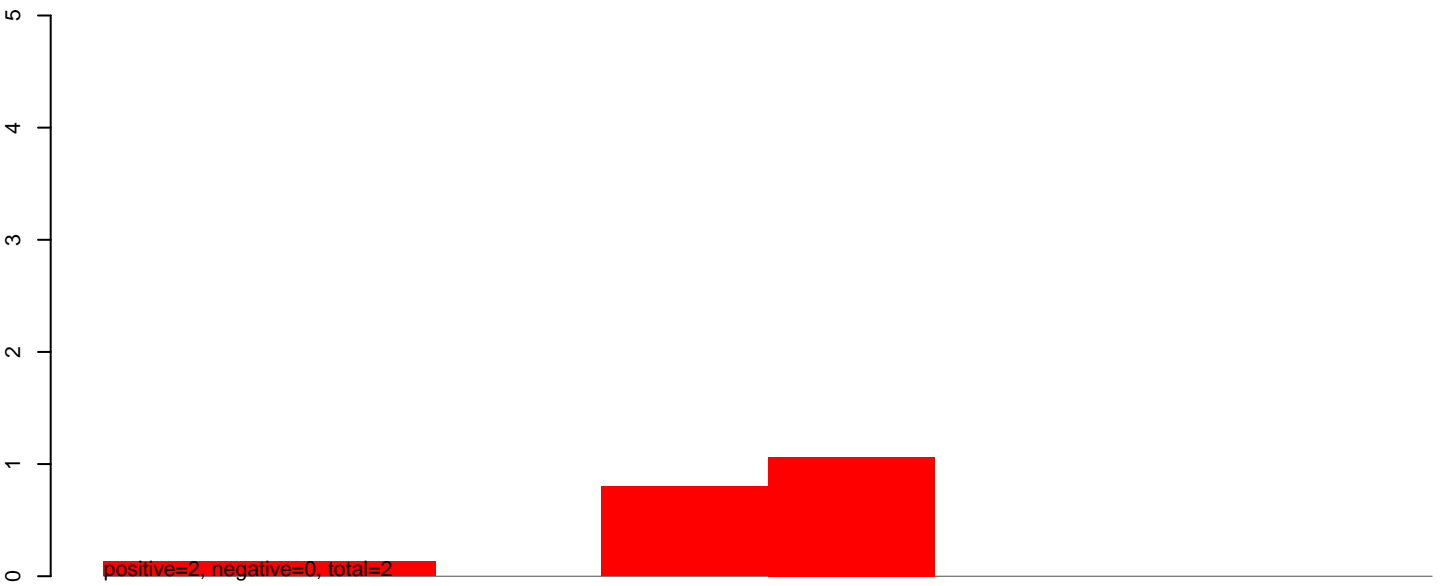
50 100 150 200 250 300

W: 32, L: 32, S: 25, L: 264, AAEL028917-RA-rRNA-1-291626933-291627196-1-gene-AAEL028917:1-264

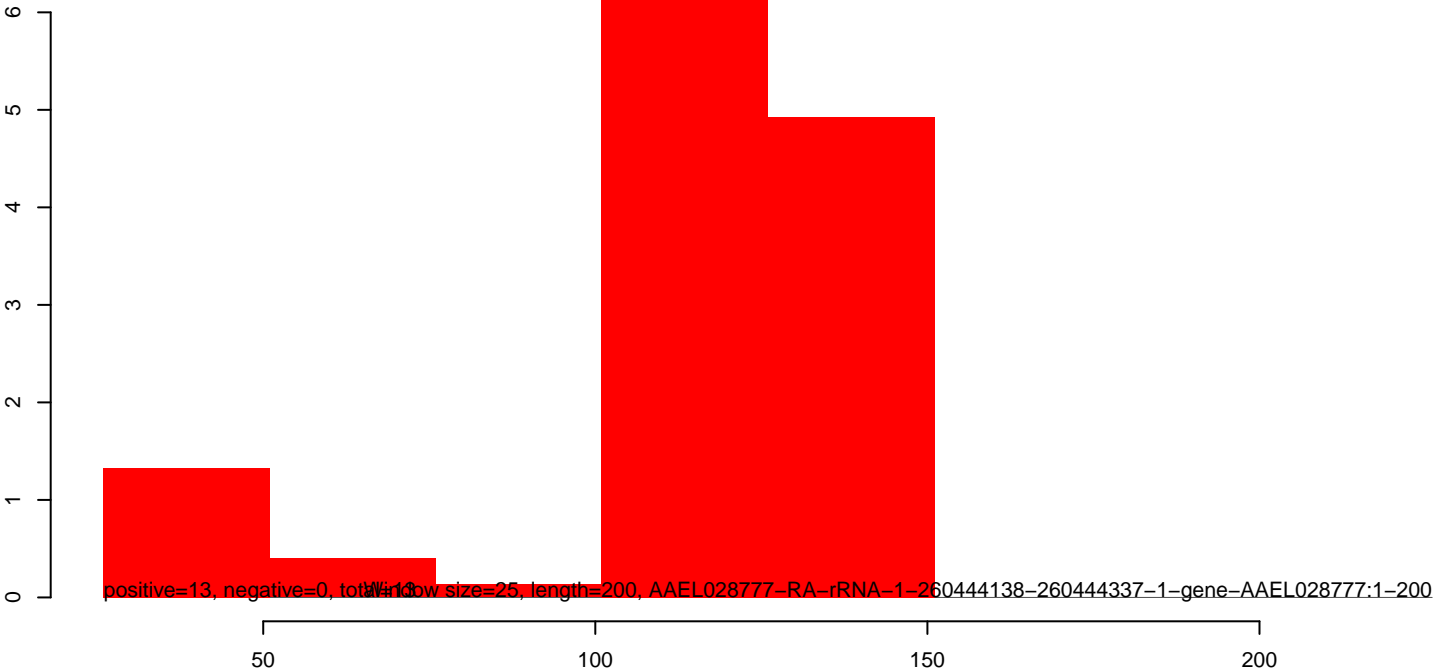
AeAlbo_C636_6dpi_SINV2.18_23.rep



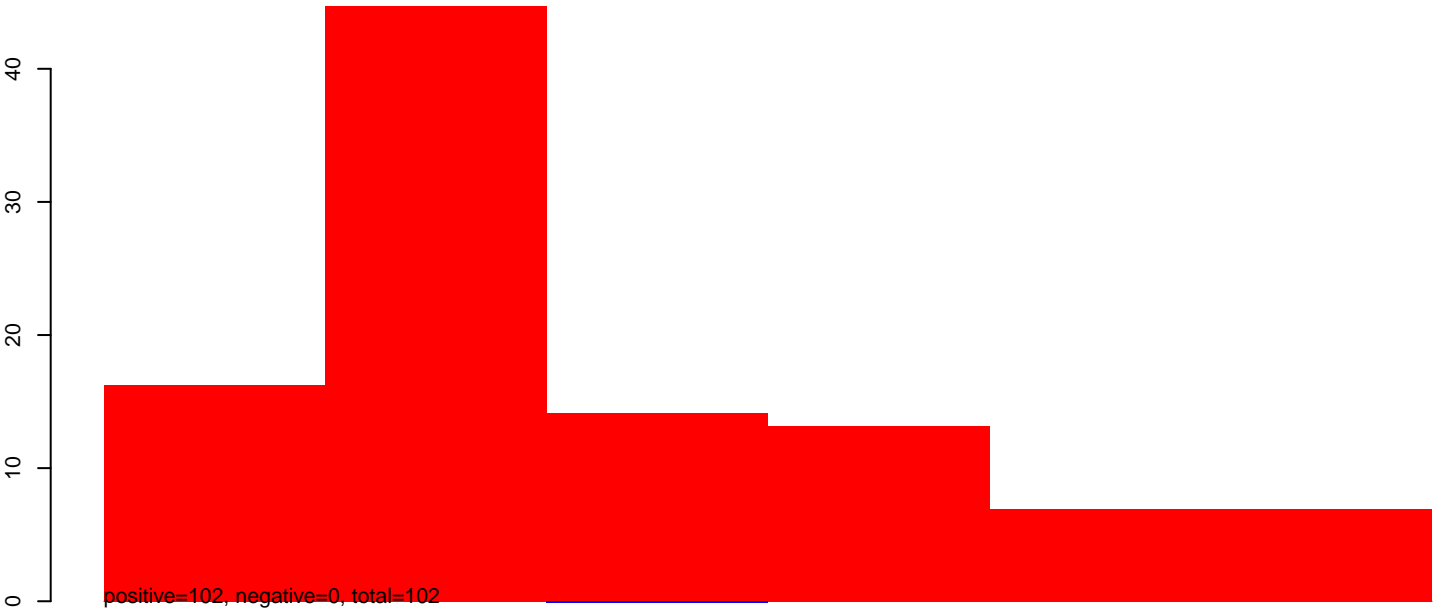
AeAlbo_C636_6dpi_SINV2.24_35.rep



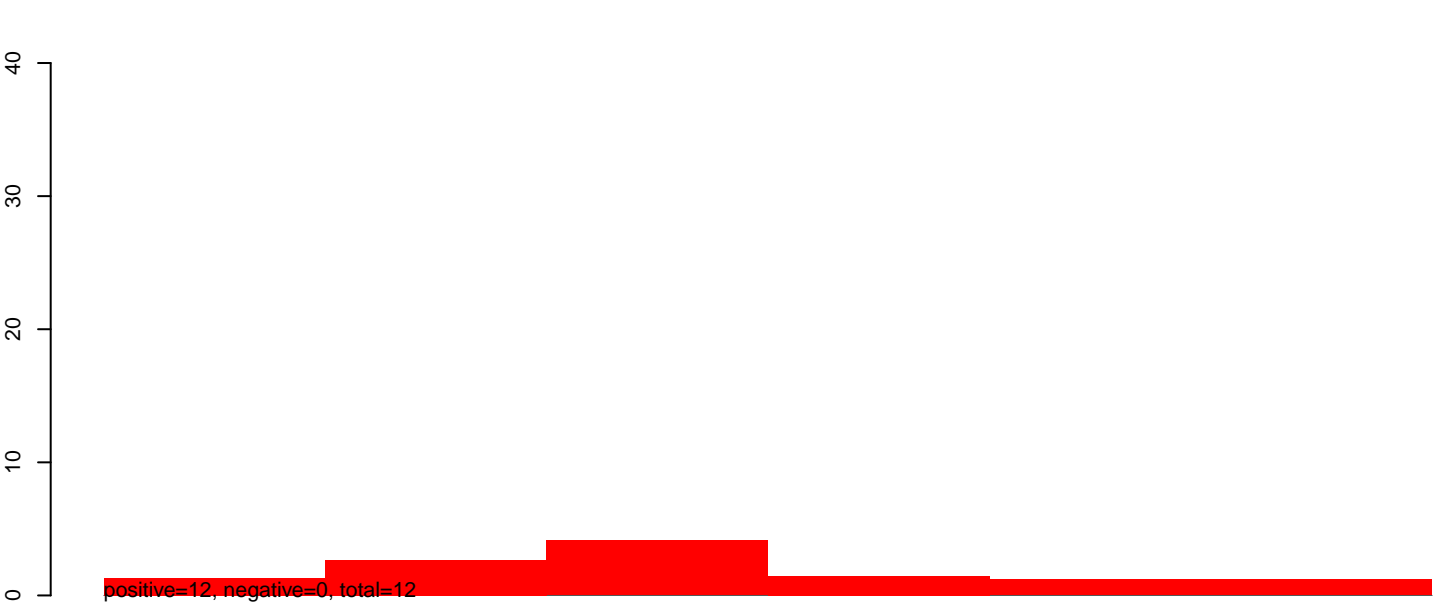
AeAlbo_C636_6dpi_SINV2.rep



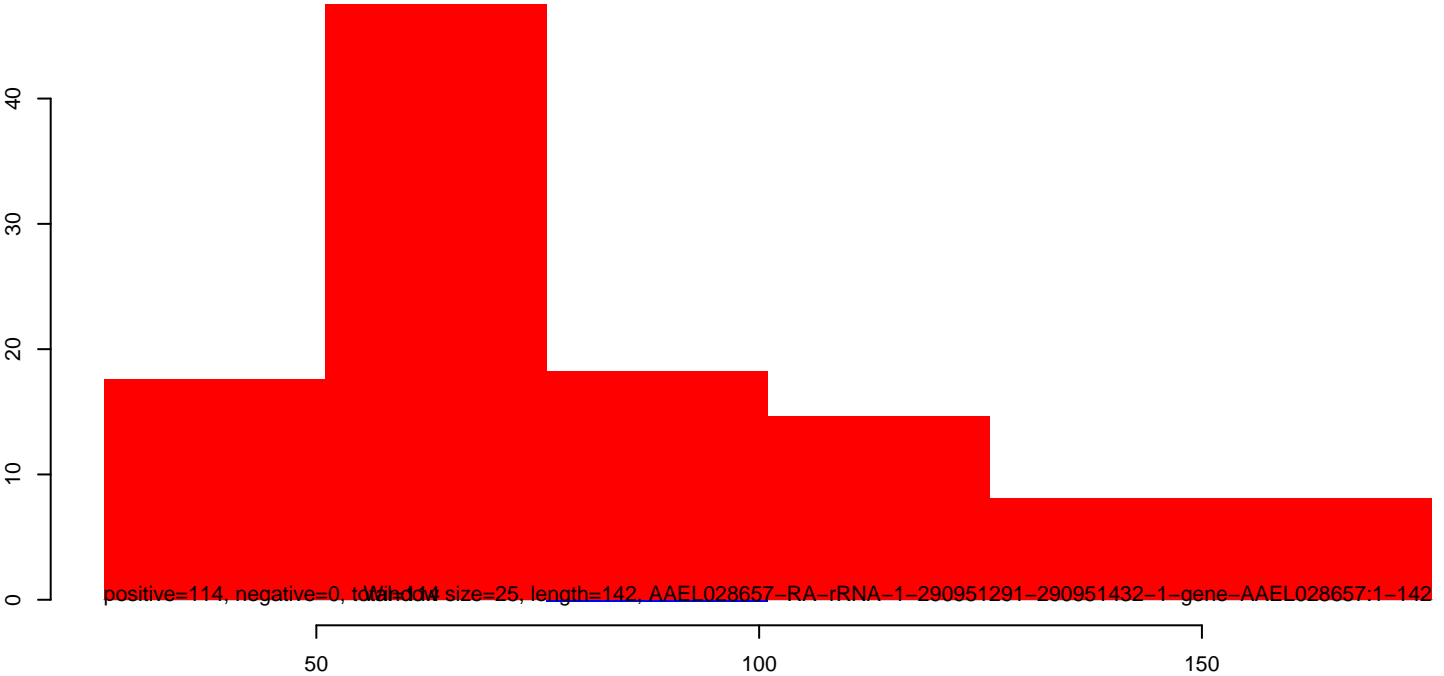
AeAlbo_C636_6dpi_SINV2.18_23.rep



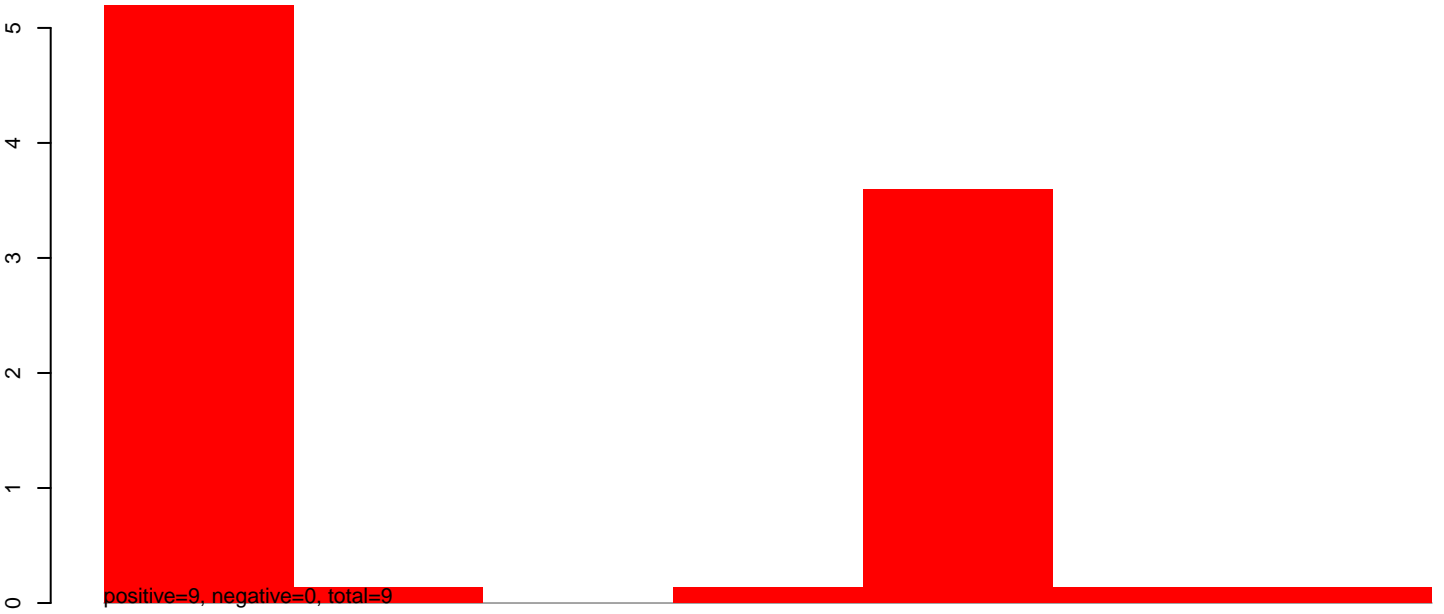
AeAlbo_C636_6dpi_SINV2.24_35.rep



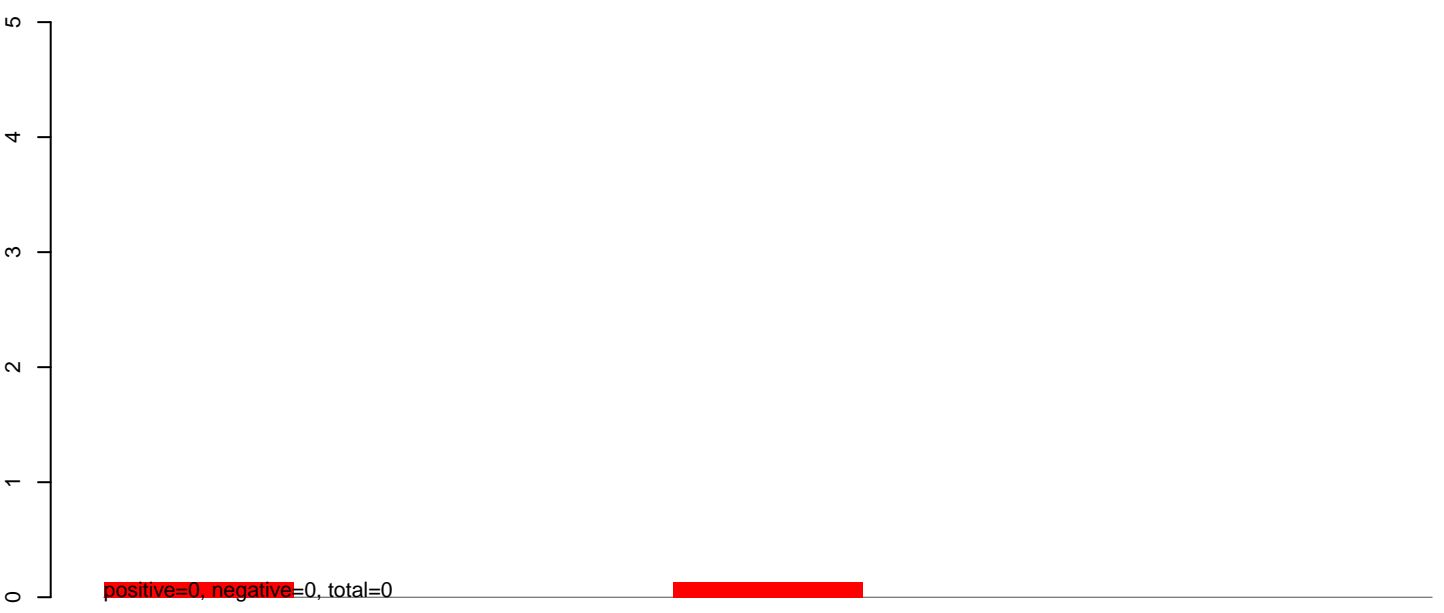
AeAlbo_C636_6dpi_SINV2.rep



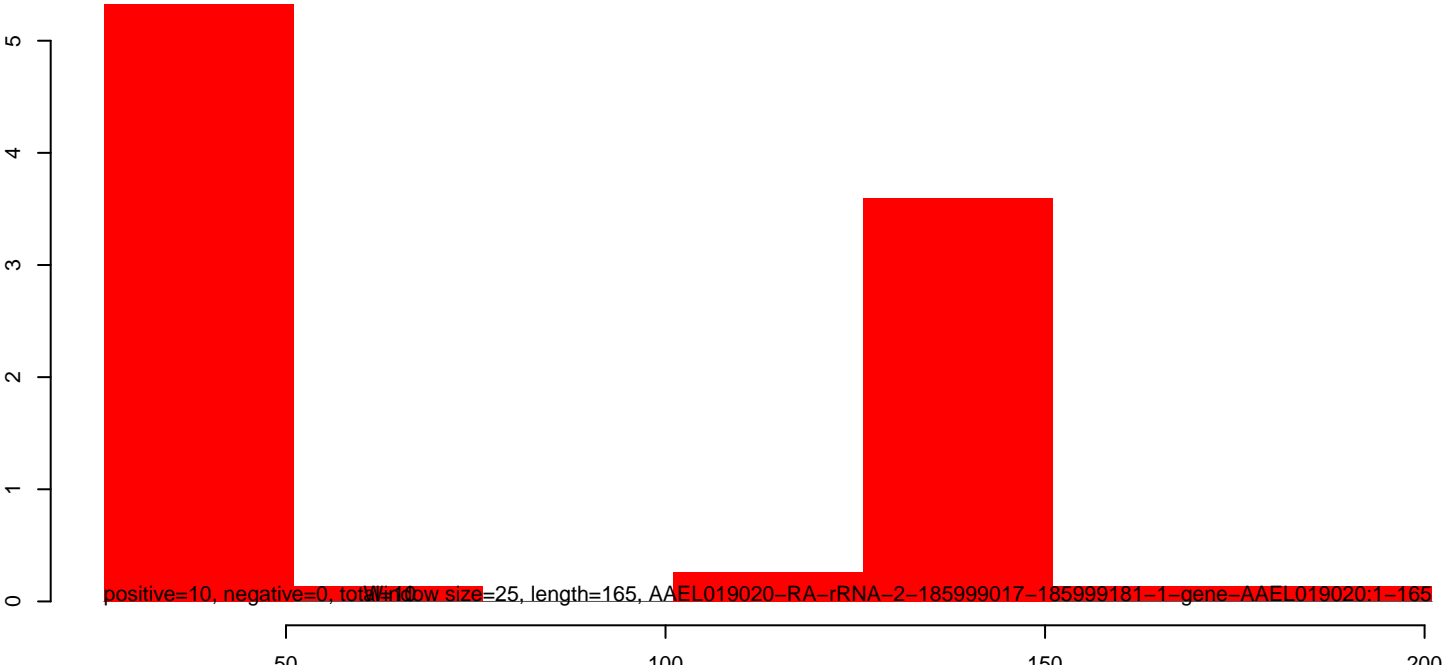
AeAlbo_C636_6dpi_SINV2.18_23.rep



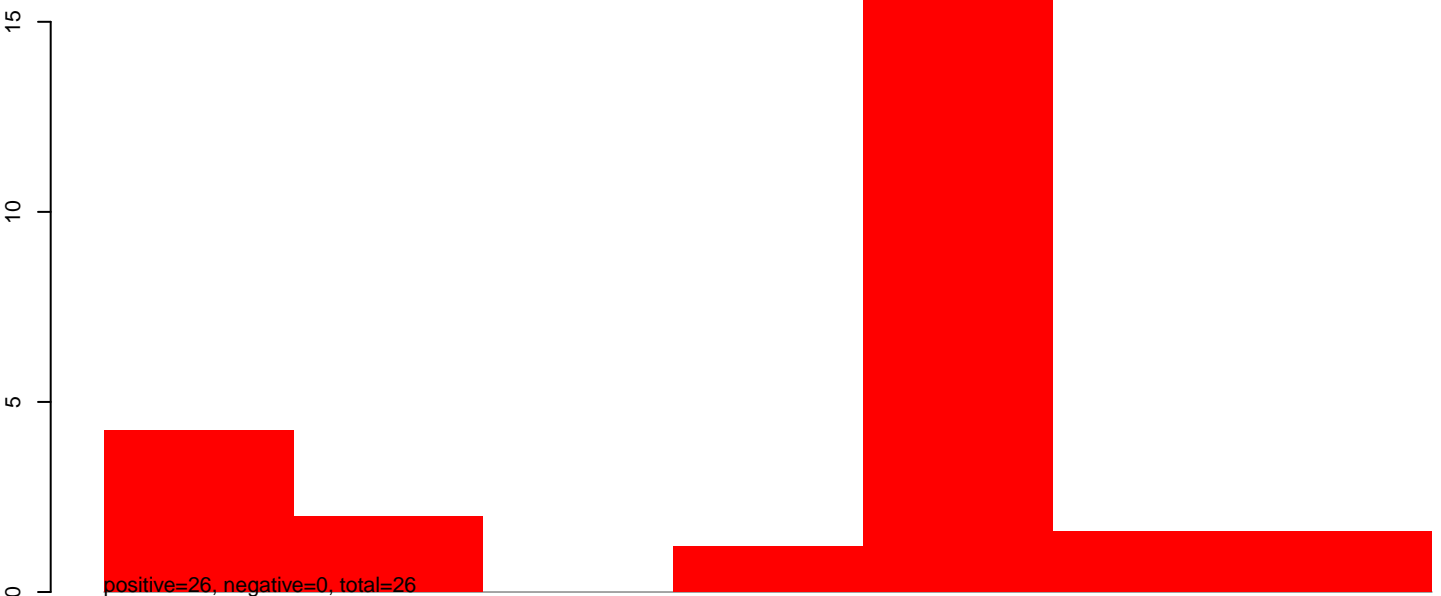
AeAlbo_C636_6dpi_SINV2.24_35.rep



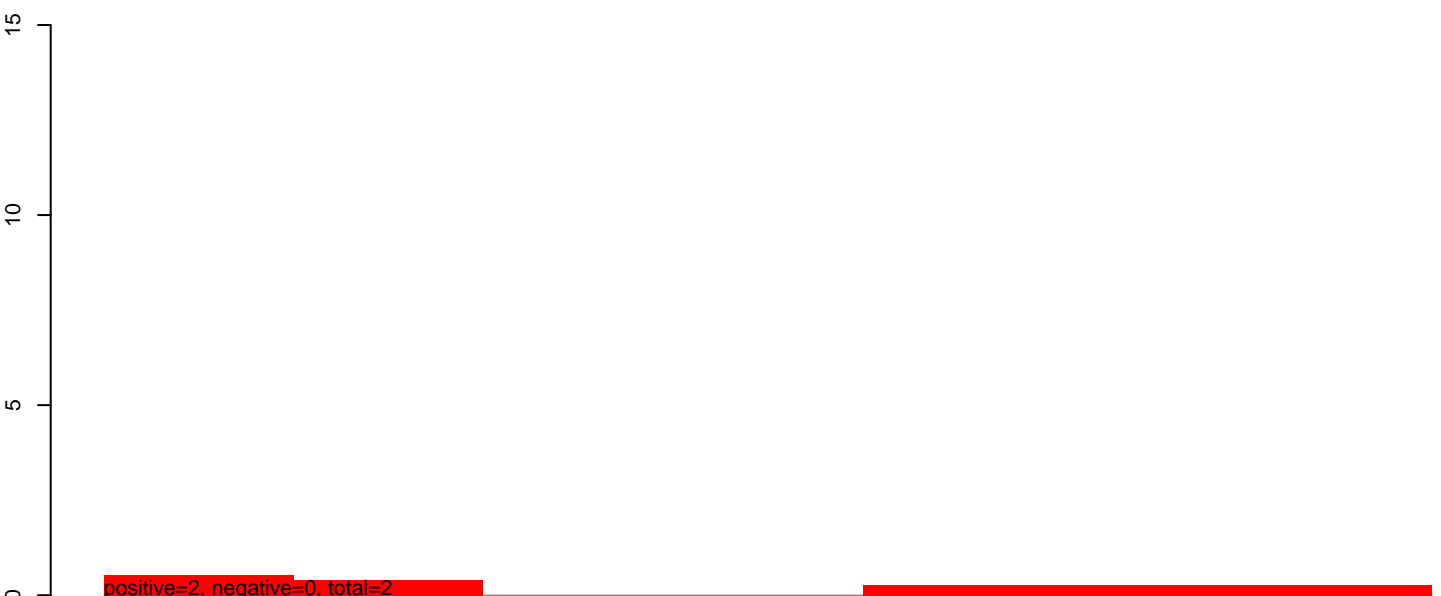
AeAlbo_C636_6dpi_SINV2.rep



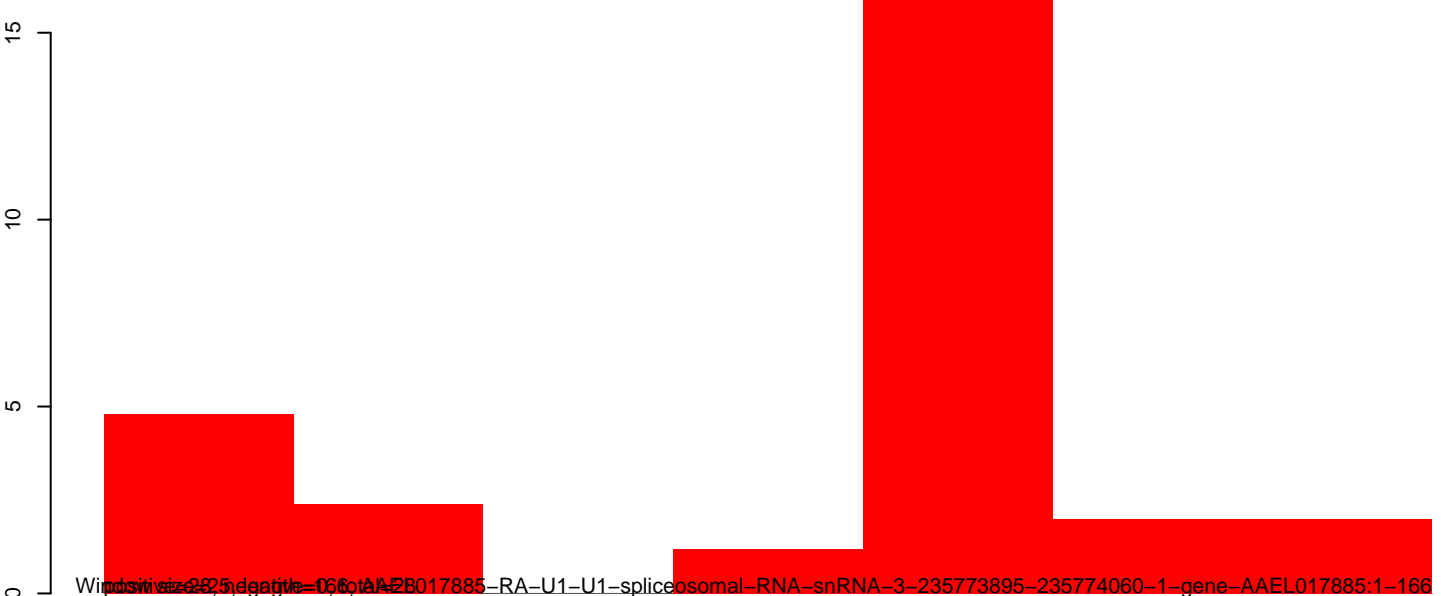
AeAlbo_C636_6dpi_SINV2.18_23.rep



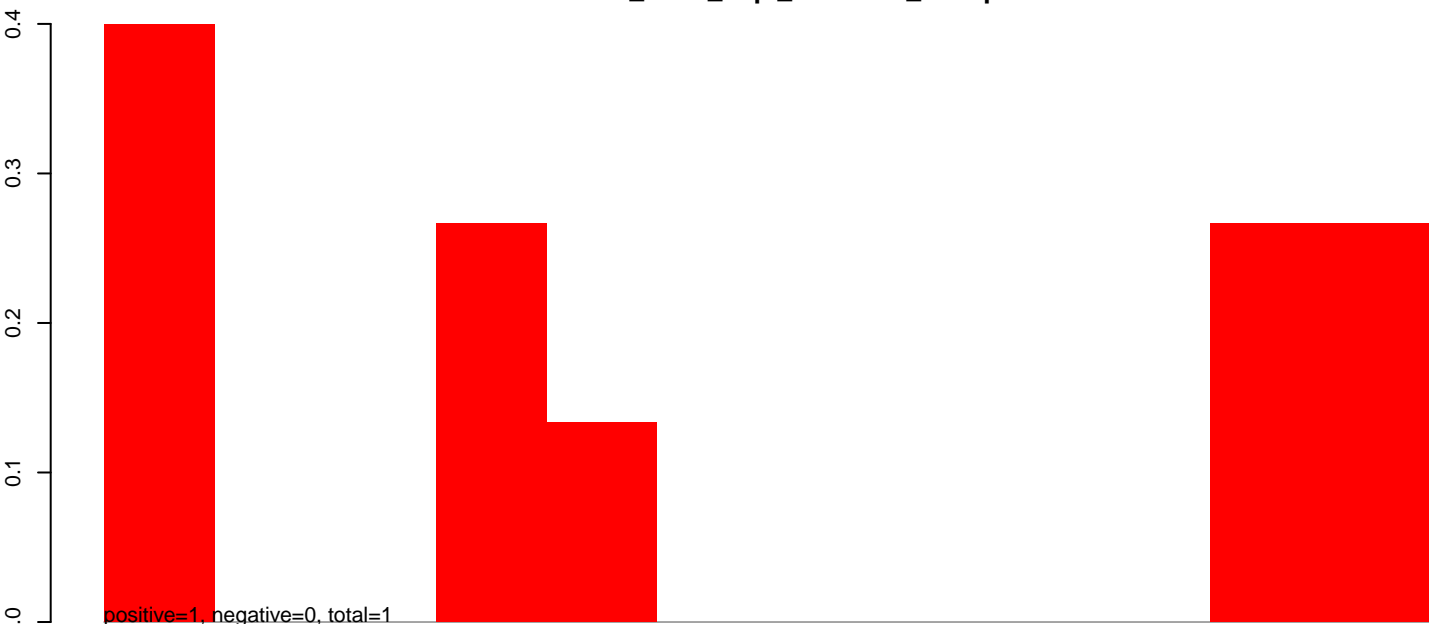
AeAlbo_C636_6dpi_SINV2.24_35.rep



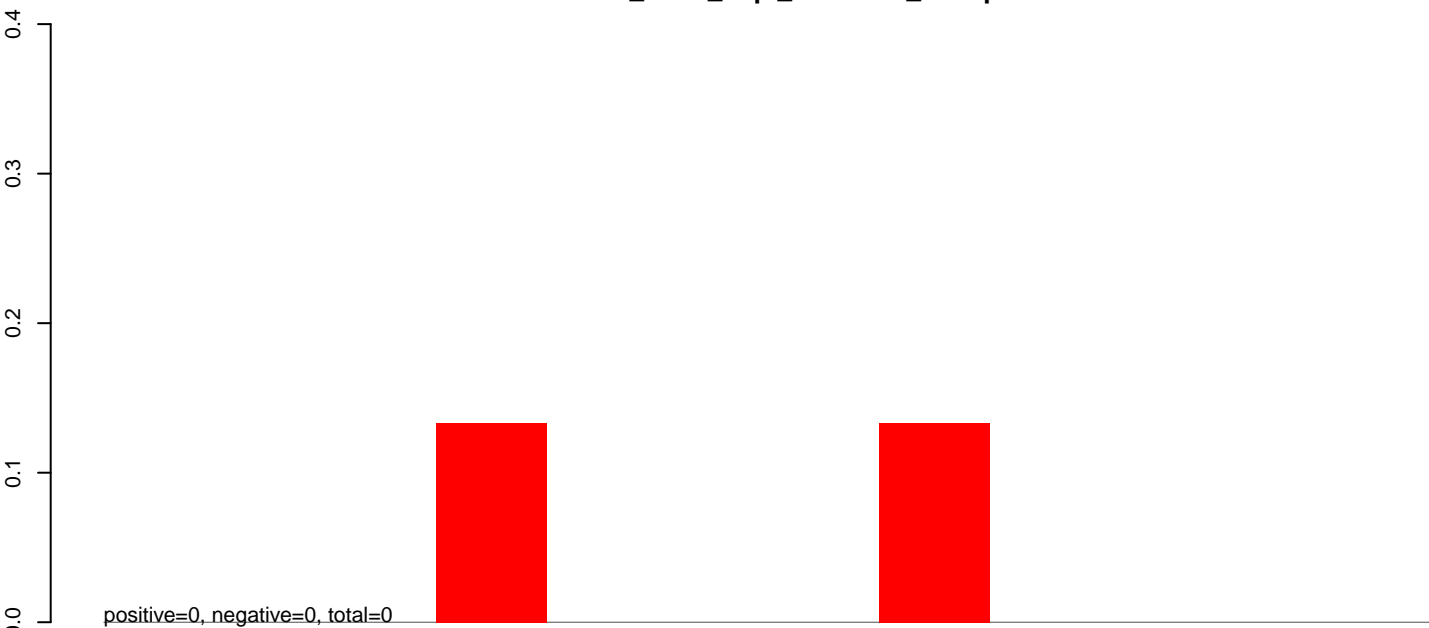
AeAlbo_C636_6dpi_SINV2.rep



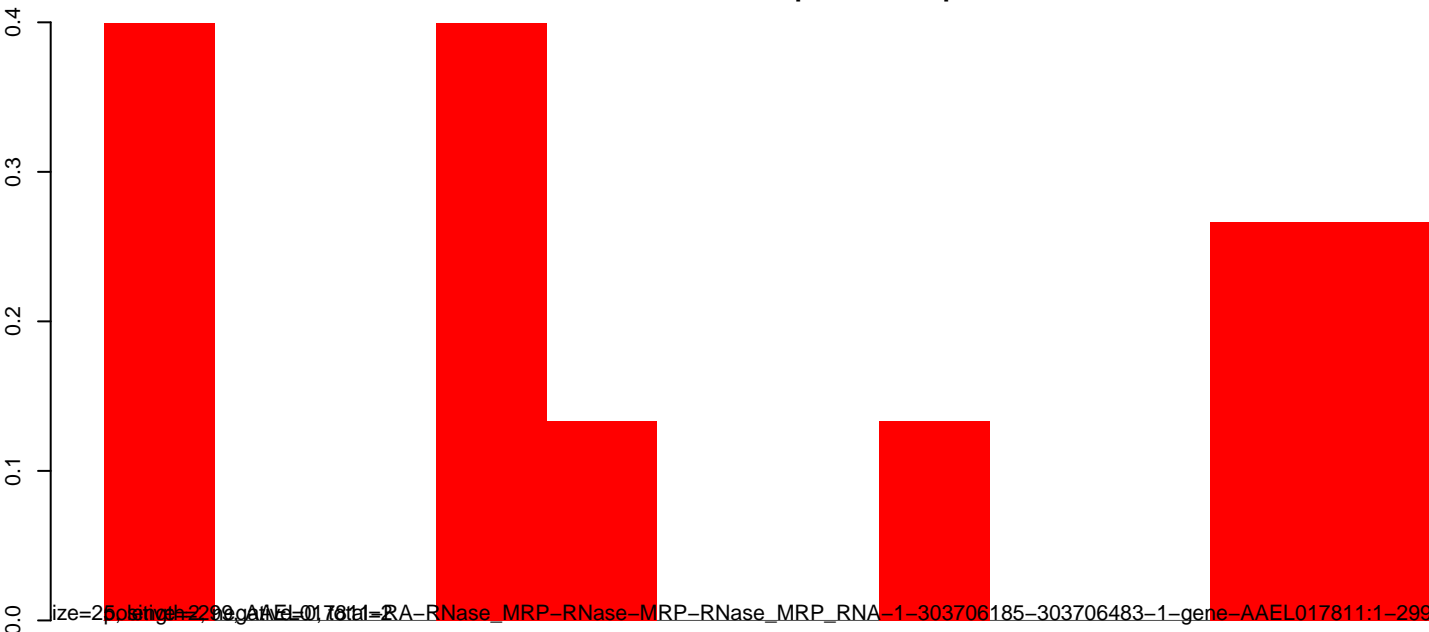
AeAlbo_C636_6dpi_SINV2.18_23.rep



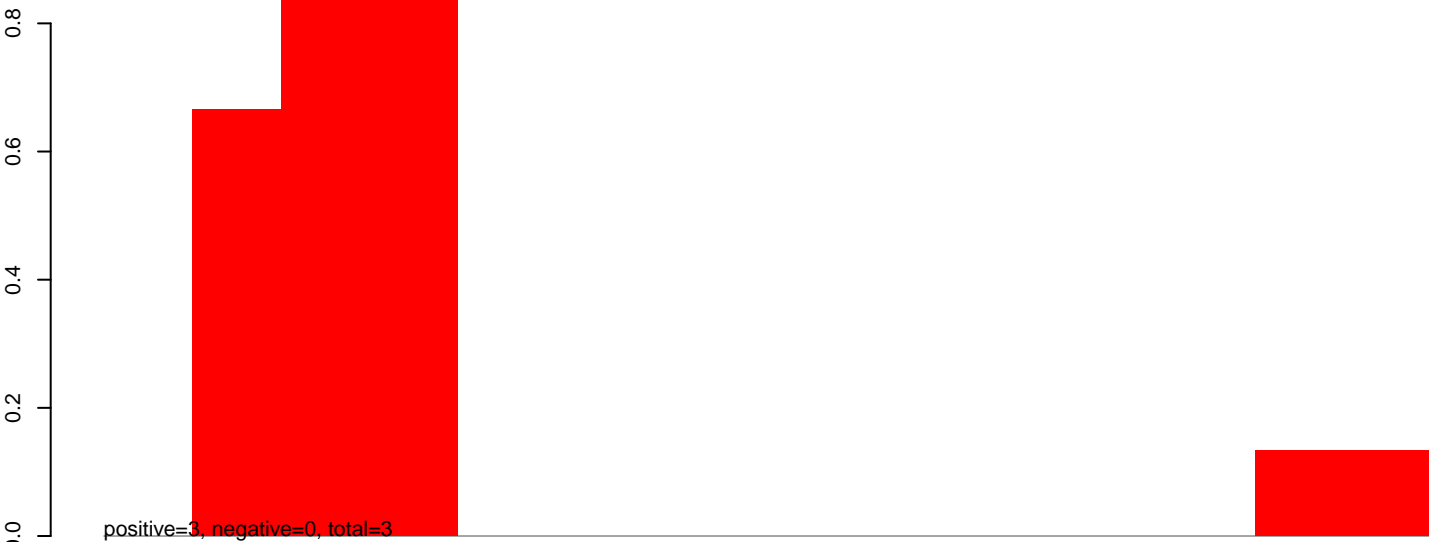
AeAlbo_C636_6dpi_SINV2.24_35.rep



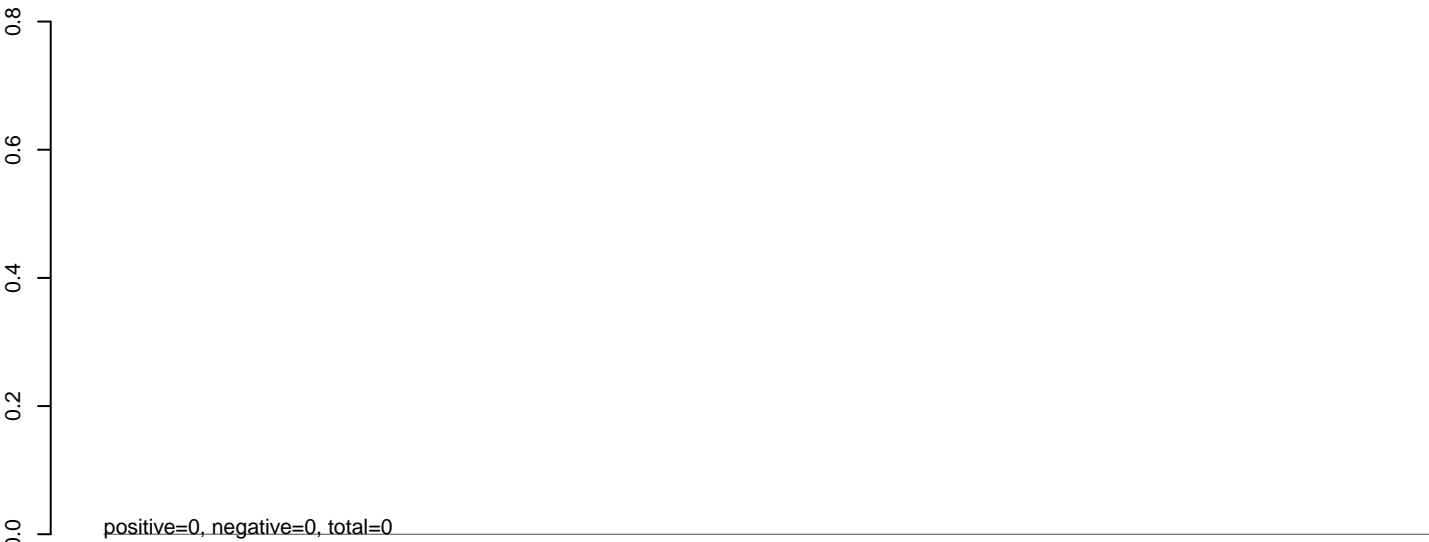
AeAlbo_C636_6dpi_SINV2.rep



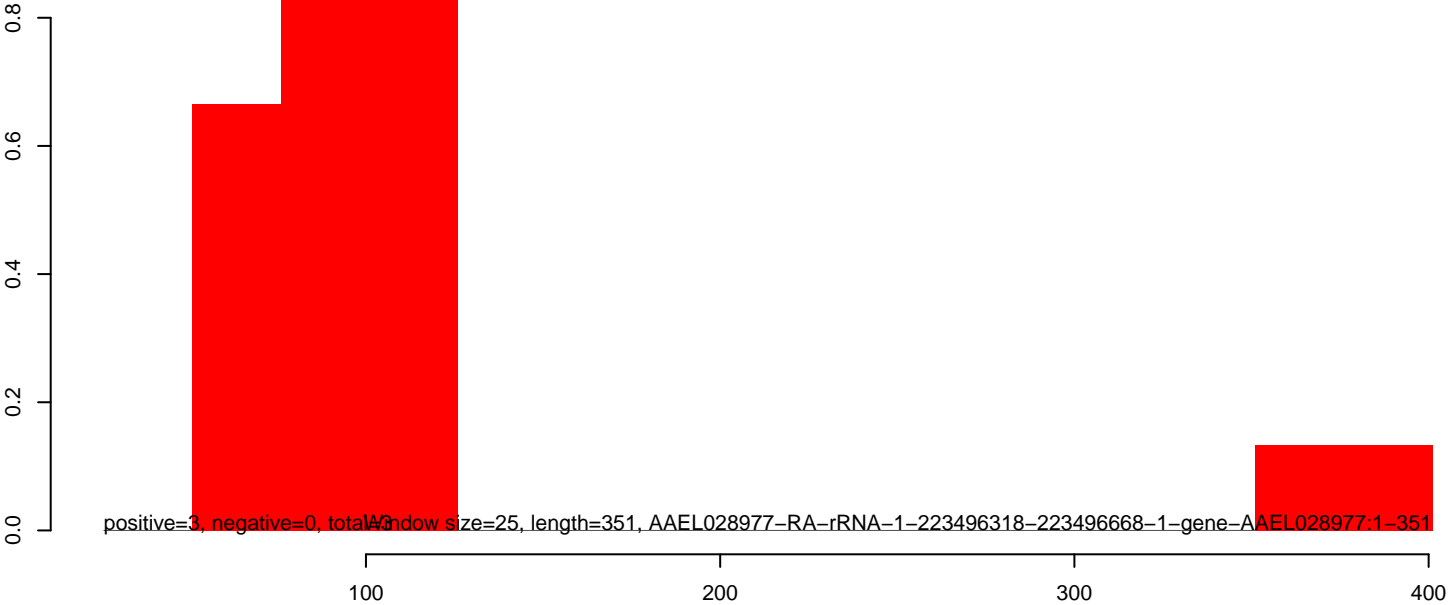
AeAlbo_C636_6dpi_SINV2.18_23.rep



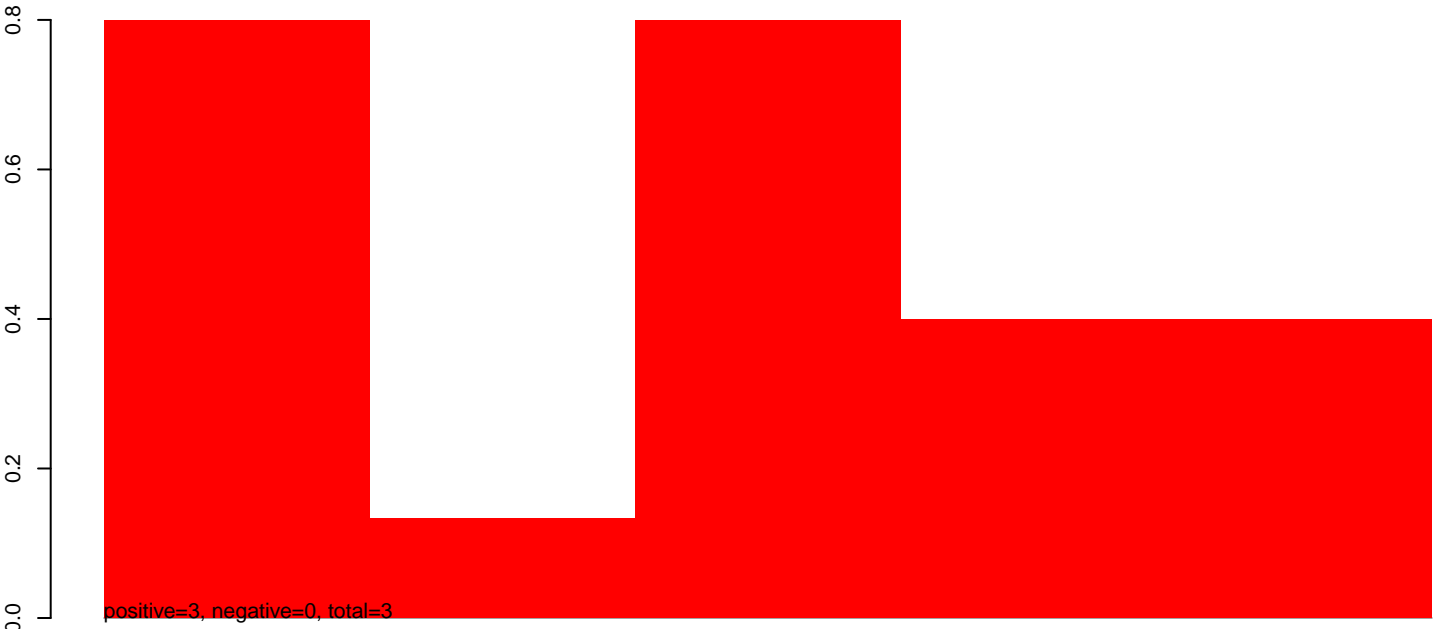
AeAlbo_C636_6dpi_SINV2.24_35.rep



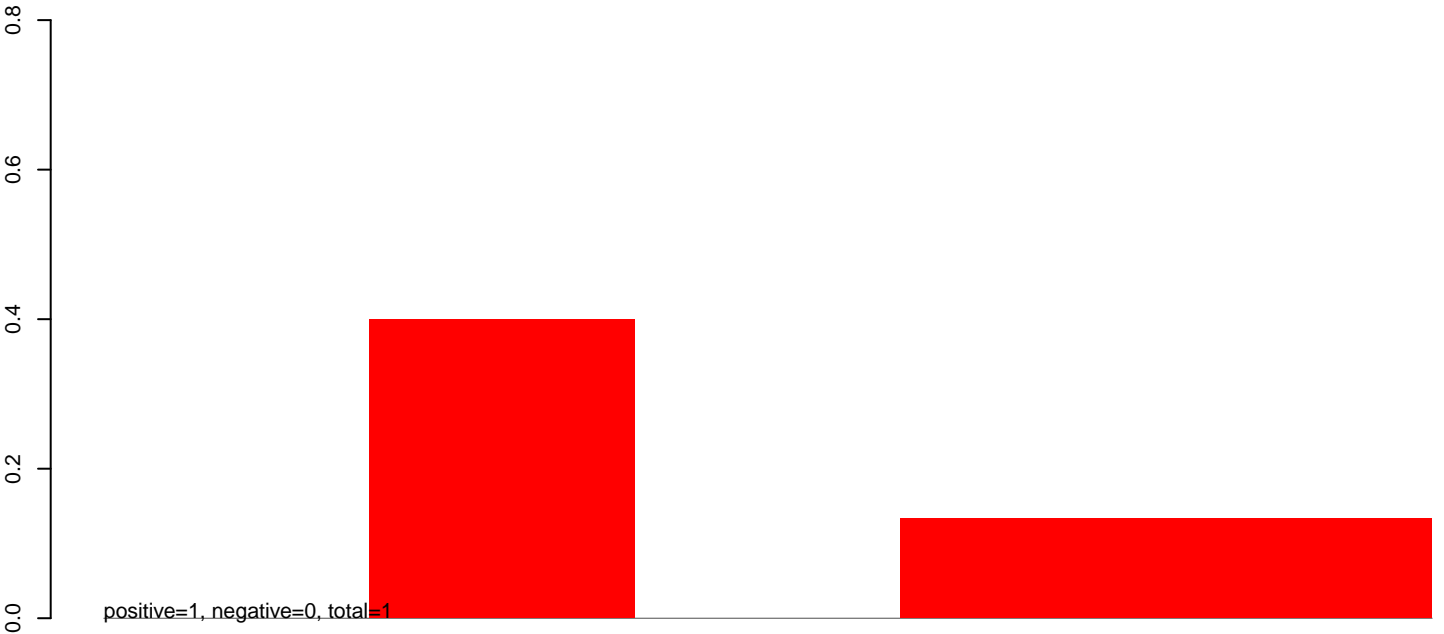
AeAlbo_C636_6dpi_SINV2.rep



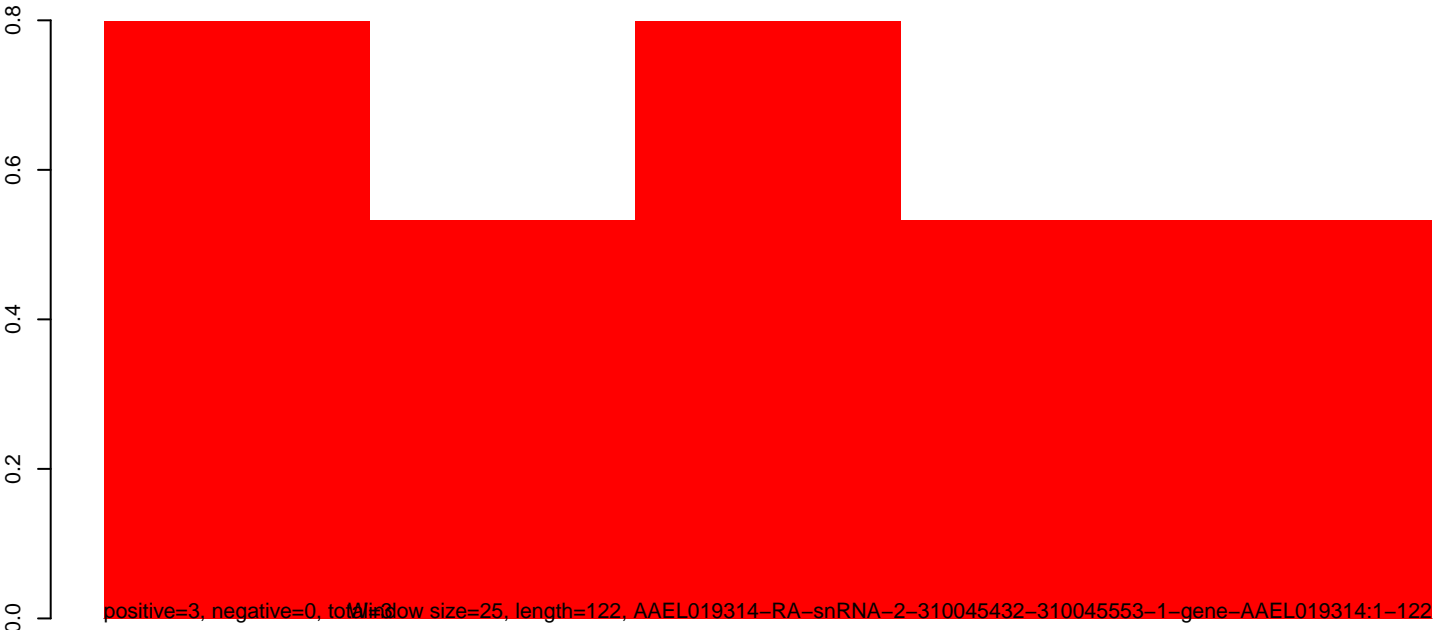
AeAlbo_C636_6dpi_SINV2.18_23.rep



AeAlbo_C636_6dpi_SINV2.24_35.rep



AeAlbo_C636_6dpi_SINV2.rep



40 60 80 100 120 140

AeAlbo_C636_6dpi_SINV2.18_23.rep



positive=35, negative=0, total=35

AeAlbo_C636_6dpi_SINV2.24_35.rep



positive=2, negative=0, total=2

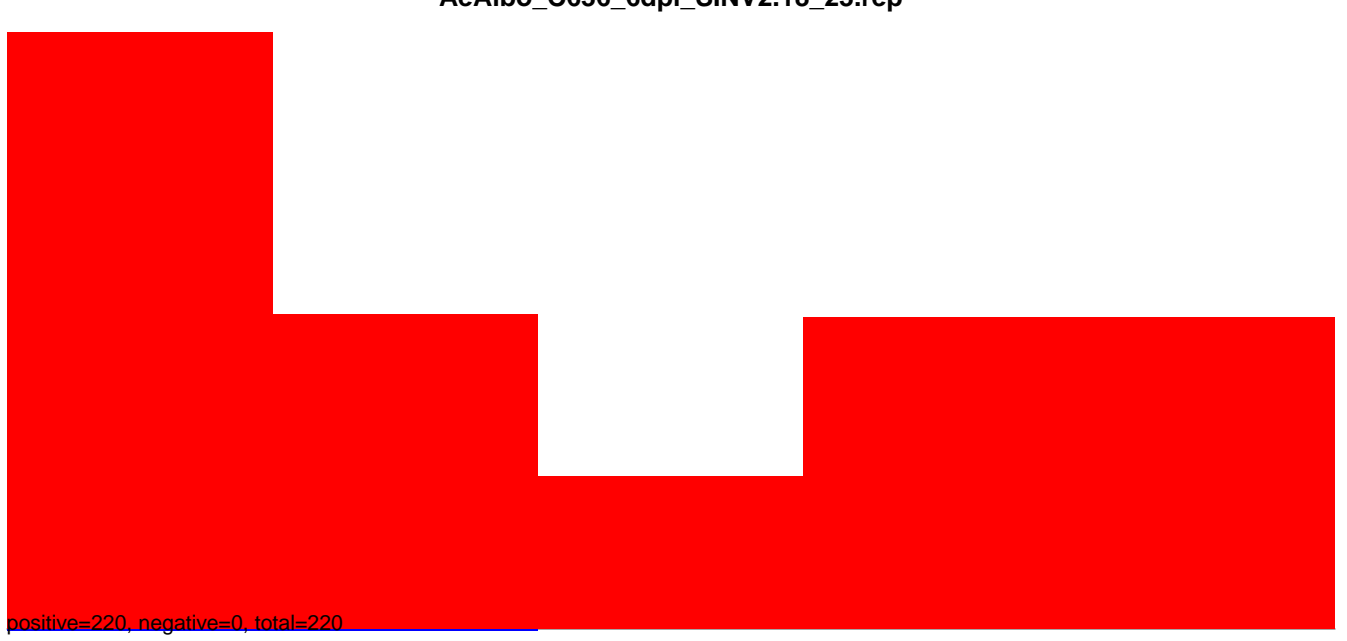
AeAlbo_C636_6dpi_SINV2.rep



positive=36, negative=0, total=36 window size=25, length=119, AAEL019278-RA-rRNA-3-290708090-290708208-1-gene-AAEL019278:1-119

40 60 80 100 120 140

AeAlbo_C636_6dpi_SINV2.18_23.rep



AeAlbo_C636_6dpi_SINV2.24_35.rep

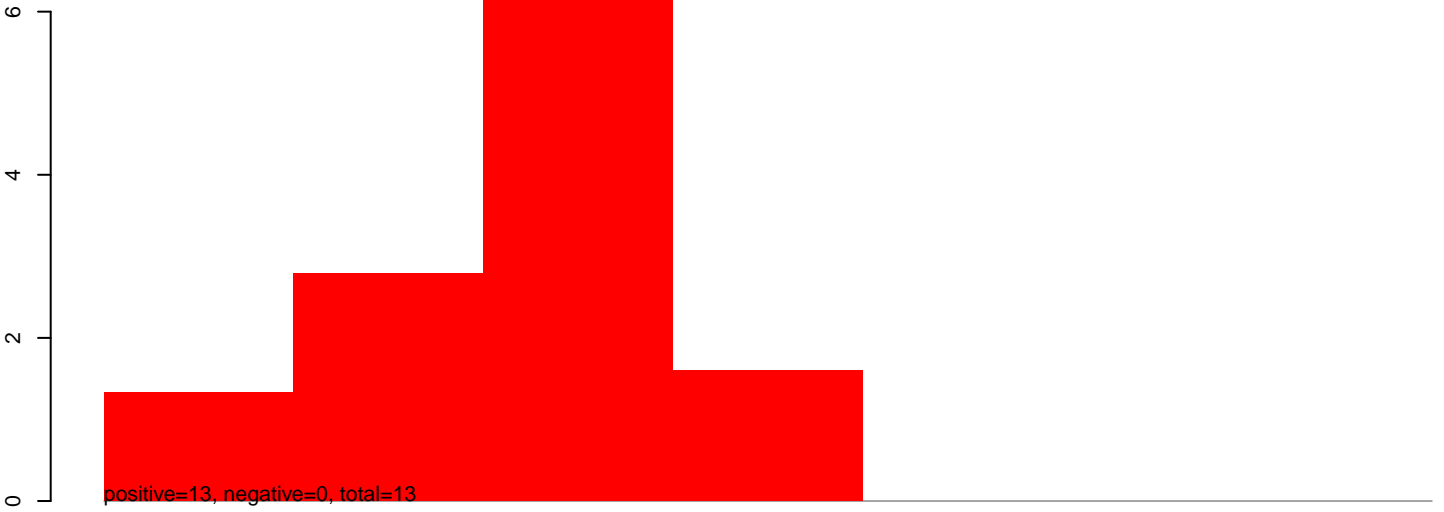


AeAlbo_C636_6dpi_SINV2.rep

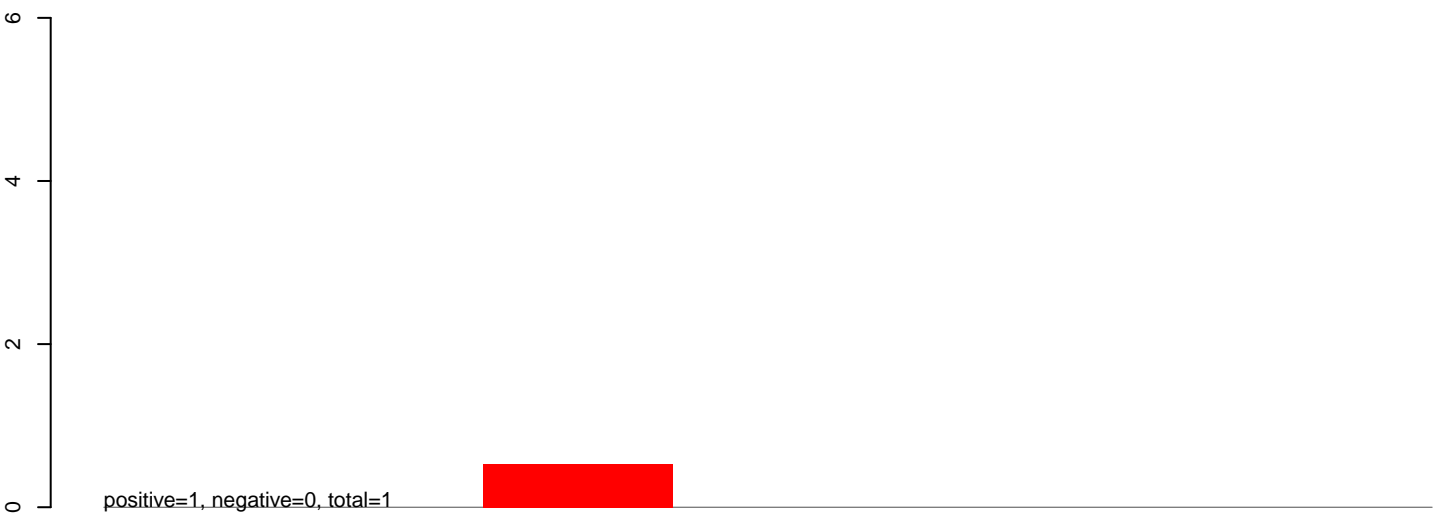


40 60 80 100 120 140

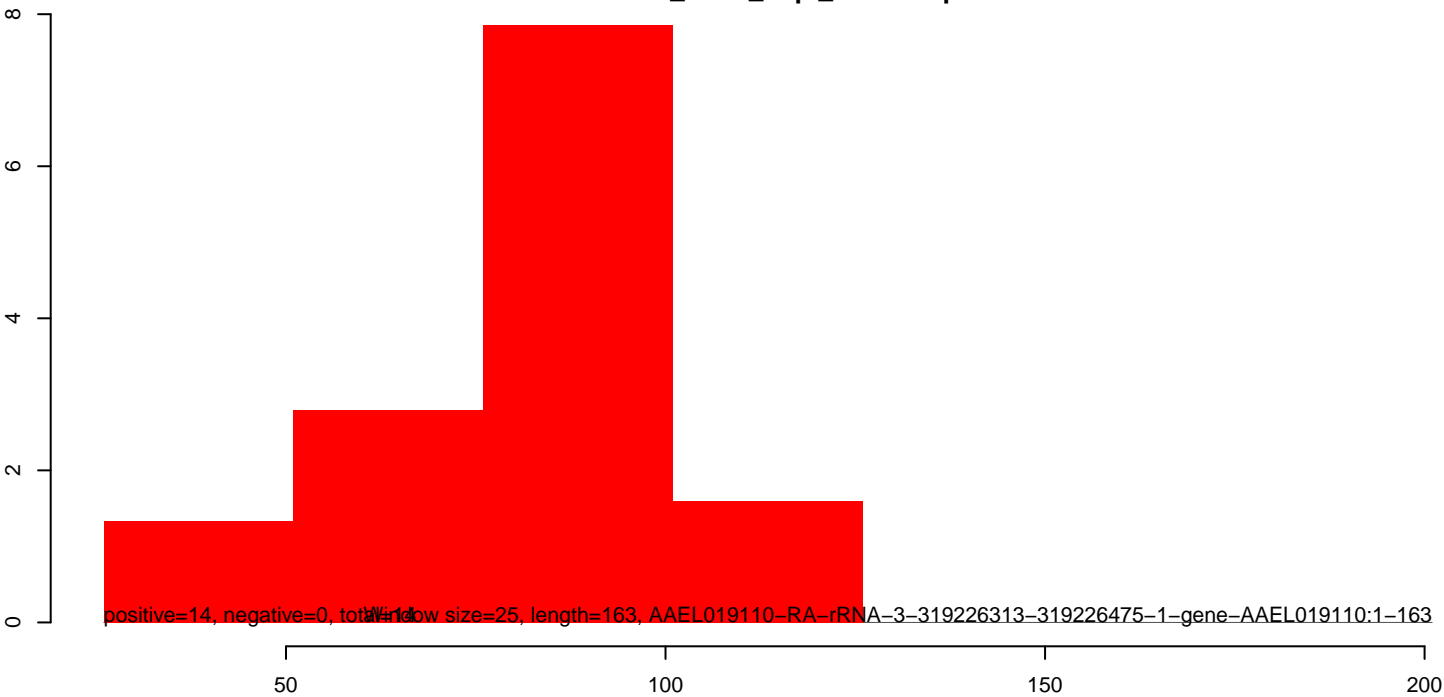
AeAlbo_C636_6dpi_SINV2.18_23.rep



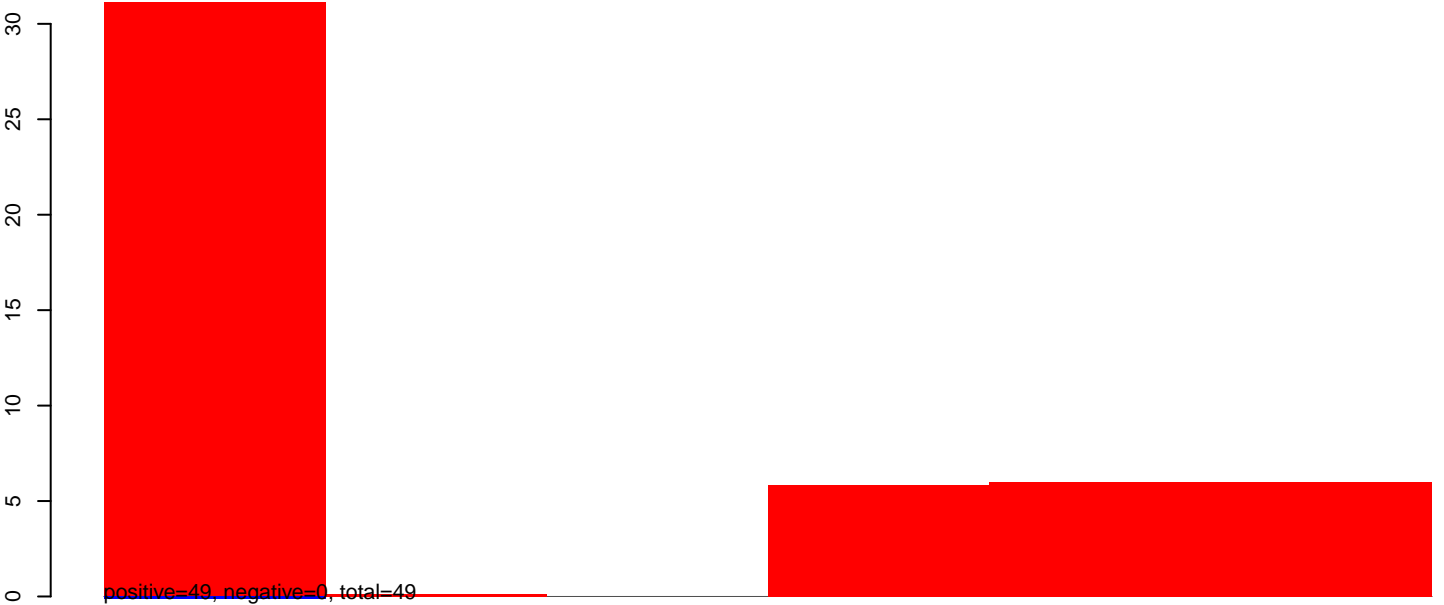
AeAlbo_C636_6dpi_SINV2.24_35.rep



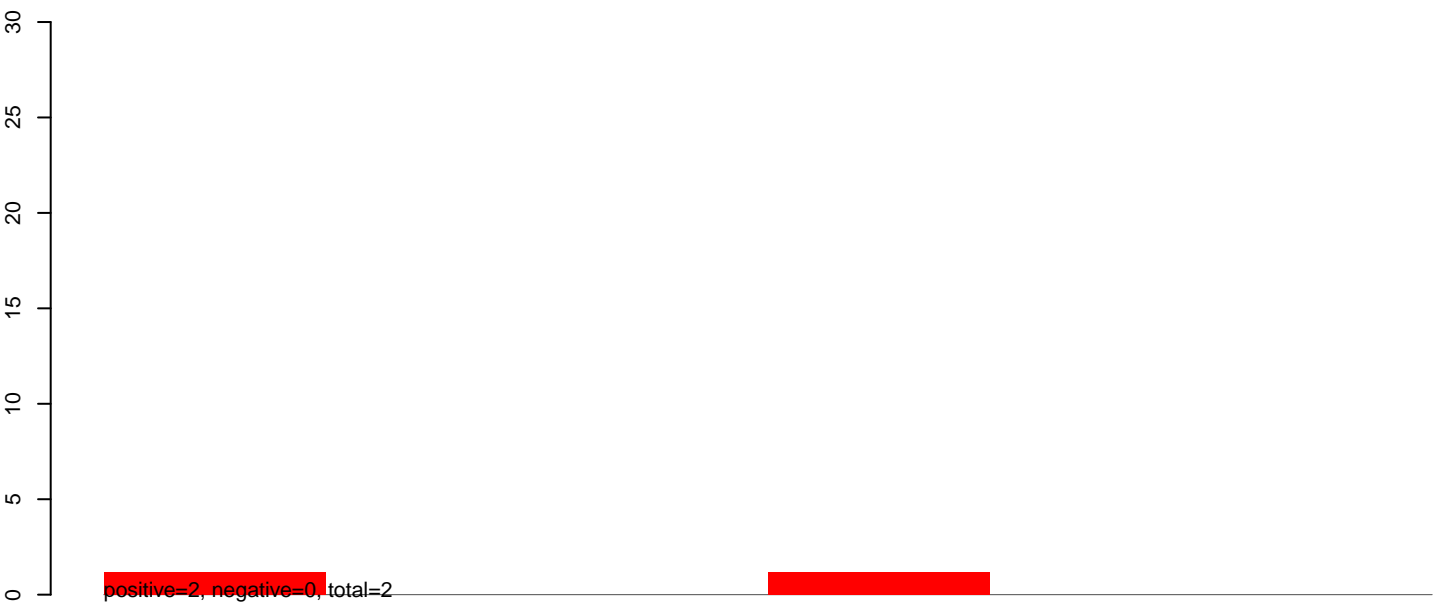
AeAlbo_C636_6dpi_SINV2.rep



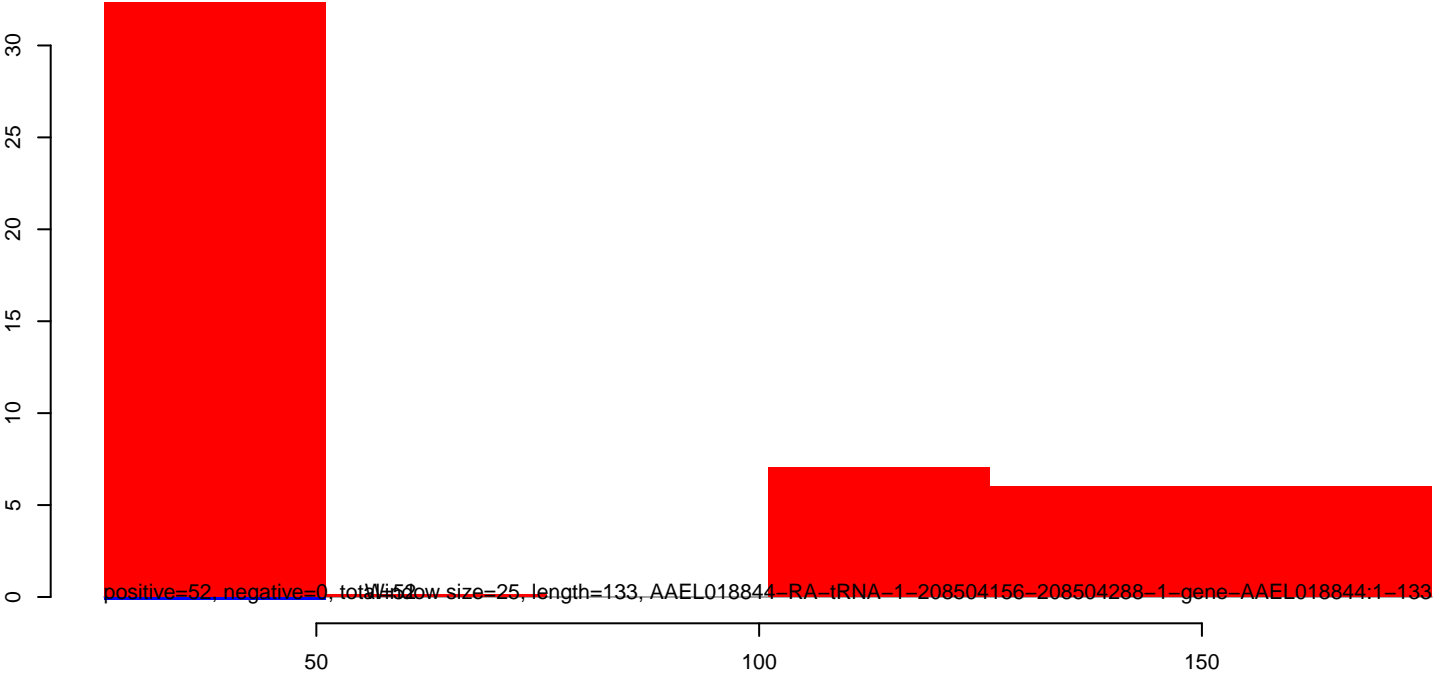
AeAlbo_C636_6dpi_SINV2.18_23.rep



AeAlbo_C636_6dpi_SINV2.24_35.rep



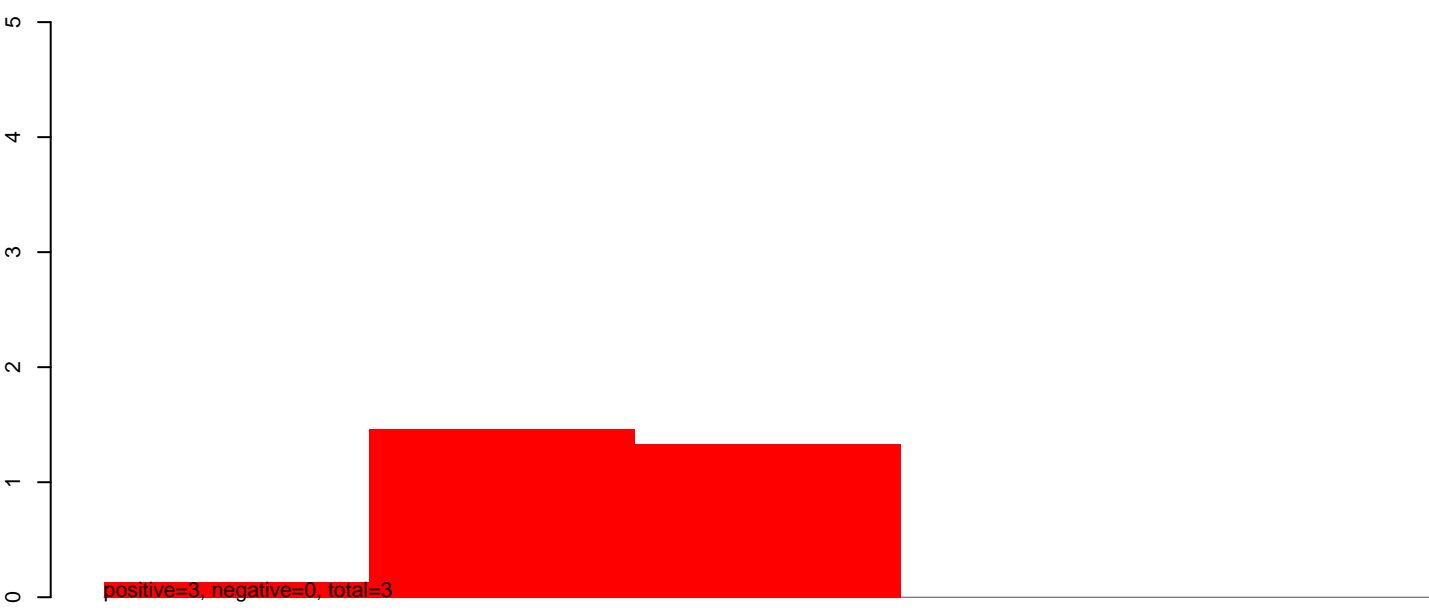
AeAlbo_C636_6dpi_SINV2.rep



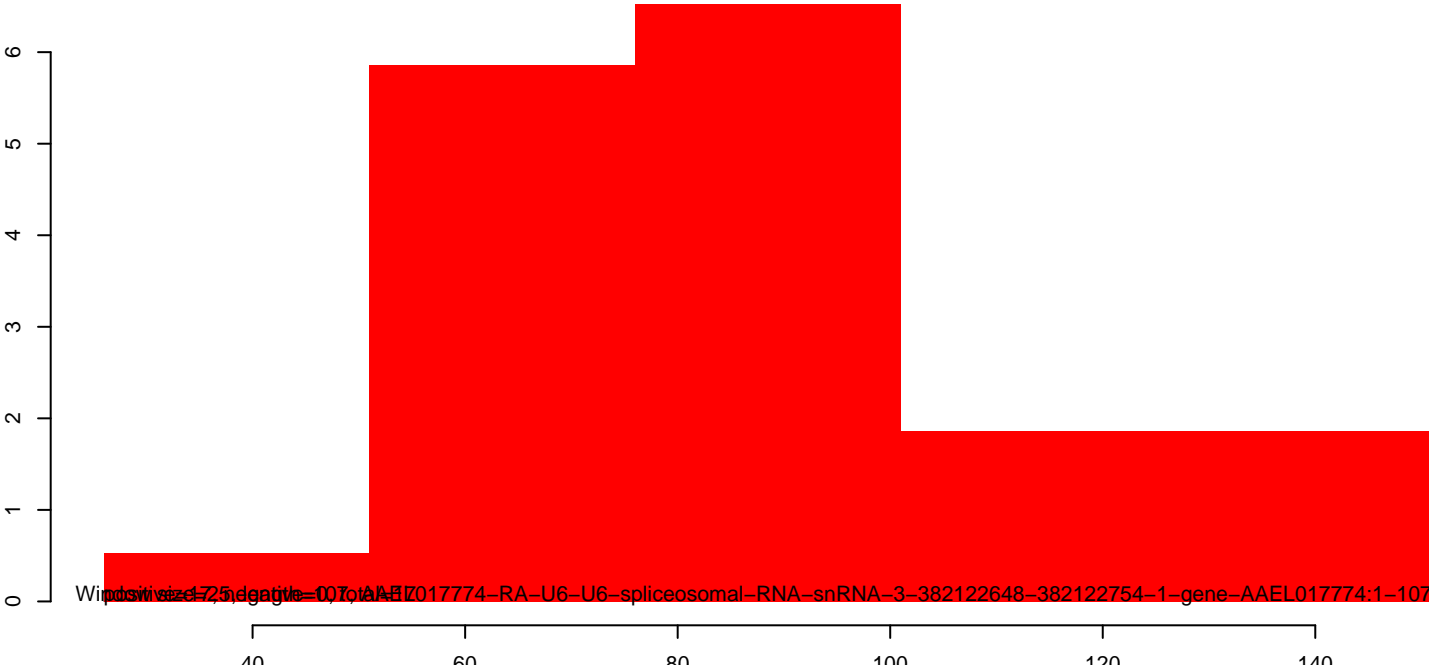
AeAlbo_C636_6dpi_SINV2.18_23.rep



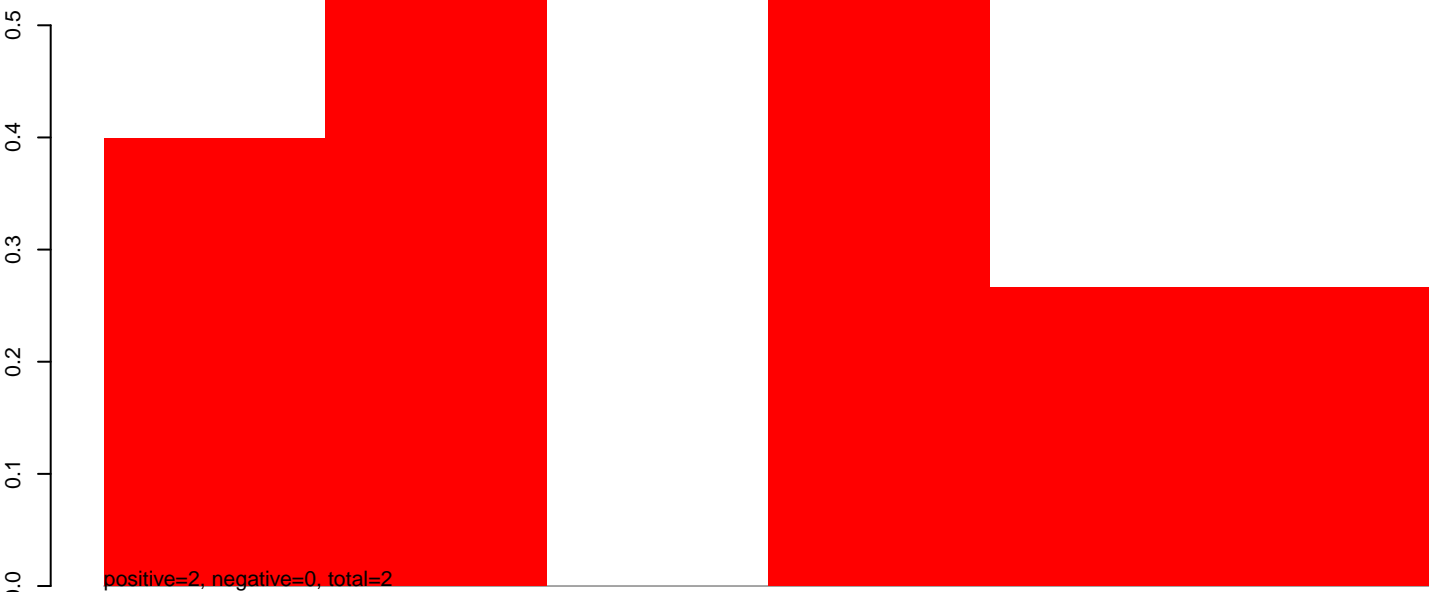
AeAlbo_C636_6dpi_SINV2.24_35.rep



AeAlbo_C636_6dpi_SINV2.rep



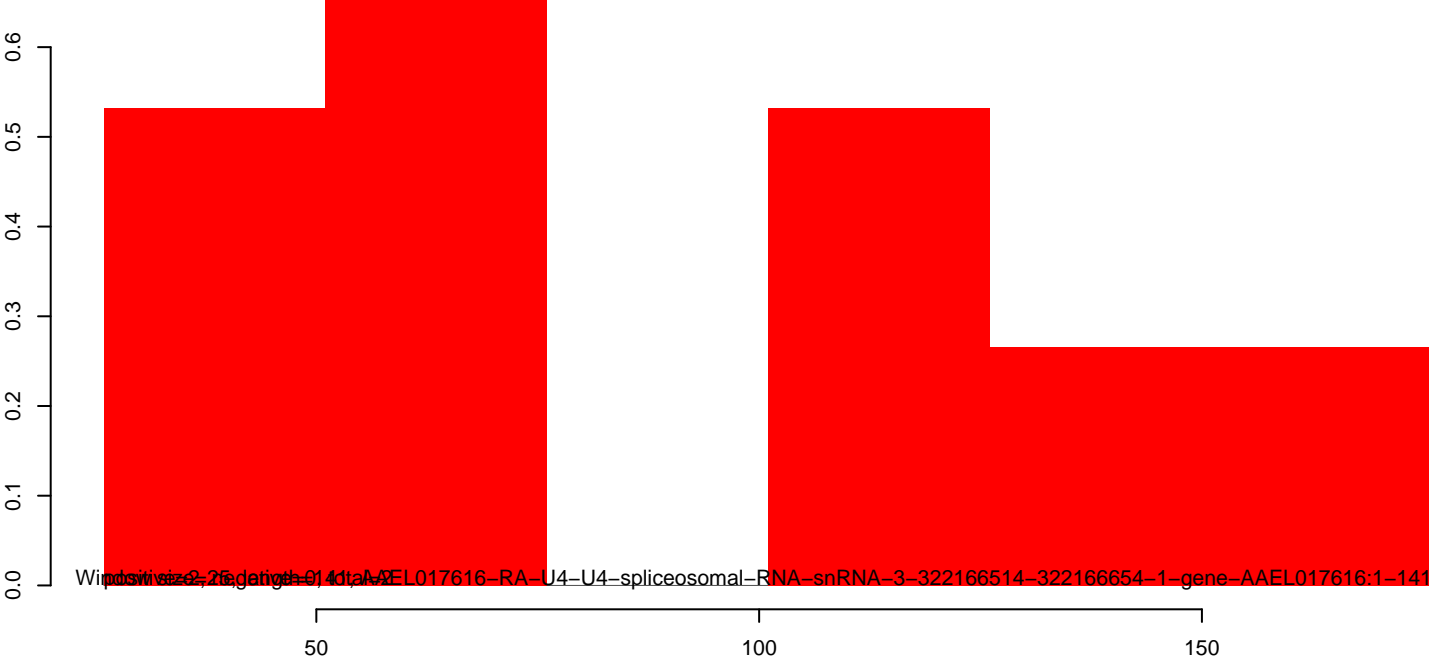
AeAlbo_C636_6dpi_SINV2.18_23.rep



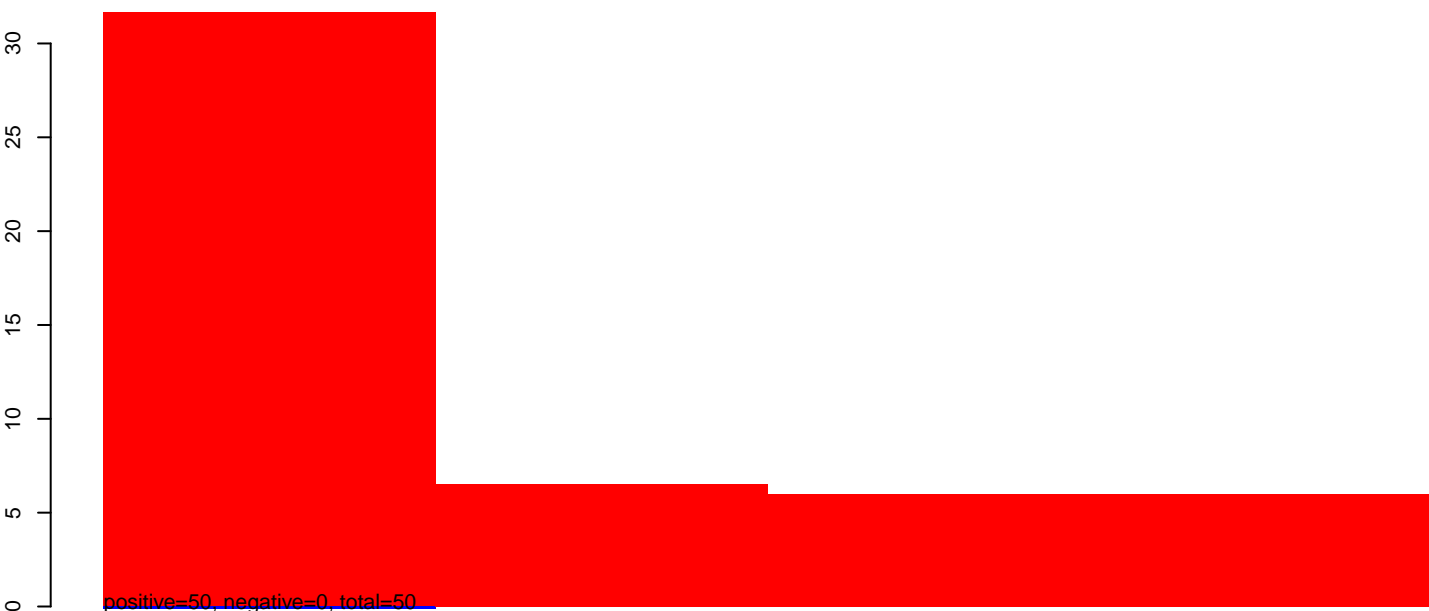
AeAlbo_C636_6dpi_SINV2.24_35.rep



AeAlbo_C636_6dpi_SINV2.rep



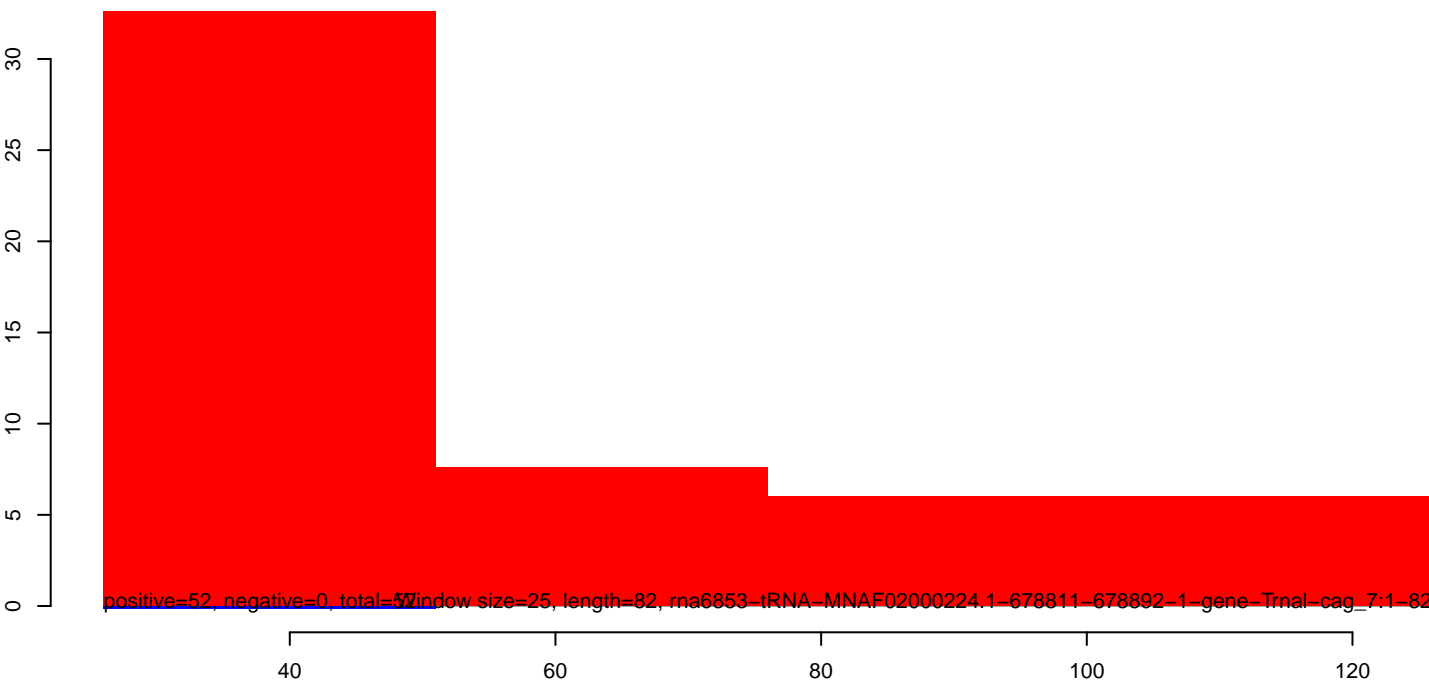
AeAlbo_C636_6dpi_SINV2.18_23.rep



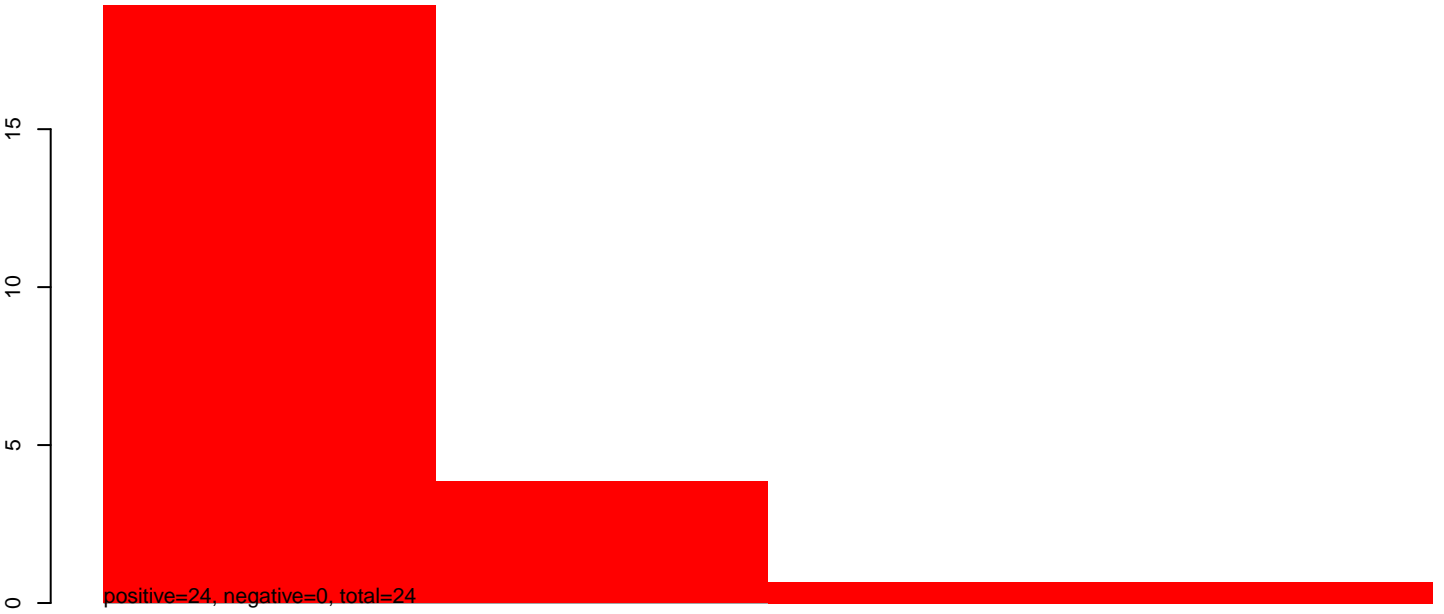
AeAlbo_C636_6dpi_SINV2.24_35.rep



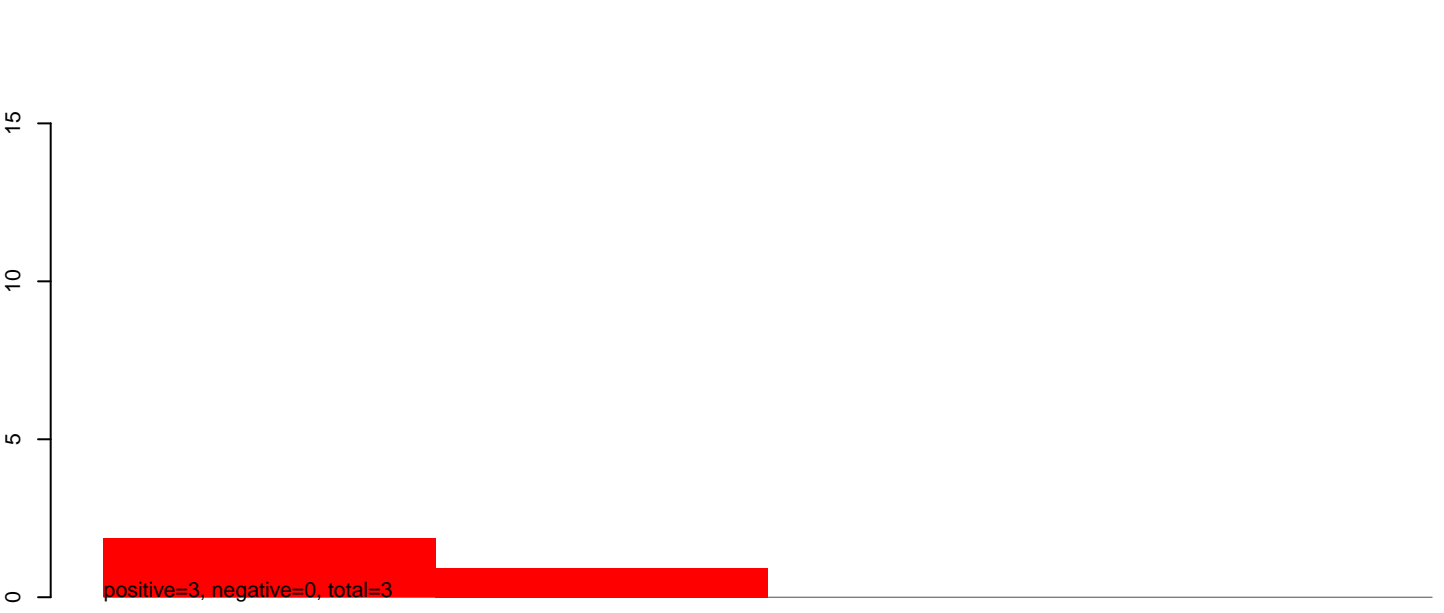
AeAlbo_C636_6dpi_SINV2.rep



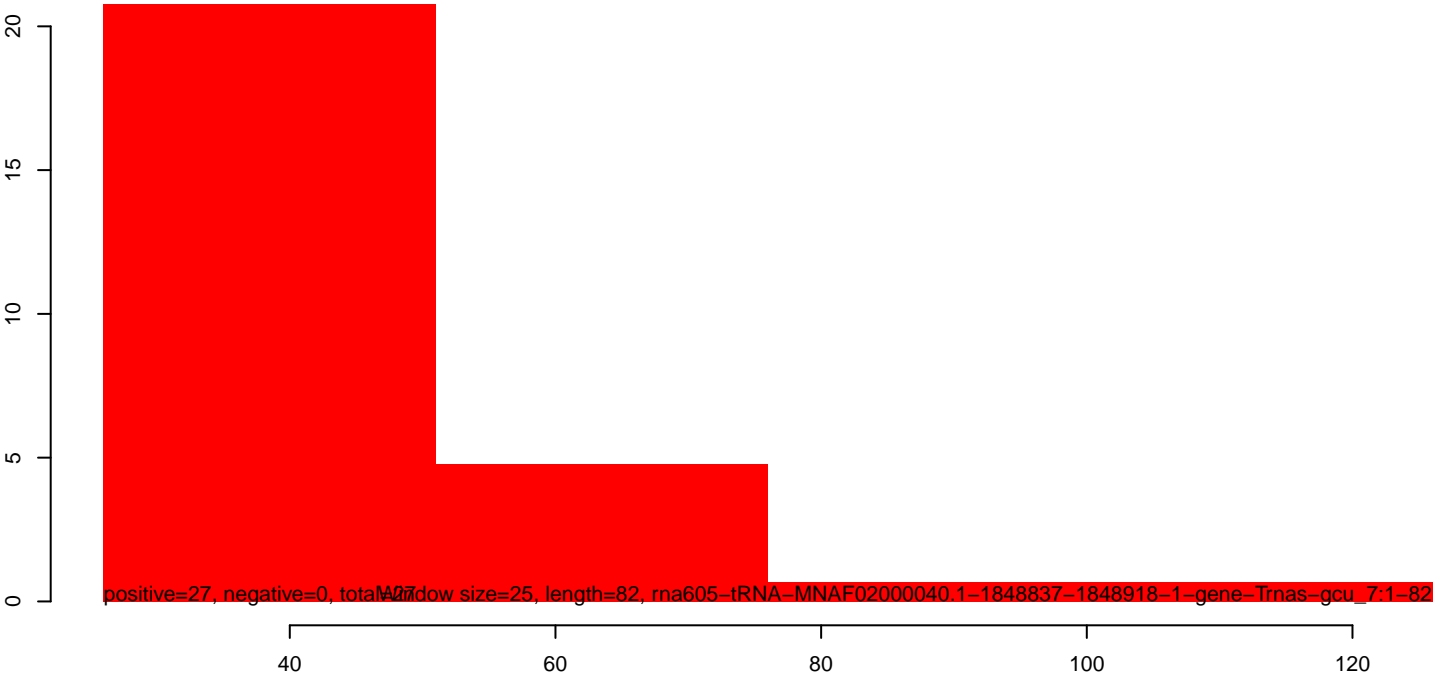
AeAlbo_C636_6dpi_SINV2.18_23.rep



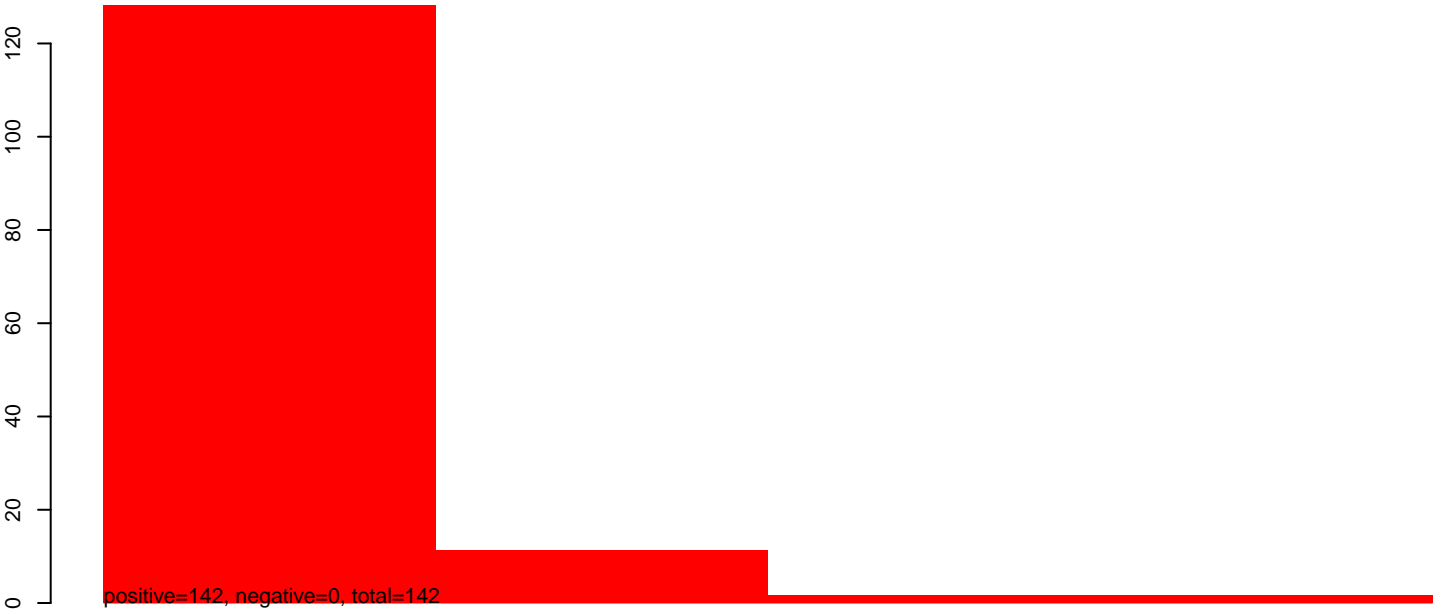
AeAlbo_C636_6dpi_SINV2.24_35.rep



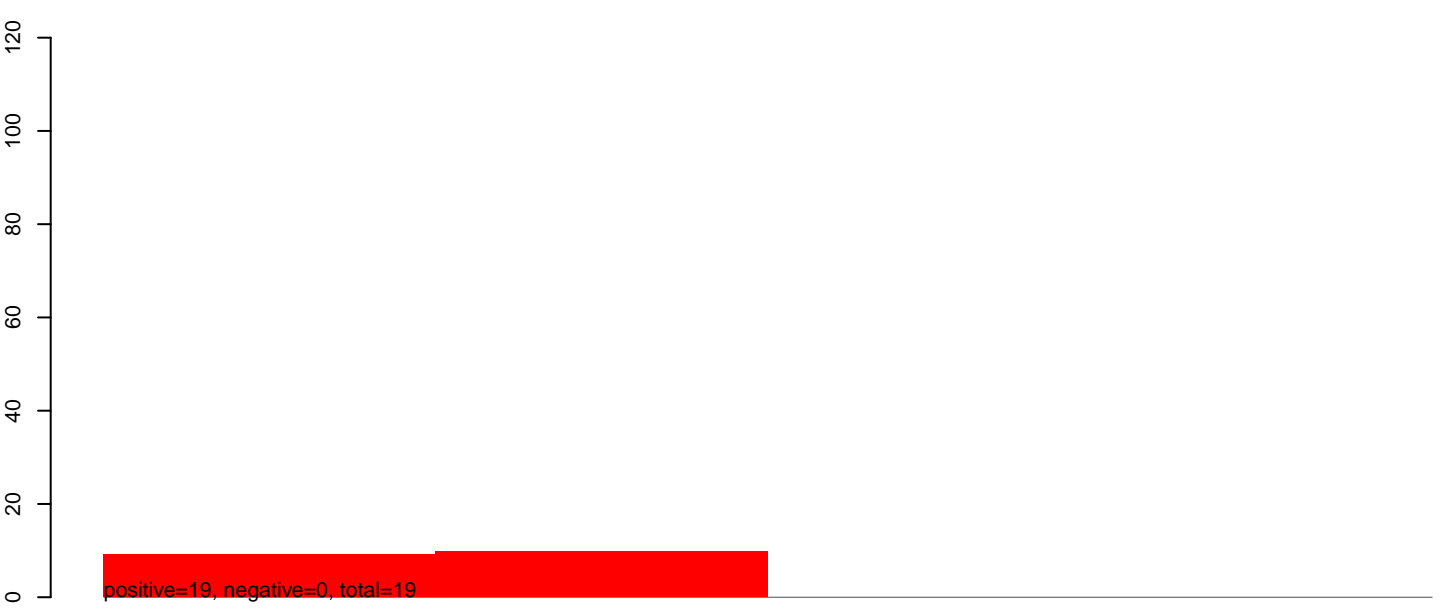
AeAlbo_C636_6dpi_SINV2.rep



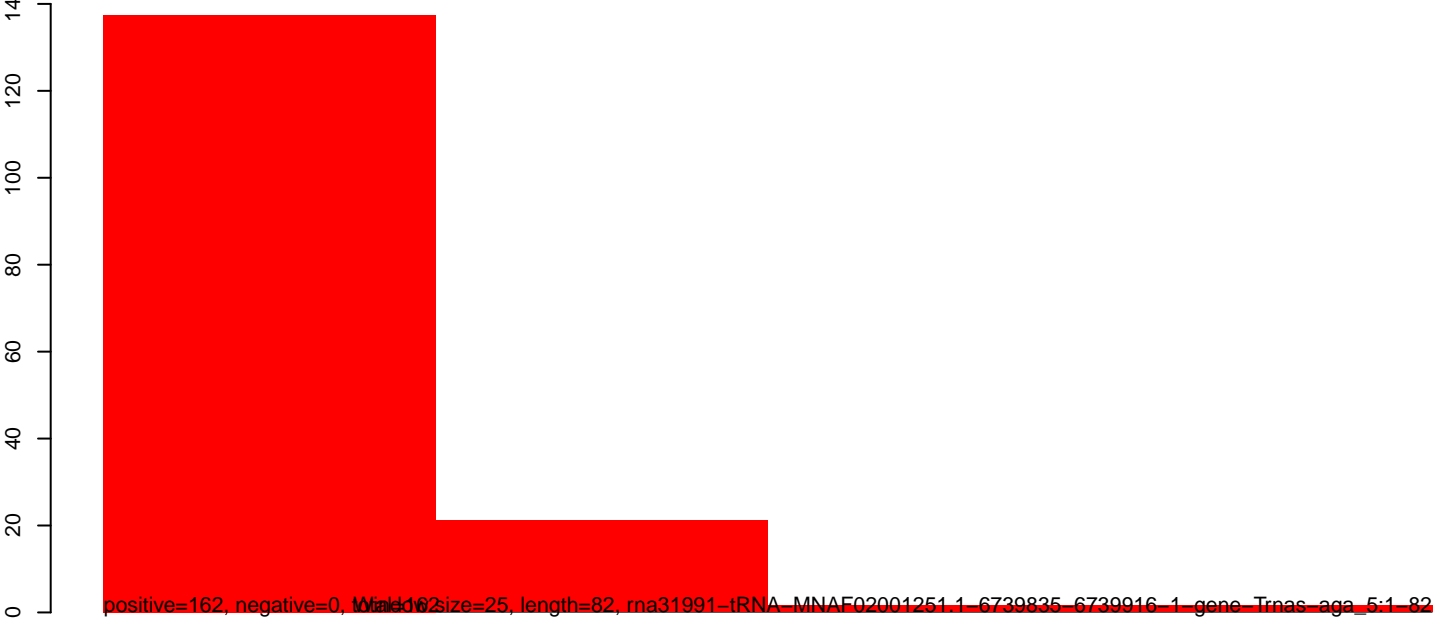
AeAlbo_C636_6dpi_SINV2.18_23.rep



AeAlbo_C636_6dpi_SINV2.24_35.rep

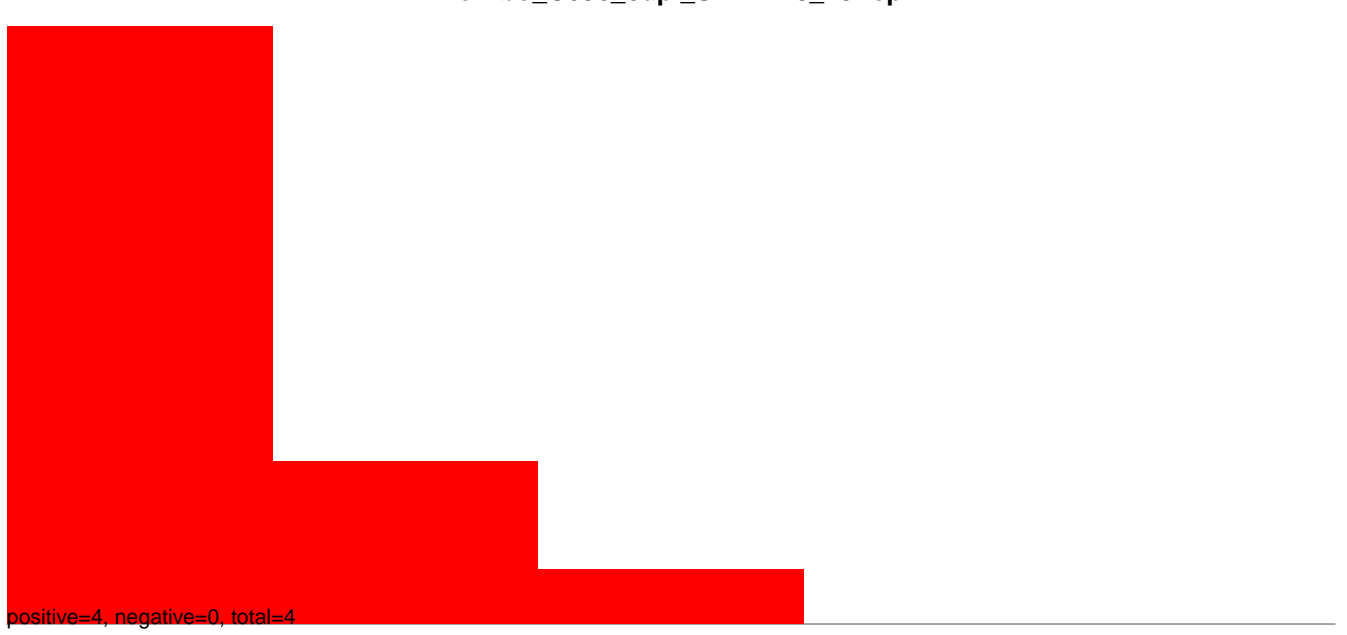


AeAlbo_C636_6dpi_SINV2.rep

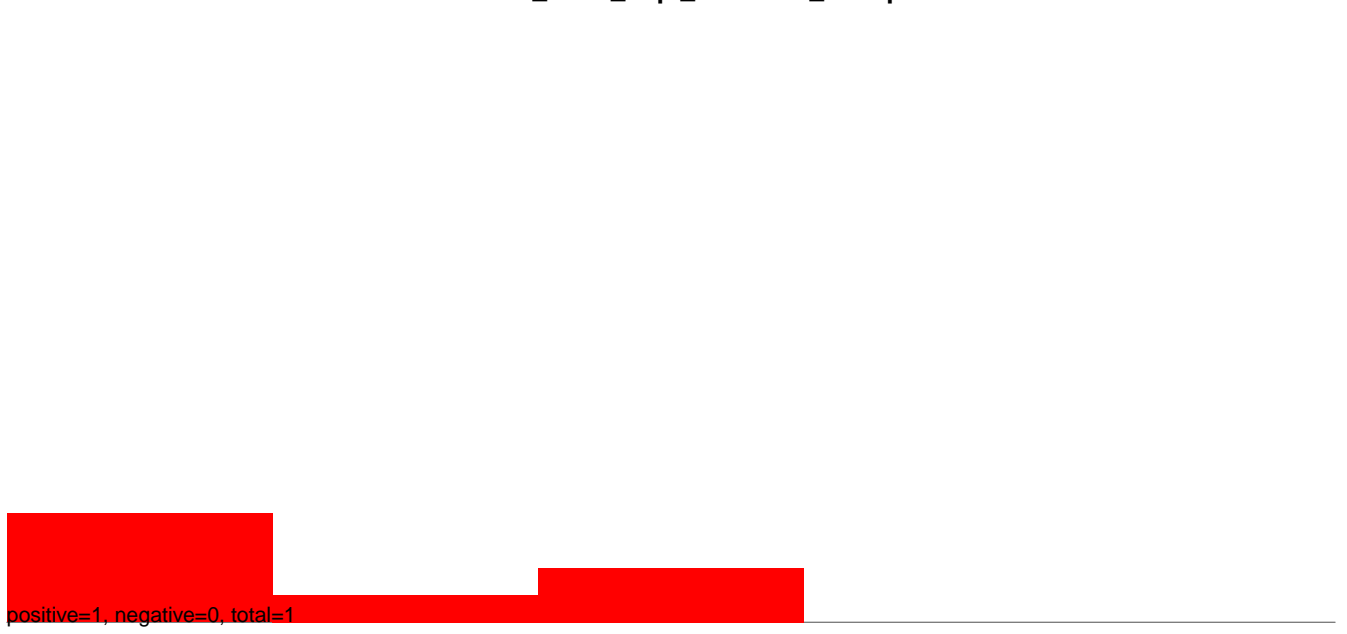


40 60 80 100 120

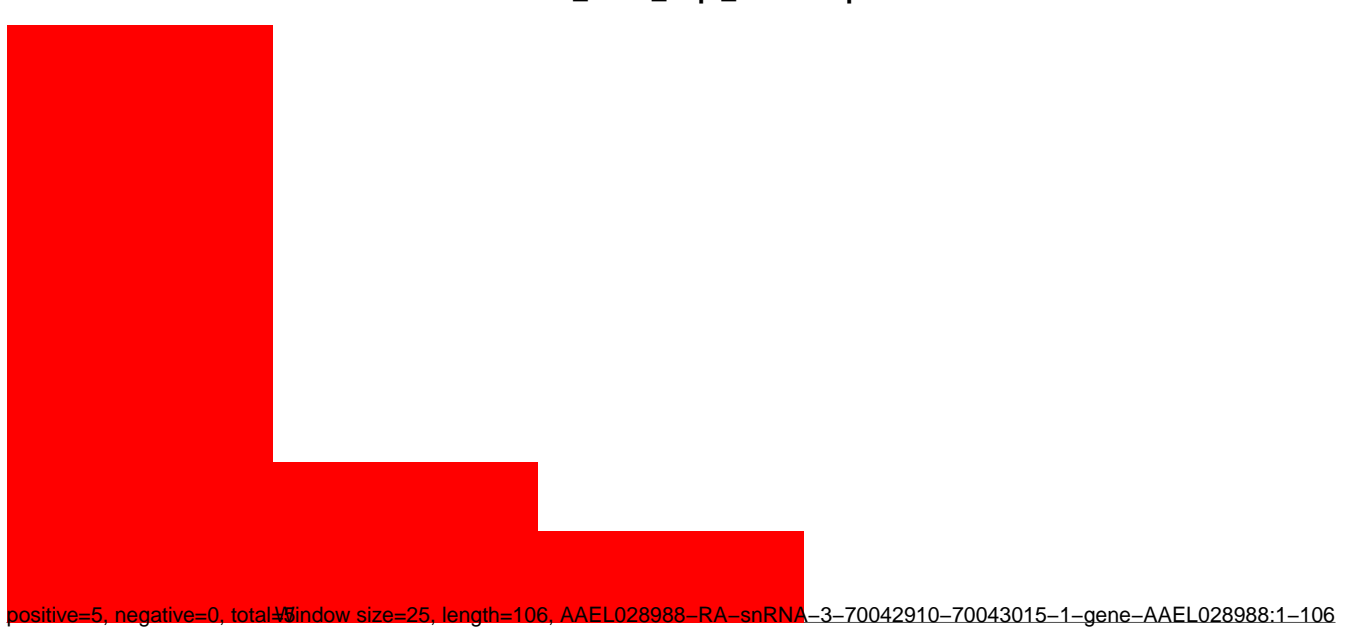
AeAlbo_C636_6dpi_SINV2.18_23.rep



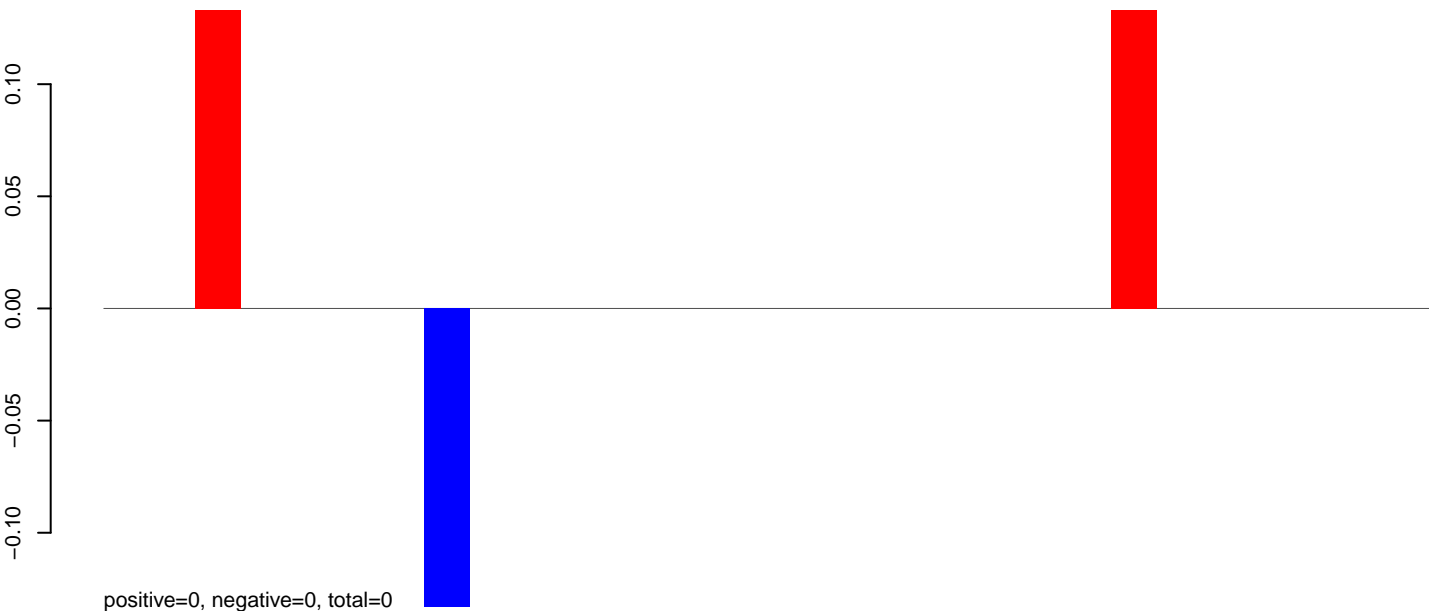
AeAlbo_C636_6dpi_SINV2.24_35.rep



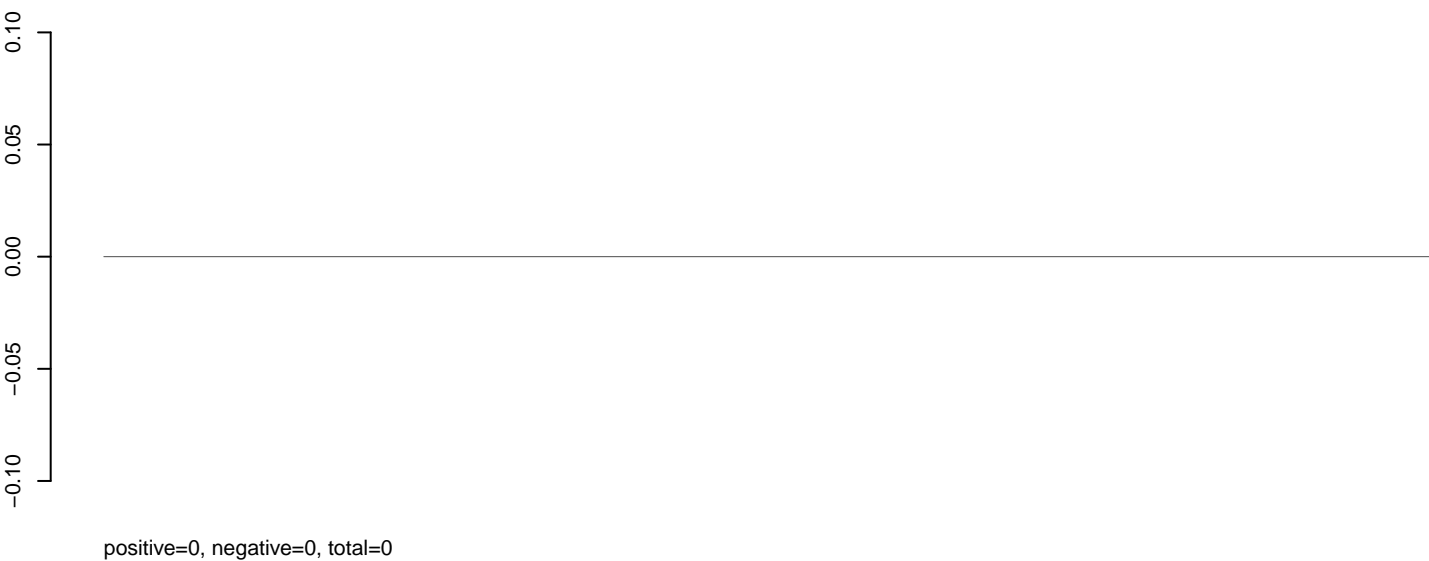
AeAlbo_C636_6dpi_SINV2.rep



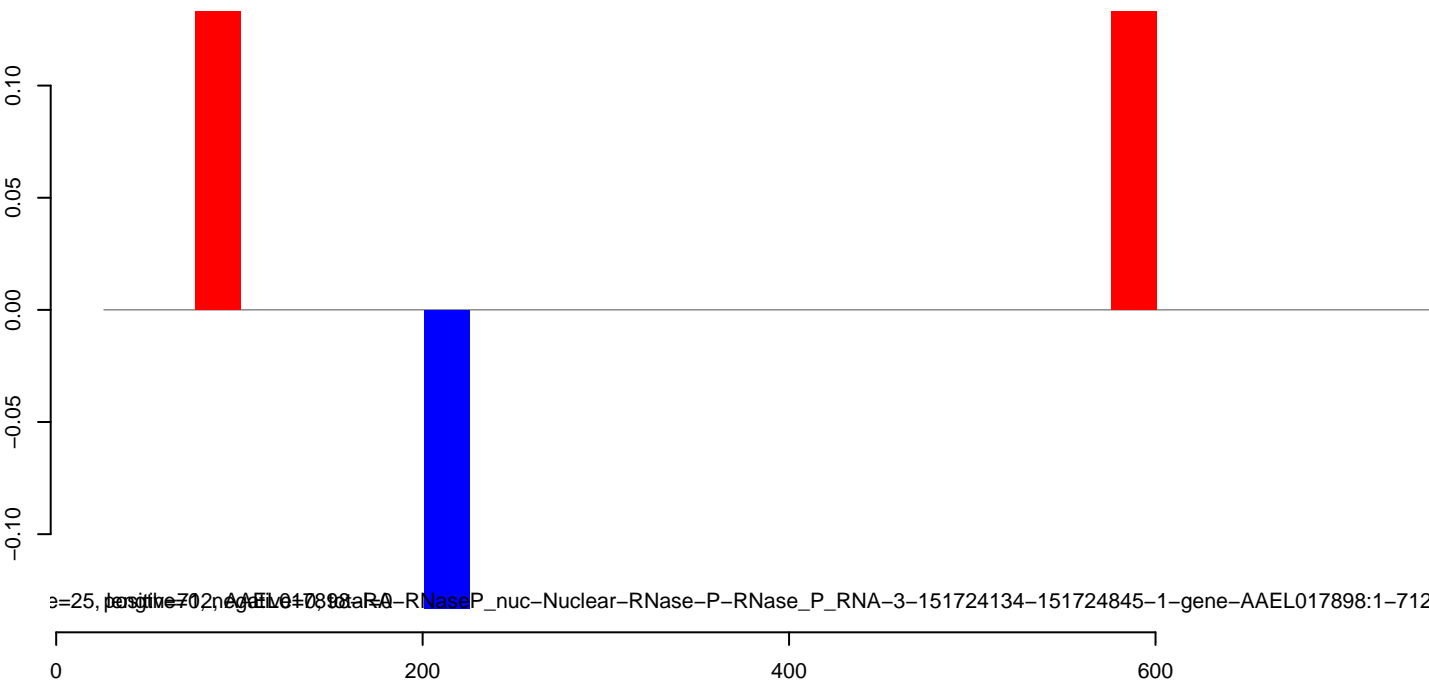
AeAlbo_C636_6dpi_SINV2.18_23.rep



AeAlbo_C636_6dpi_SINV2.24_35.rep

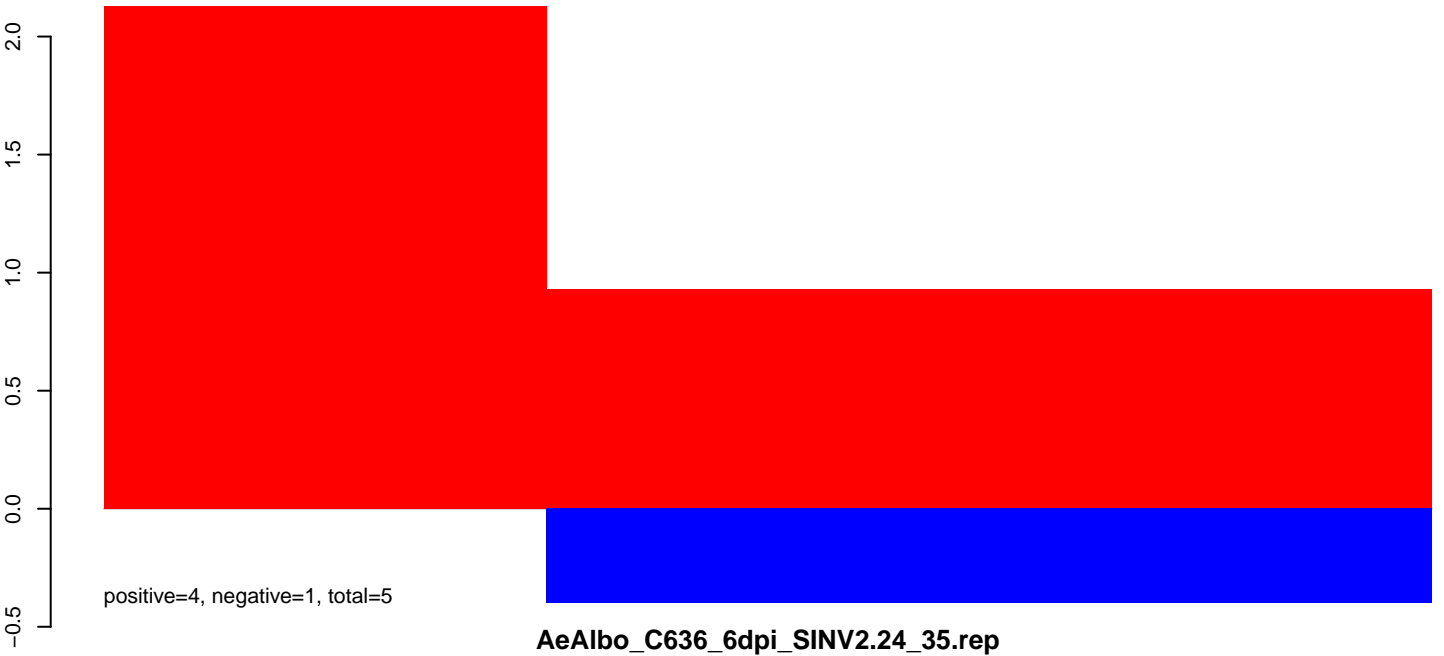


AeAlbo_C636_6dpi_SINV2.rep



25, positive=70, negative=70, total=95, gene=RNase_P_nuc-Nuclear-RNase-P-RNase_P_RNA-3-151724134-151724845-1-gene-AAEL017898:1-712

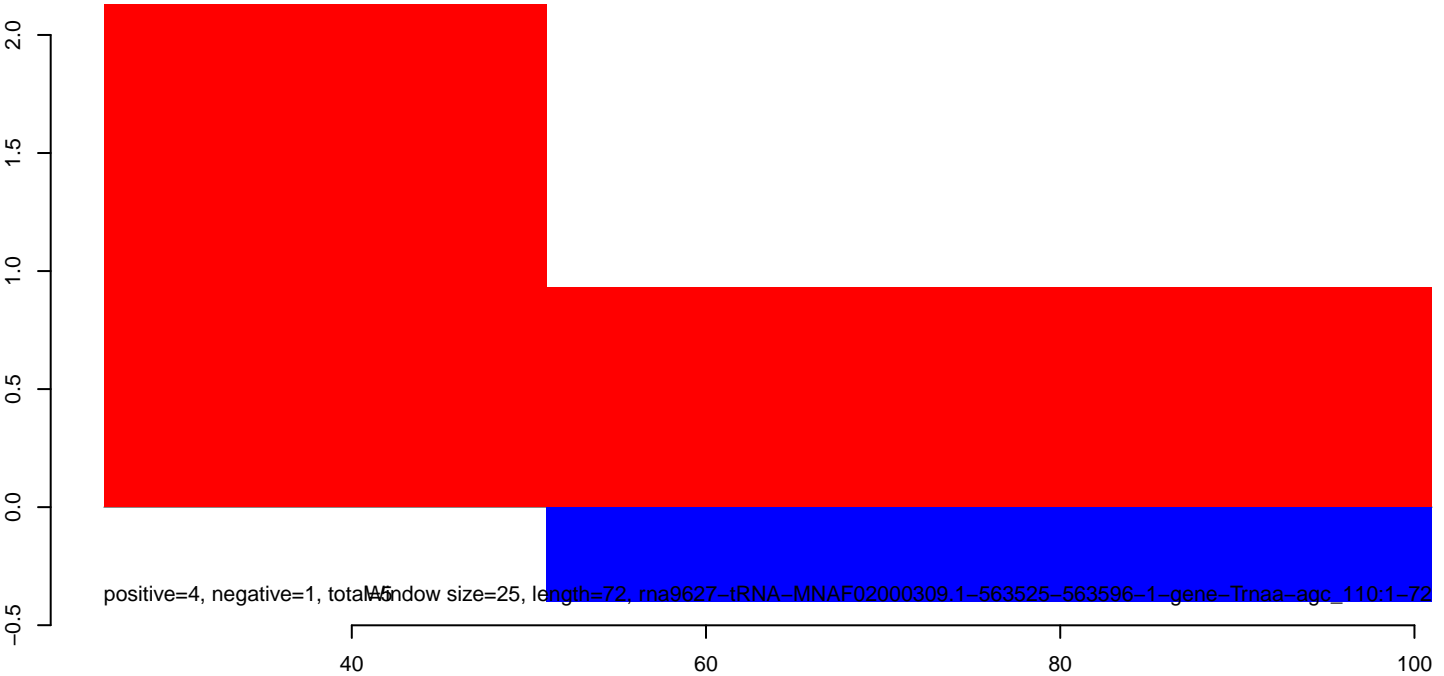
AeAlbo_C636_6dpi_SINV2.18_23.rep



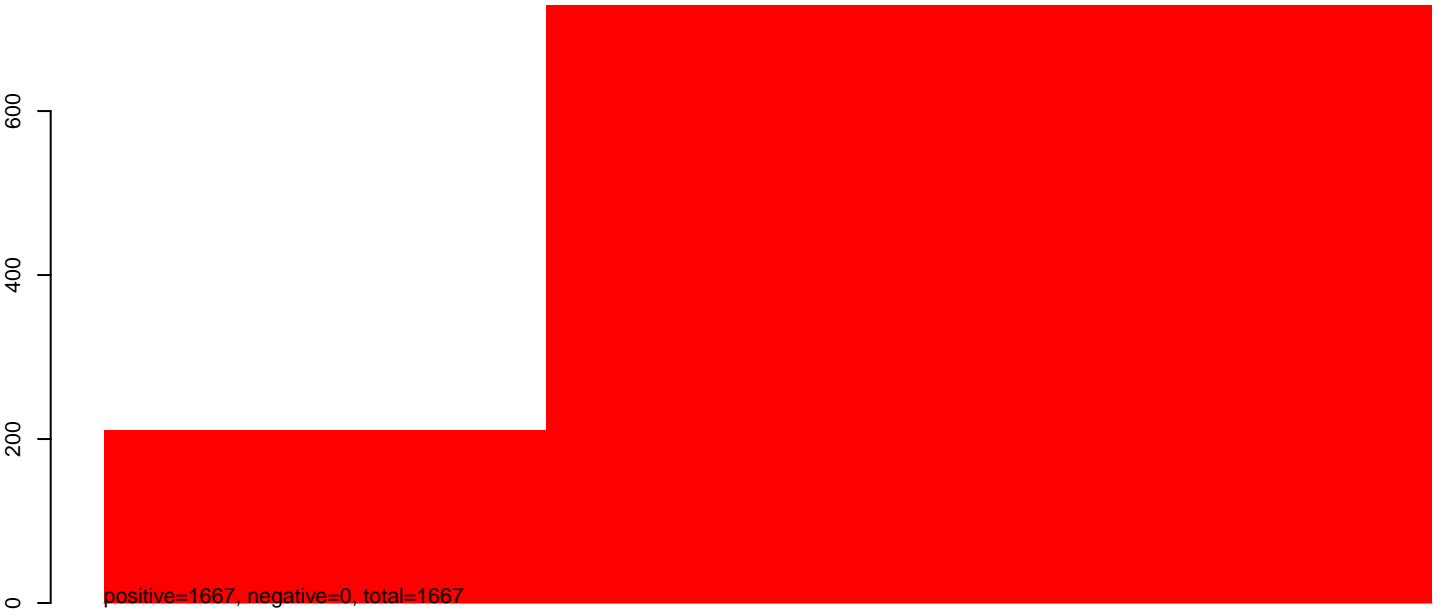
AeAlbo_C636_6dpi_SINV2.24_35.rep



AeAlbo_C636_6dpi_SINV2.rep



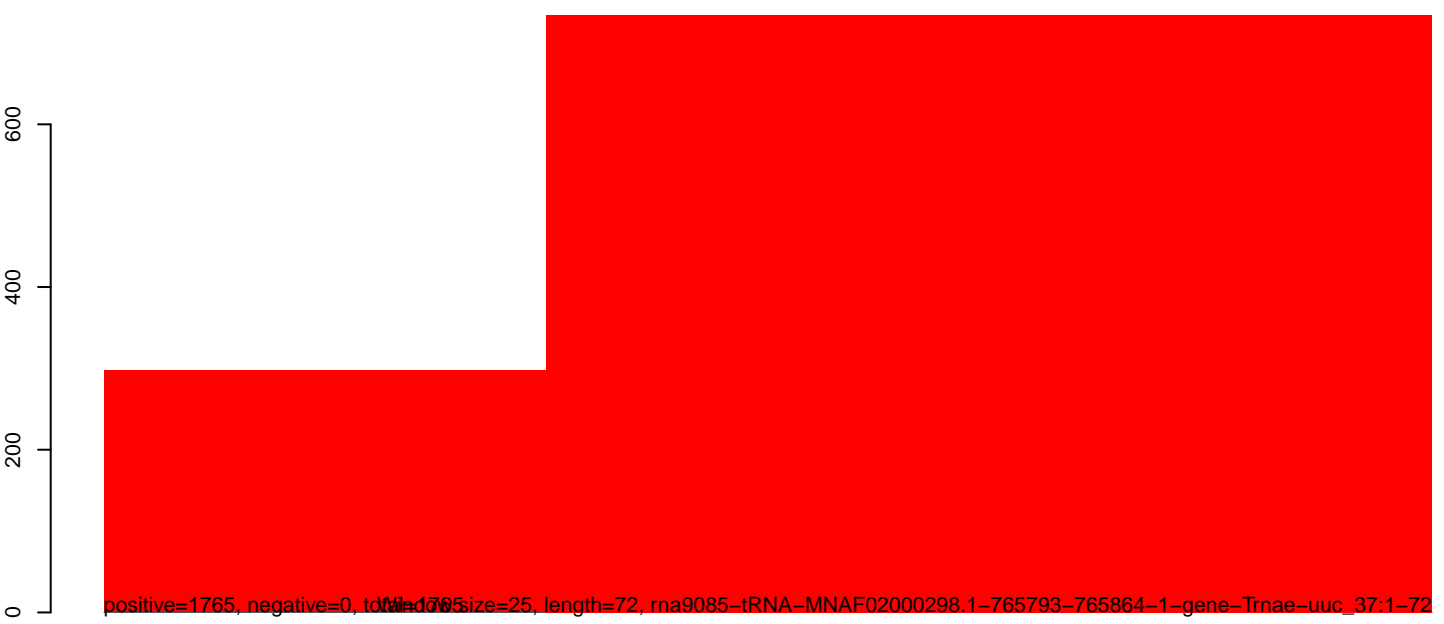
AeAlbo_C636_6dpi_SINV2.18_23.rep



AeAlbo_C636_6dpi_SINV2.24_35.rep



AeAlbo_C636_6dpi_SINV2.rep

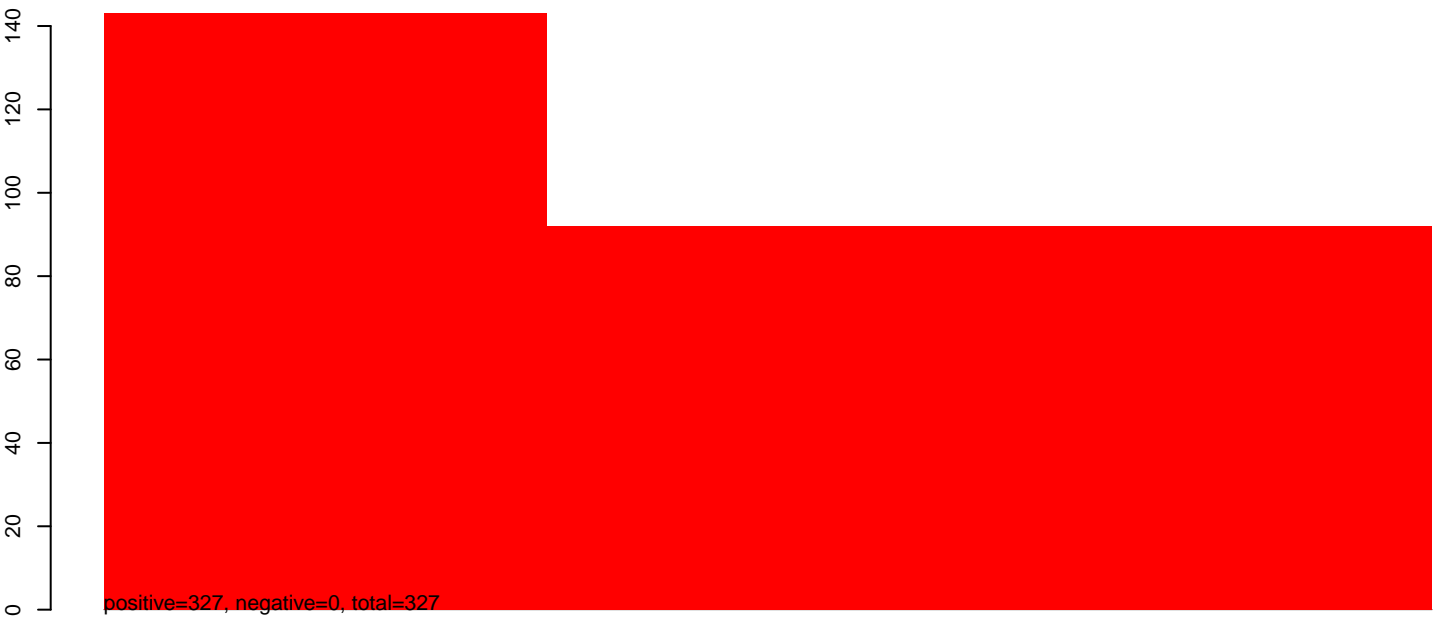


40 60 80 100

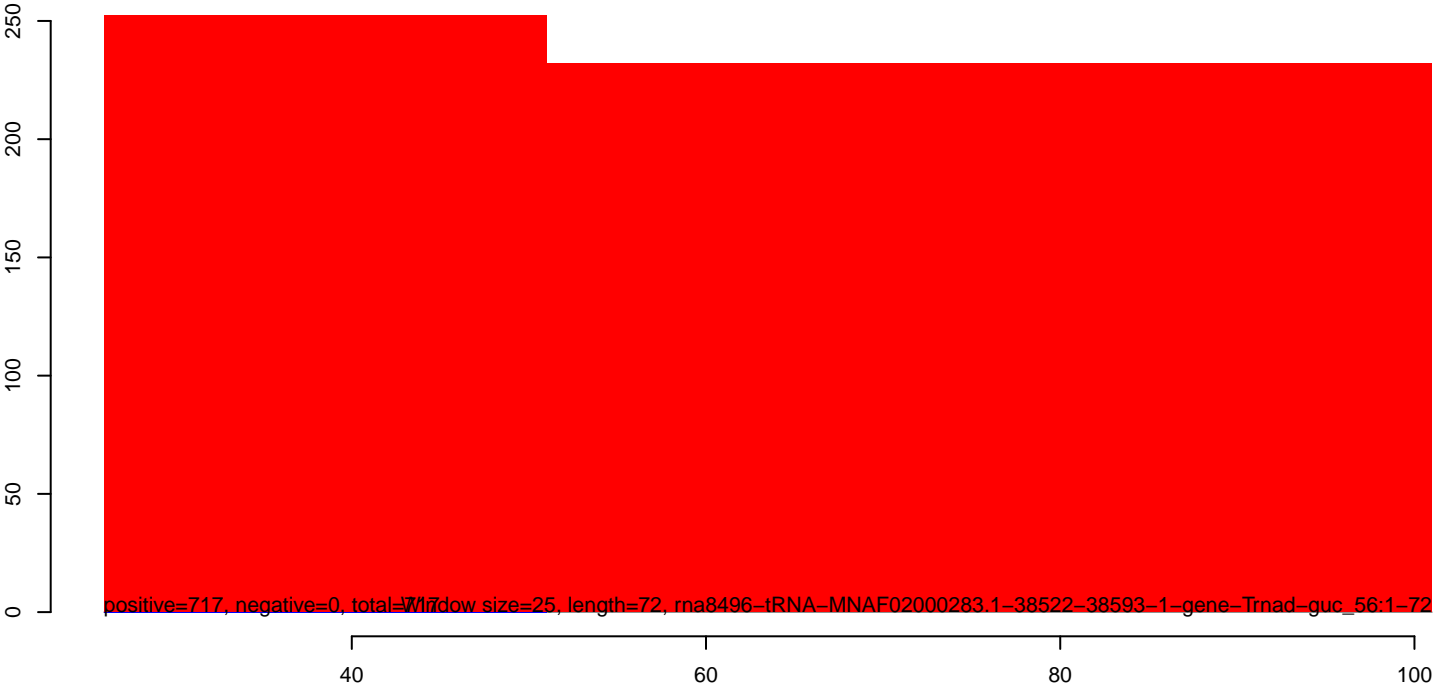
AeAlbo_C636_6dpi_SINV2.18_23.rep



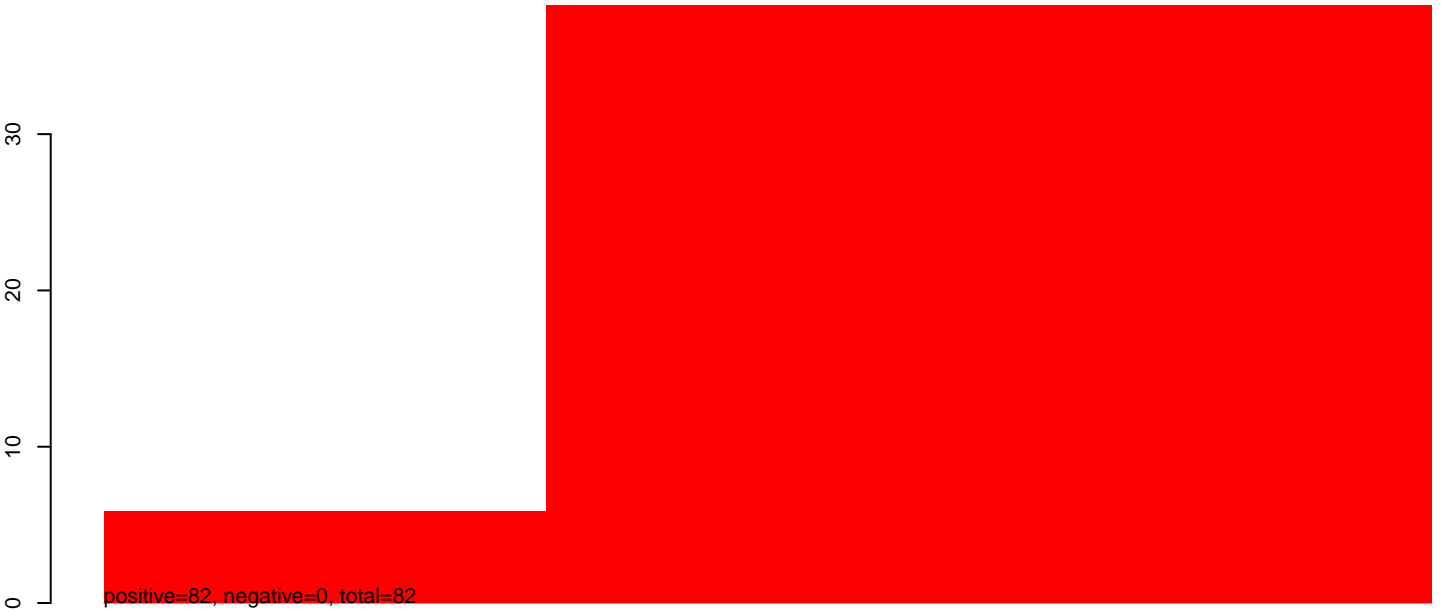
AeAlbo_C636_6dpi_SINV2.24_35.rep



AeAlbo_C636_6dpi_SINV2.rep



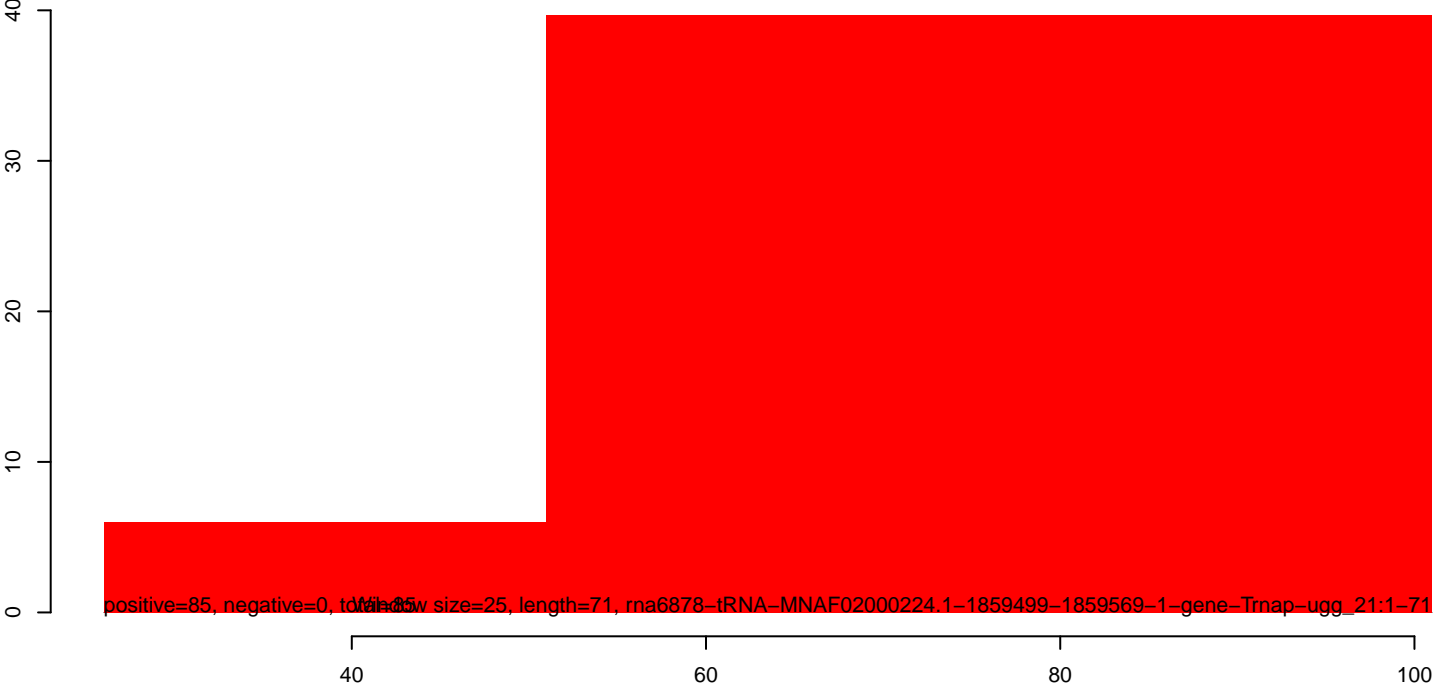
AeAlbo_C636_6dpi_SINV2.18_23.rep



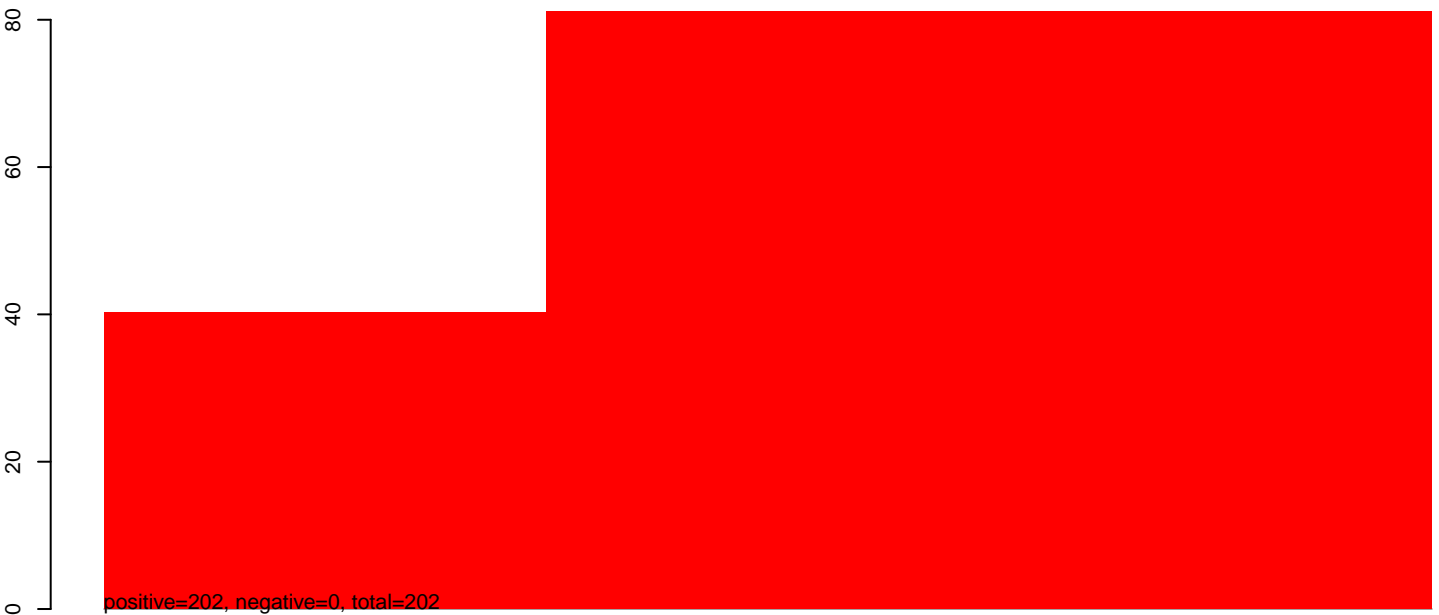
AeAlbo_C636_6dpi_SINV2.24_35.rep



AeAlbo_C636_6dpi_SINV2.rep



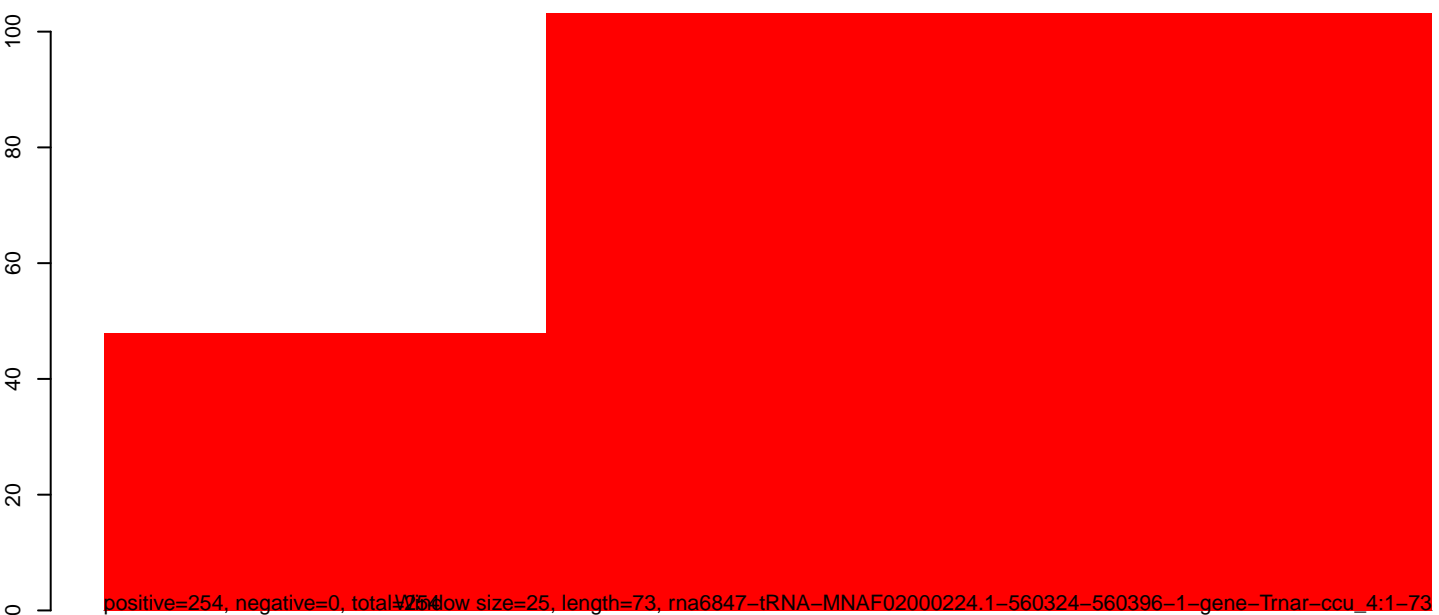
AeAlbo_C636_6dpi_SINV2.18_23.rep



AeAlbo_C636_6dpi_SINV2.24_35.rep

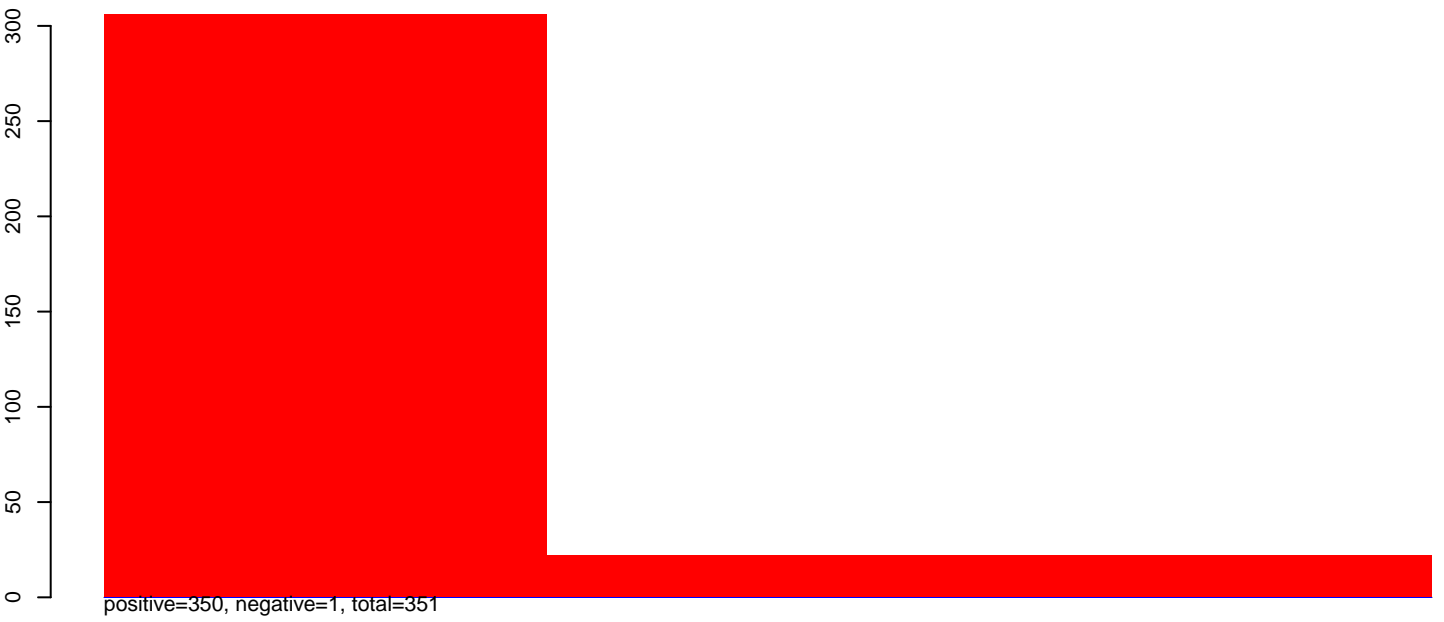


AeAlbo_C636_6dpi_SINV2.rep

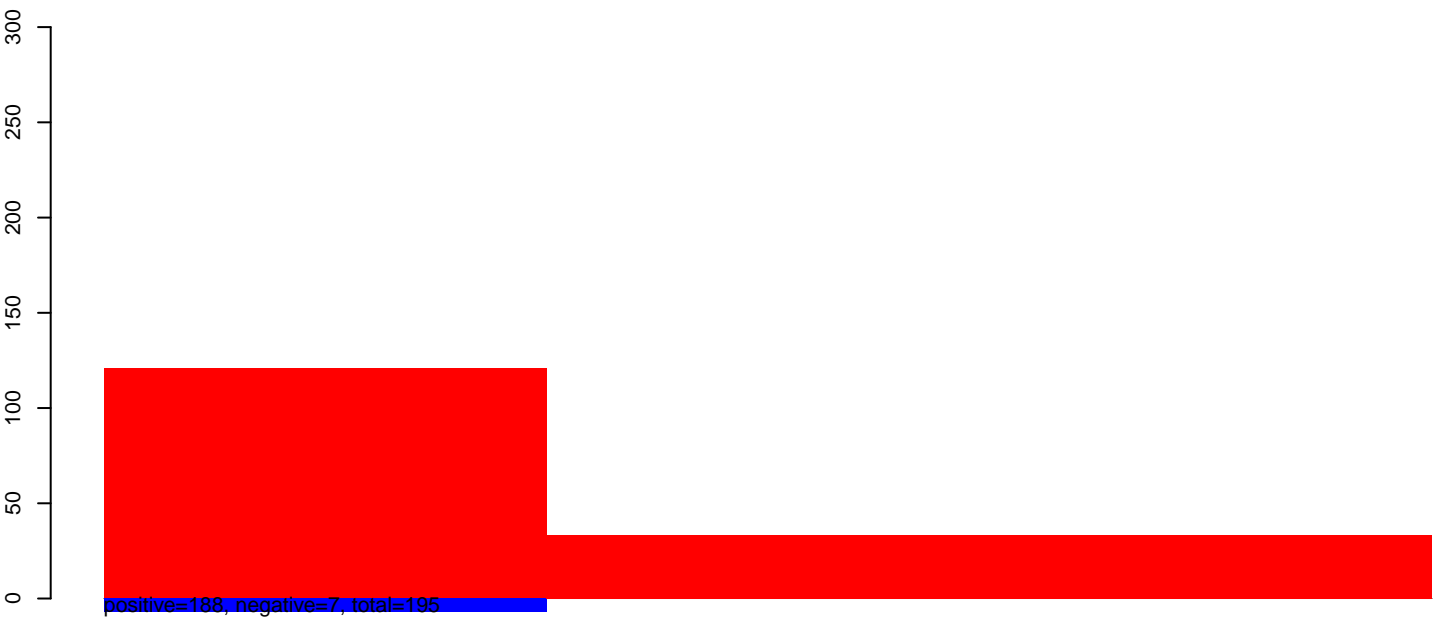


40 60 80 100

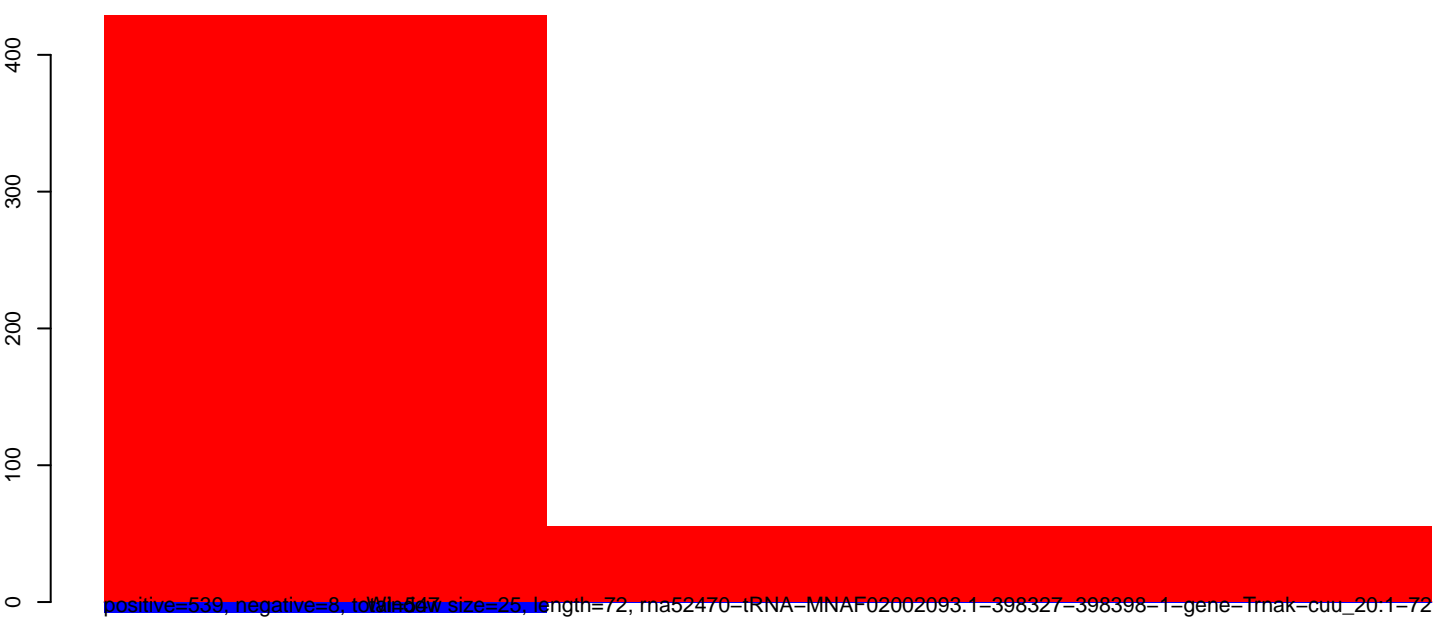
AeAlbo_C636_6dpi_SINV2.18_23.rep



AeAlbo_C636_6dpi_SINV2.24_35.rep

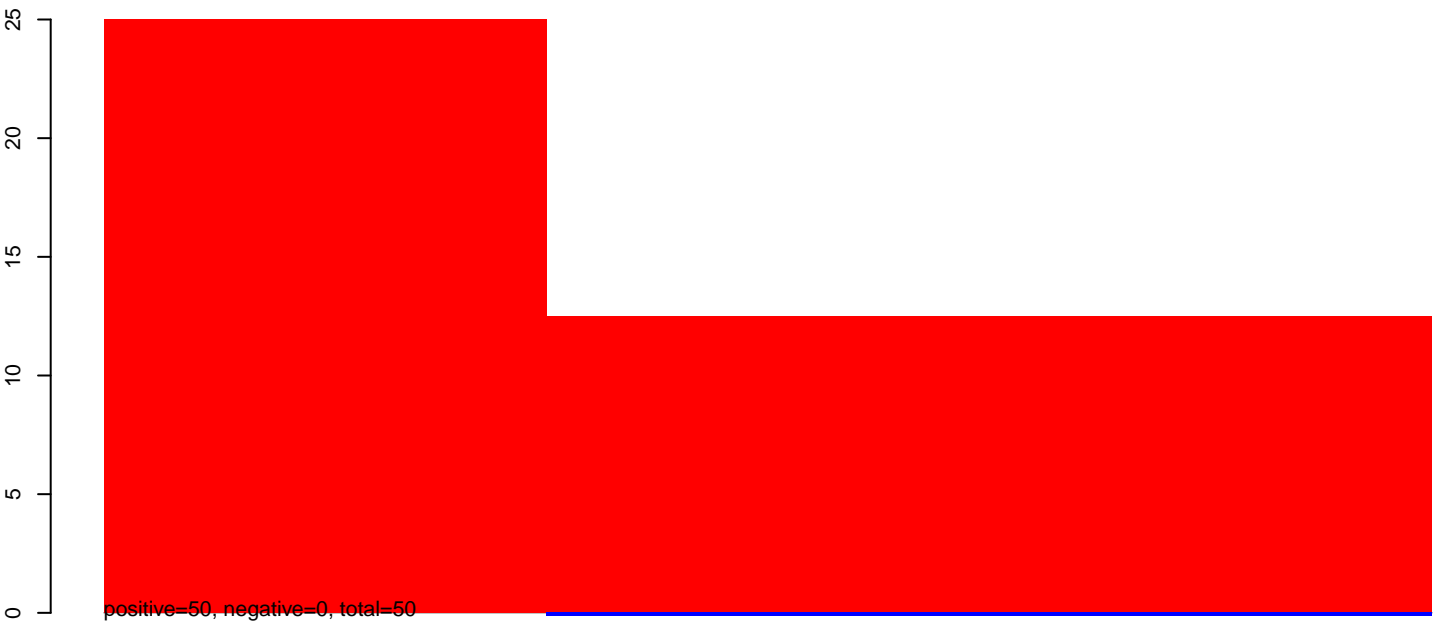


AeAlbo_C636_6dpi_SINV2.rep



40 60 80 100

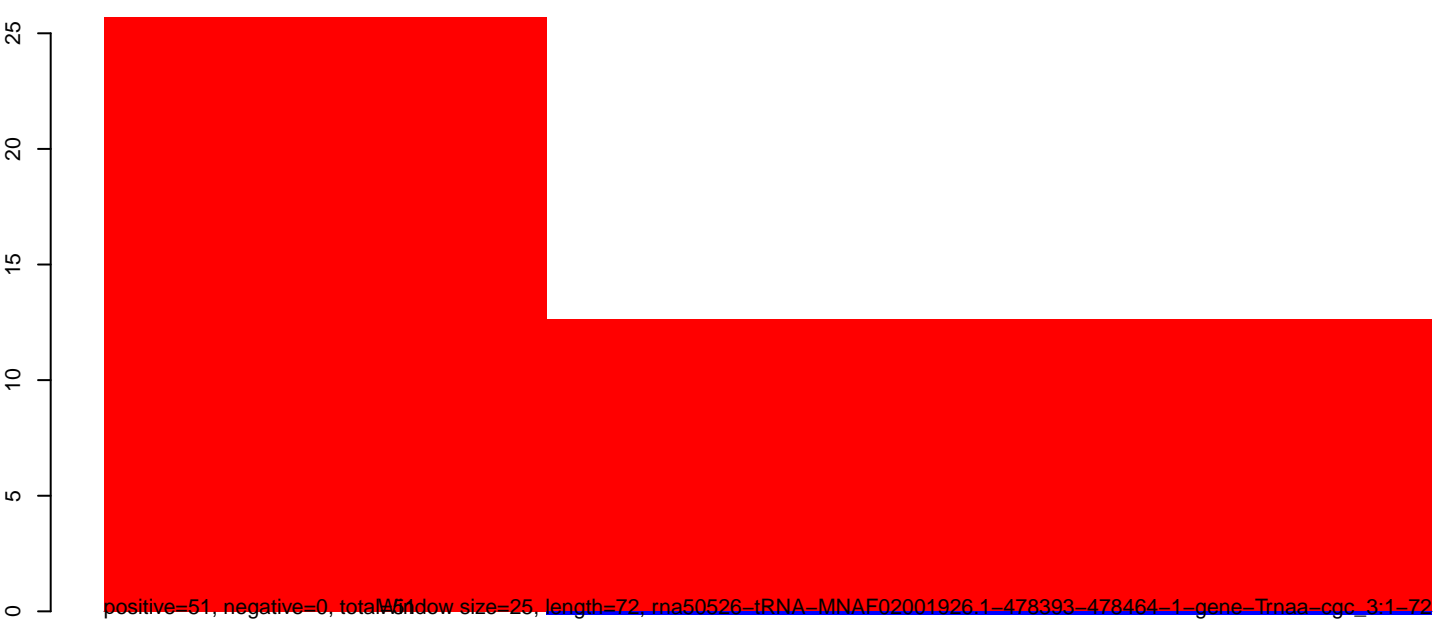
AeAlbo_C636_6dpi_SINV2.18_23.rep



AeAlbo_C636_6dpi_SINV2.24_35.rep

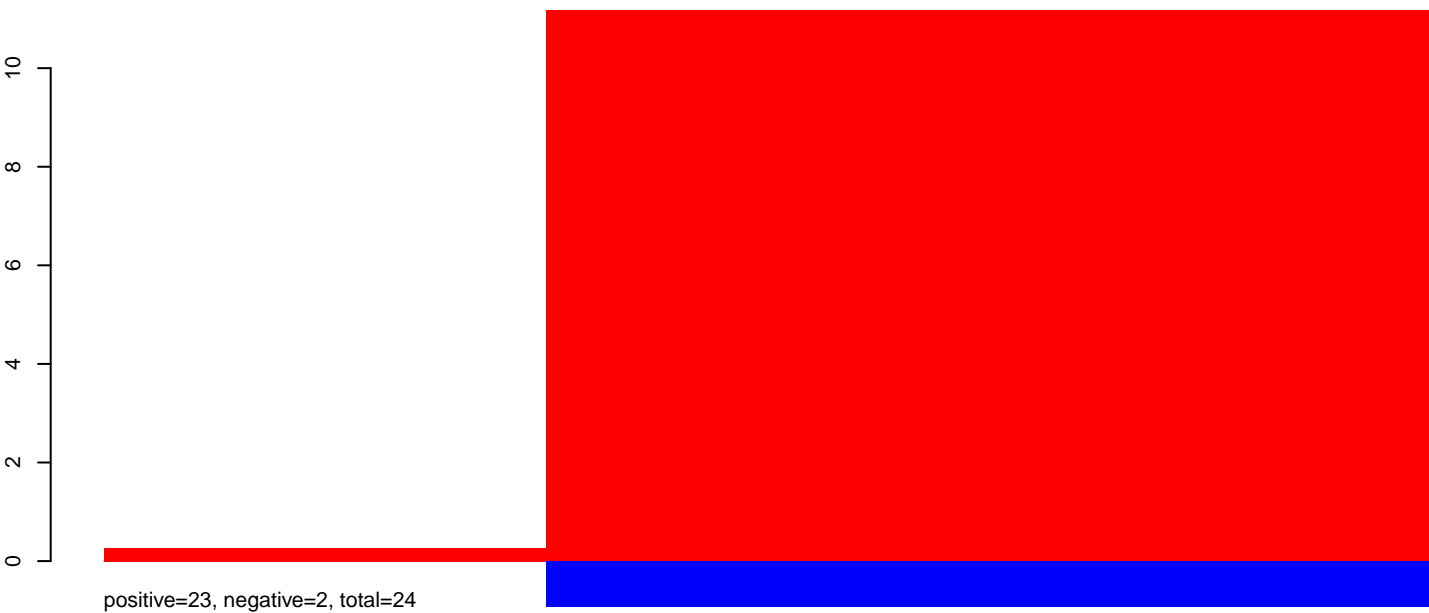


AeAlbo_C636_6dpi_SINV2.rep



40 60 80 100

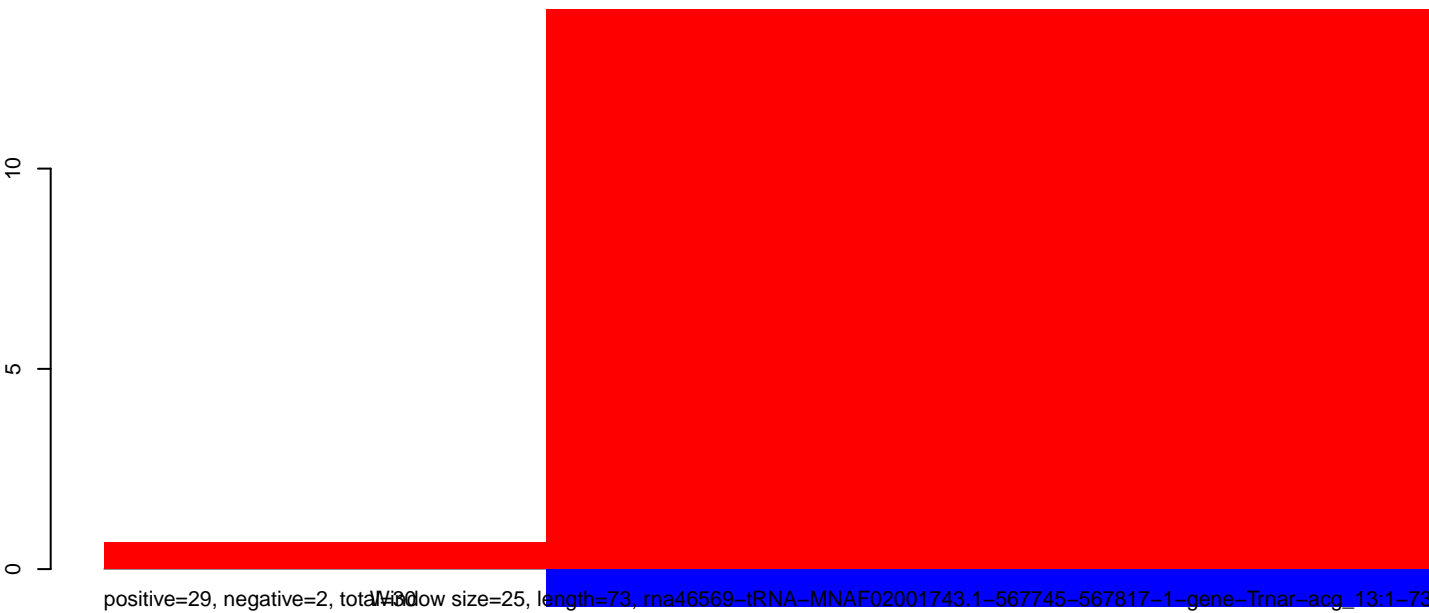
AeAlbo_C636_6dpi_SINV2.18_23.rep



AeAlbo_C636_6dpi_SINV2.24_35.rep

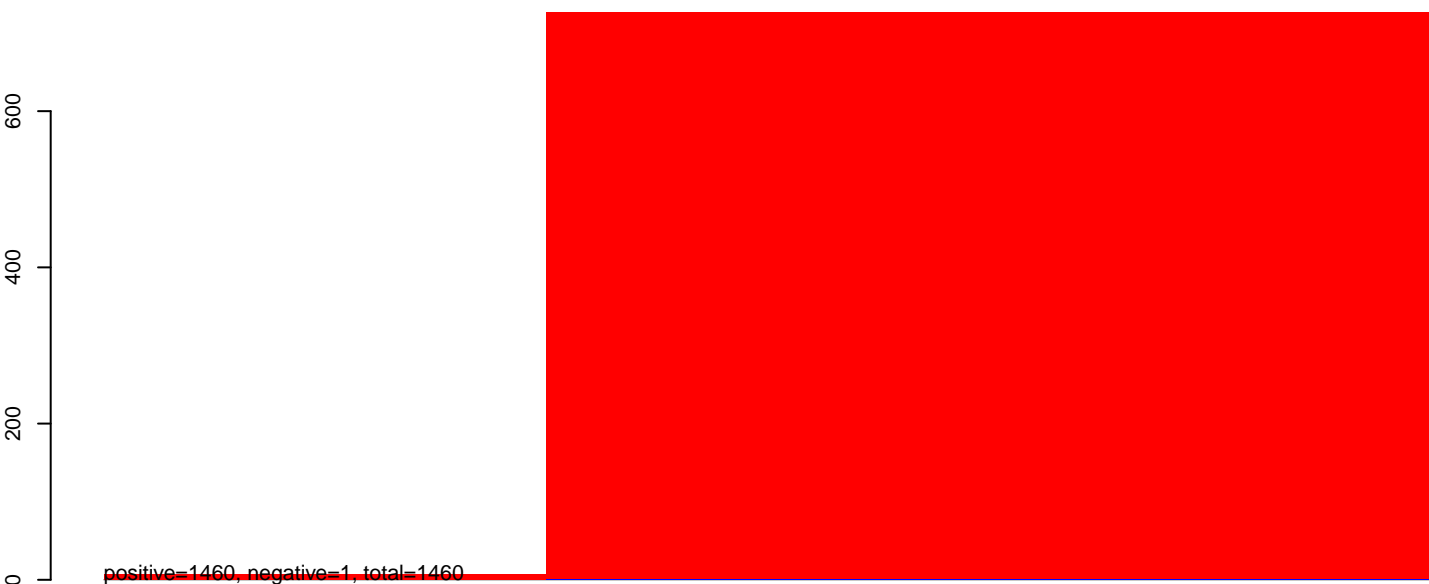


AeAlbo_C636_6dpi_SINV2.rep

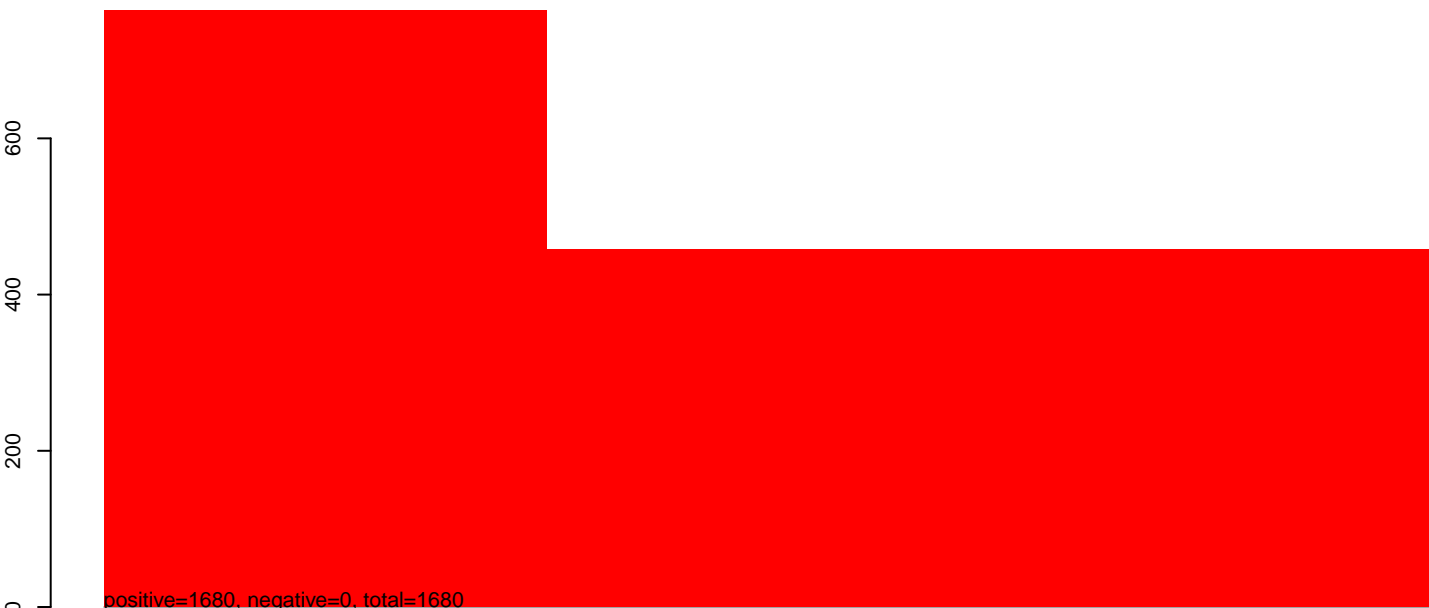


40 60 80 100
allow size=25, length=73, rna46569-irna-MNAF02001743.1-567745-567817-1-gene-Trna-acg_13:1-73

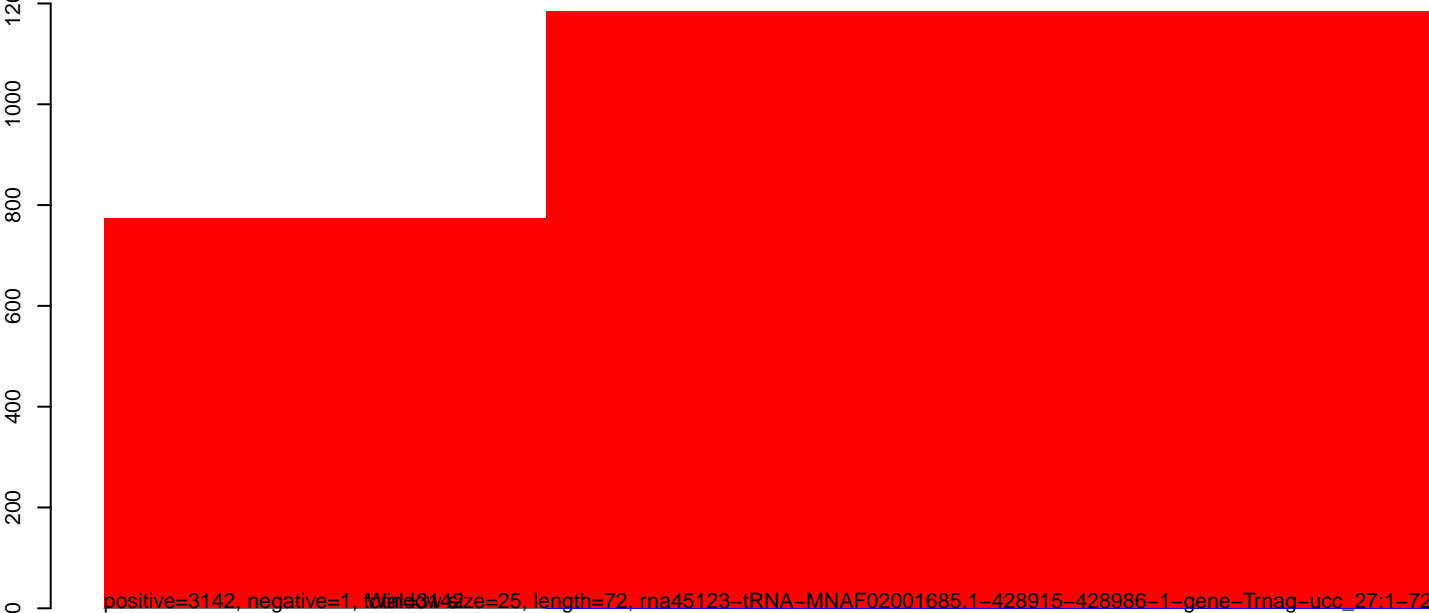
AeAlbo_C636_6dpi_SINV2.18_23.rep



AeAlbo_C636_6dpi_SINV2.24_35.rep

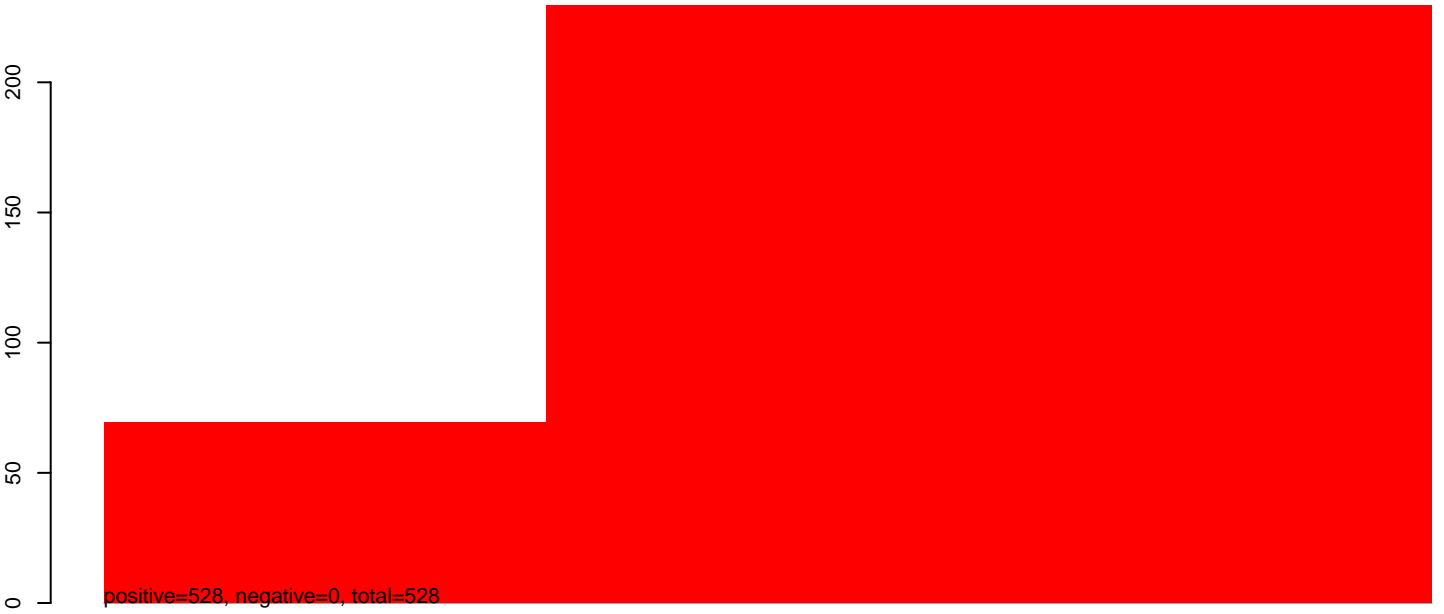


AeAlbo_C636_6dpi_SINV2.rep



40 60 80 100

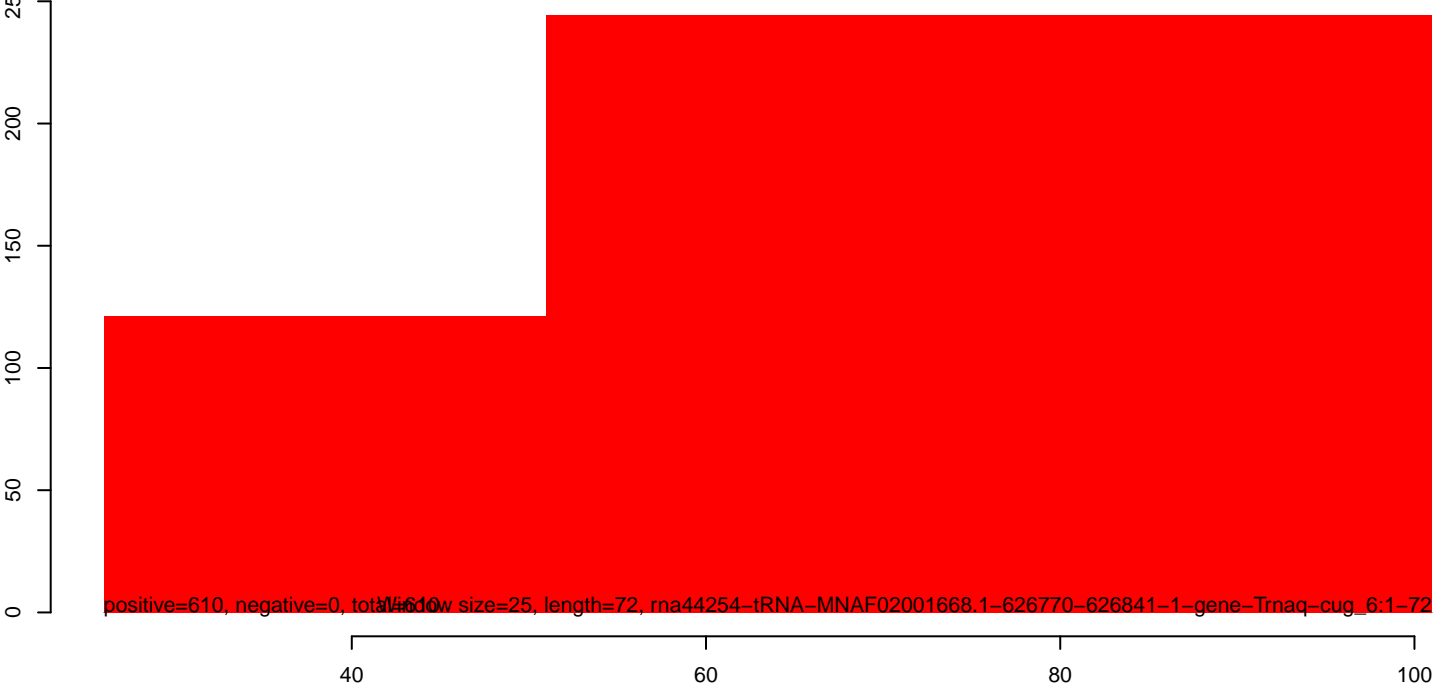
AeAlbo_C636_6dpi_SINV2.18_23.rep



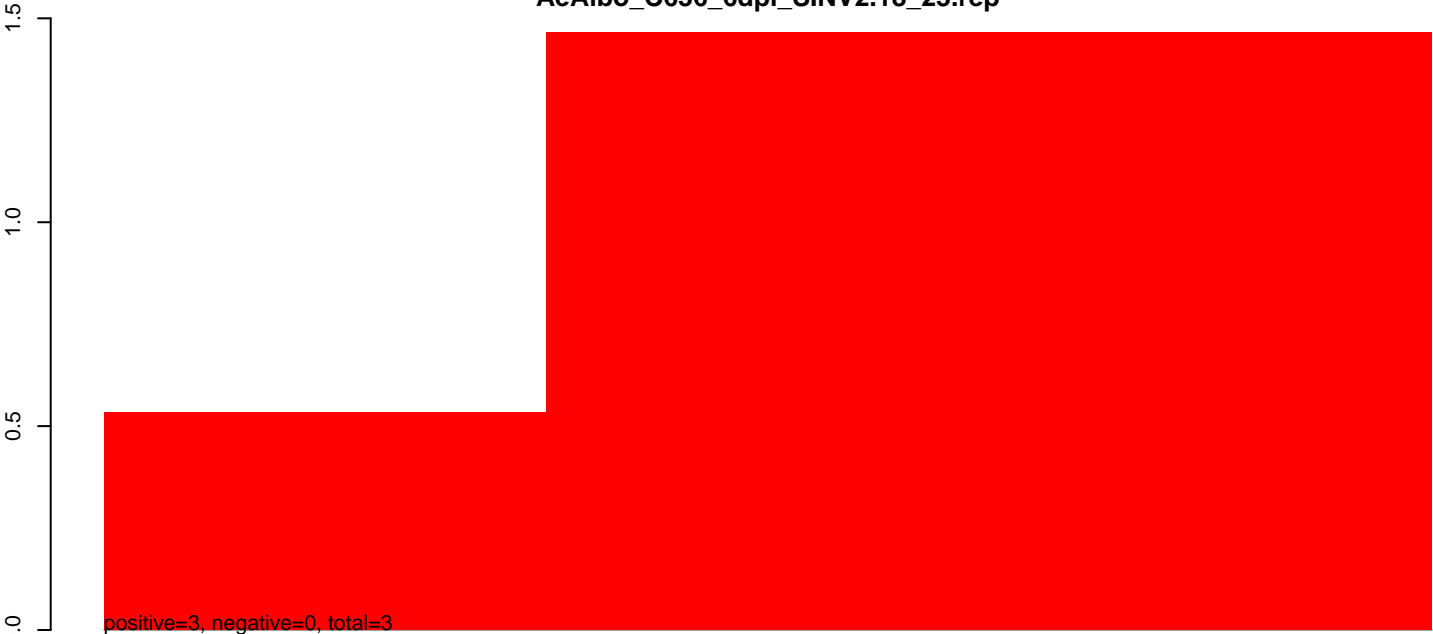
AeAlbo_C636_6dpi_SINV2.24_35.rep



AeAlbo_C636_6dpi_SINV2.rep



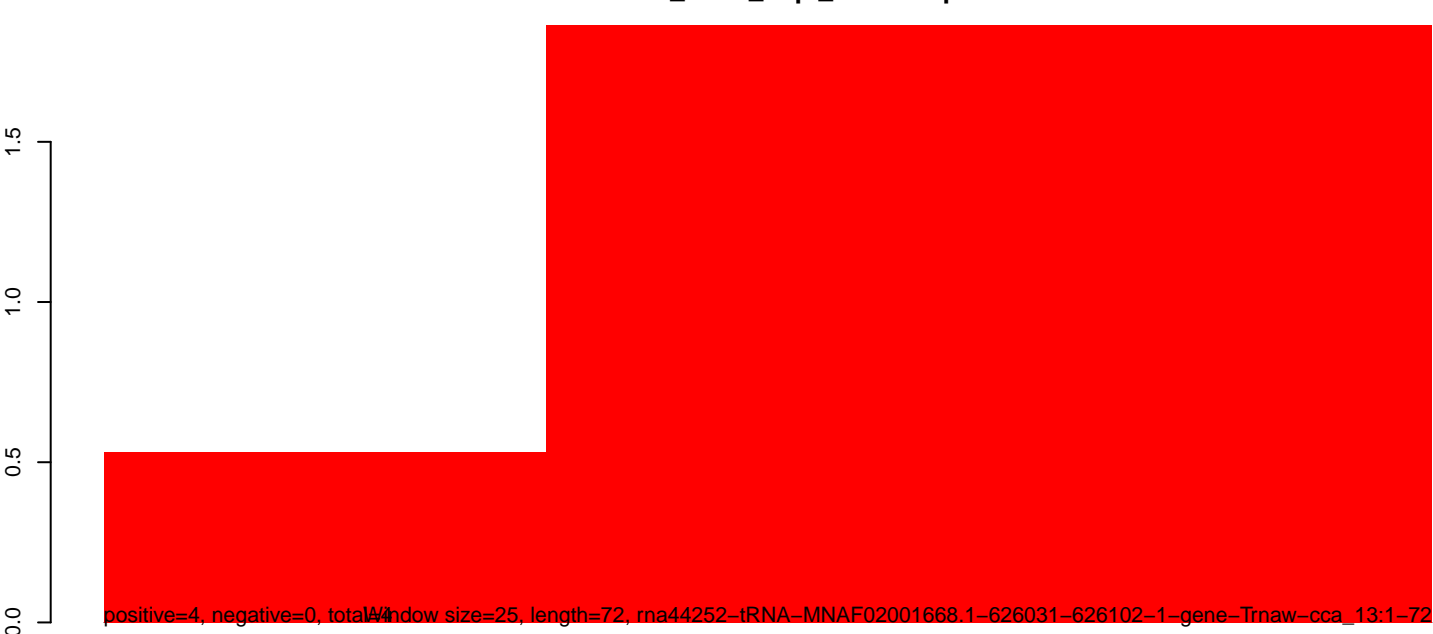
AeAlbo_C636_6dpi_SINV2.18_23.rep



AeAlbo_C636_6dpi_SINV2.24_35.rep

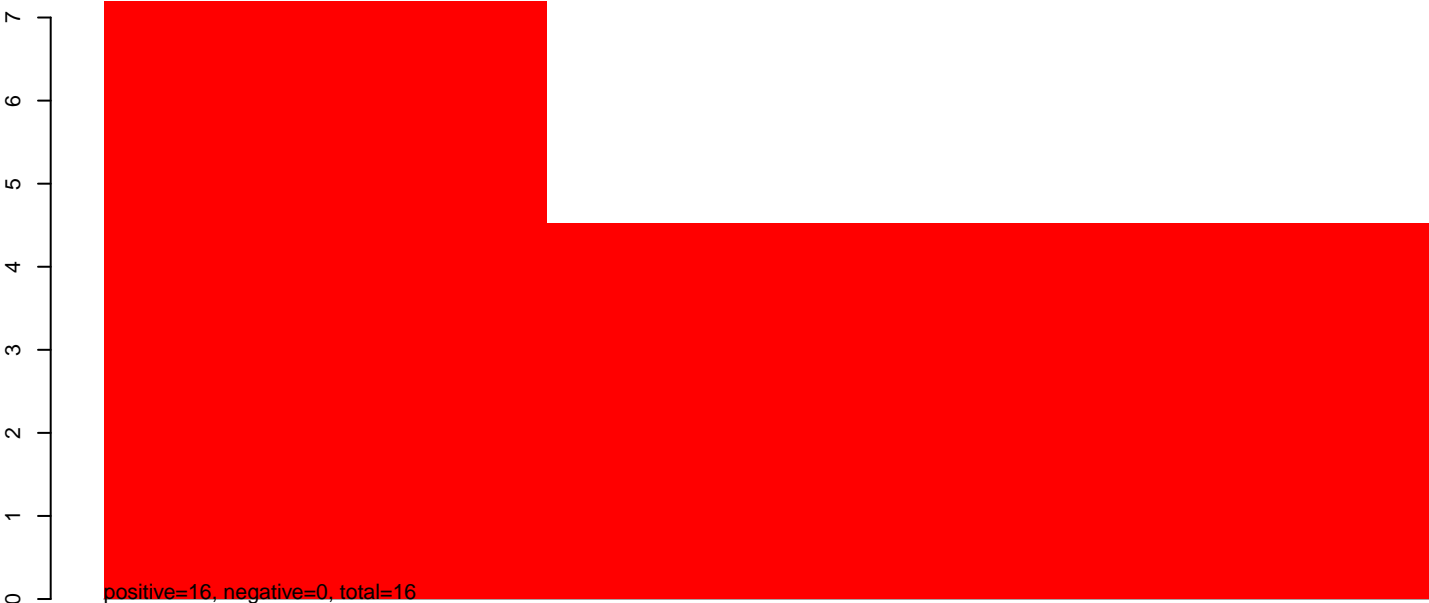


AeAlbo_C636_6dpi_SINV2.rep



40 60 80 100

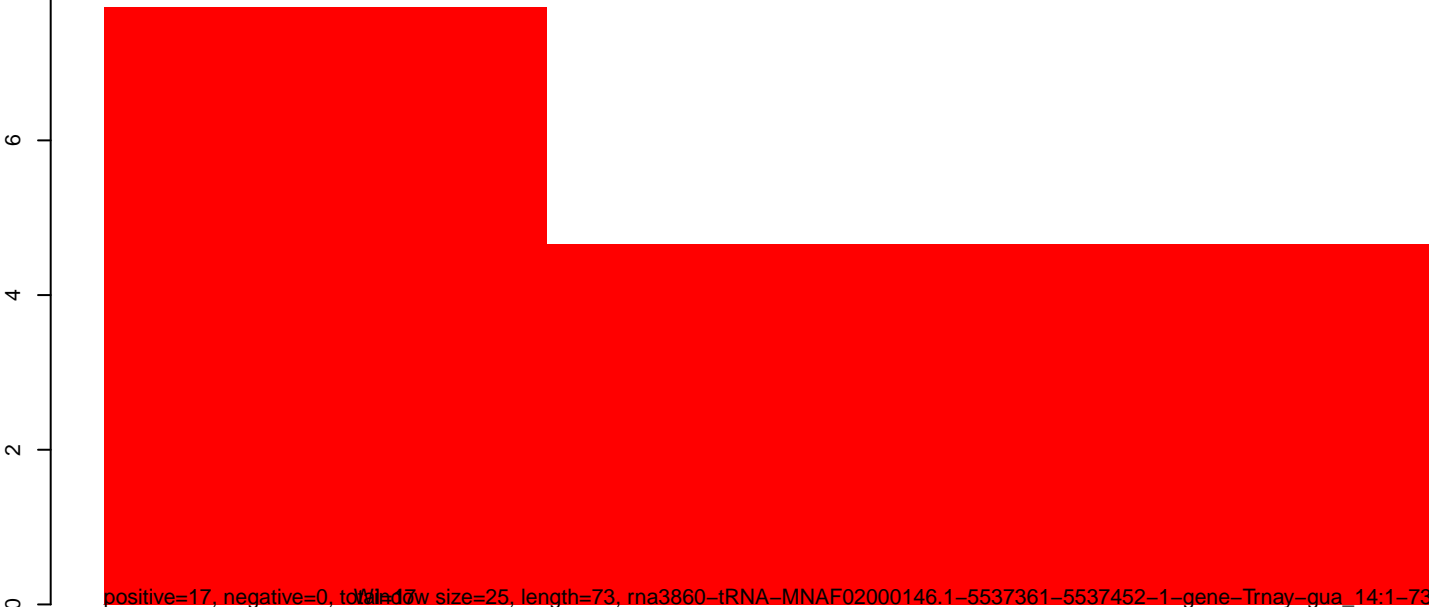
AeAlbo_C636_6dpi_SINV2.18_23.rep



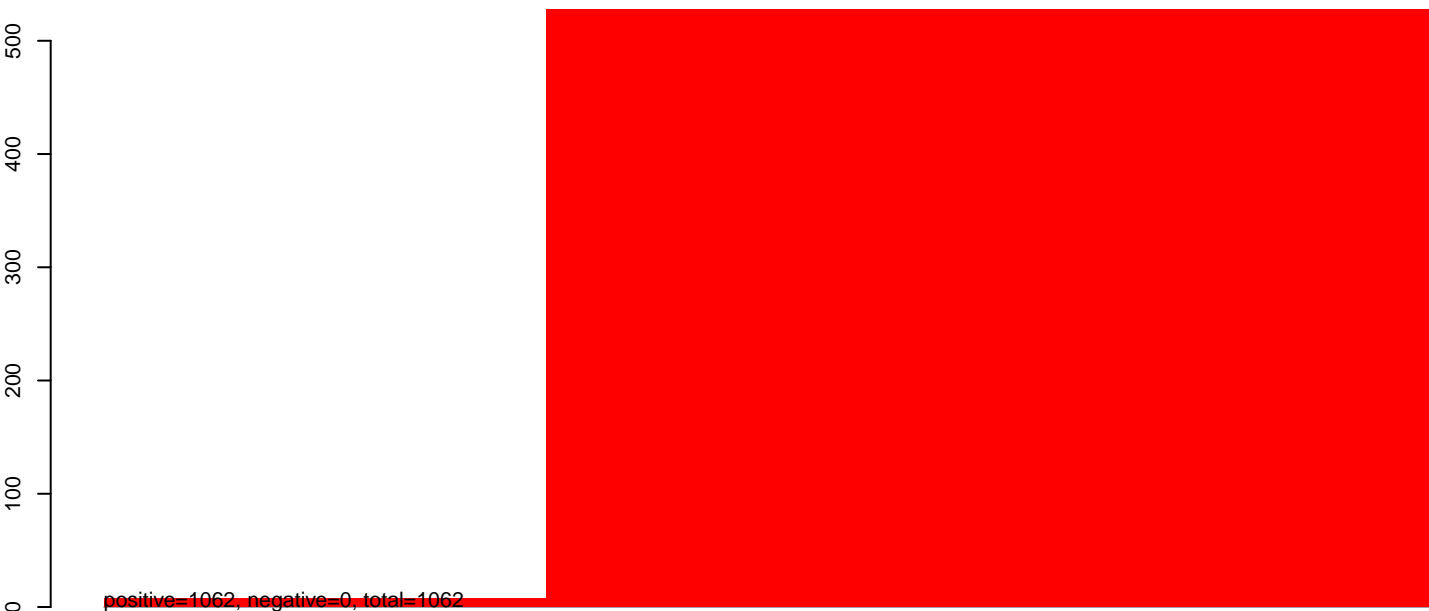
AeAlbo_C636_6dpi_SINV2.24_35.rep



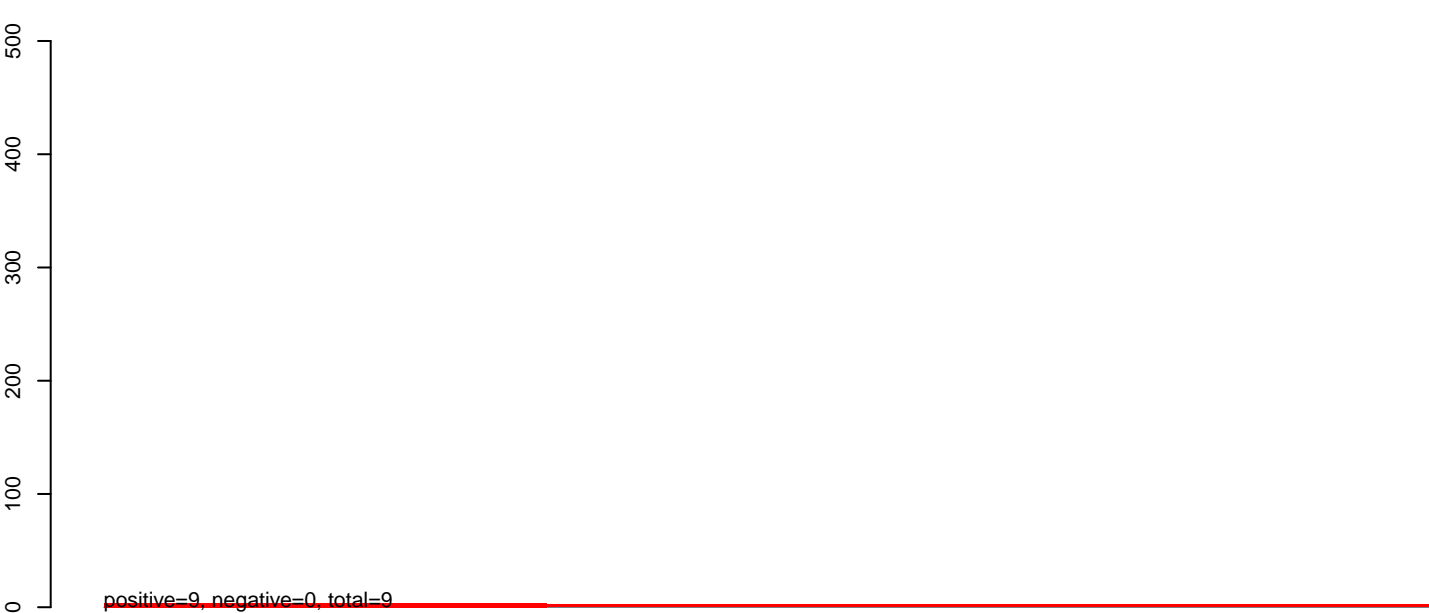
AeAlbo_C636_6dpi_SINV2.rep



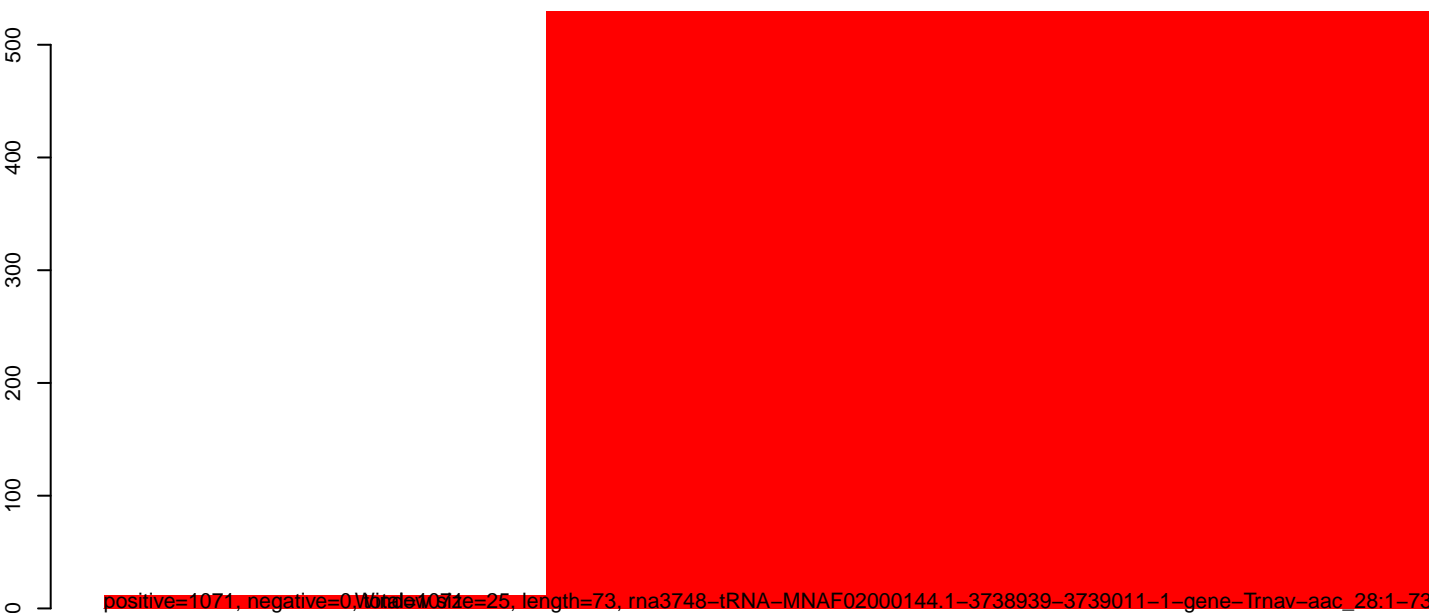
AeAlbo_C636_6dpi_SINV2.18_23.rep



AeAlbo_C636_6dpi_SINV2.24_35.rep

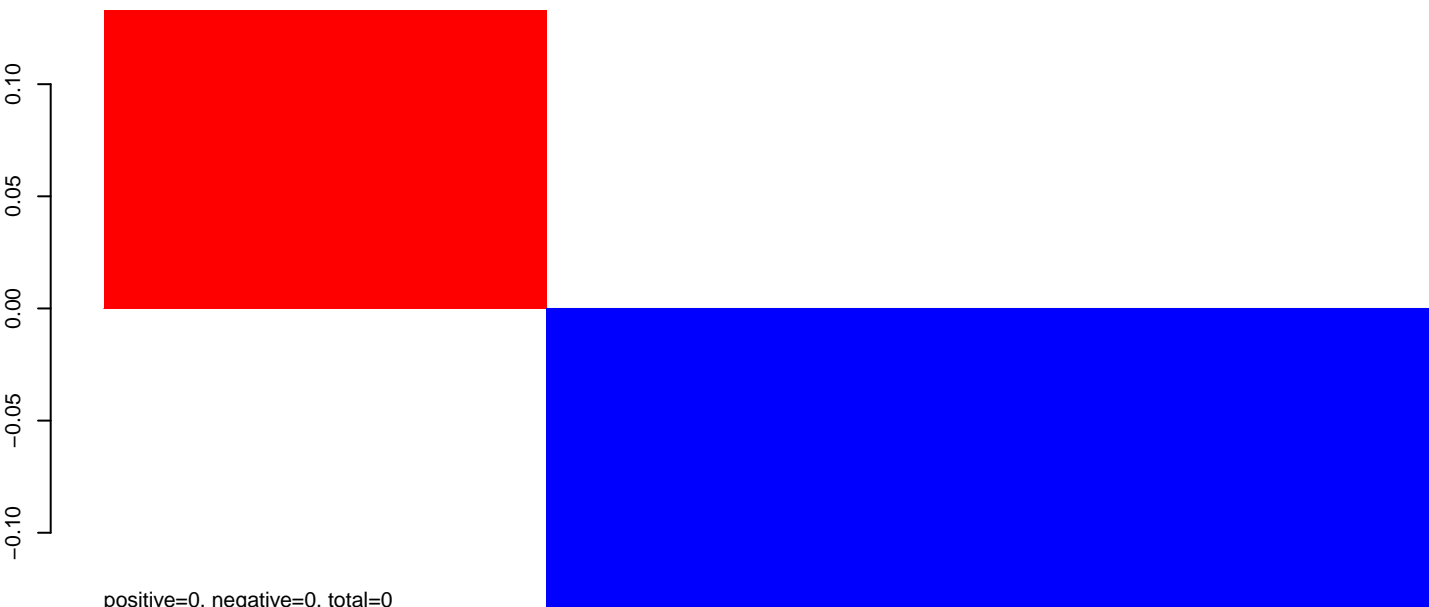


AeAlbo_C636_6dpi_SINV2.rep

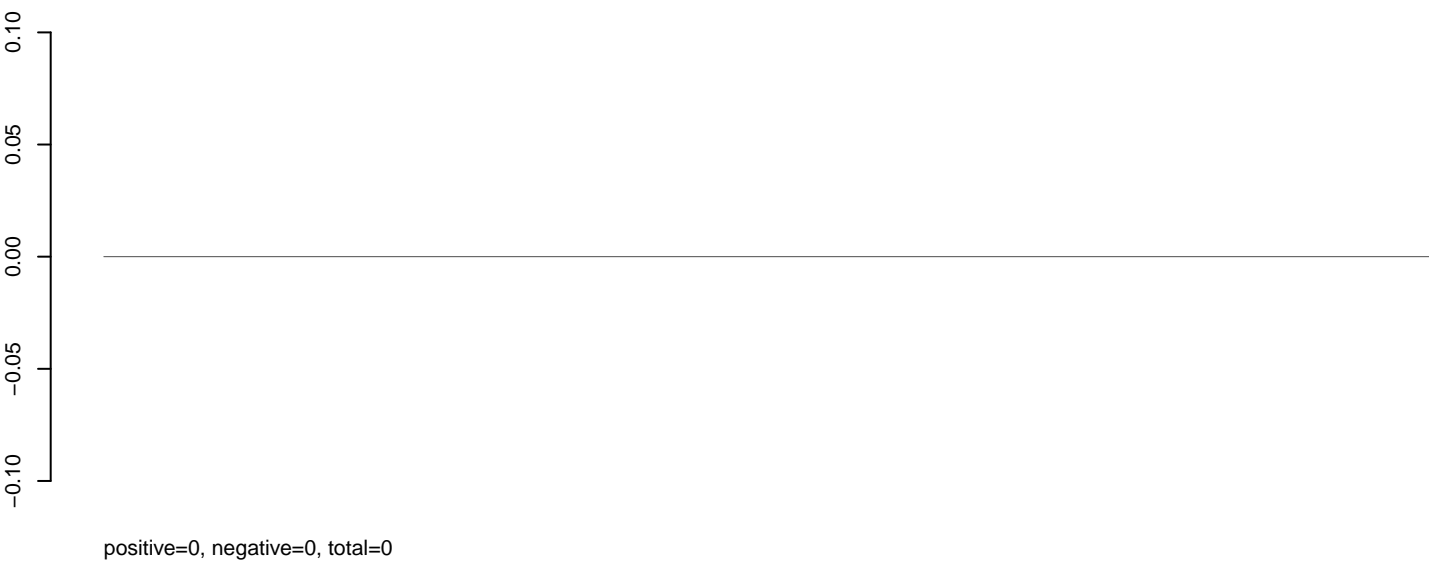


40 60 80 100

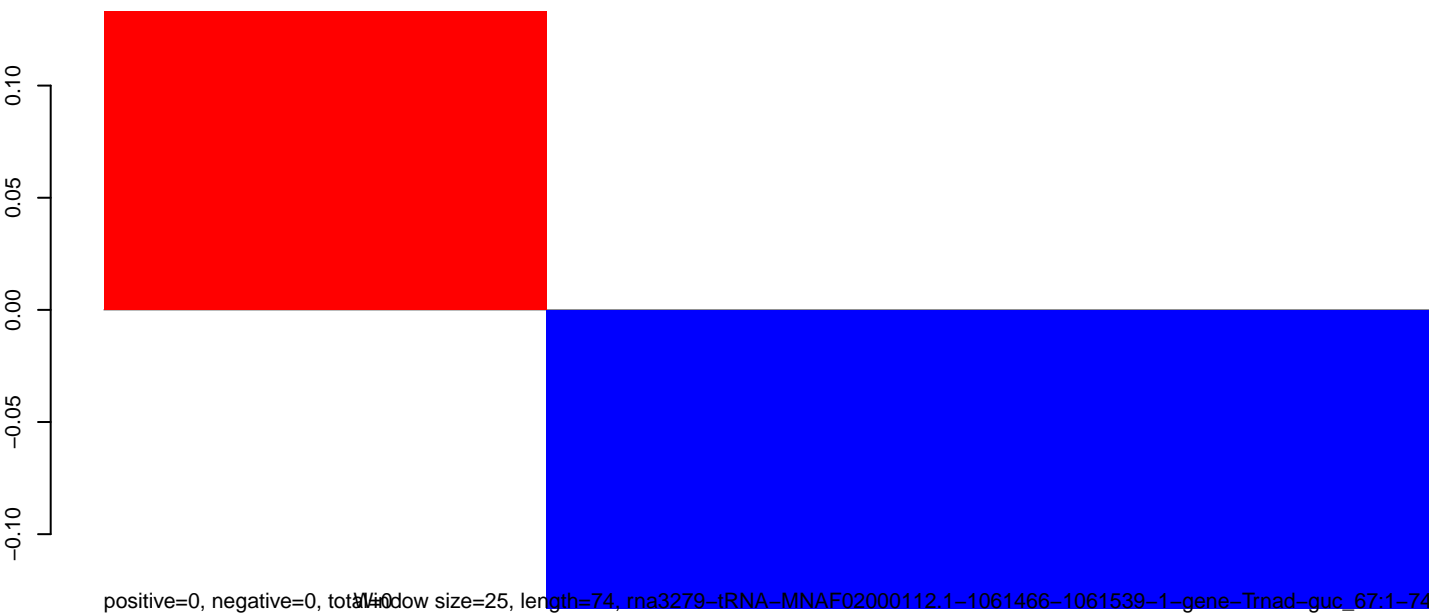
AeAlbo_C636_6dpi_SINV2.18_23.rep



AeAlbo_C636_6dpi_SINV2.24_35.rep



AeAlbo_C636_6dpi_SINV2.rep



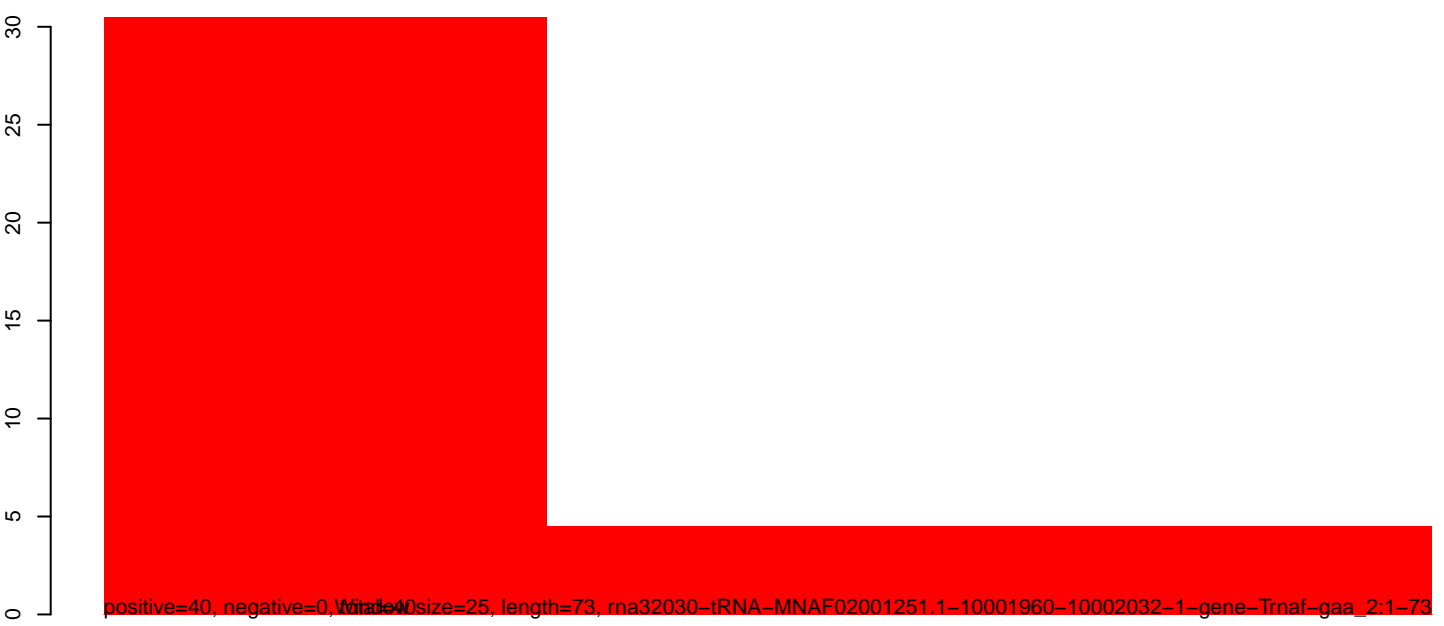
AeAlbo_C636_6dpi_SINV2.18_23.rep



AeAlbo_C636_6dpi_SINV2.24_35.rep

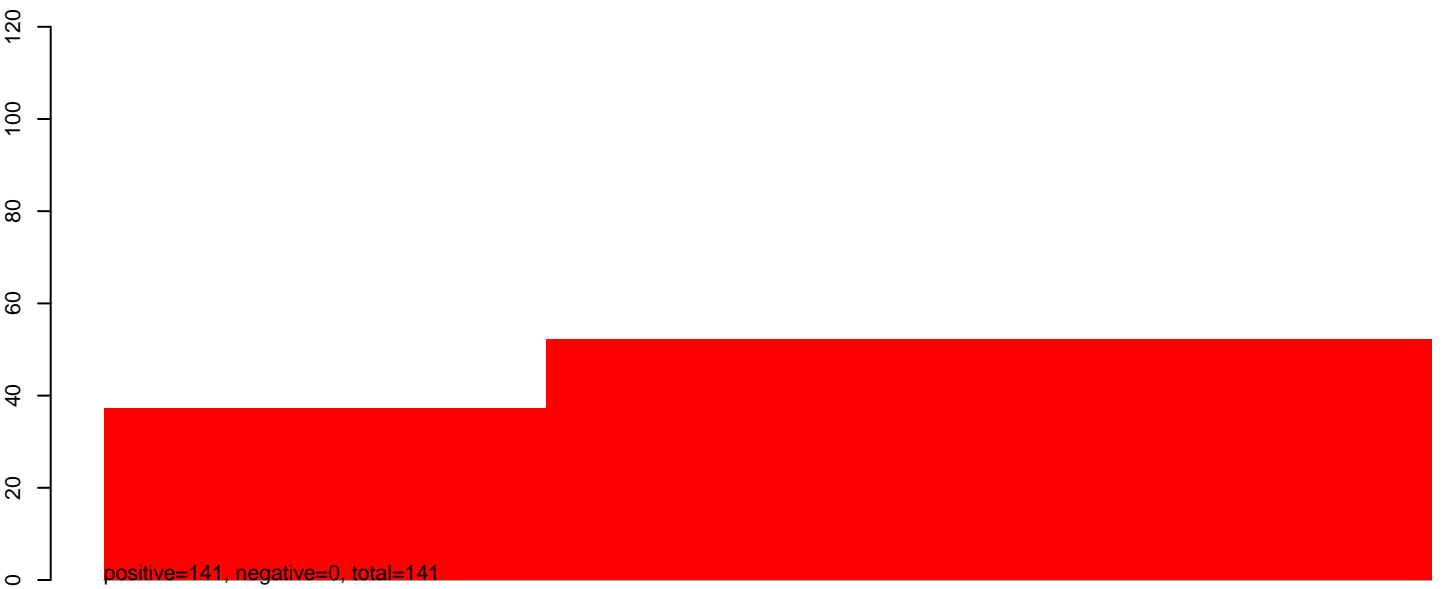


AeAlbo_C636_6dpi_SINV2.rep

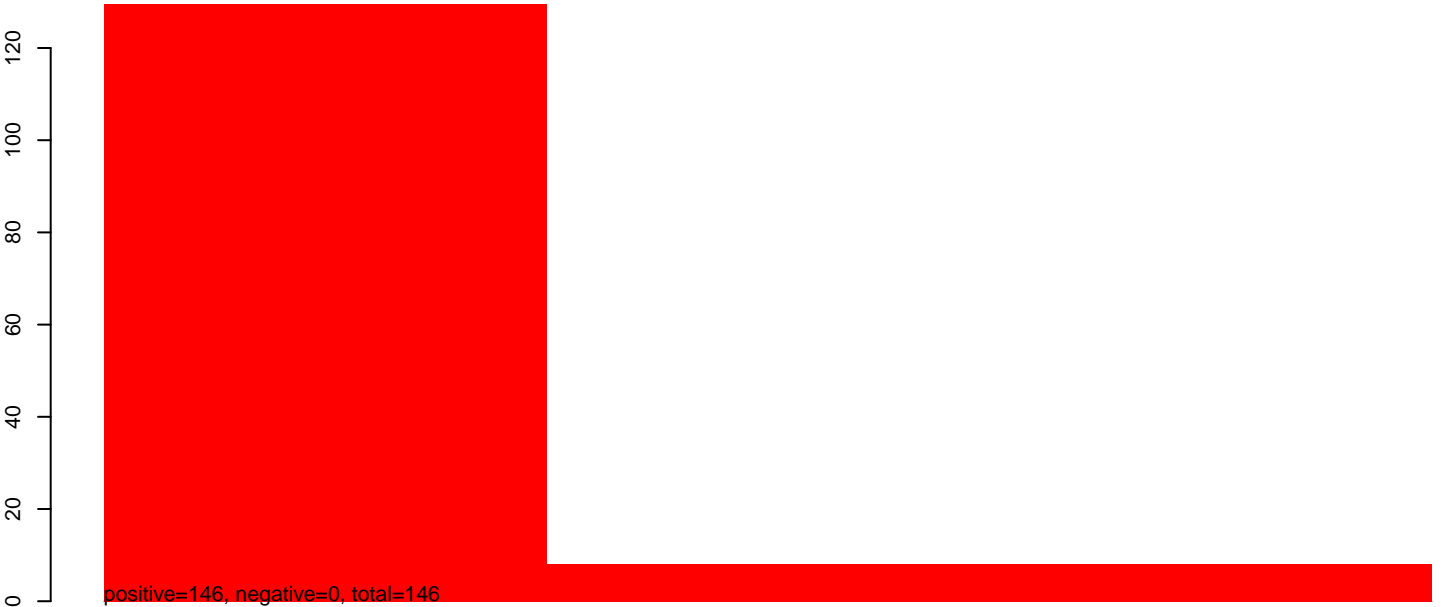


40 60 80 100

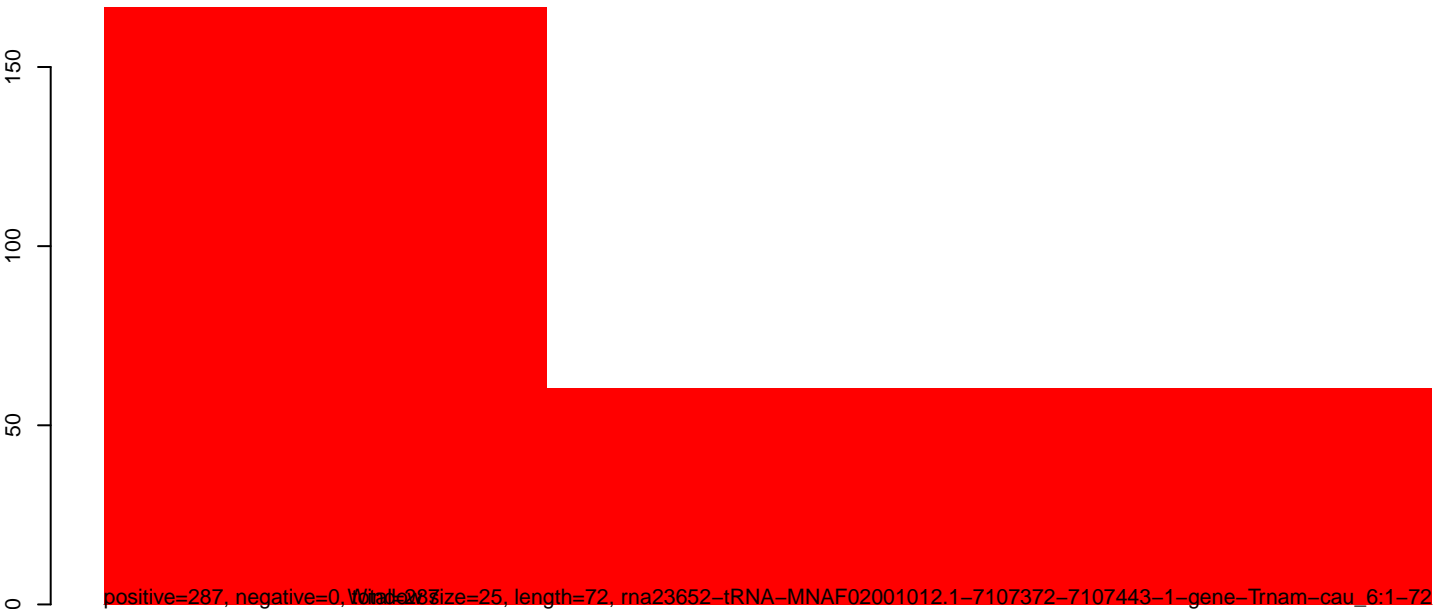
AeAlbo_C636_6dpi_SINV2.18_23.rep



AeAlbo_C636_6dpi_SINV2.24_35.rep



AeAlbo_C636_6dpi_SINV2.rep



40 60 80 100

AeAlbo_C636_6dpi_SINV2.18_23.rep



AeAlbo_C636_6dpi_SINV2.24_35.rep

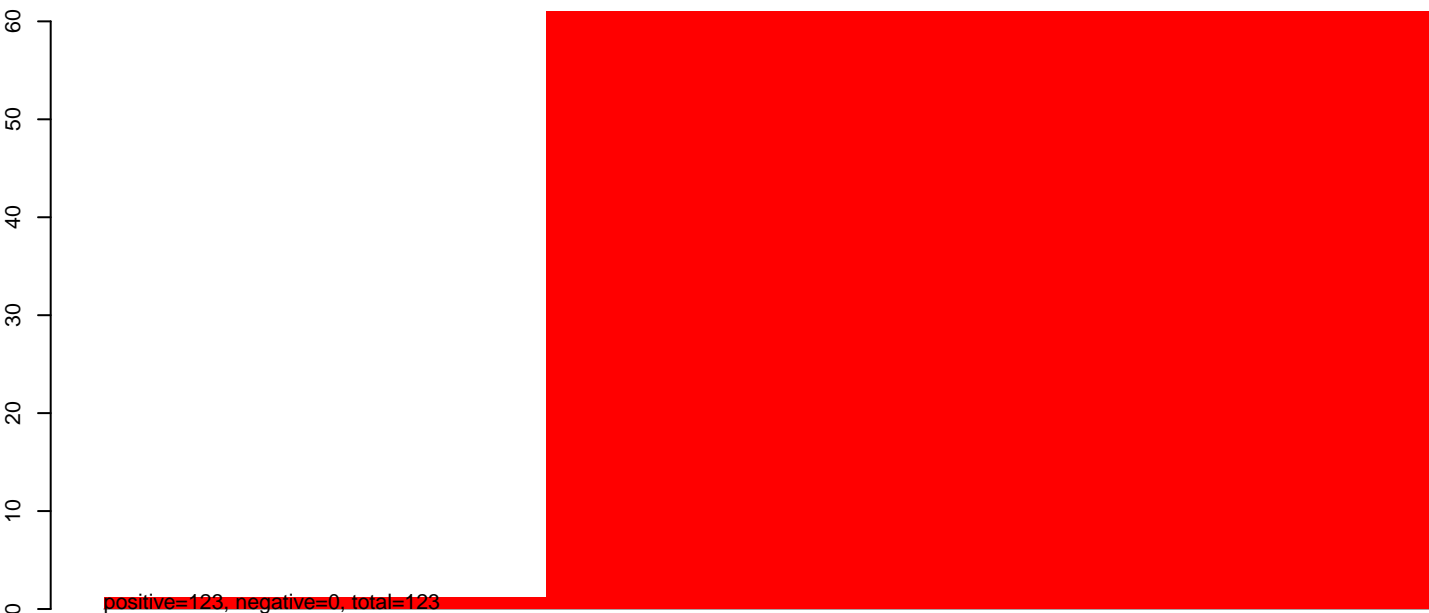


AeAlbo_C636_6dpi_SINV2.rep



Window 1628-25, length=72, rna19466.tRNA-MNAF02000916.1-7305654-7305725-1.gene-TrnaH-gug_26.1-72

AeAlbo_C636_6dpi_SINV2.18_23.rep



AeAlbo_C636_6dpi_SINV2.24_35.rep

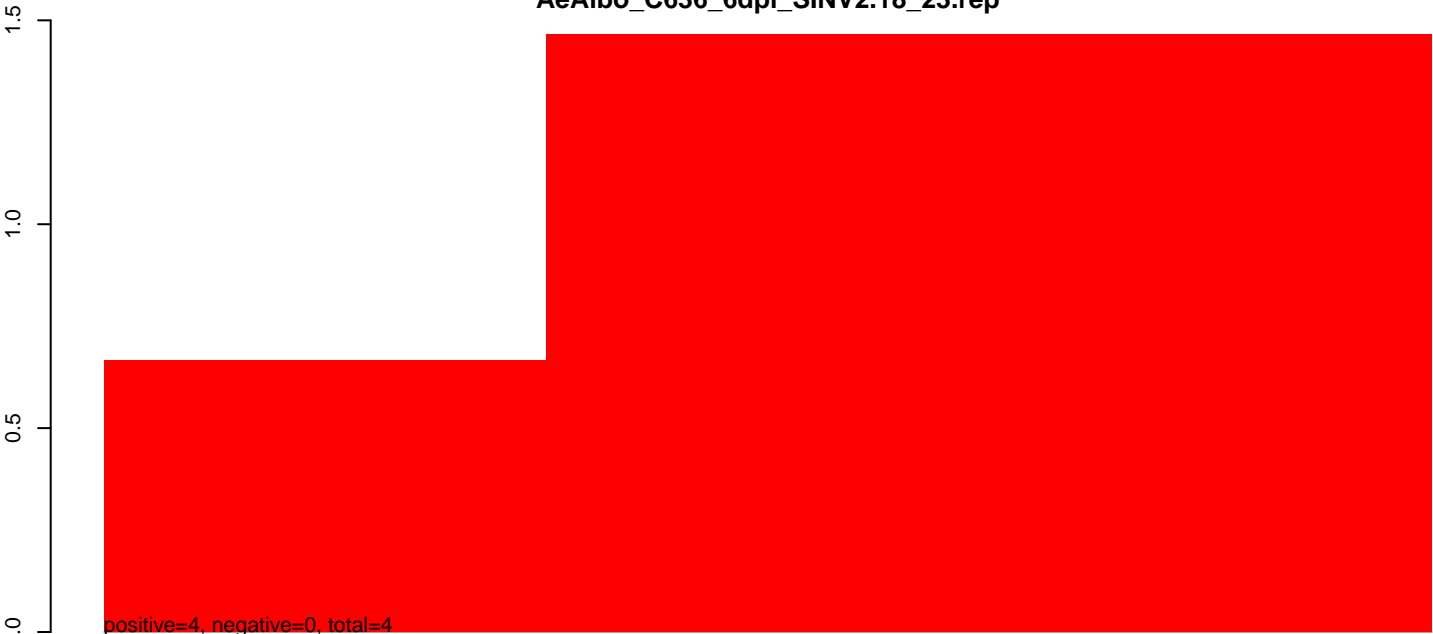


AeAlbo_C636_6dpi_SINV2.rep

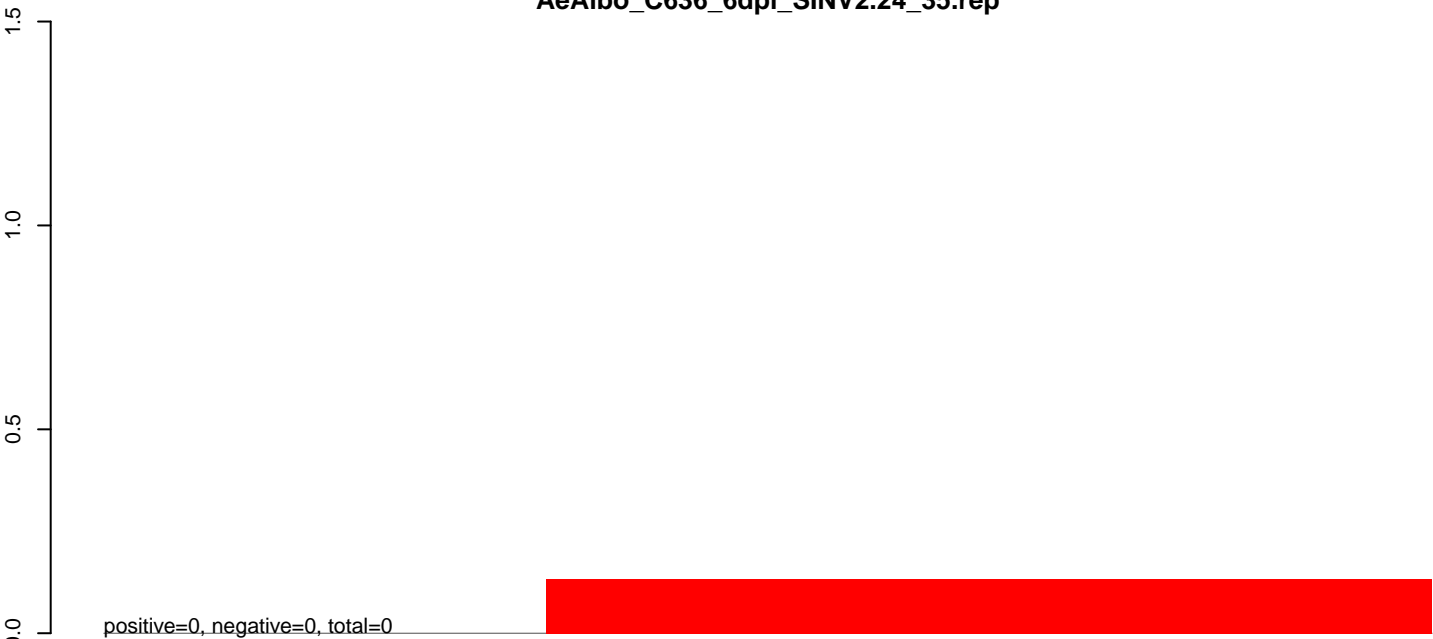


40 60 80 100
Window size=25, length=74, rna1618-tRNA-MNAF02000048.1-504066-504139-1-gene-Trnai-aau_27:1-74

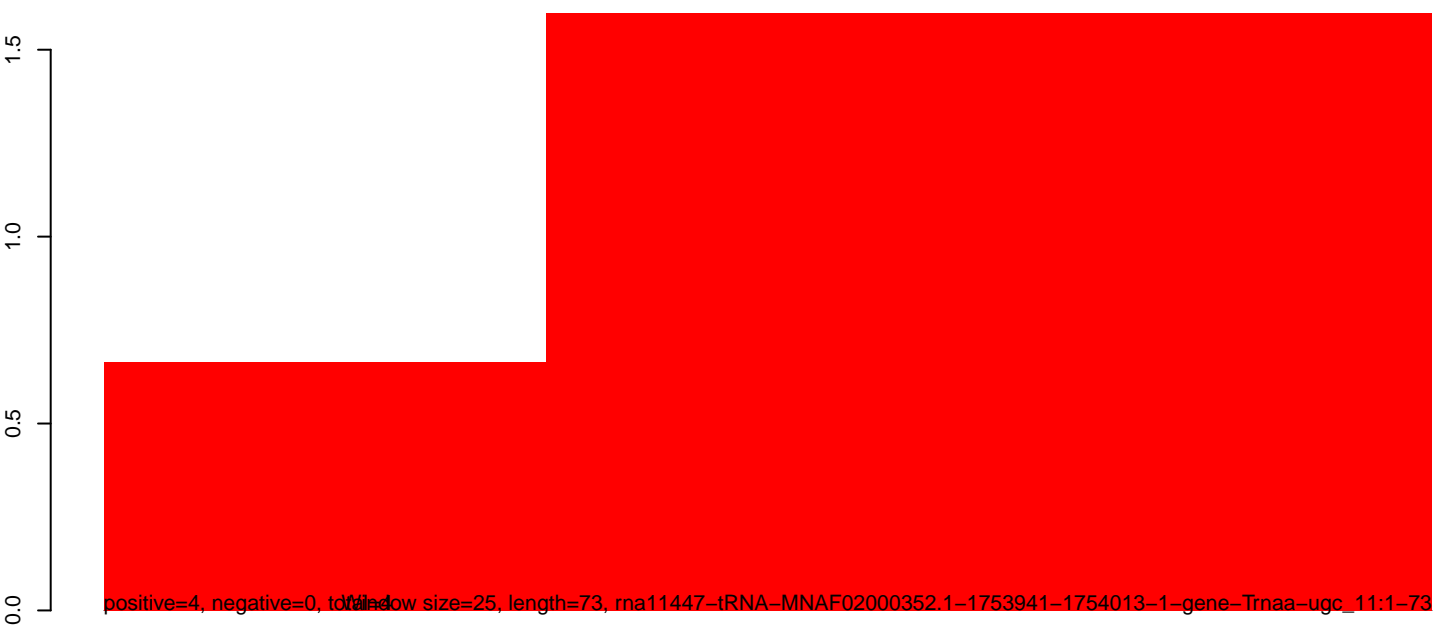
AeAlbo_C636_6dpi_SINV2.18_23.rep



AeAlbo_C636_6dpi_SINV2.24_35.rep

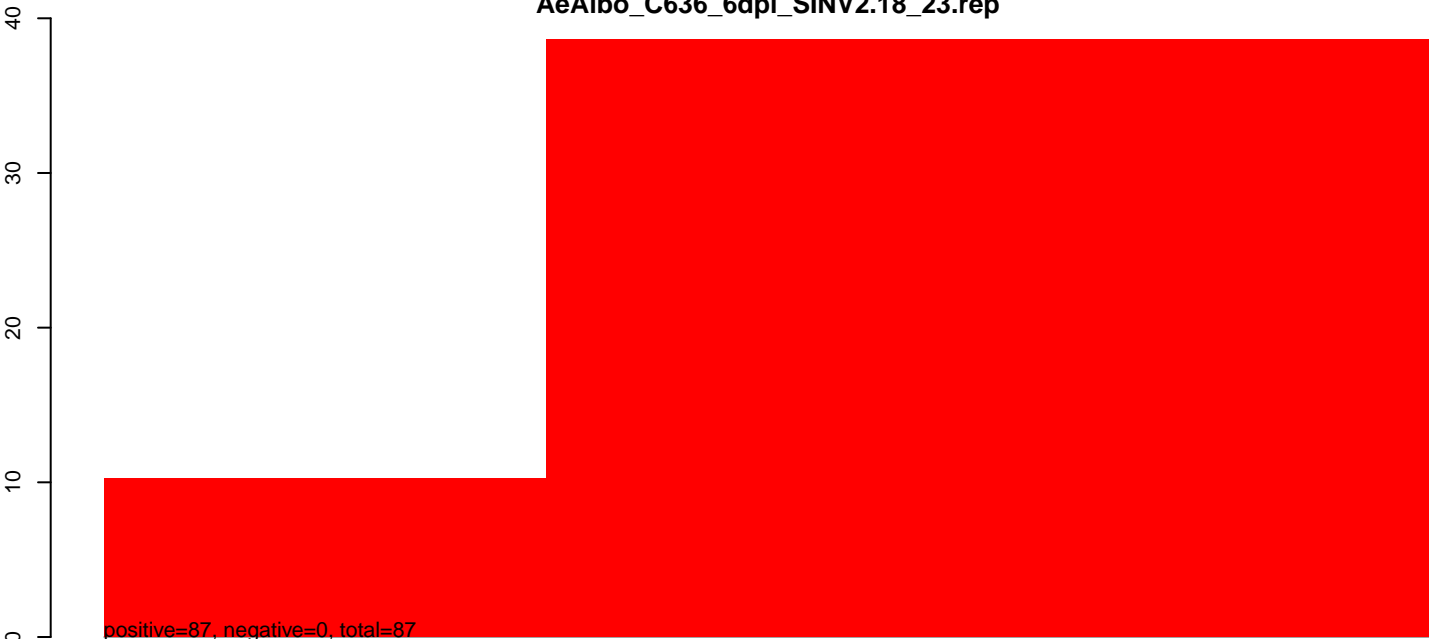


AeAlbo_C636_6dpi_SINV2.rep

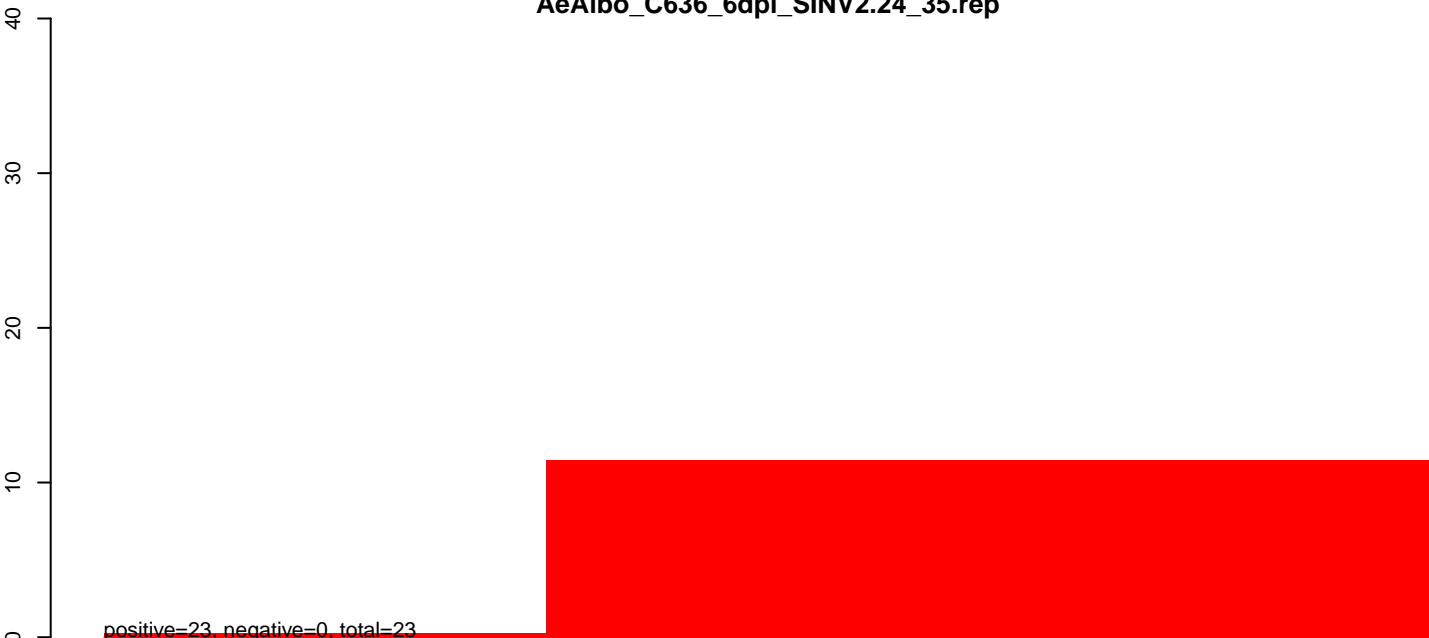


40 60 80 100

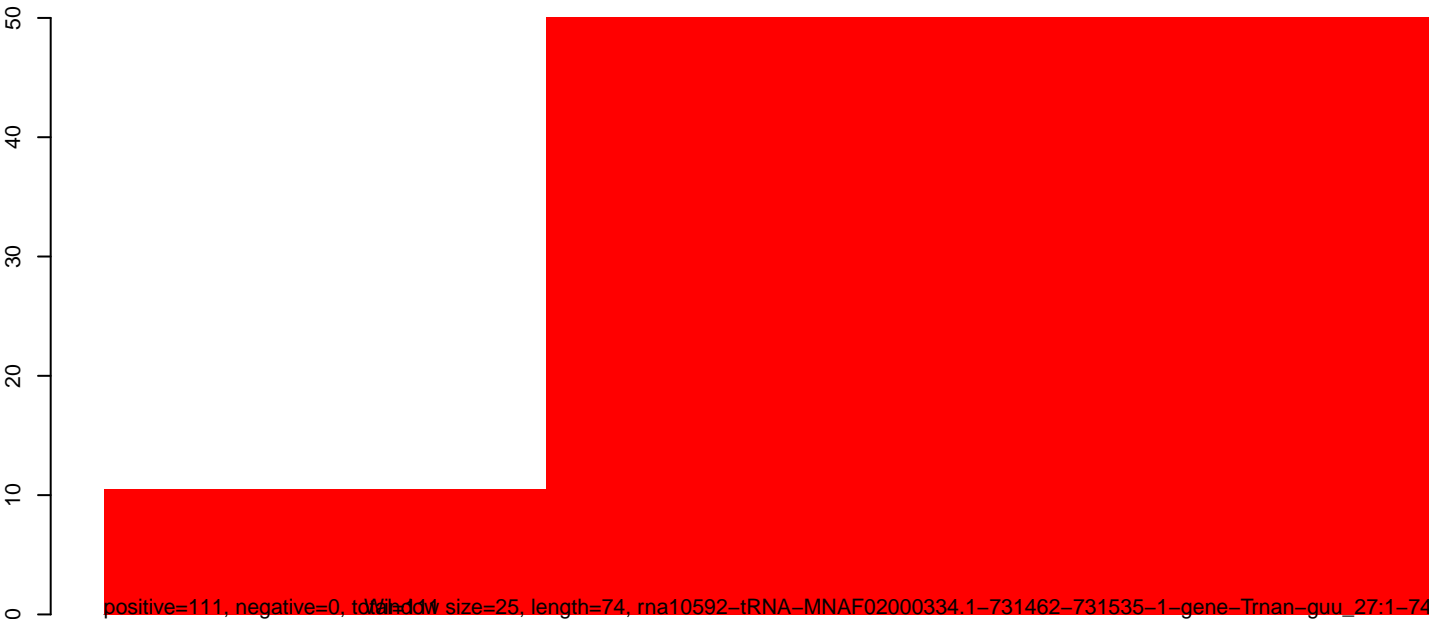
AeAlbo_C636_6dpi_SINV2.18_23.rep



AeAlbo_C636_6dpi_SINV2.24_35.rep

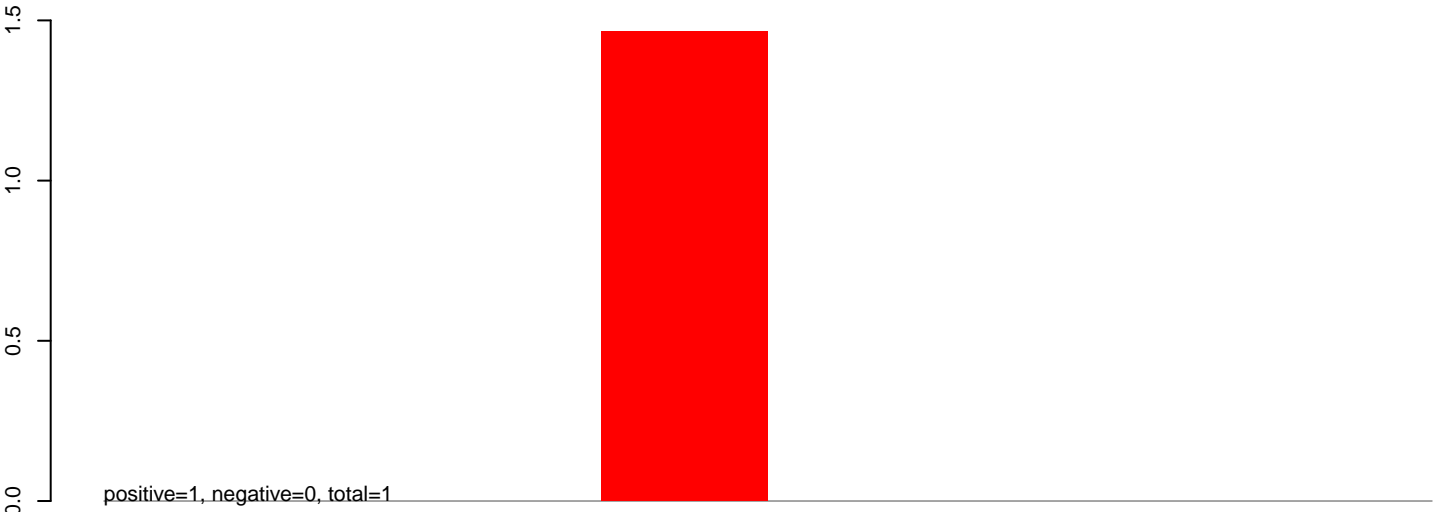


AeAlbo_C636_6dpi_SINV2.rep

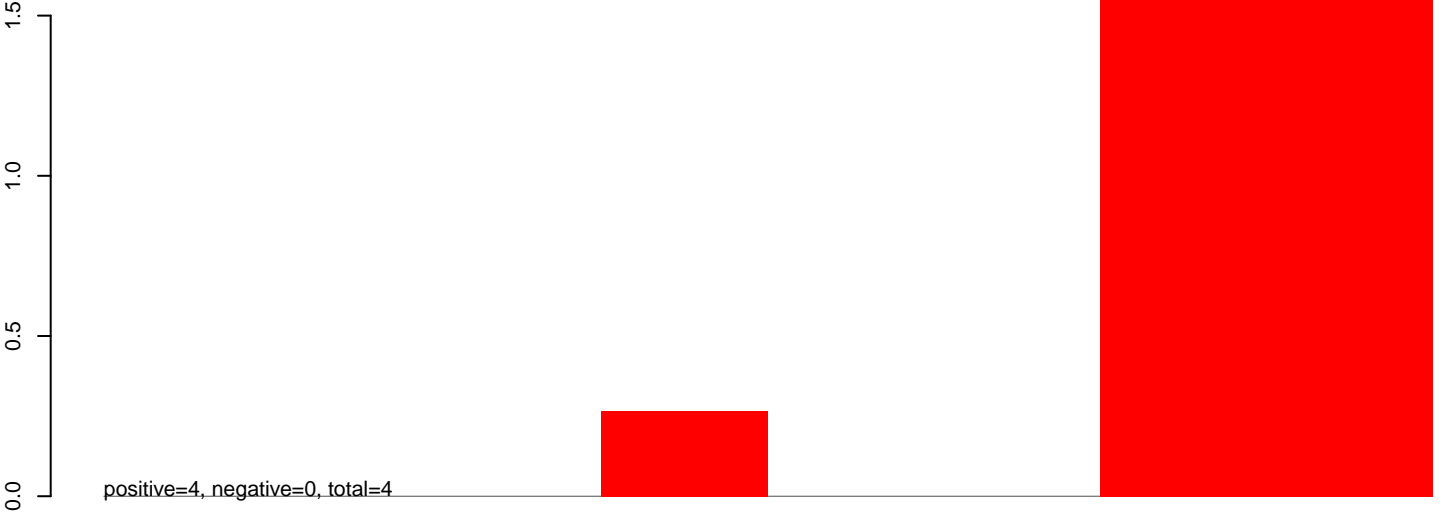


40 60 80 100

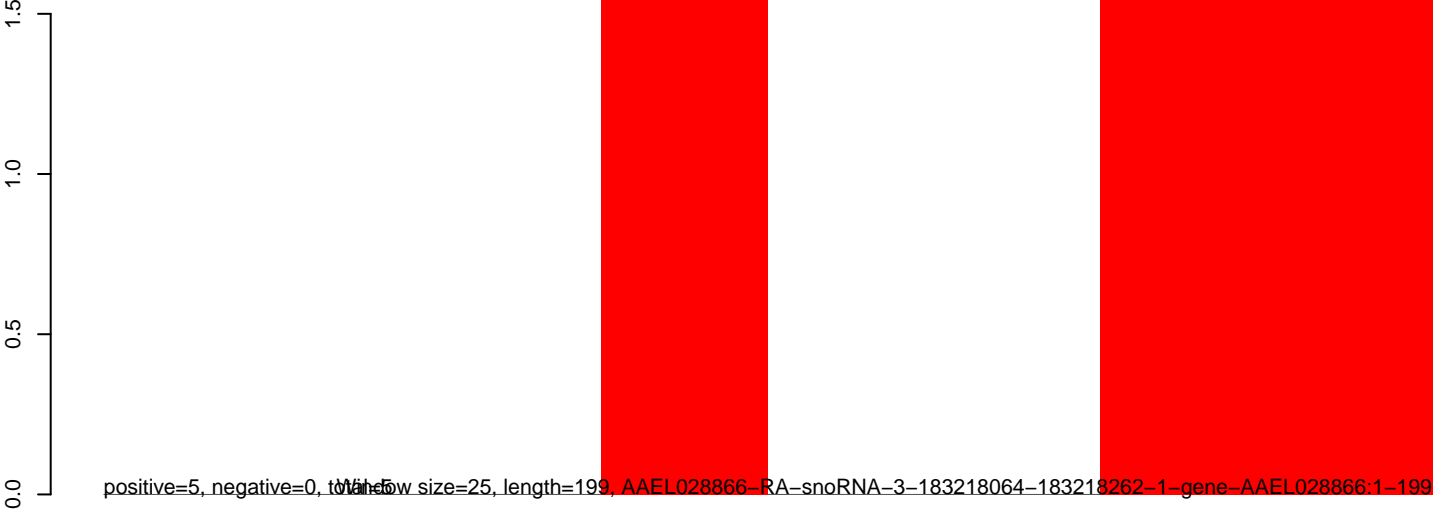
AeAlbo_C636_6dpi_SINV2.18_23.rep



AeAlbo_C636_6dpi_SINV2.24_35.rep



AeAlbo_C636_6dpi_SINV2.rep



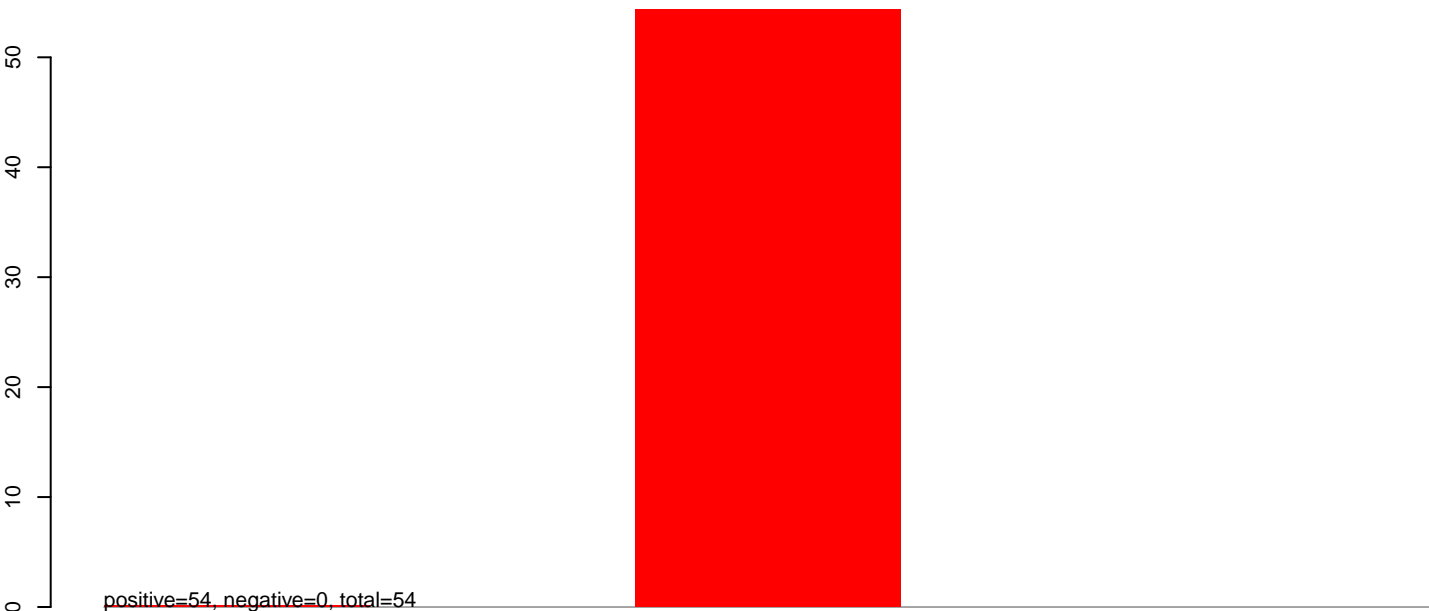
50

100

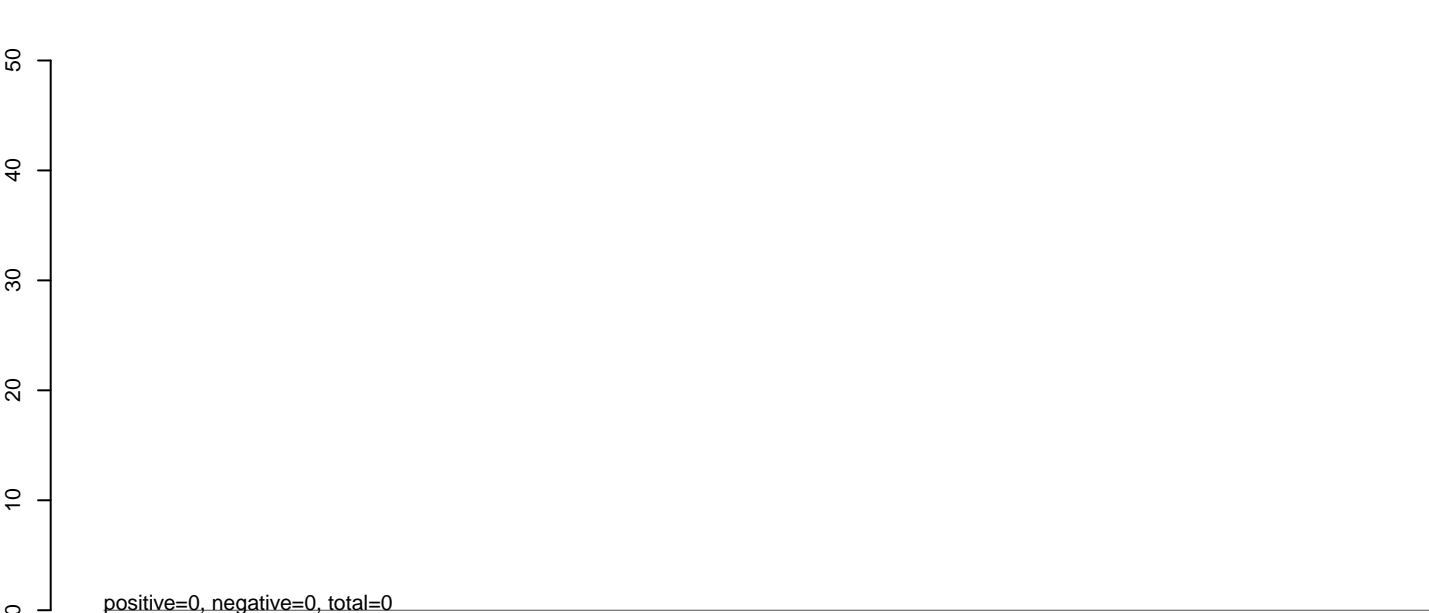
150

200

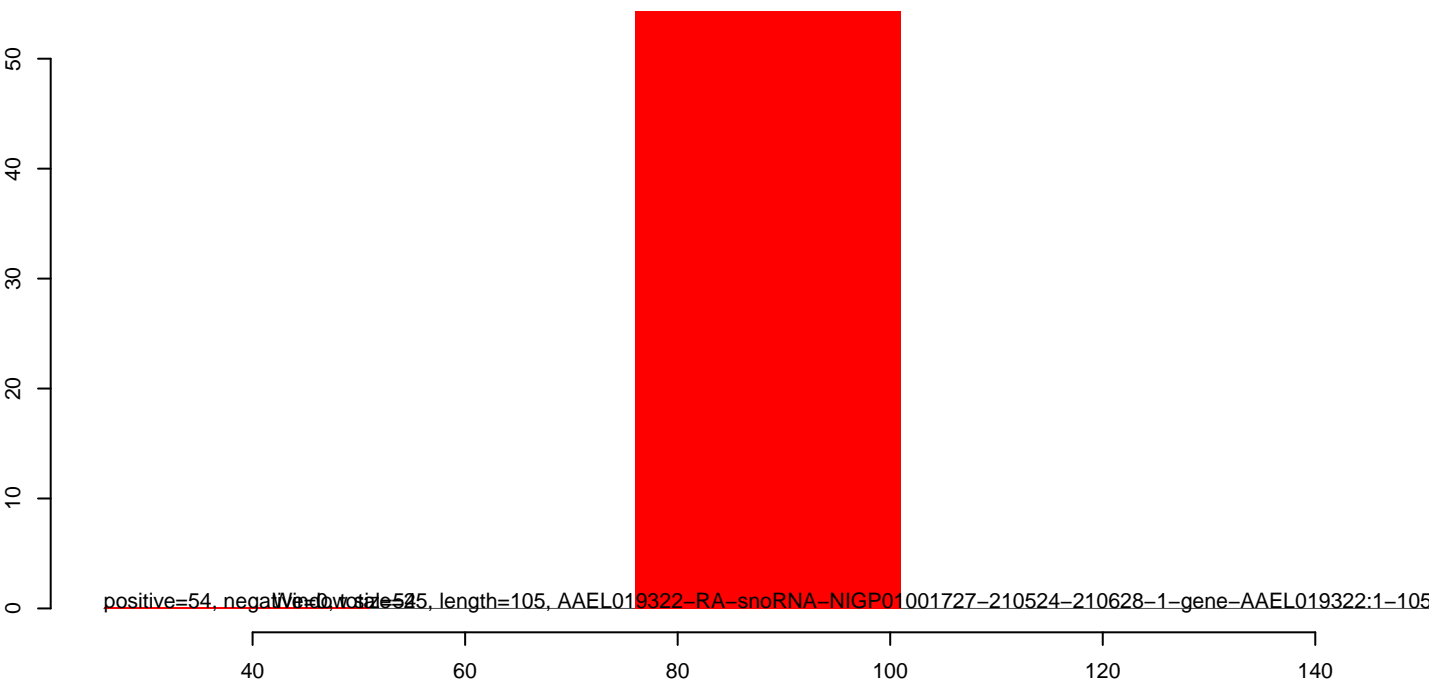
AeAlbo_C636_6dpi_SINV2.18_23.rep



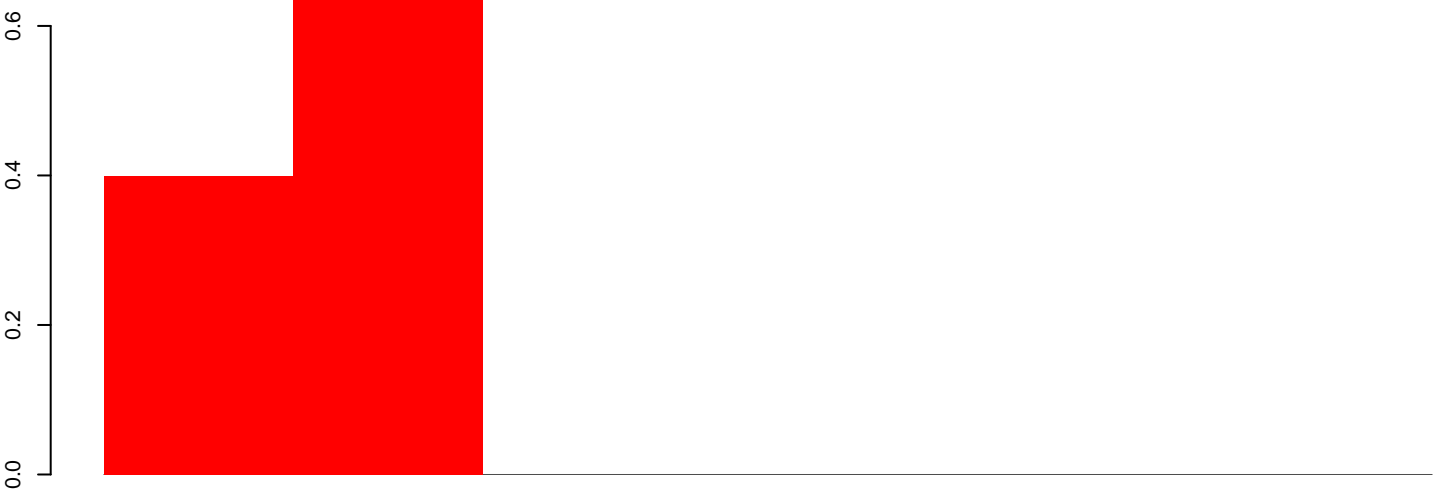
AeAlbo_C636_6dpi_SINV2.24_35.rep



AeAlbo_C636_6dpi_SINV2.rep

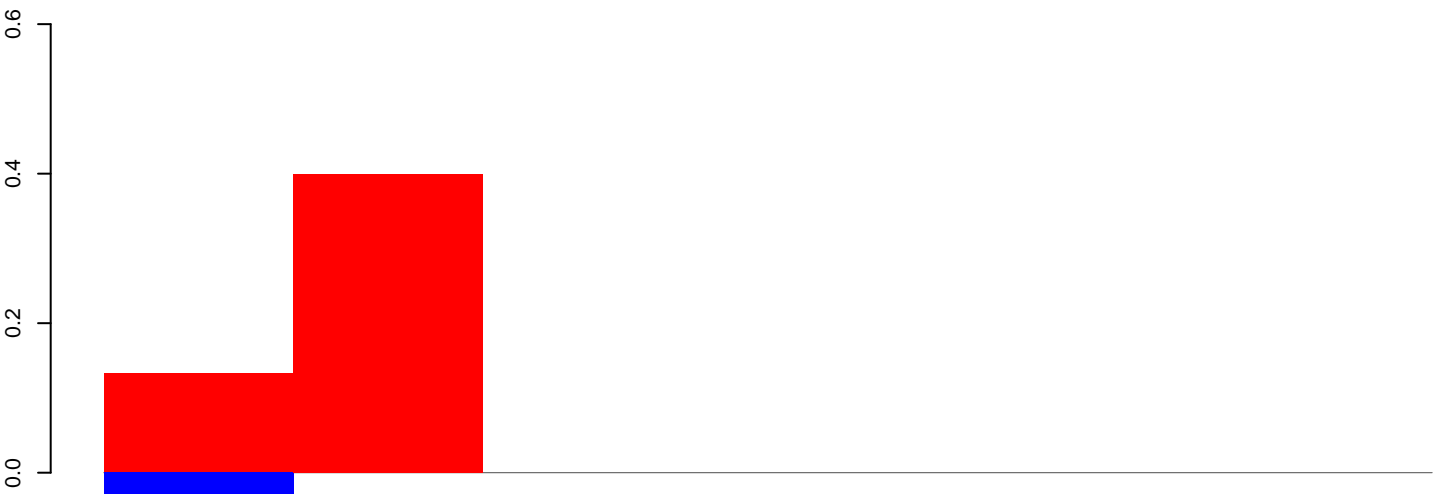


AeAlbo_C636_6dpi_SINV2.18_23.rep



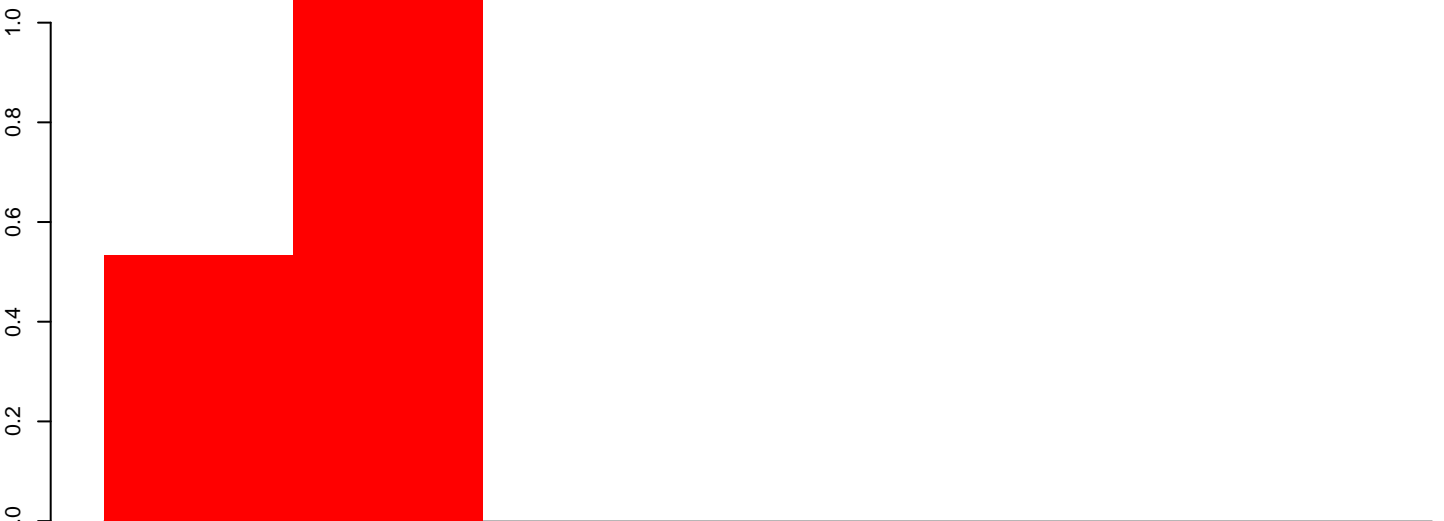
positive=1, negative=0, total=1

AeAlbo_C636_6dpi_SINV2.24_35.rep



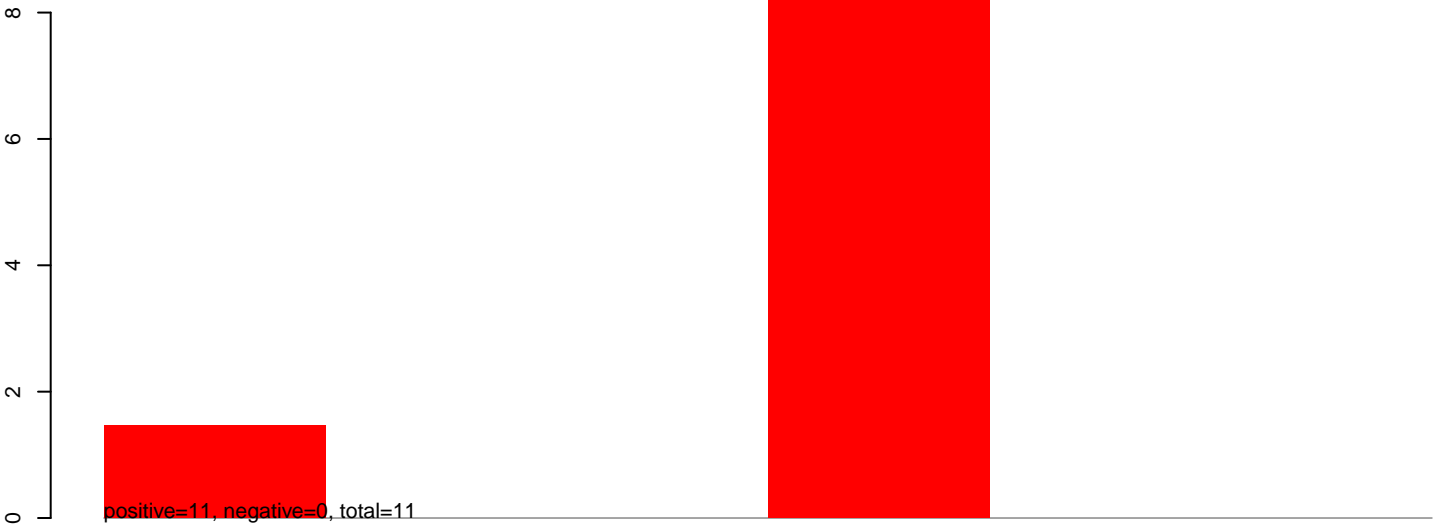
positive=1, negative=0, total=1

AeAlbo_C636_6dpi_SINV2.rep

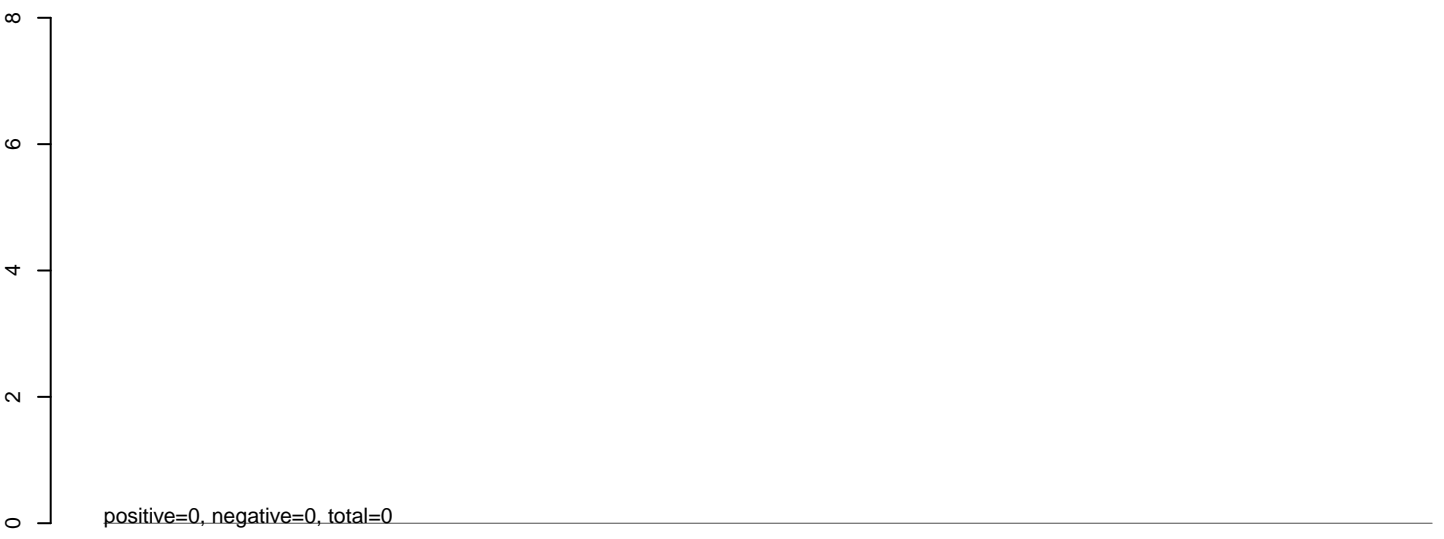


positive=2, negative=0, total=2 Window size=25, length=155, AAEL019303-RA-snrRNA-1-86746061-86746215-1-gene-AAEL019303:1-155

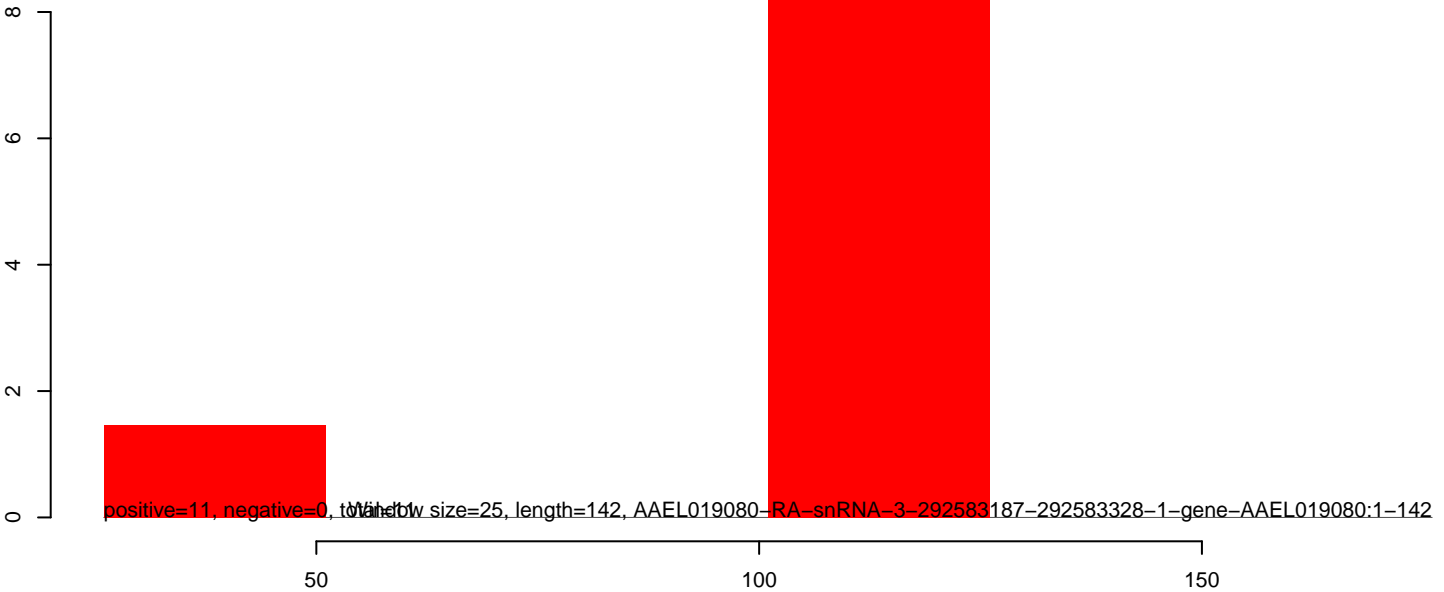
AeAlbo_C636_6dpi_SINV2.18_23.rep



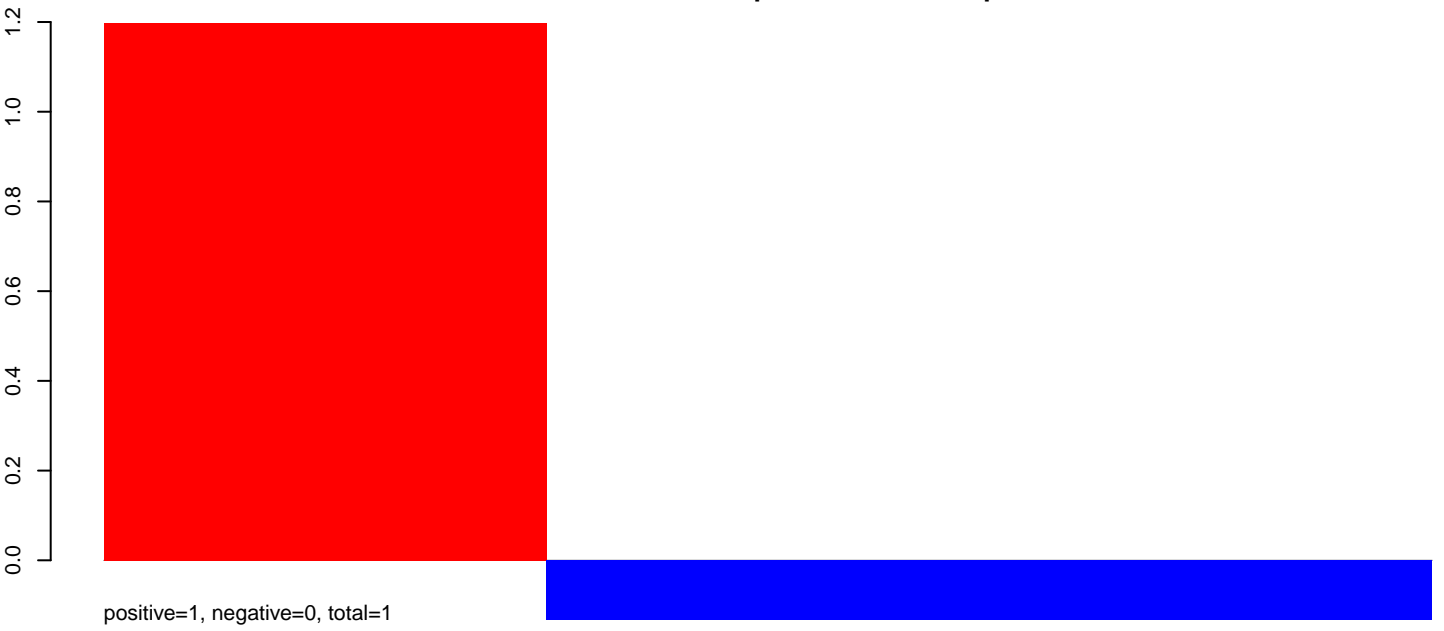
AeAlbo_C636_6dpi_SINV2.24_35.rep



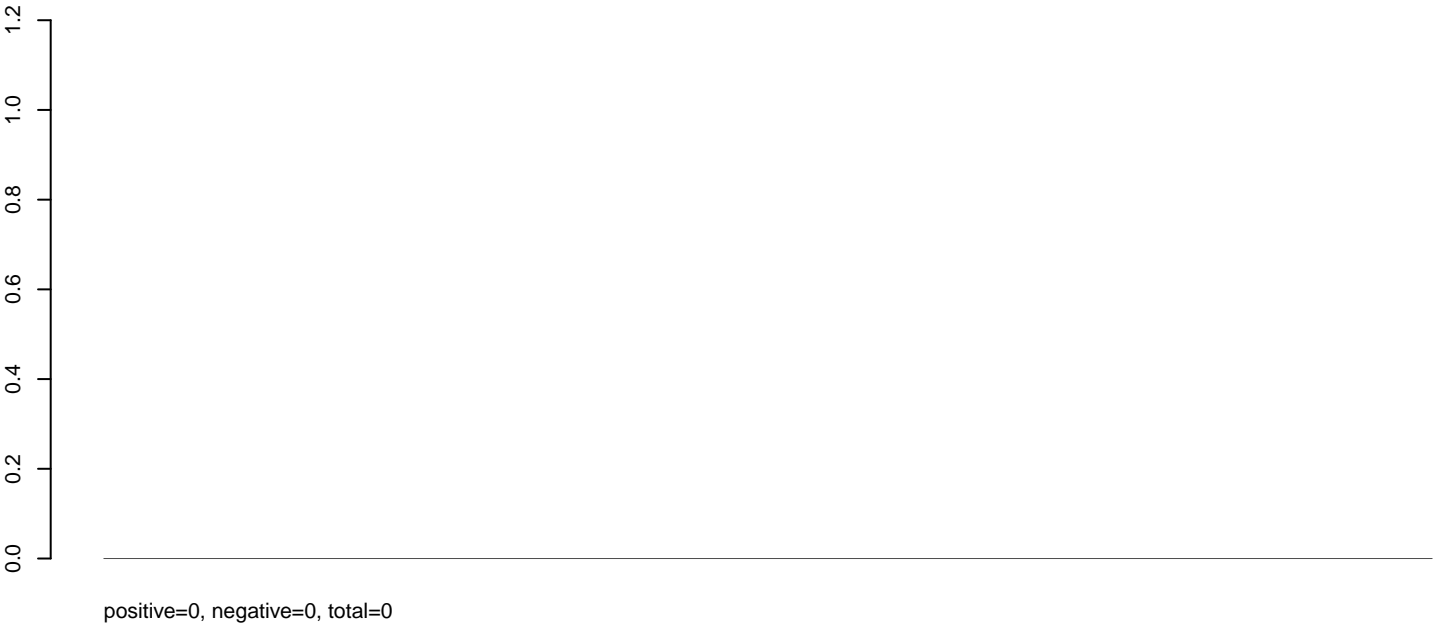
AeAlbo_C636_6dpi_SINV2.rep



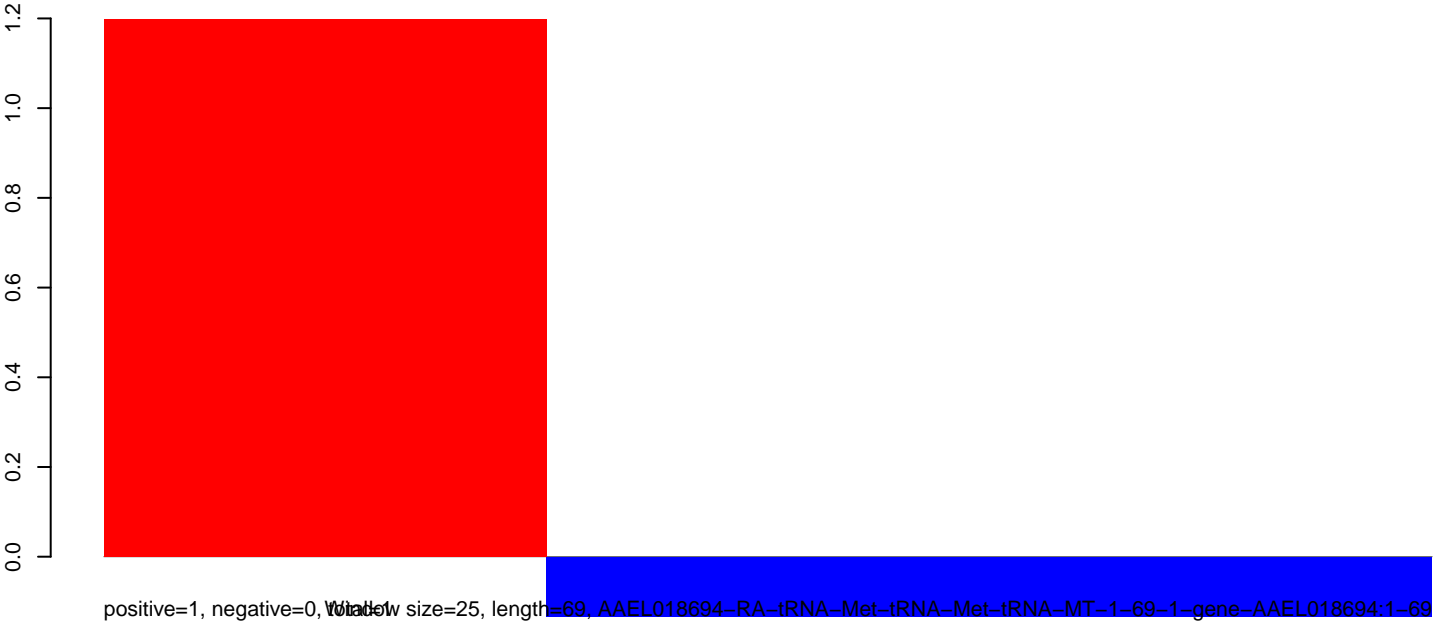
AeAlbo_C636_6dpi_SINV2.18_23.rep



AeAlbo_C636_6dpi_SINV2.24_35.rep

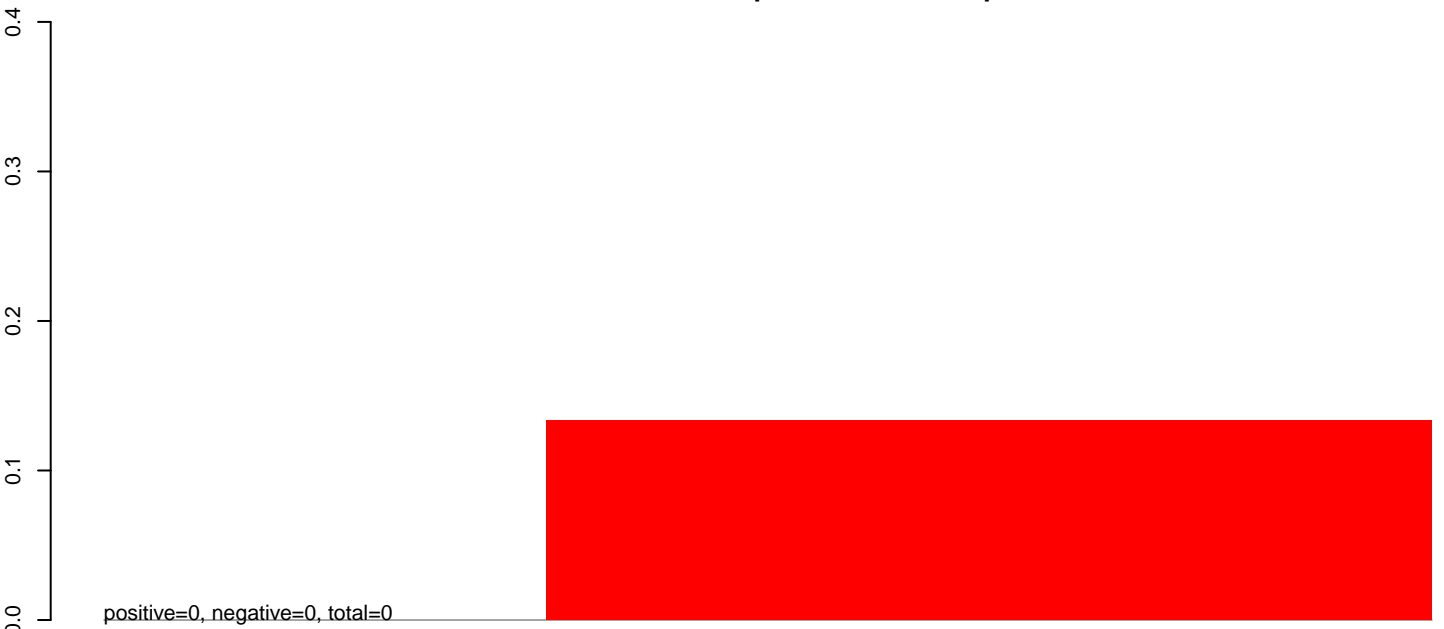


AeAlbo_C636_6dpi_SINV2.rep

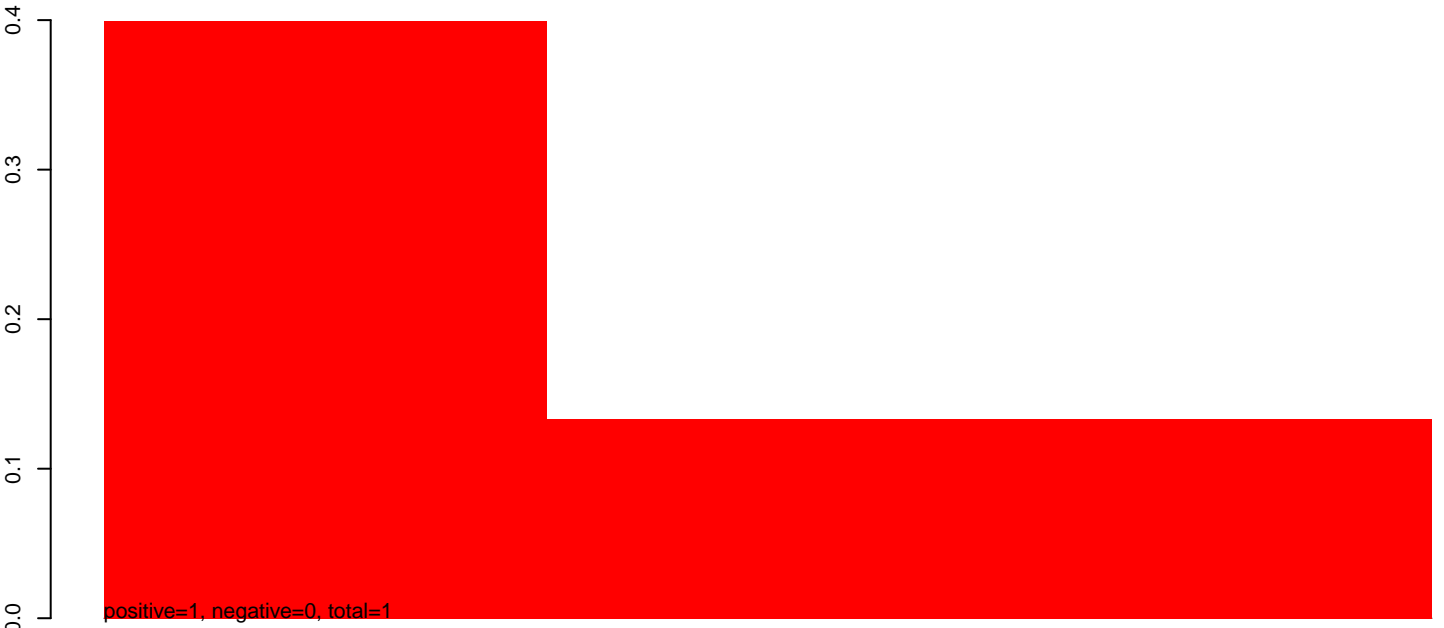


Window size=25, length=69, AAEL018694-RA-tRNA-Met-tRNA-Met-tRNA-MT-1-69-1-gene-AAEL018694:1-69

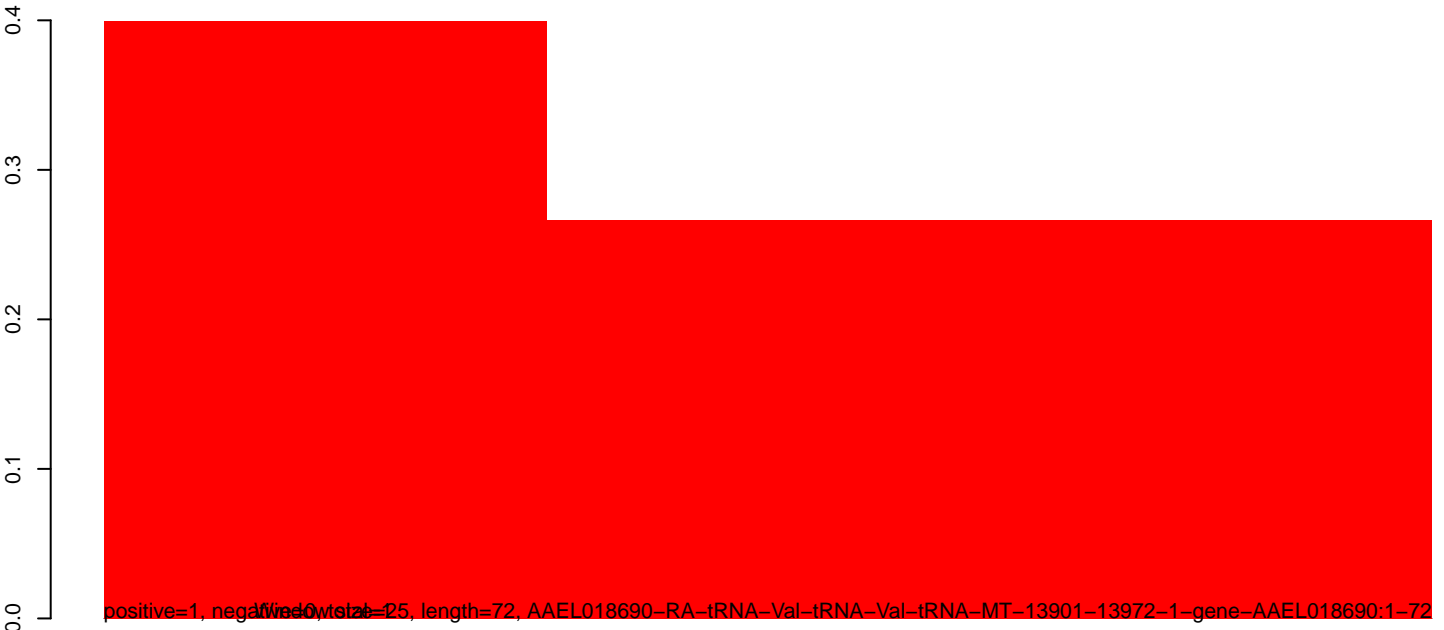
AeAlbo_C636_6dpi_SINV2.18_23.rep



AeAlbo_C636_6dpi_SINV2.24_35.rep



AeAlbo_C636_6dpi_SINV2.rep



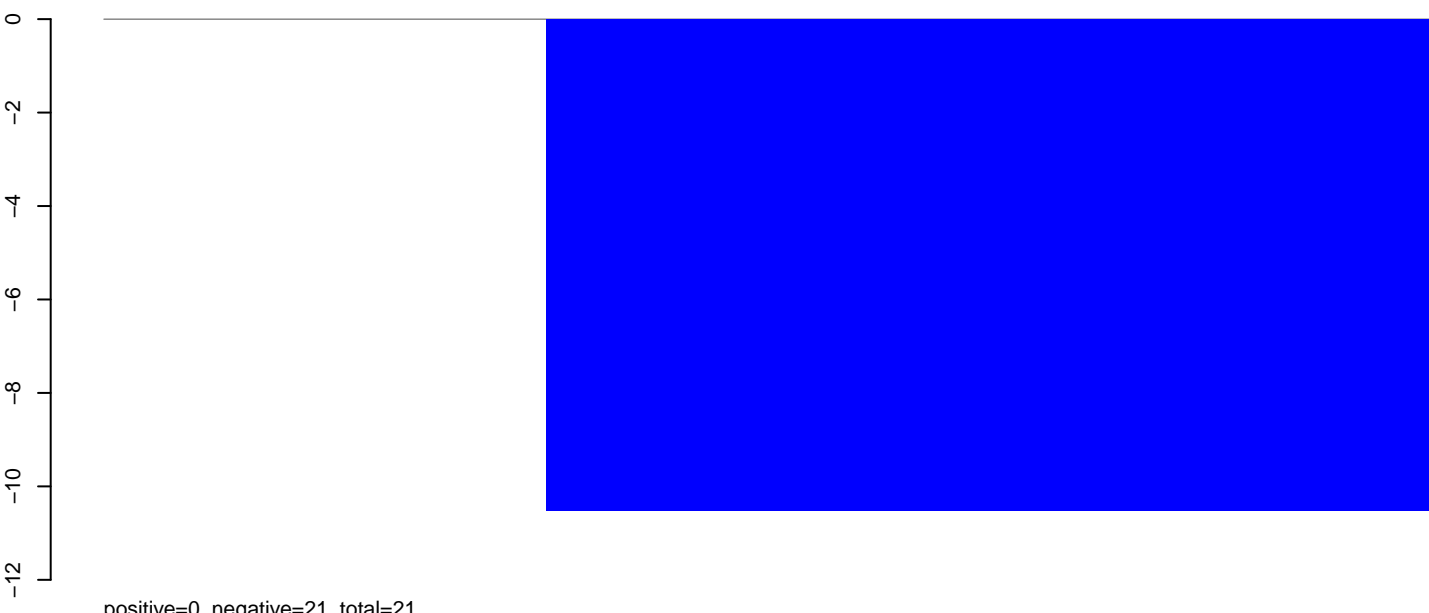
40 60 80 100

AeAlbo_C636_6dpi_SINV2.18_23.rep



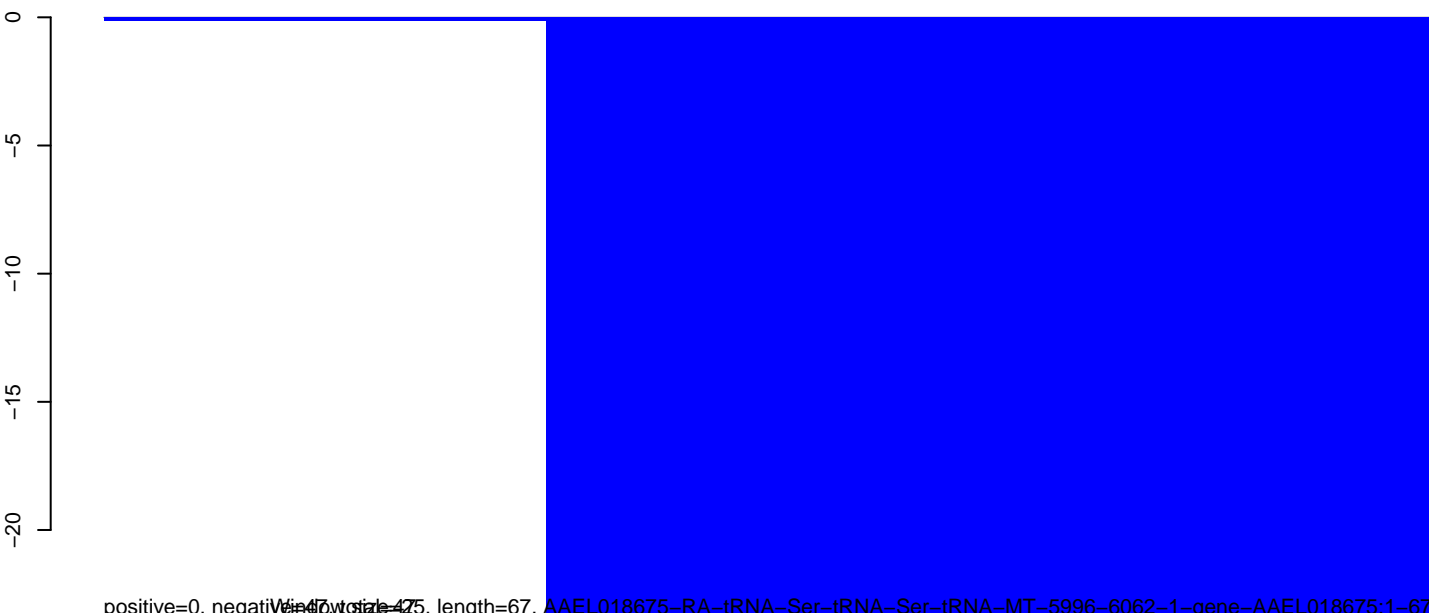
positive=0, negative=26, total=26

AeAlbo_C636_6dpi_SINV2.24_35.rep



positive=0, negative=21, total=21

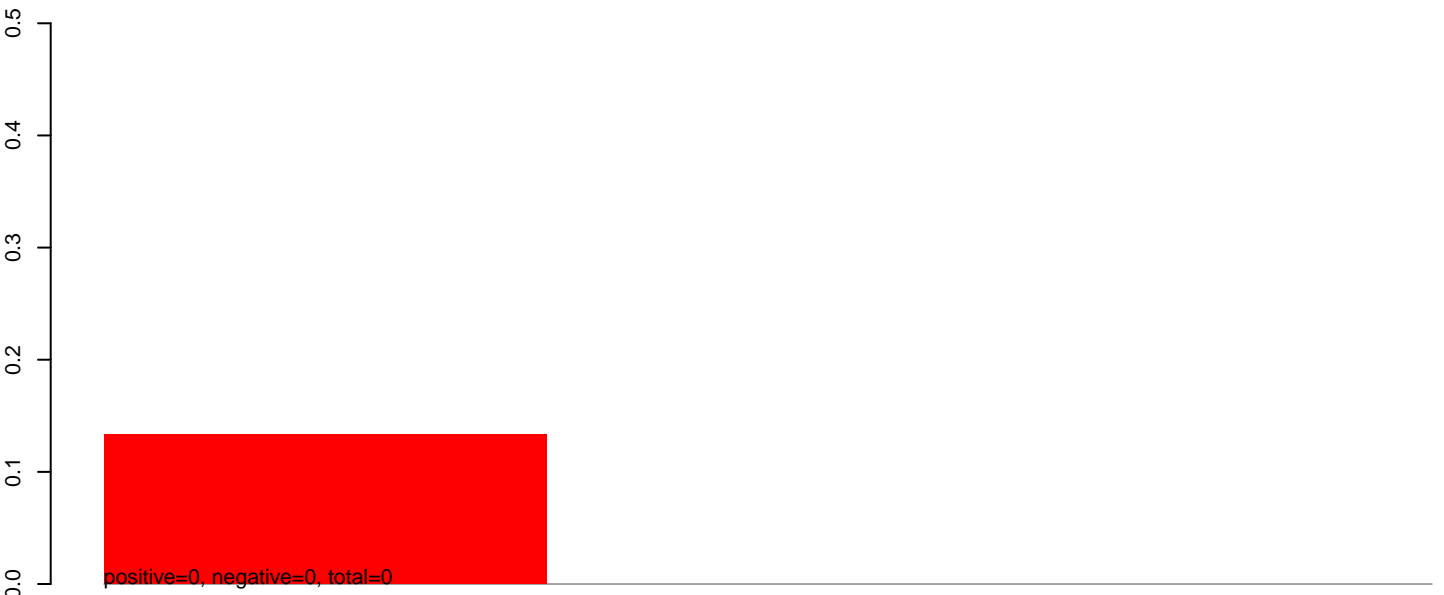
AeAlbo_C636_6dpi_SINV2.rep



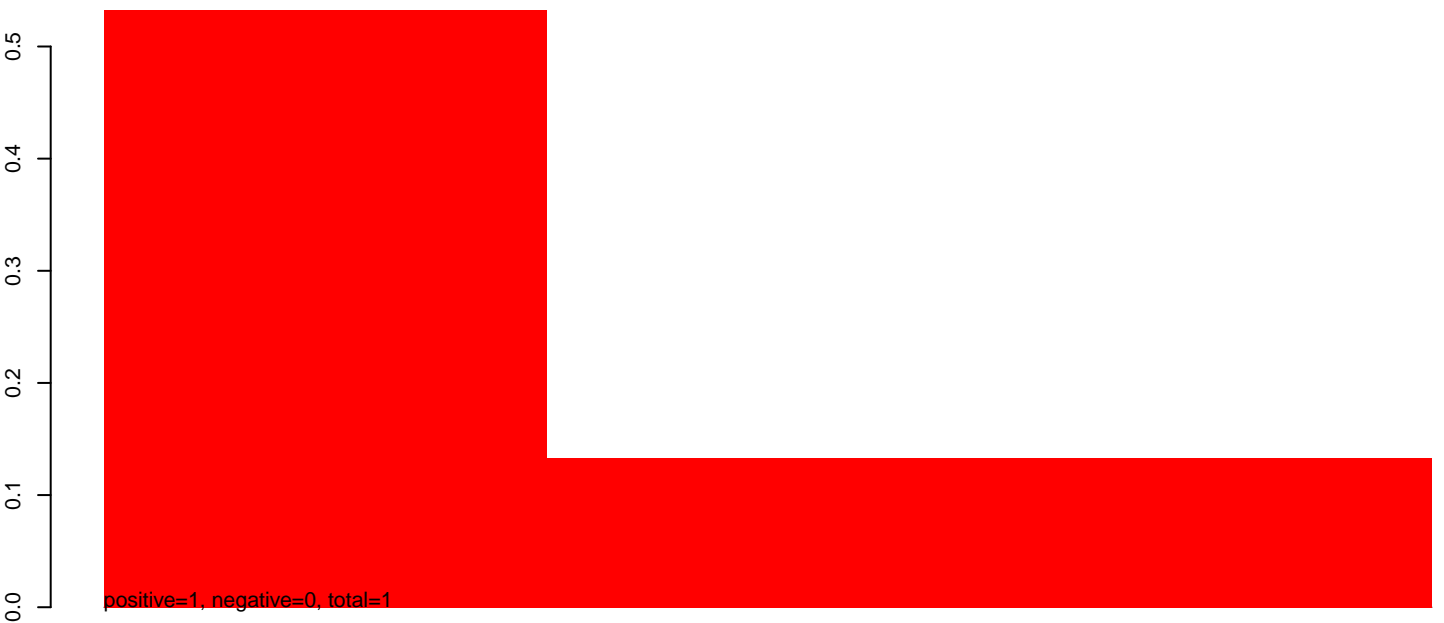
positive=0, negative=47, total=47, length=67, AAEL018675-RA-tRNA-Ser-tRNA-Ser-tRNA-MT-5996-6062-1-gene-AAEL018675:1-67

40 60 80 100

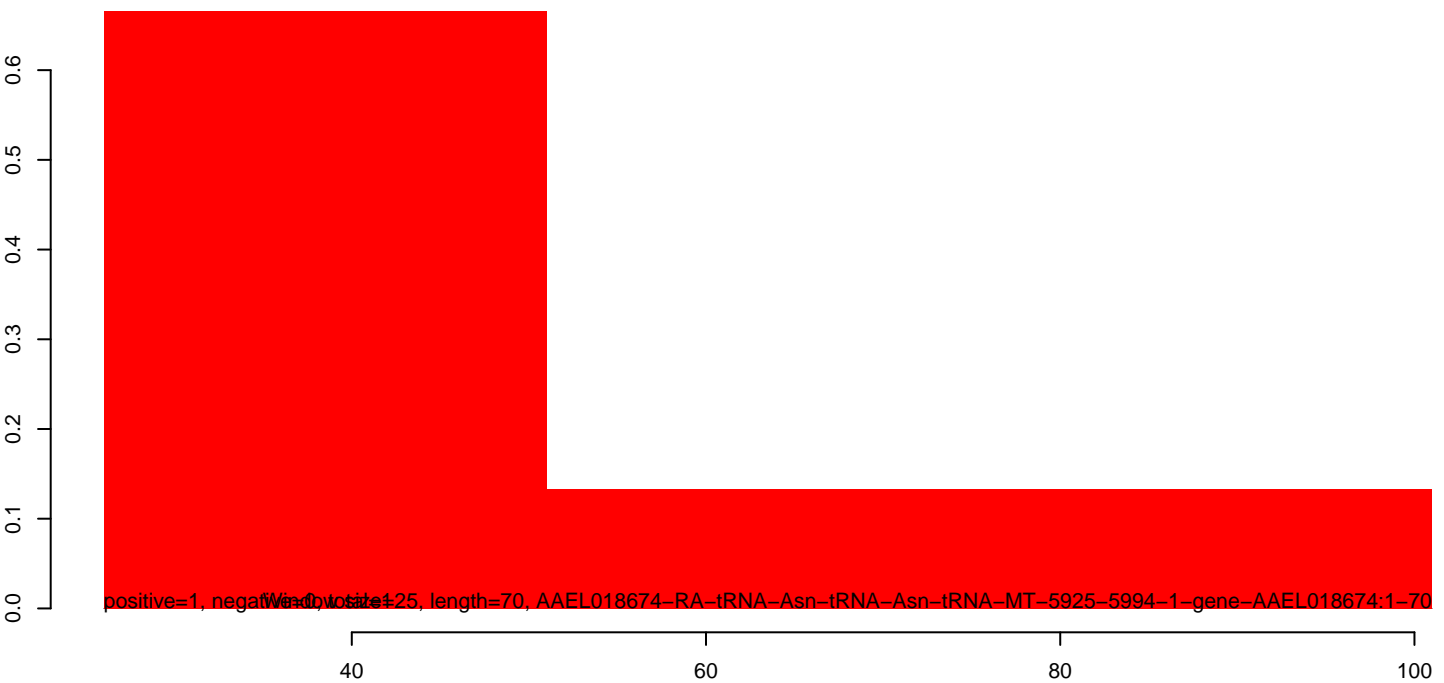
AeAlbo_C636_6dpi_SINV2.18_23.rep



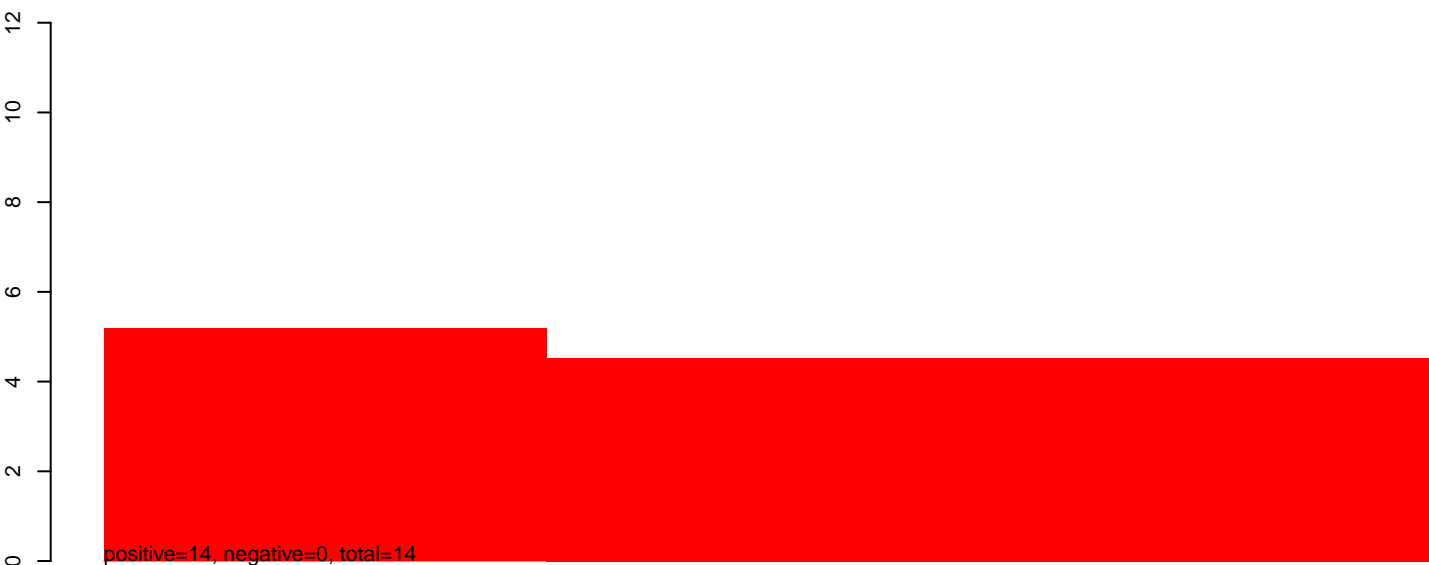
AeAlbo_C636_6dpi_SINV2.24_35.rep



AeAlbo_C636_6dpi_SINV2.rep



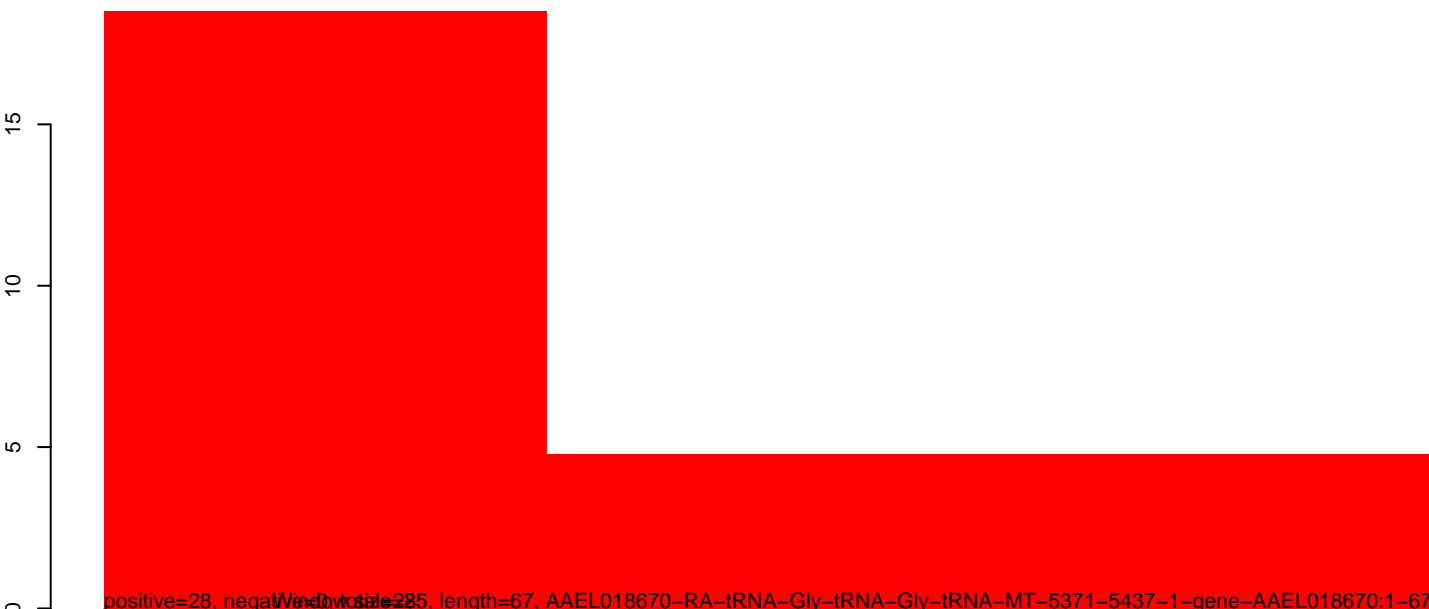
AeAlbo_C636_6dpi_SINV2.18_23.rep



AeAlbo_C636_6dpi_SINV2.24_35.rep

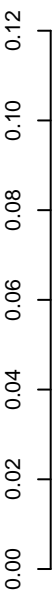


AeAlbo_C636_6dpi_SINV2.rep



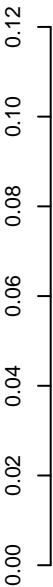
40 60 80 100

AeAlbo_C636_6dpi_SINV2.18_23.rep



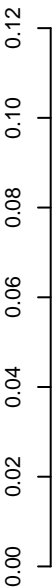
positive=0, negative=0, total=0

AeAlbo_C636_6dpi_SINV2.24_35.rep

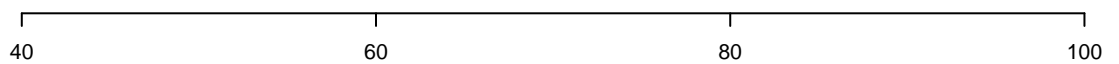


positive=0, negative=0, total=0

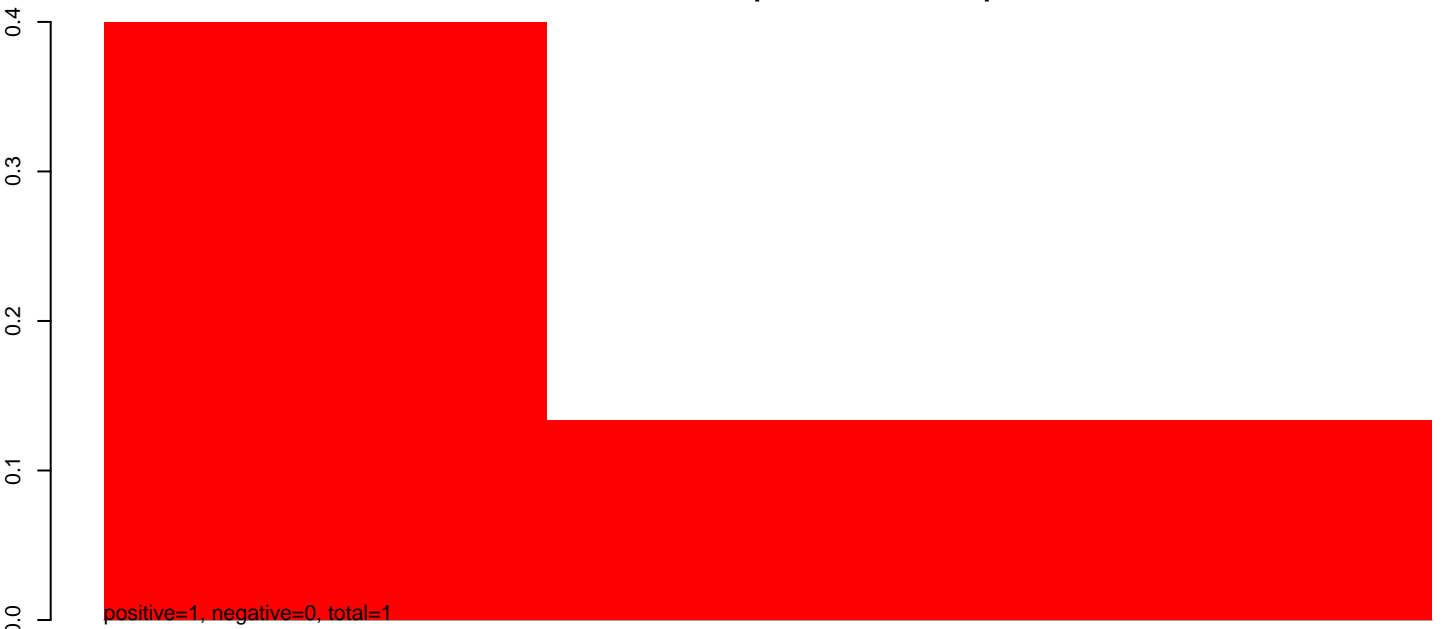
AeAlbo_C636_6dpi_SINV2.rep



positive=0, negative=0, total=0
Window size=25, length=69, AAEL018666-RA-tRNA-Asp-tRNA-Asp-tRNA-MT-3675-3743-1-gene-AAEL018666.1-69



AeAlbo_C636_6dpi_SINV2.18_23.rep



AeAlbo_C636_6dpi_SINV2.24_35.rep

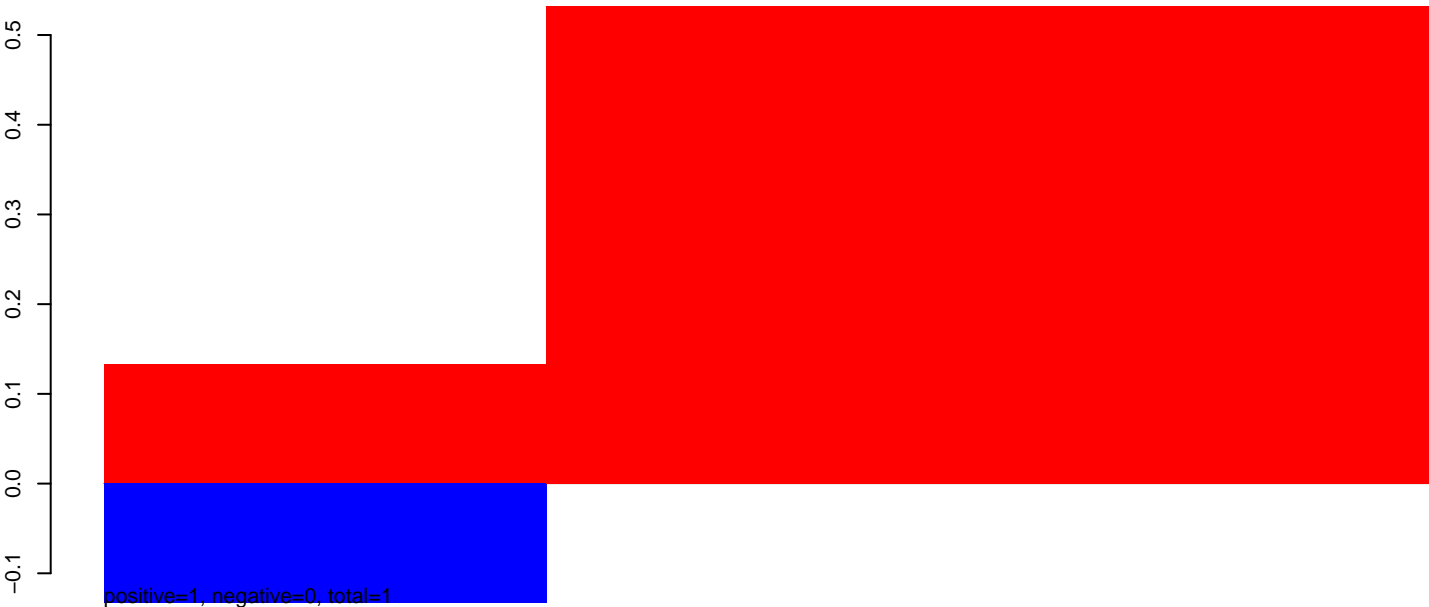


AeAlbo_C636_6dpi_SINV2.rep

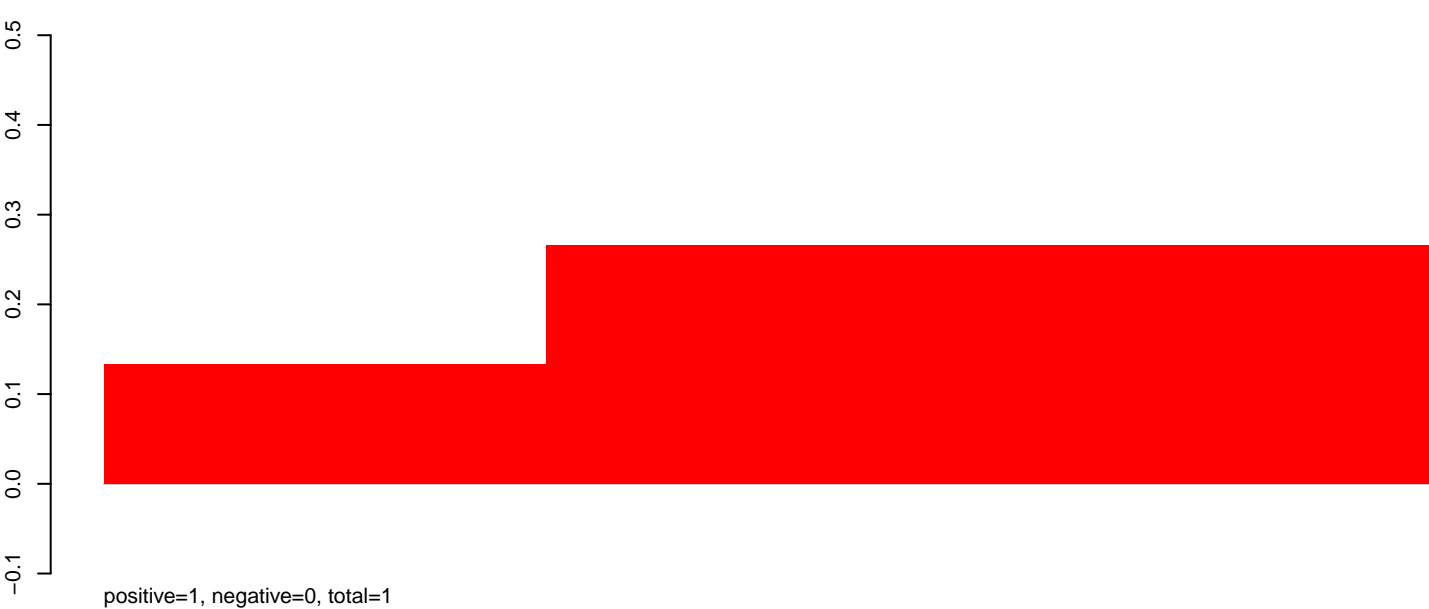


40 60 80 100

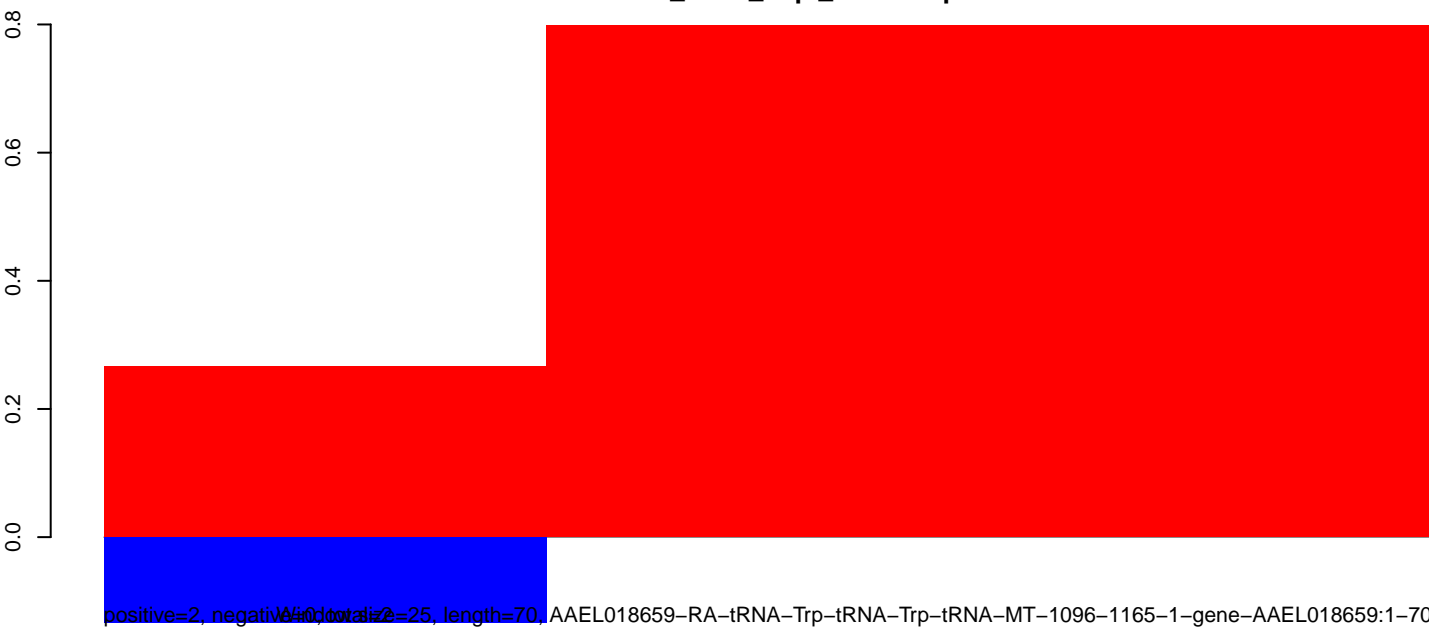
AeAlbo_C636_6dpi_SINV2.18_23.rep



AeAlbo_C636_6dpi_SINV2.24_35.rep

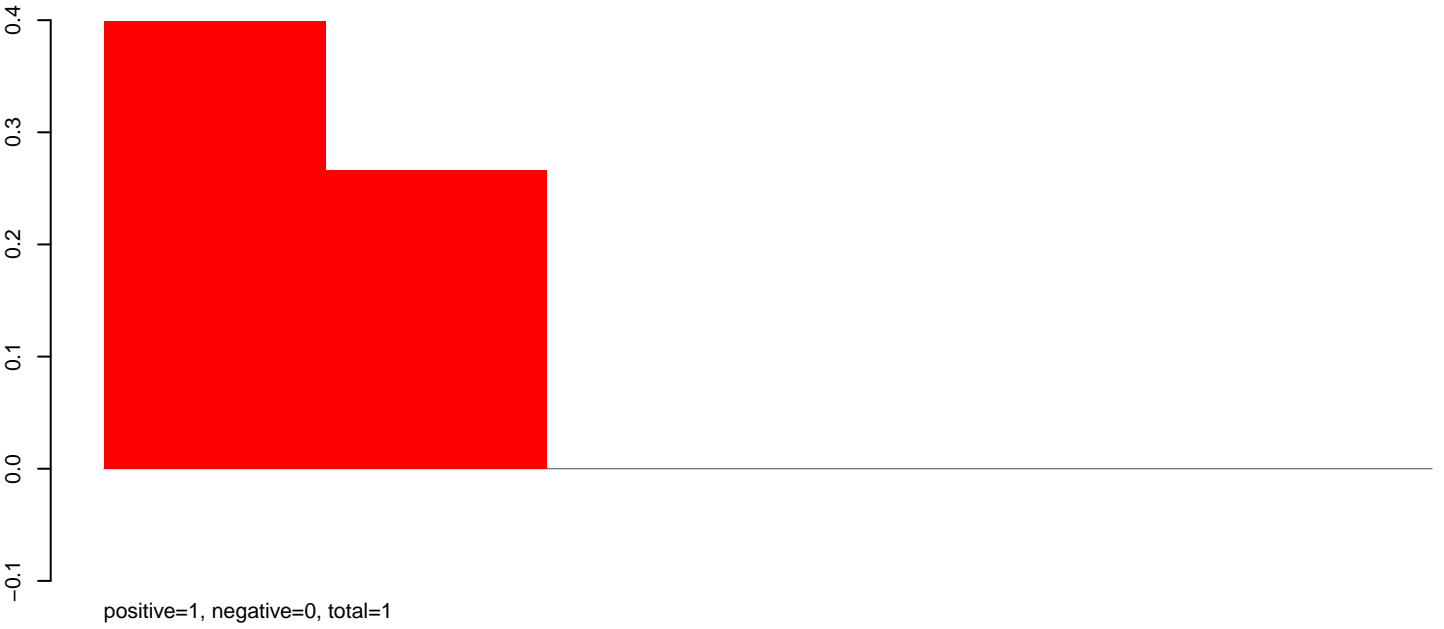


AeAlbo_C636_6dpi_SINV2.rep

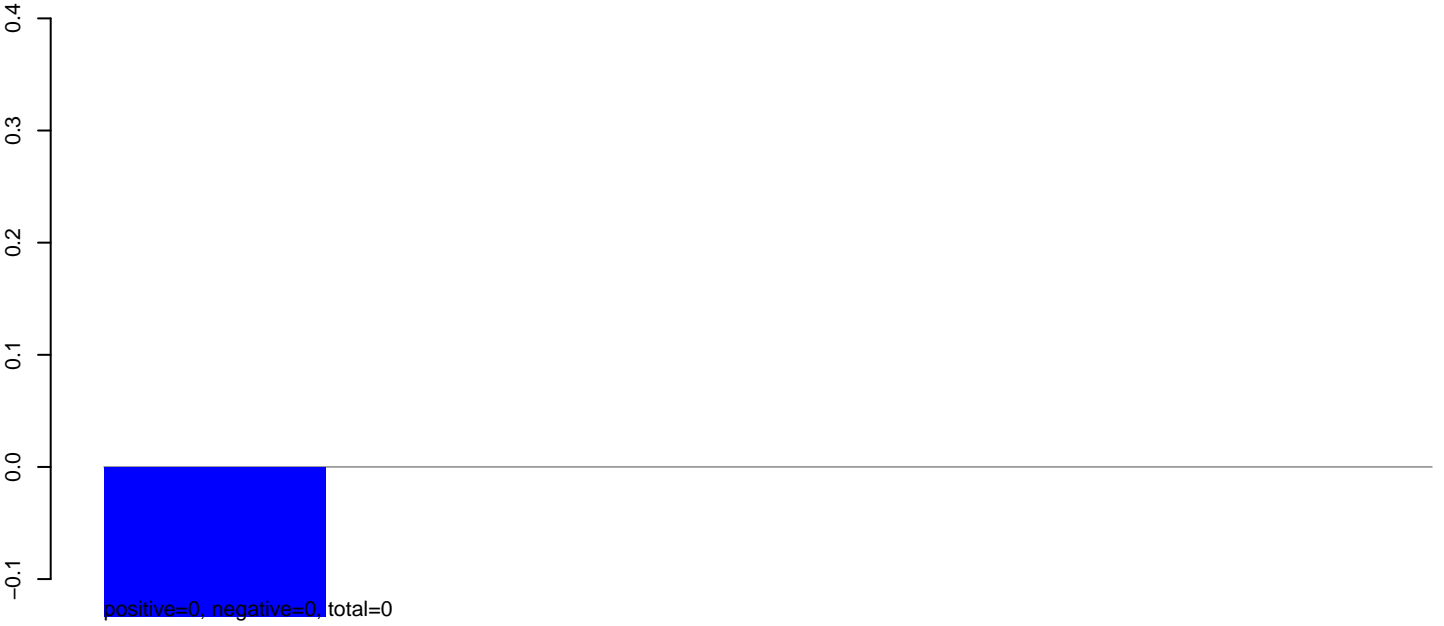


40 60 80 100

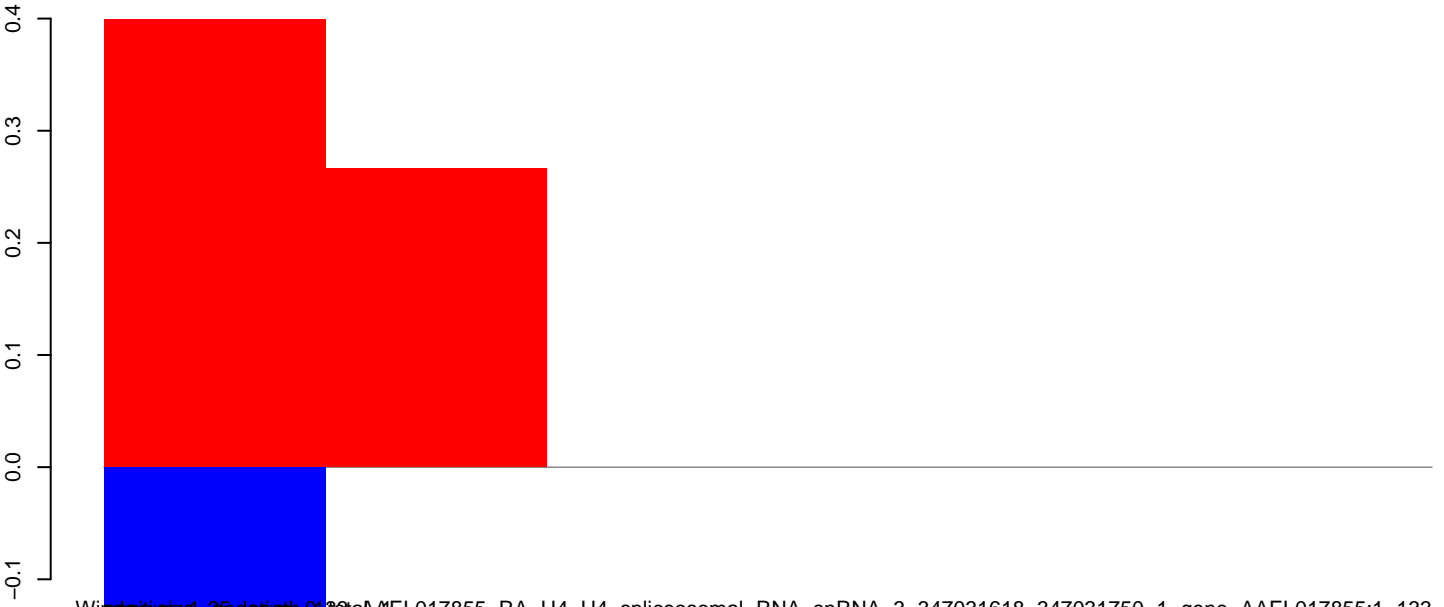
AeAlbo_C636_6dpi_SINV2.18_23.rep



AeAlbo_C636_6dpi_SINV2.24_35.rep



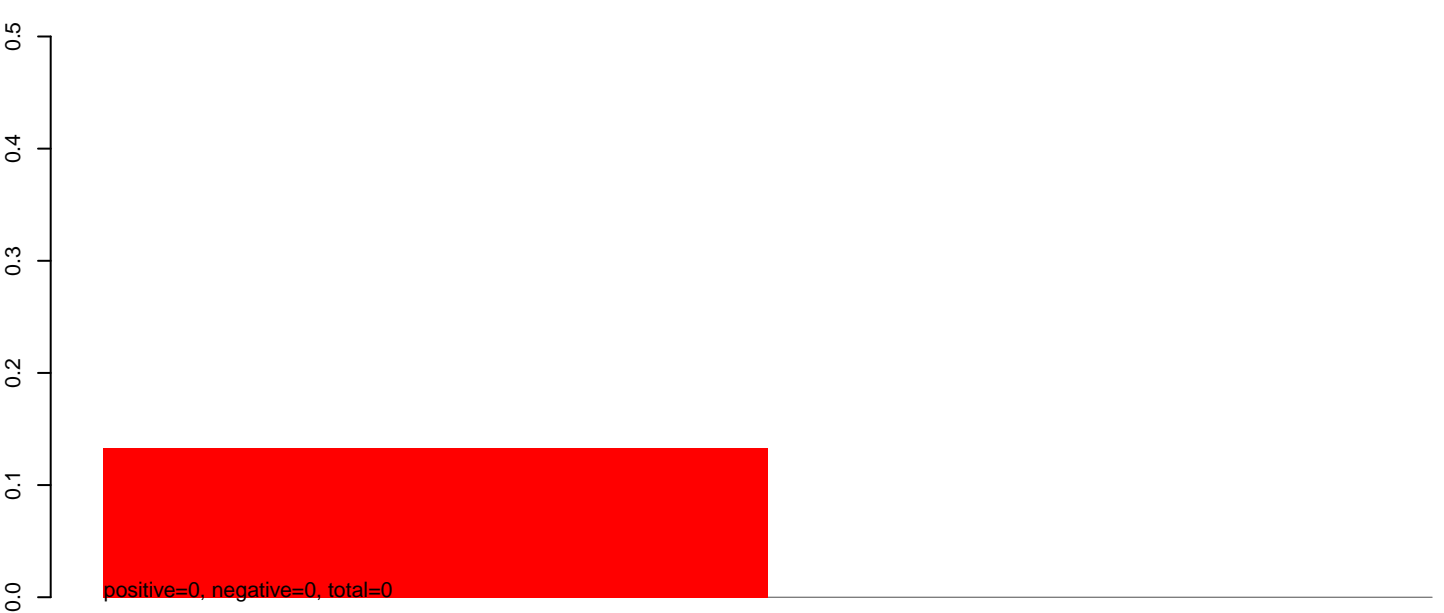
AeAlbo_C636_6dpi_SINV2.rep



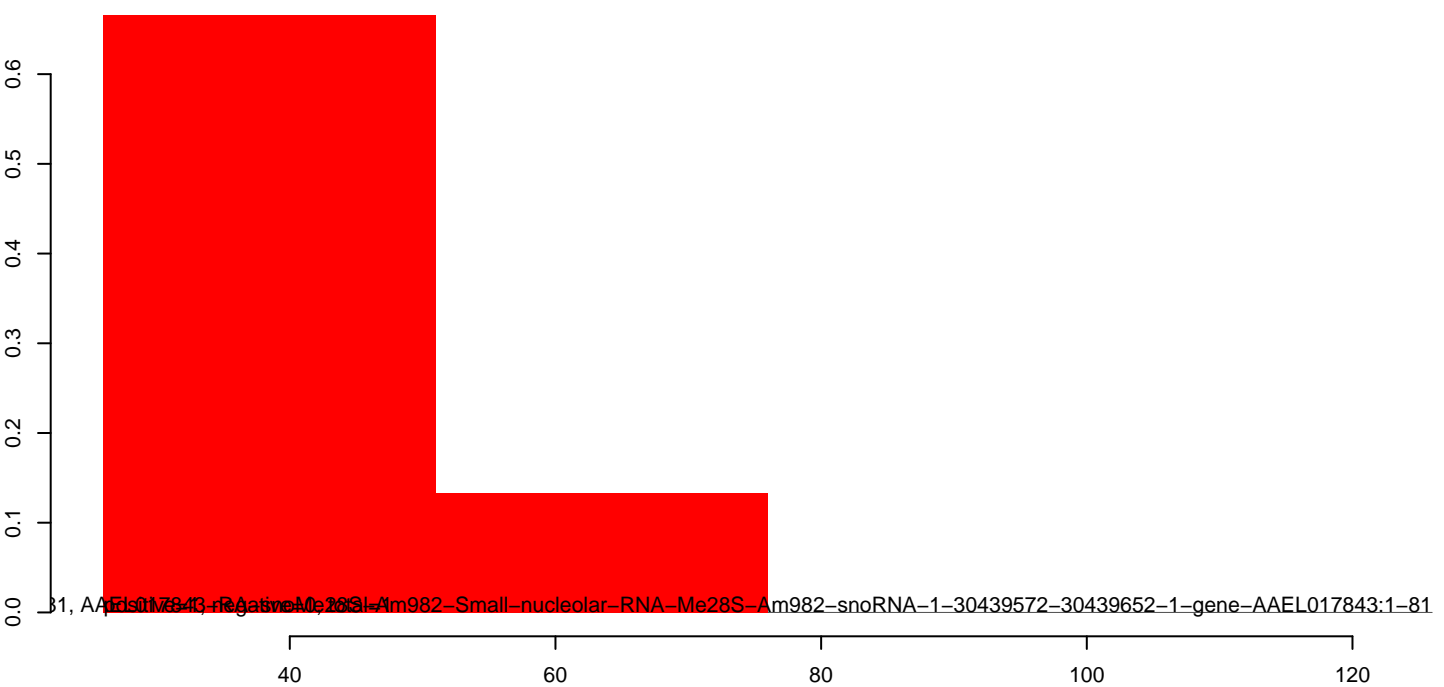
AeAlbo_C636_6dpi_SINV2.18_23.rep



AeAlbo_C636_6dpi_SINV2.24_35.rep



AeAlbo_C636_6dpi_SINV2.rep

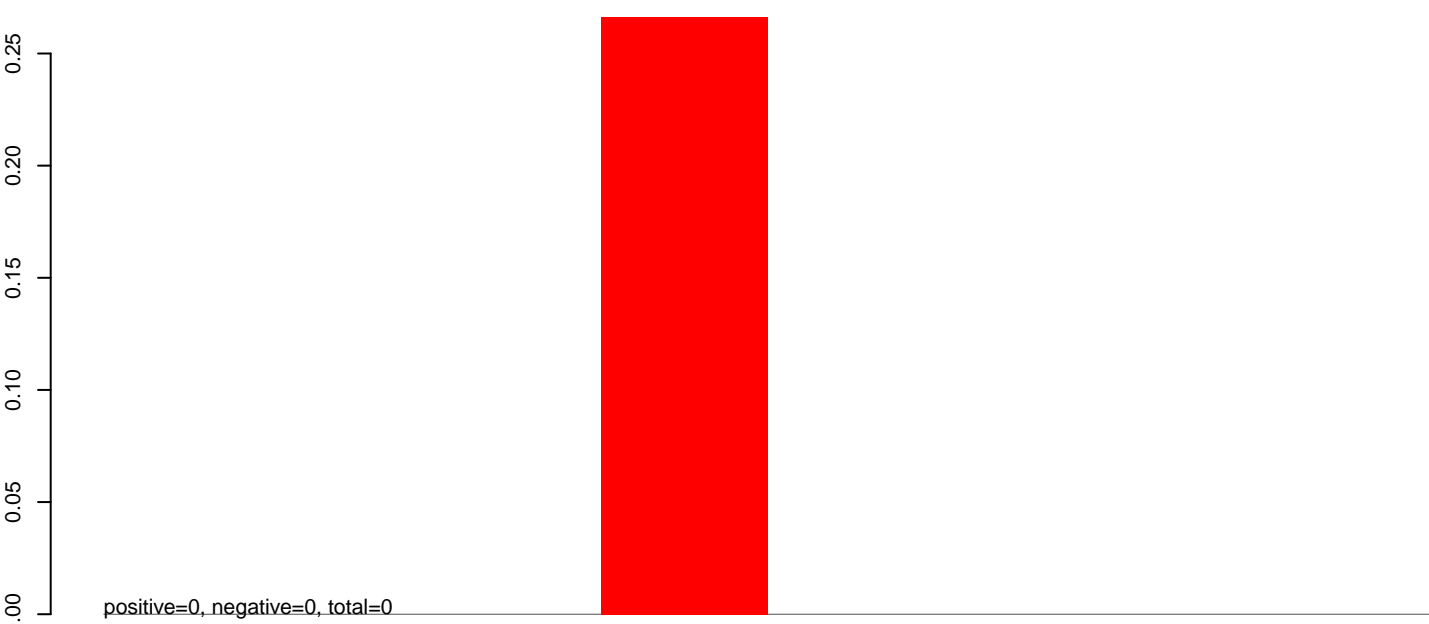


11, AAF017843.1 - Relative Abundance - Am982-Small-nucleolar-RNA-Me28S-Am982-snoRNA-1-30439572-30439652-1-gene-AAEL017843:1-81

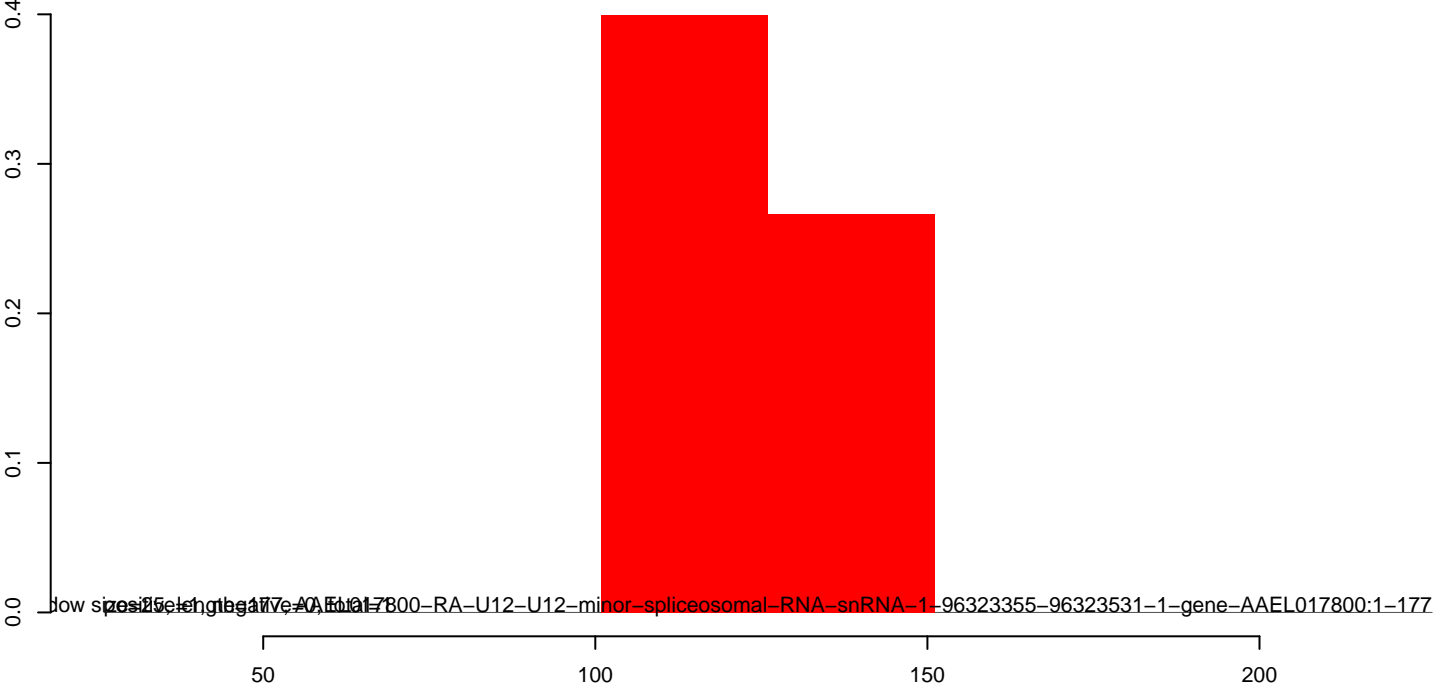
AeAlbo_C636_6dpi_SINV2.18_23.rep



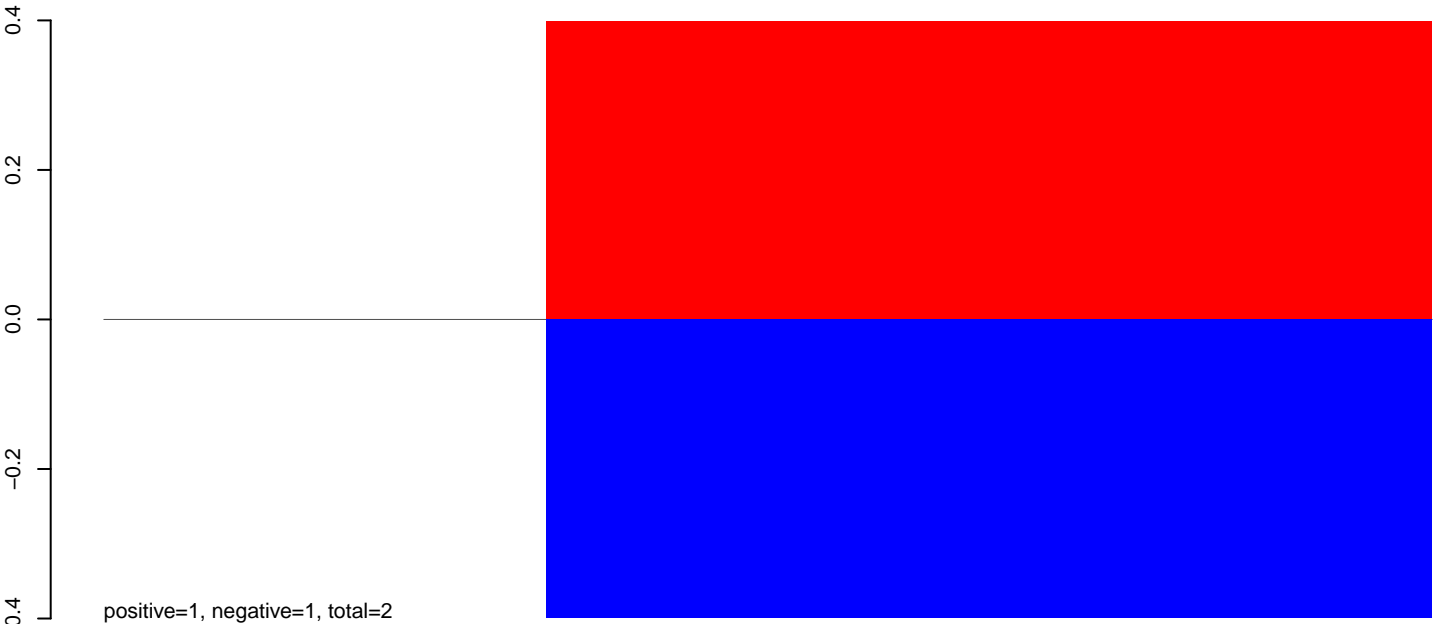
AeAlbo_C636_6dpi_SINV2.24_35.rep



AeAlbo_C636_6dpi_SINV2.rep

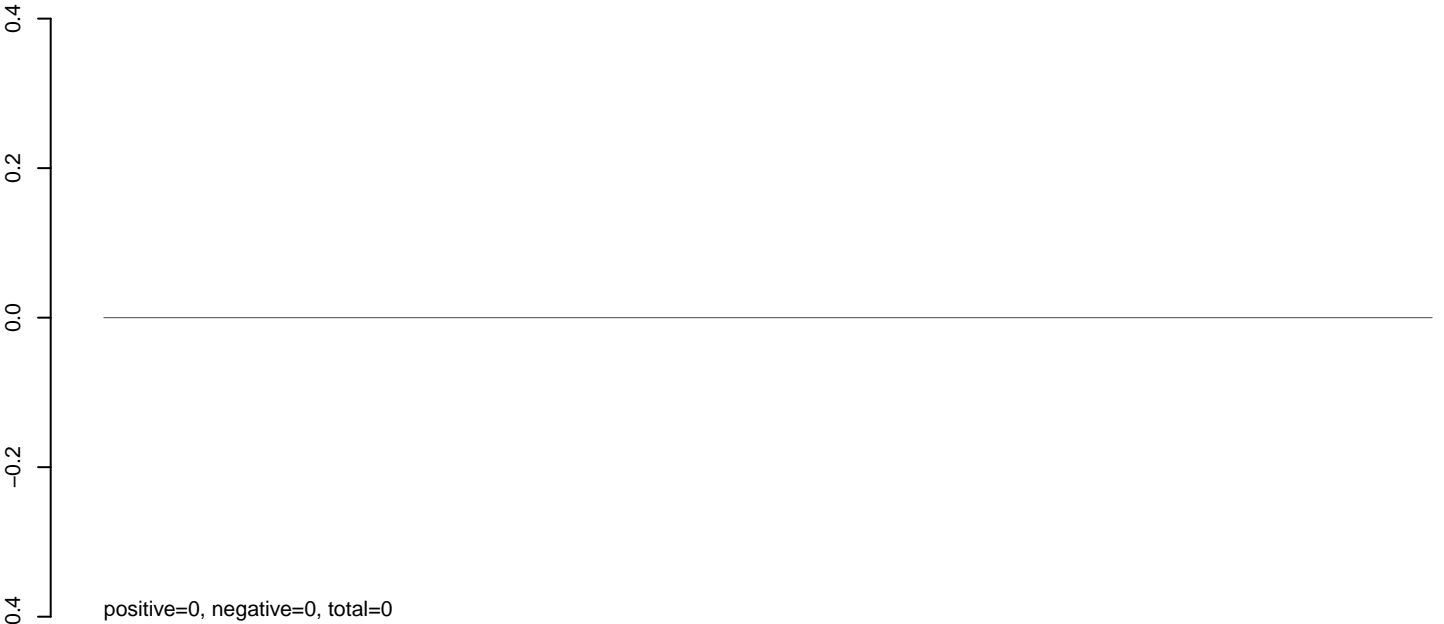


AeAlbo_C636_6dpi_SINV2.18_23.rep



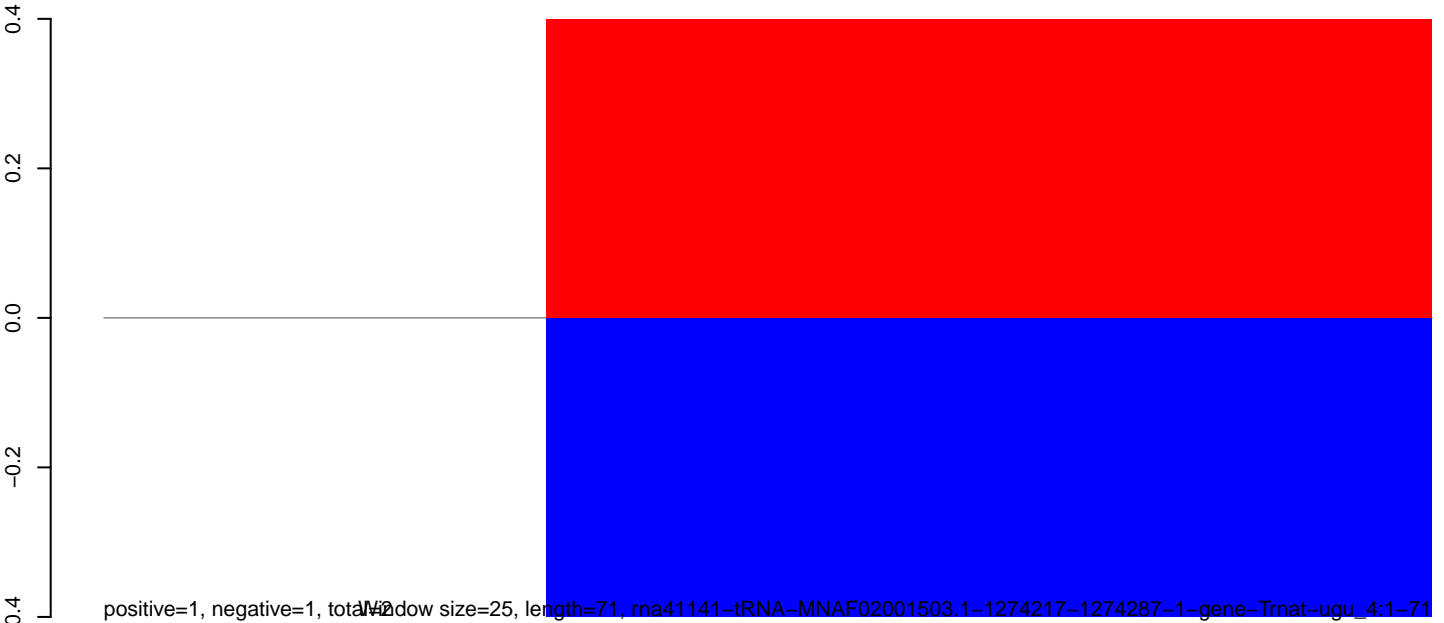
positive=1, negative=1, total=2

AeAlbo_C636_6dpi_SINV2.24_35.rep



positive=0, negative=0, total=0

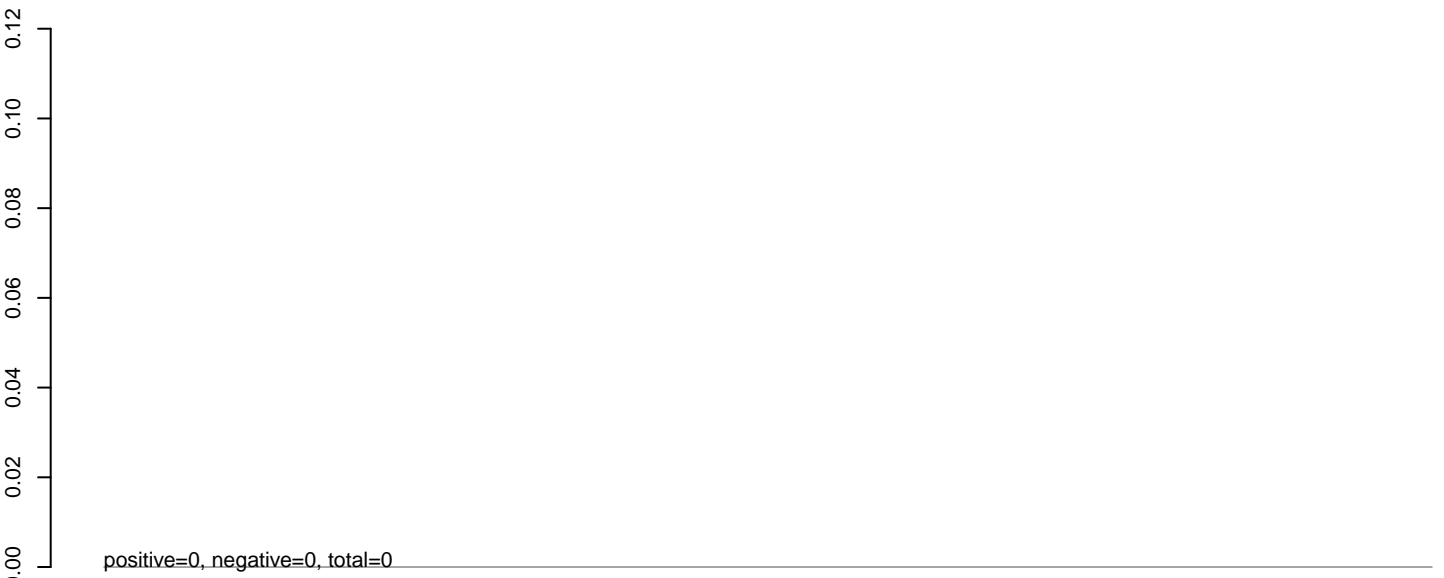
AeAlbo_C636_6dpi_SINV2.rep



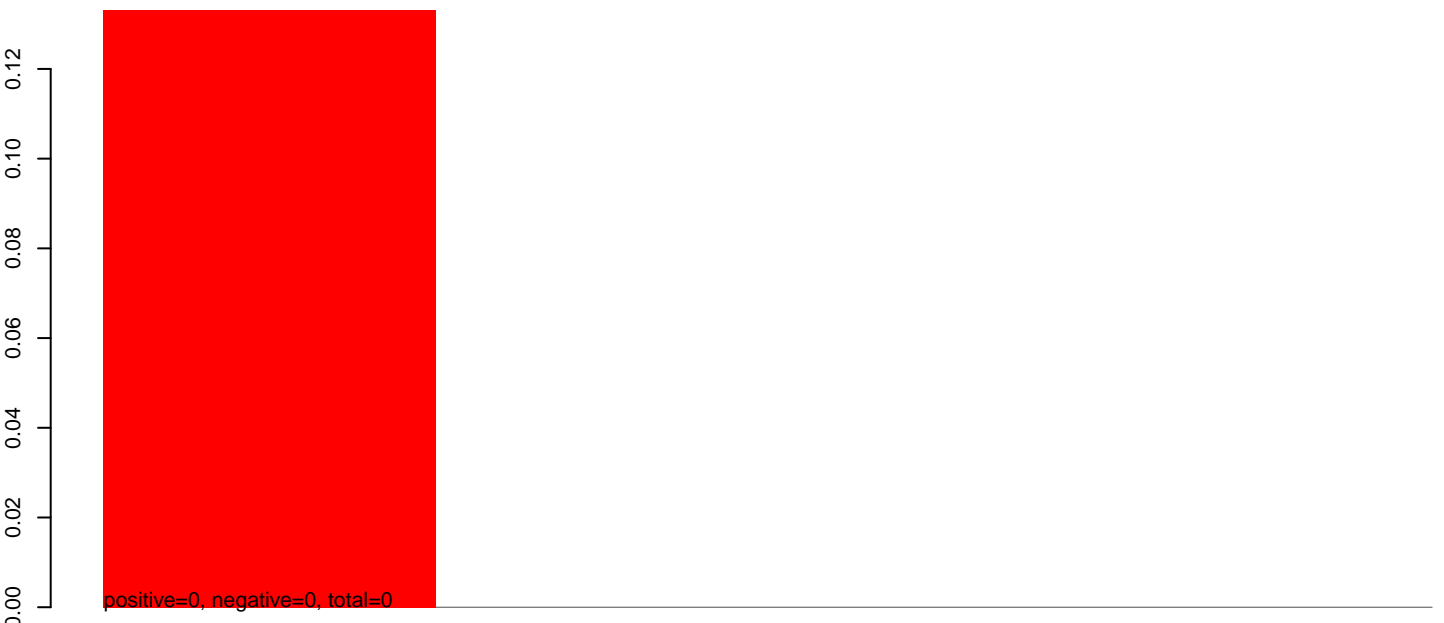
positive=1, negative=1, total=2 window size=25, length=71, ma411141-tRNA-MNAF02001503.1-1274217-1274287-1-gene-Trnat-ugu_4:1-71

40 60 80 100

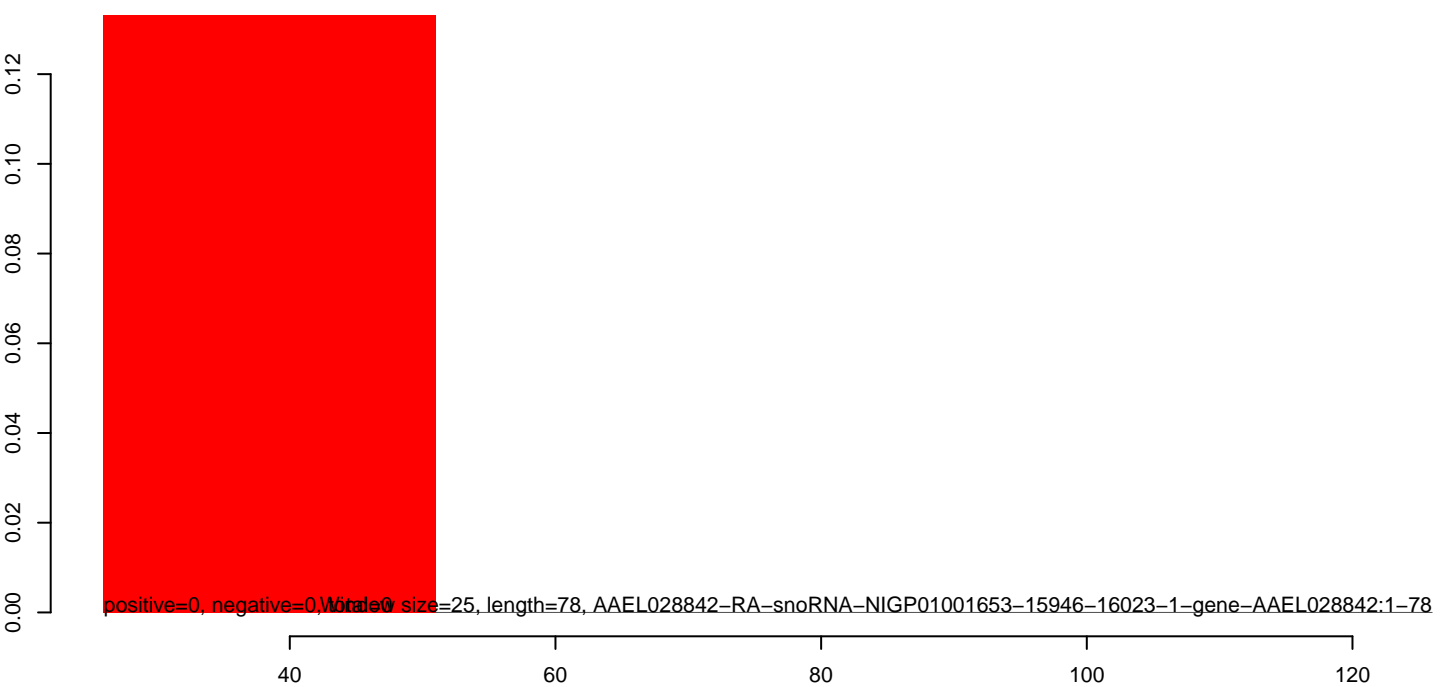
AeAlbo_C636_6dpi_SINV2.18_23.rep



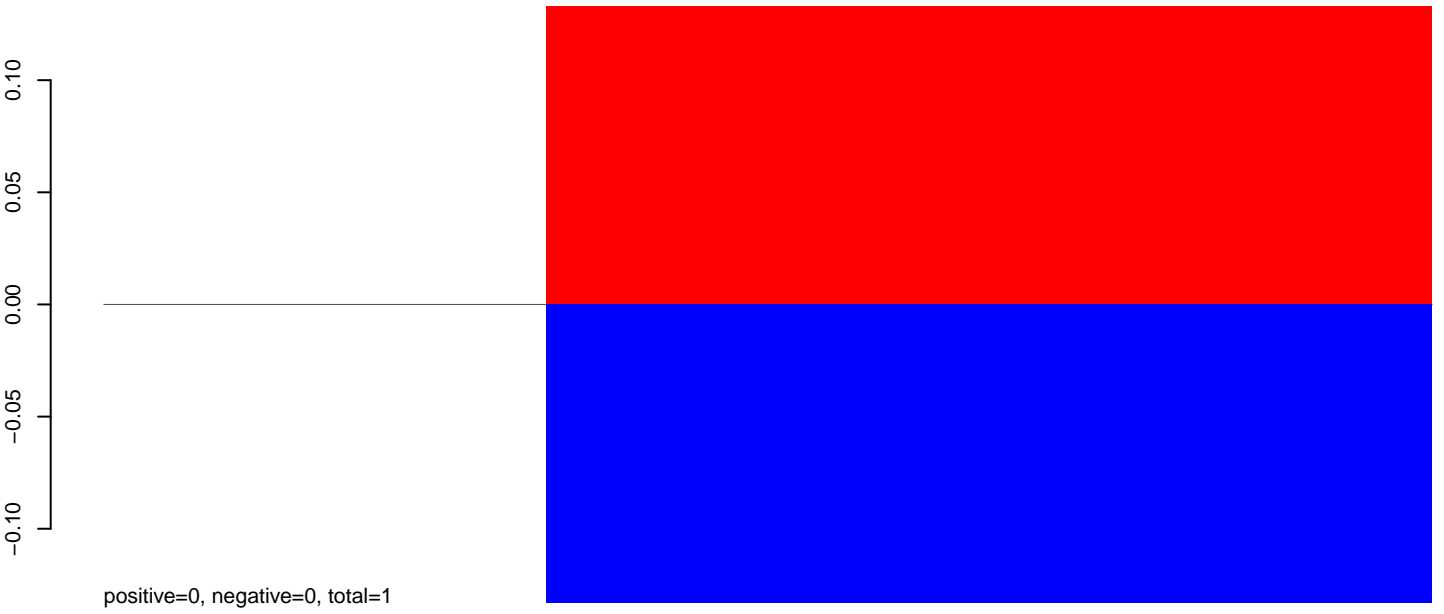
AeAlbo_C636_6dpi_SINV2.24_35.rep



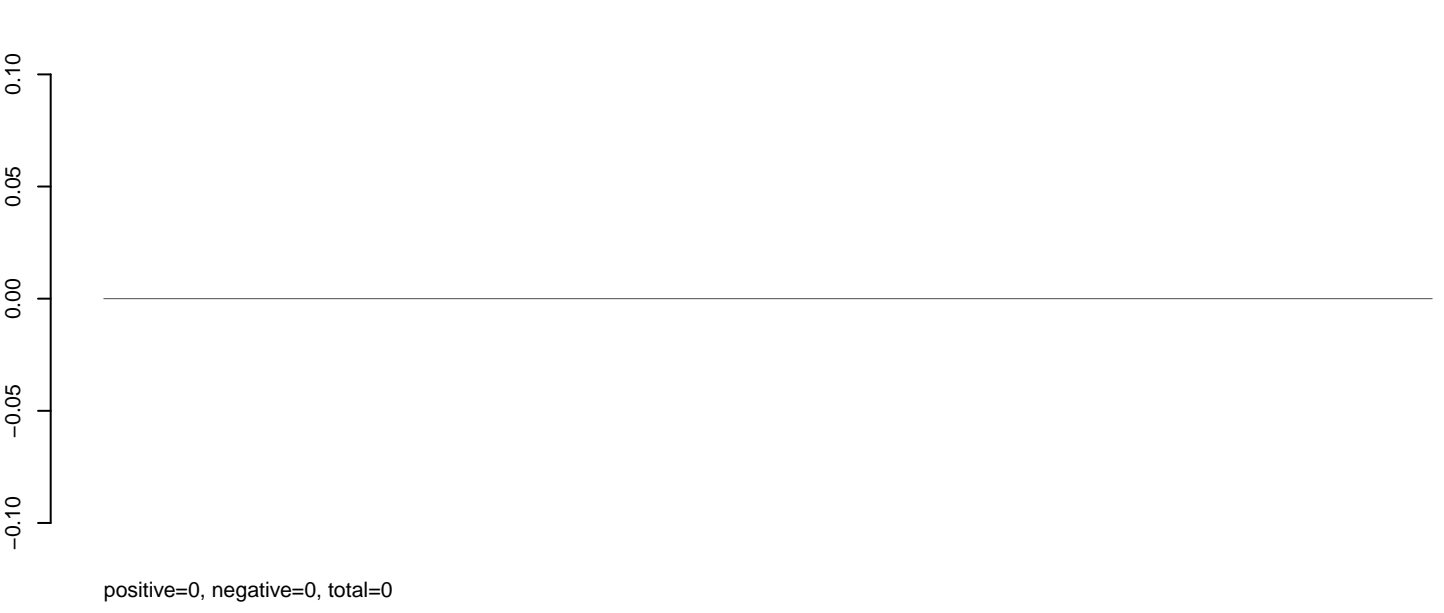
AeAlbo_C636_6dpi_SINV2.rep



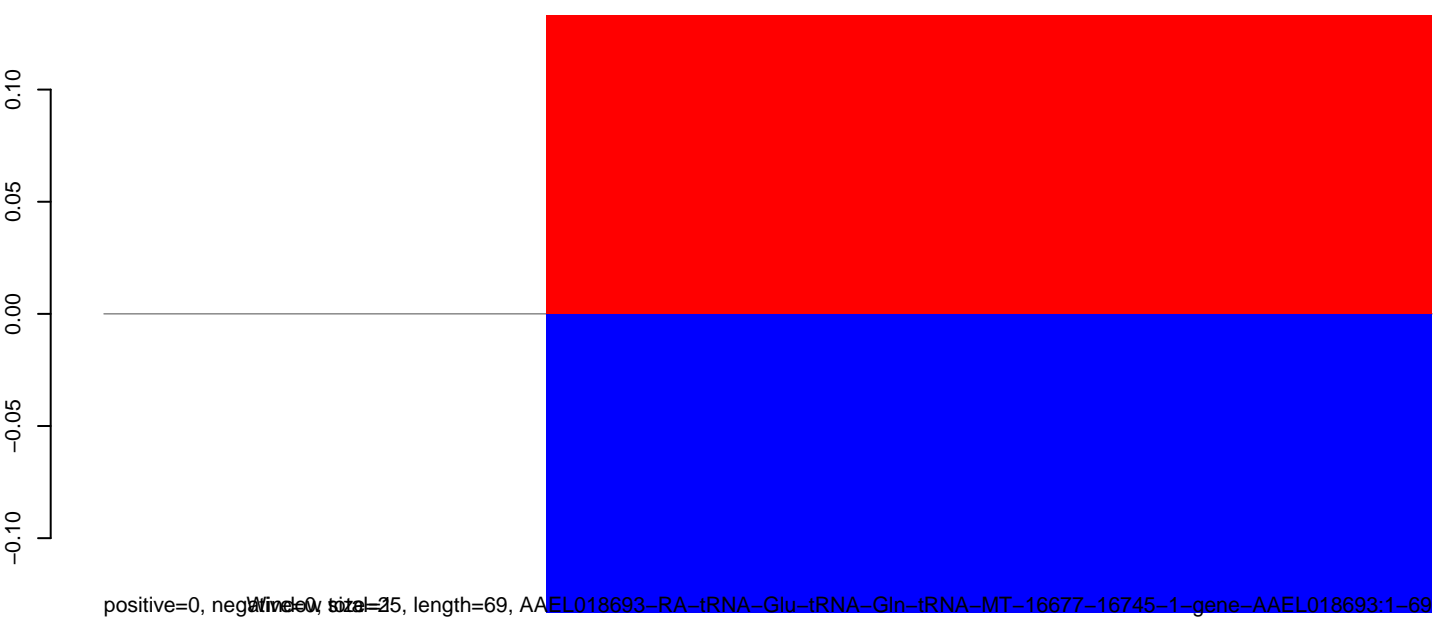
AeAlbo_C636_6dpi_SINV2.18_23.rep



AeAlbo_C636_6dpi_SINV2.24_35.rep

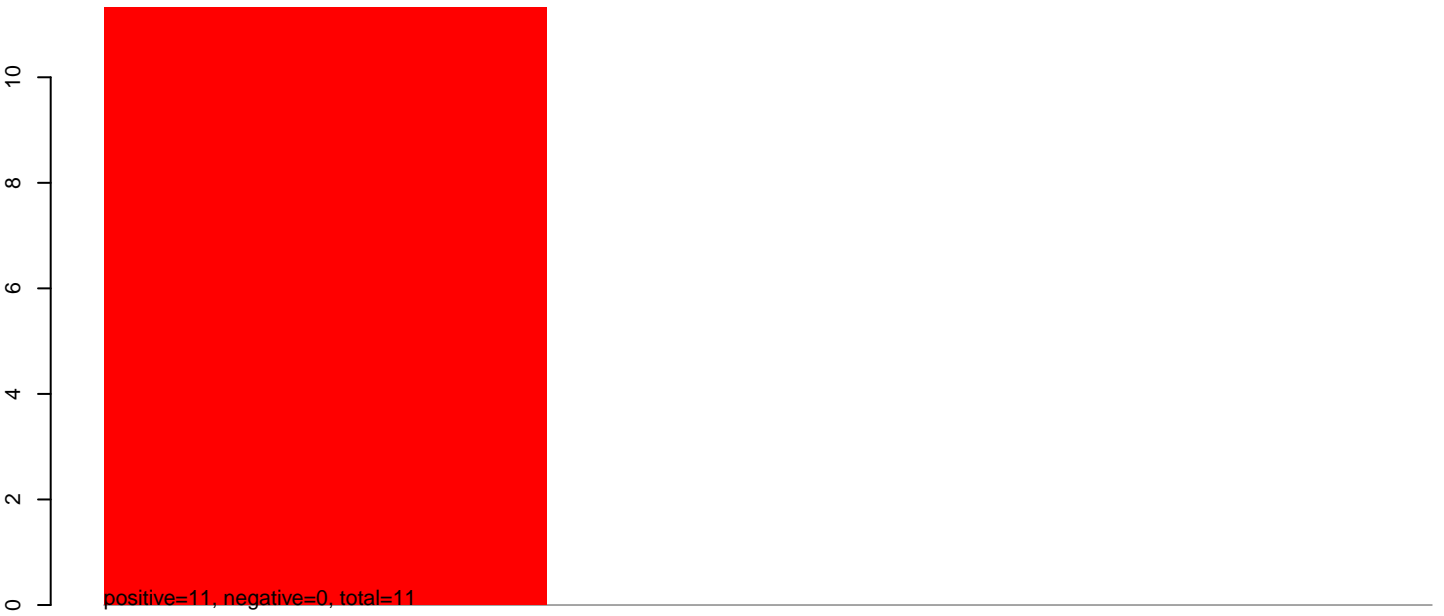


AeAlbo_C636_6dpi_SINV2.rep

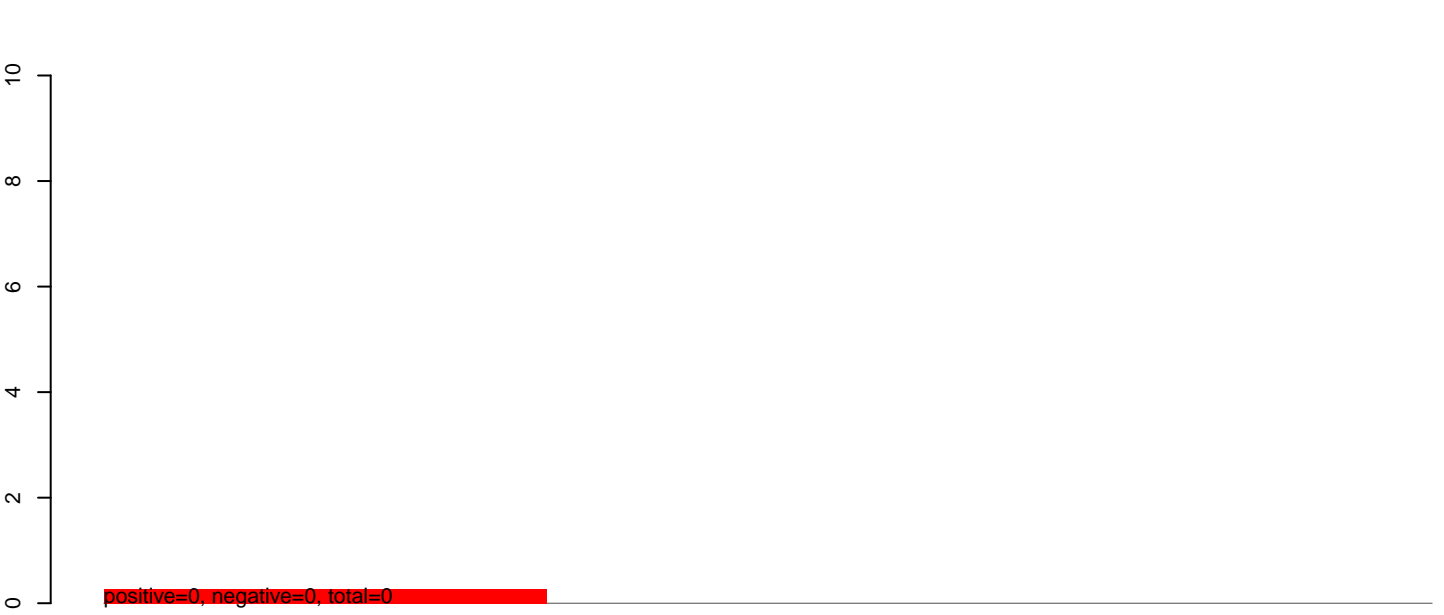


AAEL018693-RA-tRNA-Glu-tRNA-Gln-tRNA-MT-16677-16745-1-gene-AAEL018693:1-69

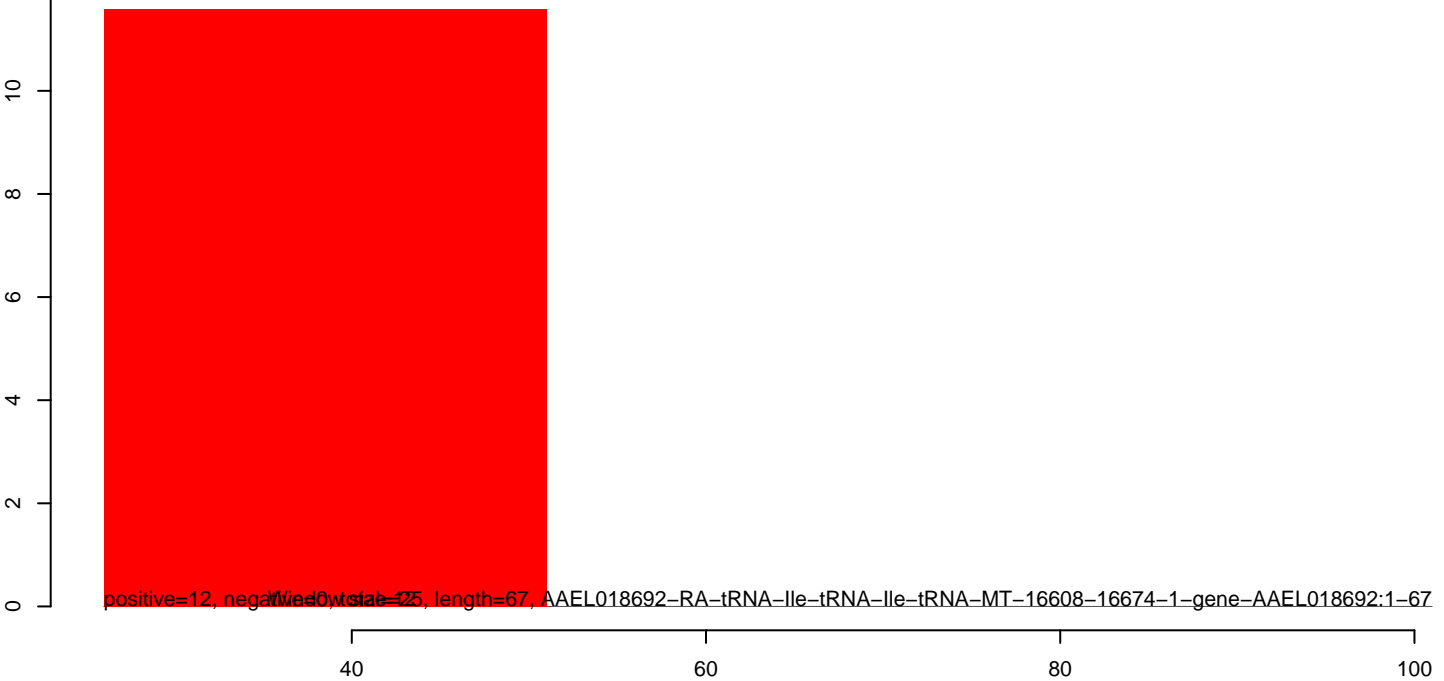
AeAlbo_C636_6dpi_SINV2.18_23.rep



AeAlbo_C636_6dpi_SINV2.24_35.rep



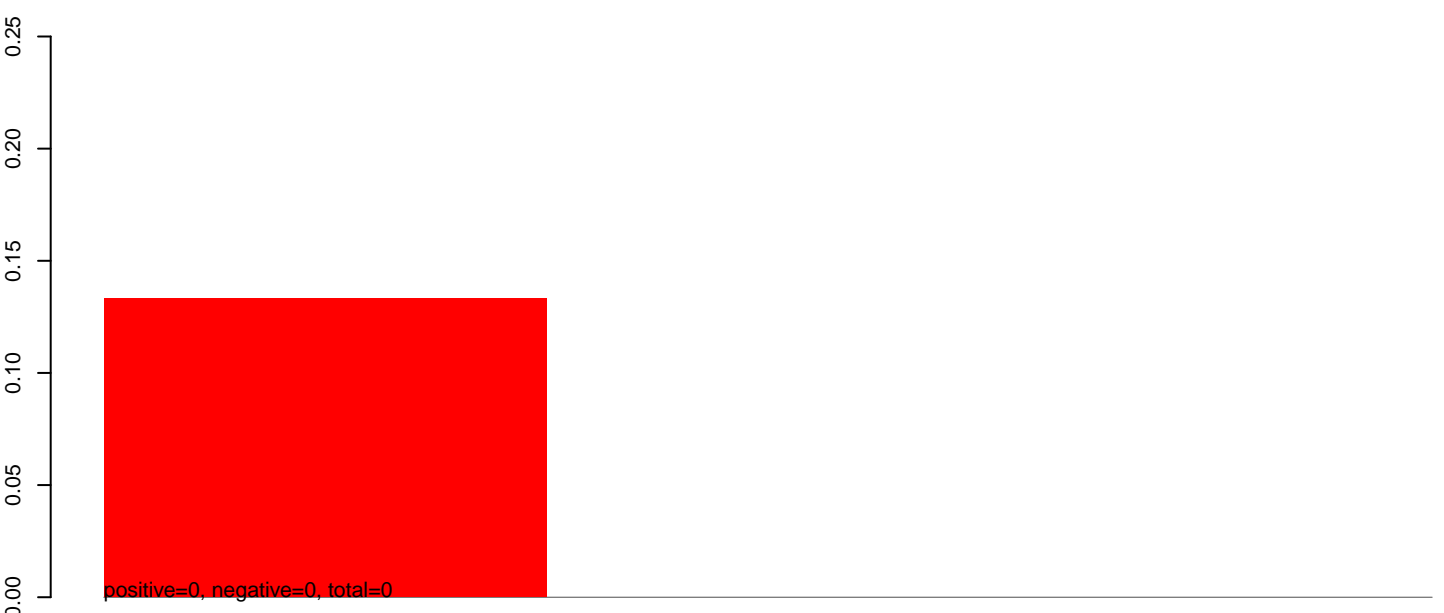
AeAlbo_C636_6dpi_SINV2.rep



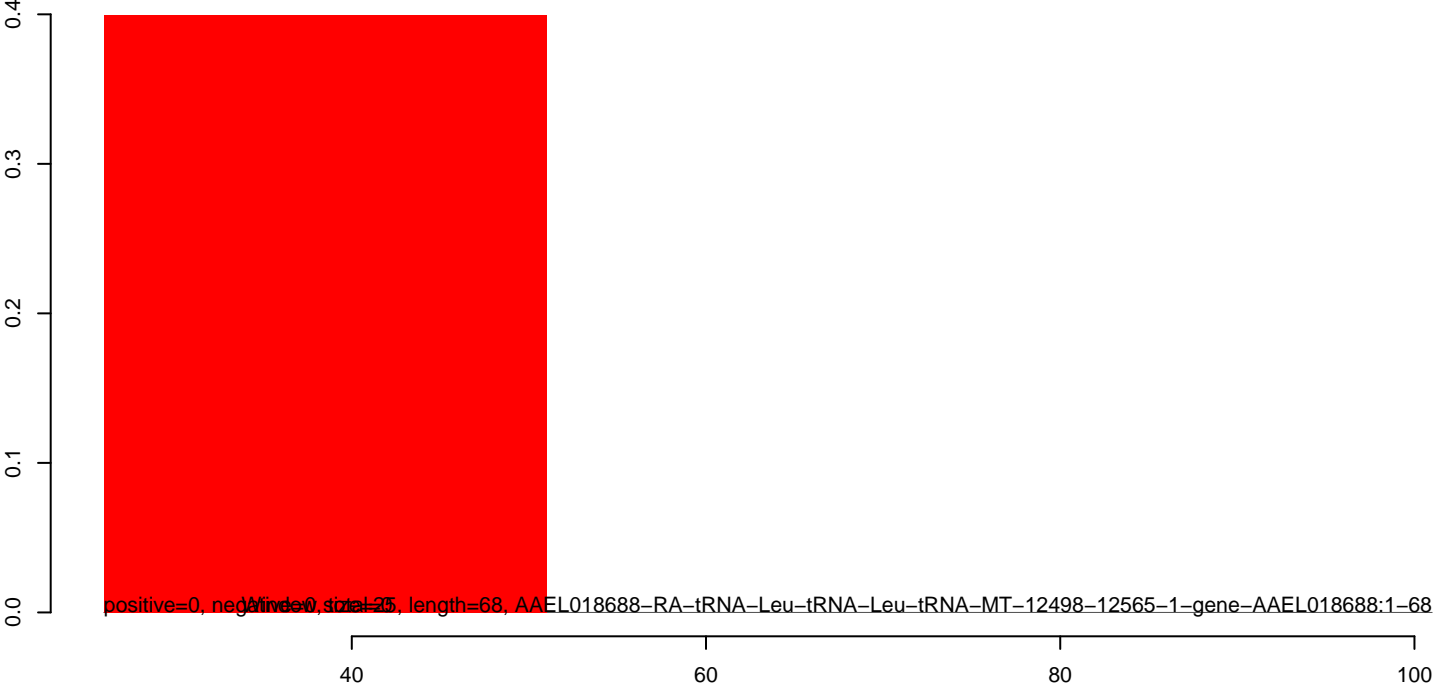
AeAlbo_C636_6dpi_SINV2.18_23.rep



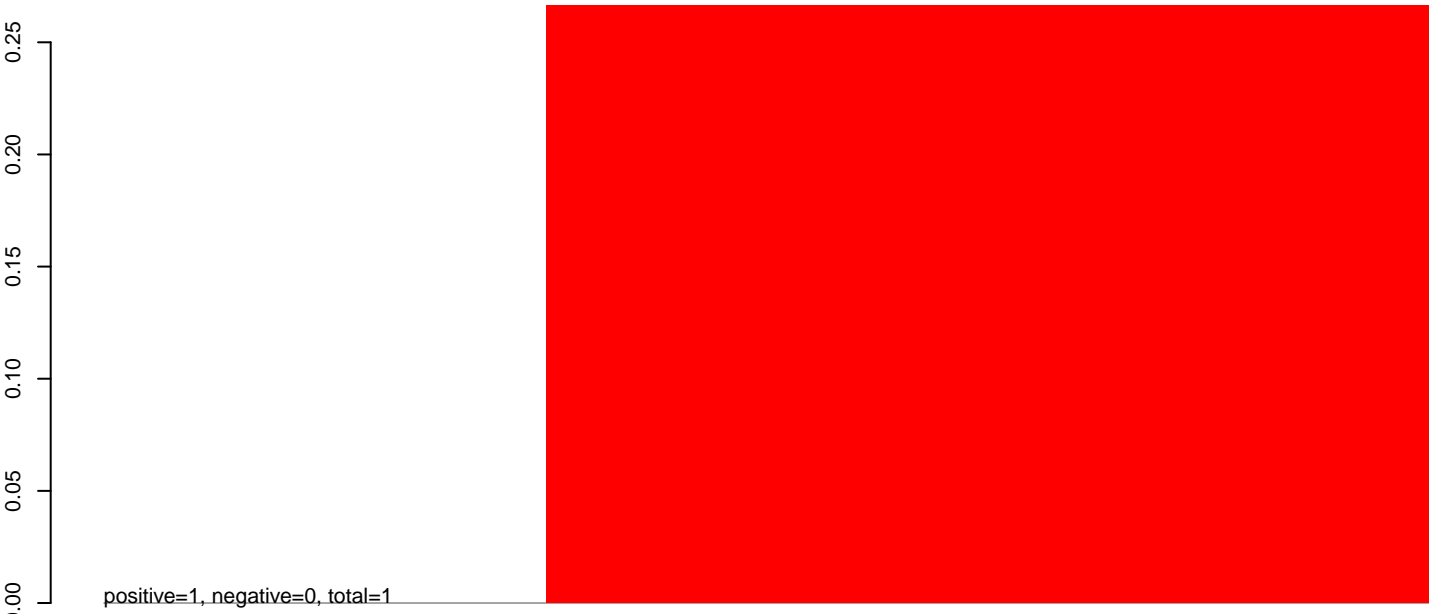
AeAlbo_C636_6dpi_SINV2.24_35.rep



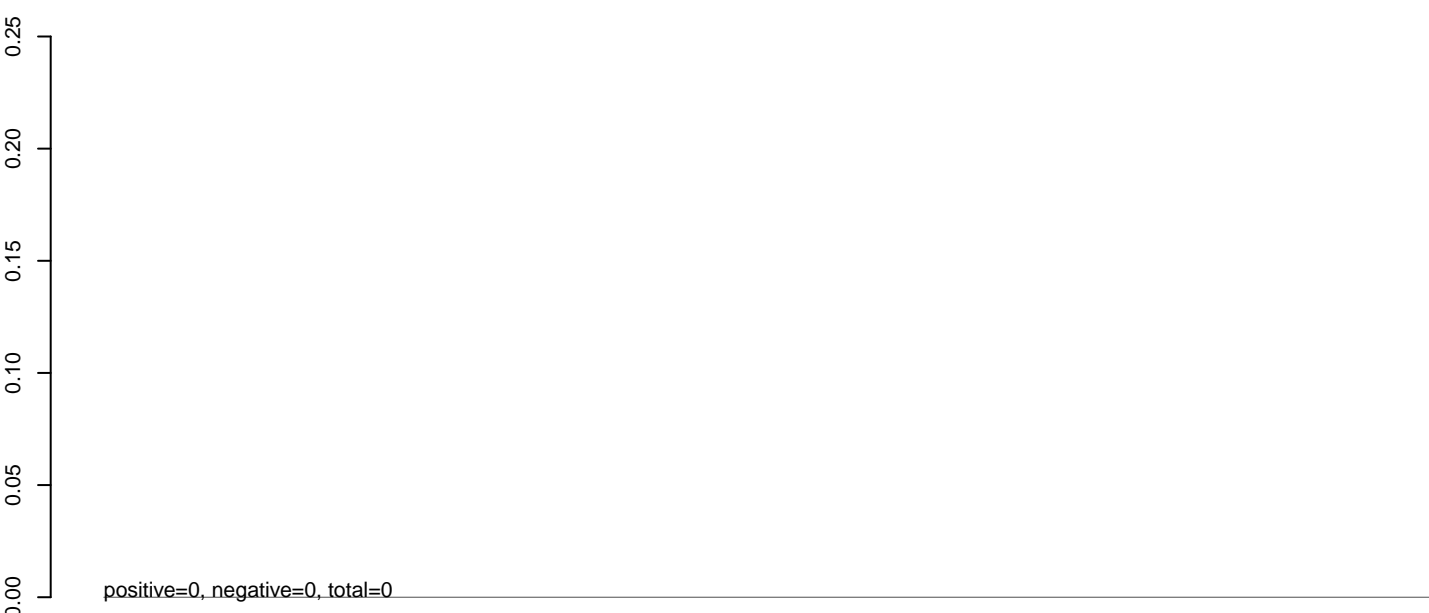
AeAlbo_C636_6dpi_SINV2.rep



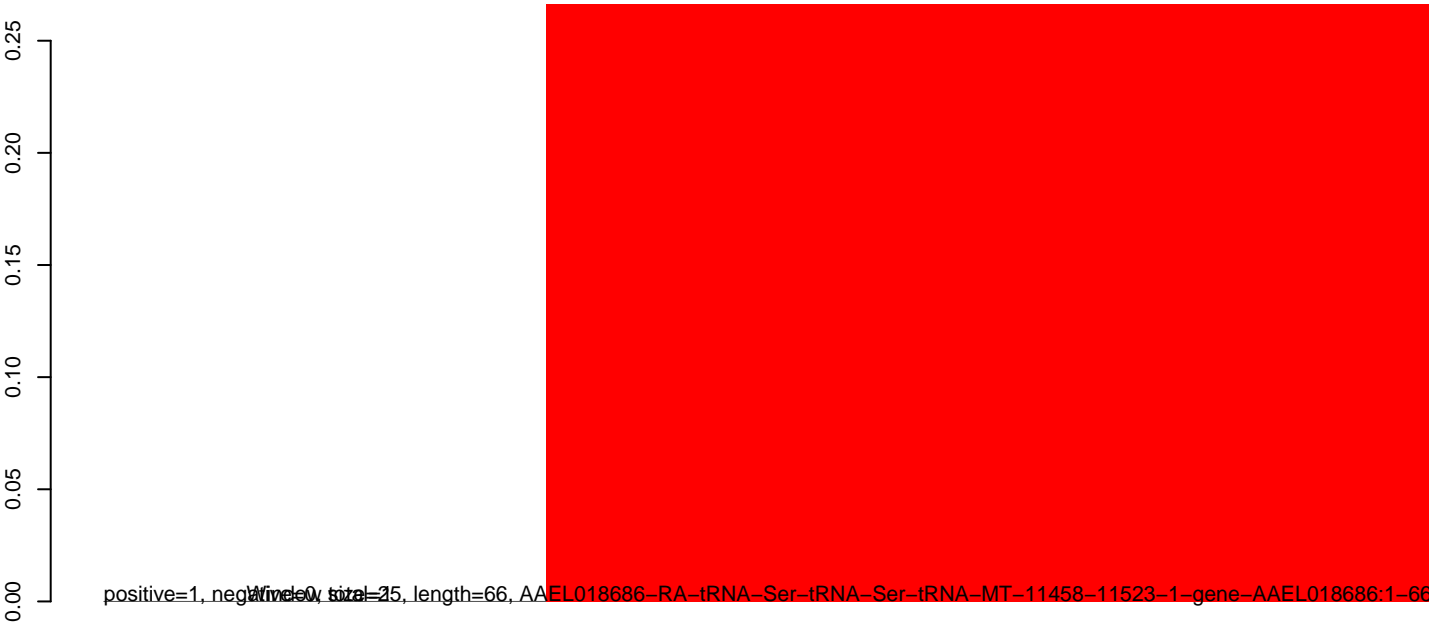
AeAlbo_C636_6dpi_SINV2.18_23.rep



AeAlbo_C636_6dpi_SINV2.24_35.rep

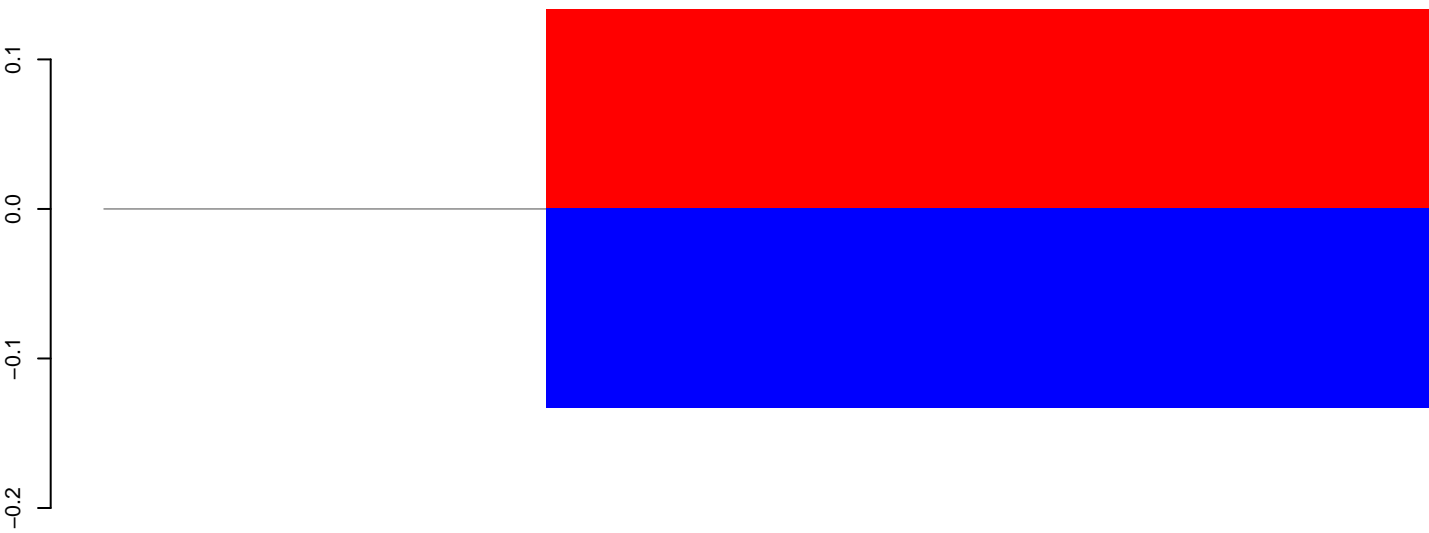


AeAlbo_C636_6dpi_SINV2.rep



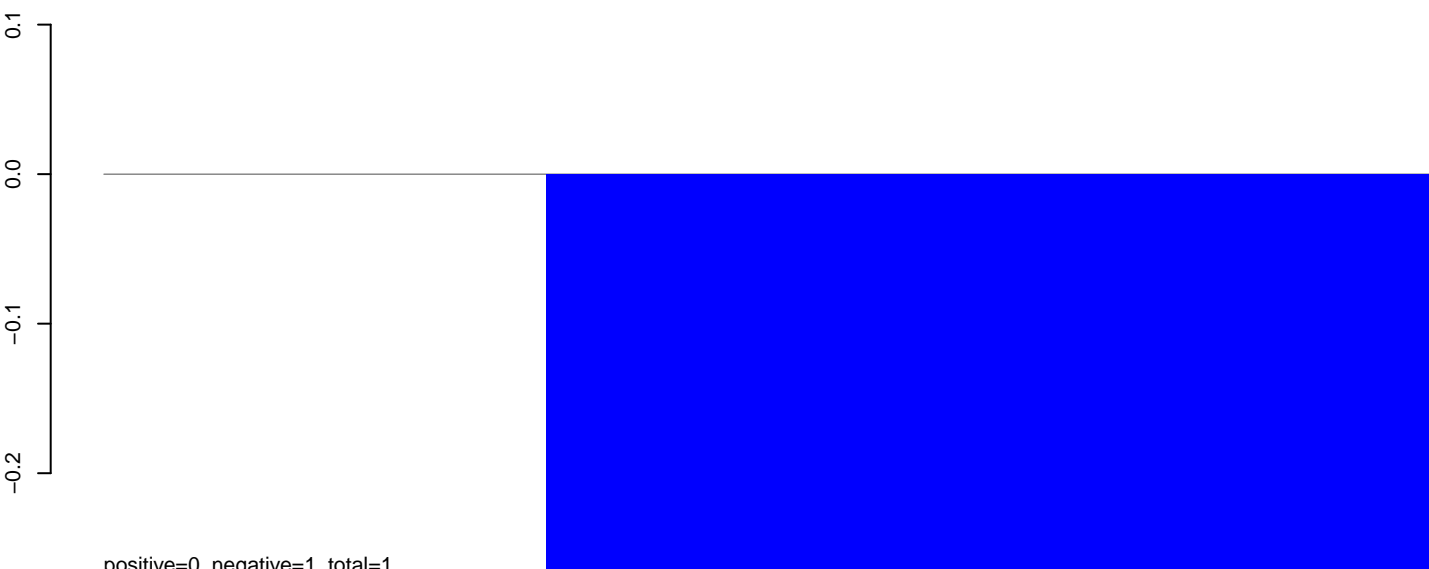
40 60 80 100

AeAlbo_C636_6dpi_SINV2.18_23.rep



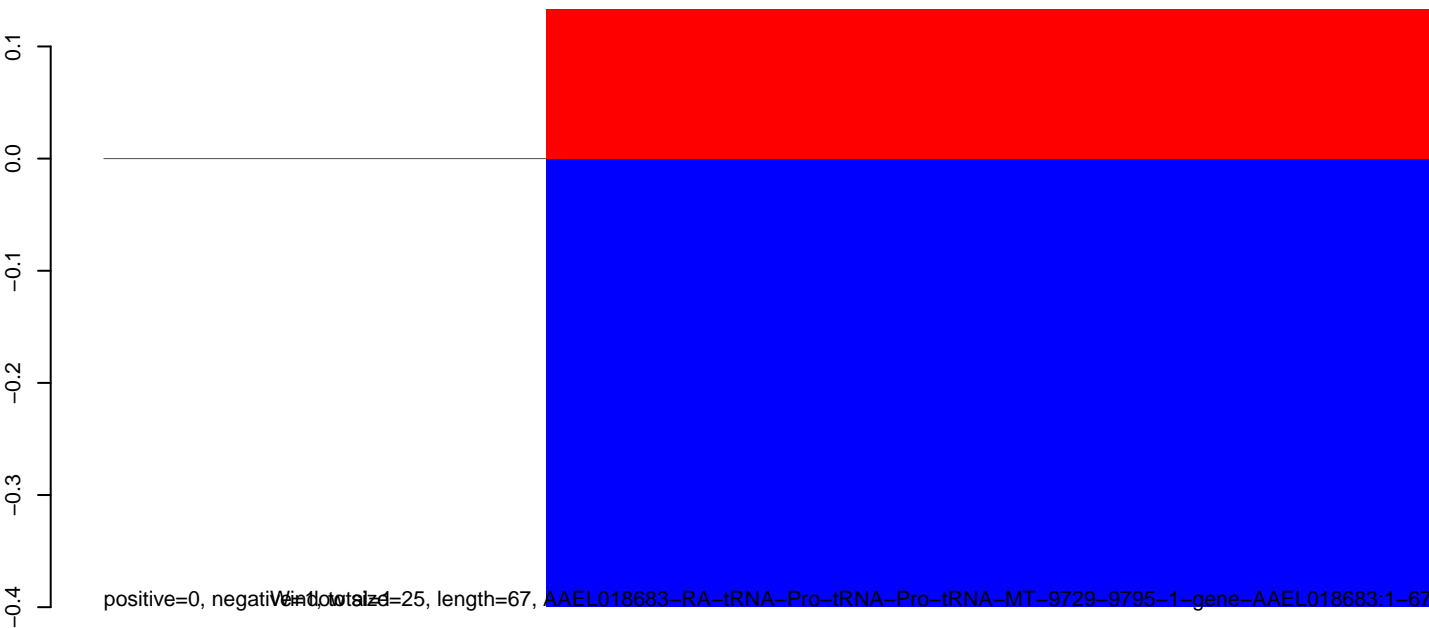
positive=0, negative=0, total=1

AeAlbo_C636_6dpi_SINV2.24_35.rep



positive=0, negative=1, total=1

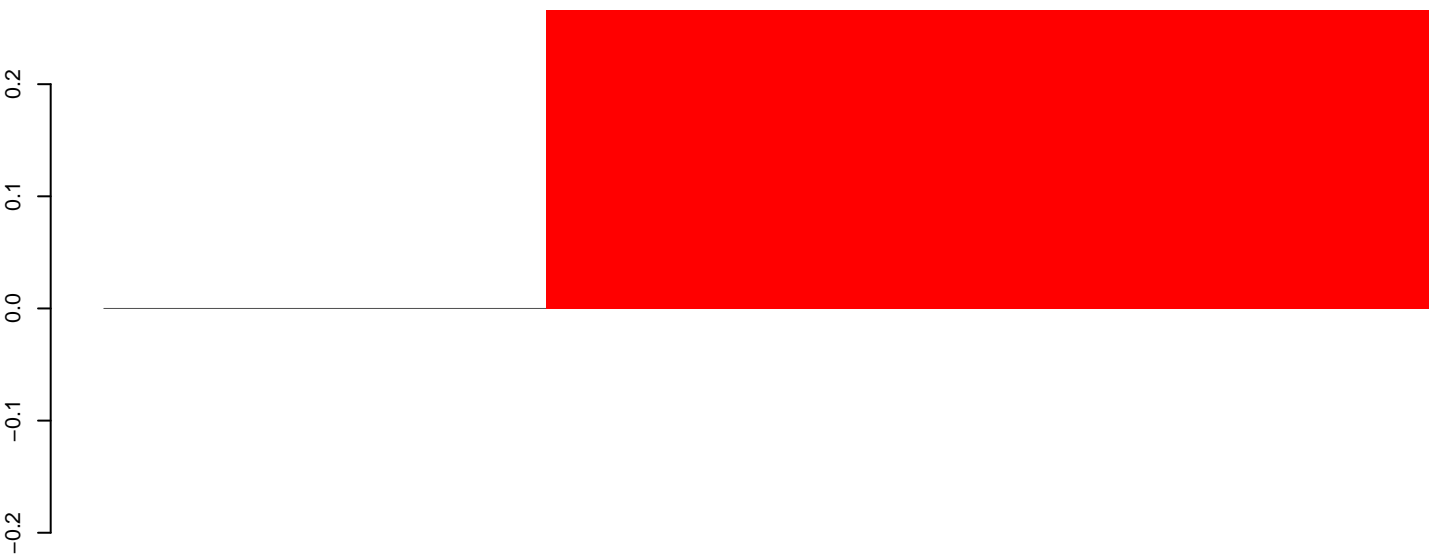
AeAlbo_C636_6dpi_SINV2.rep



positive=0, negative=1, total=25, length=67, AAEL018683-RA-tRNA-Pro-tRNA-Pro-tRNA-MT-9729-9795-1-gene-AAEL018683:1-67

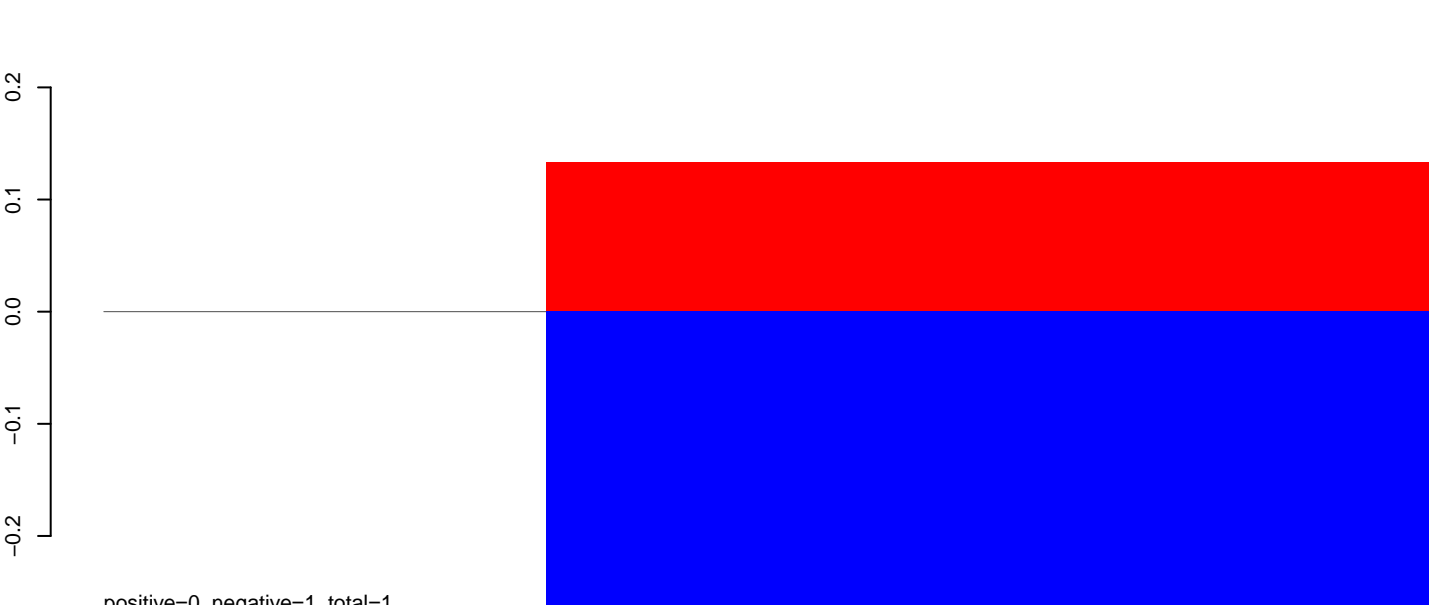
40 60 80 100

AeAlbo_C636_6dpi_SINV2.18_23.rep



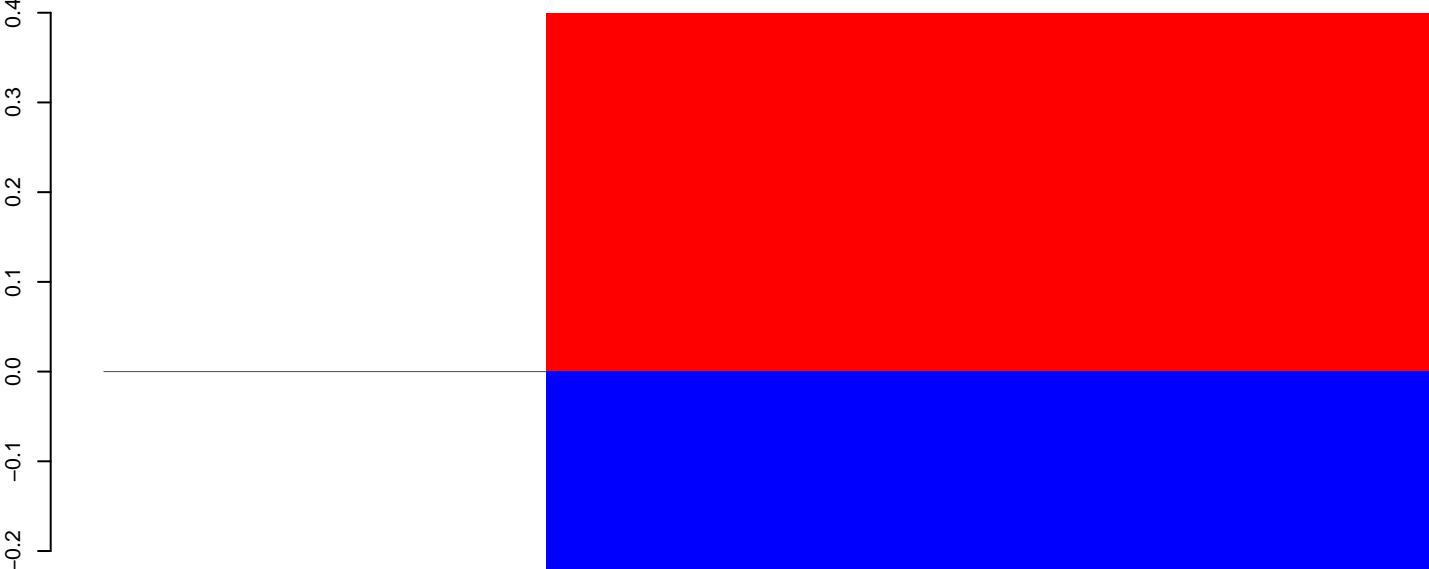
positive=1, negative=0, total=1

AeAlbo_C636_6dpi_SINV2.24_35.rep



positive=0, negative=1, total=1

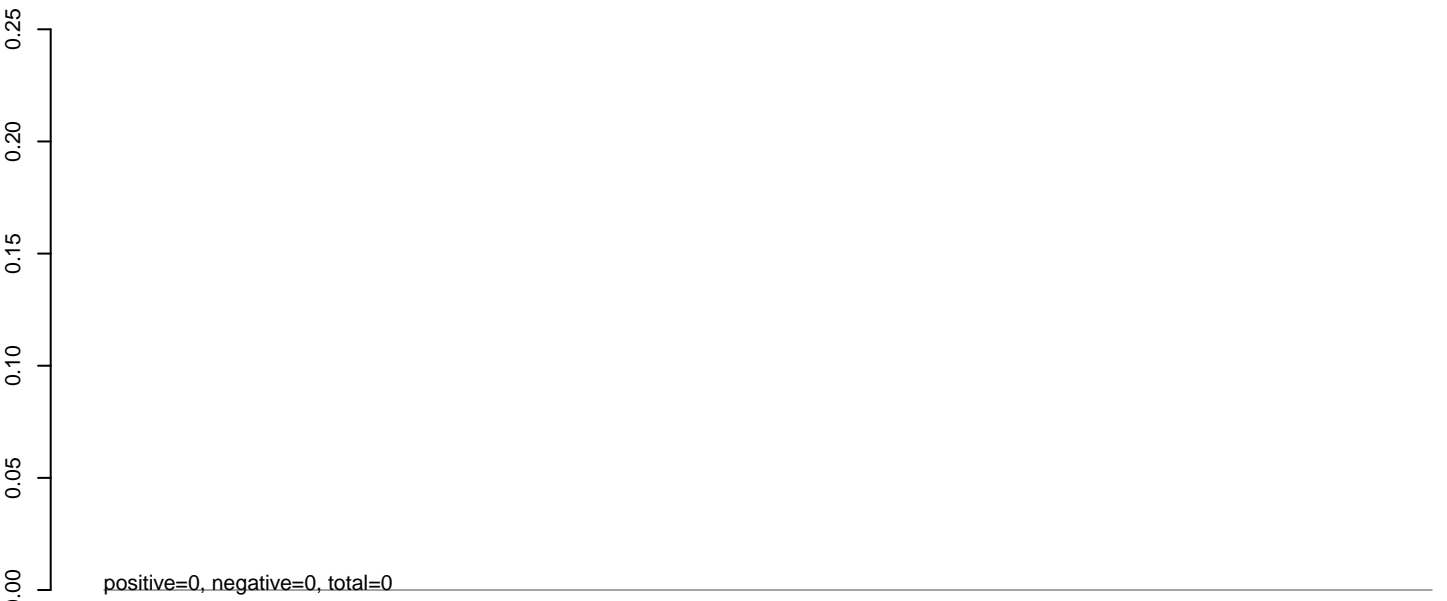
AeAlbo_C636_6dpi_SINV2.rep



positive=1, negative=1, total=2, length=67, AAEL018677-RA-tRNA-Phe-tRNA-Phe-tRNA-MT-6139-6205-1-gene-AAEL018677:1-67

40 60 80 100

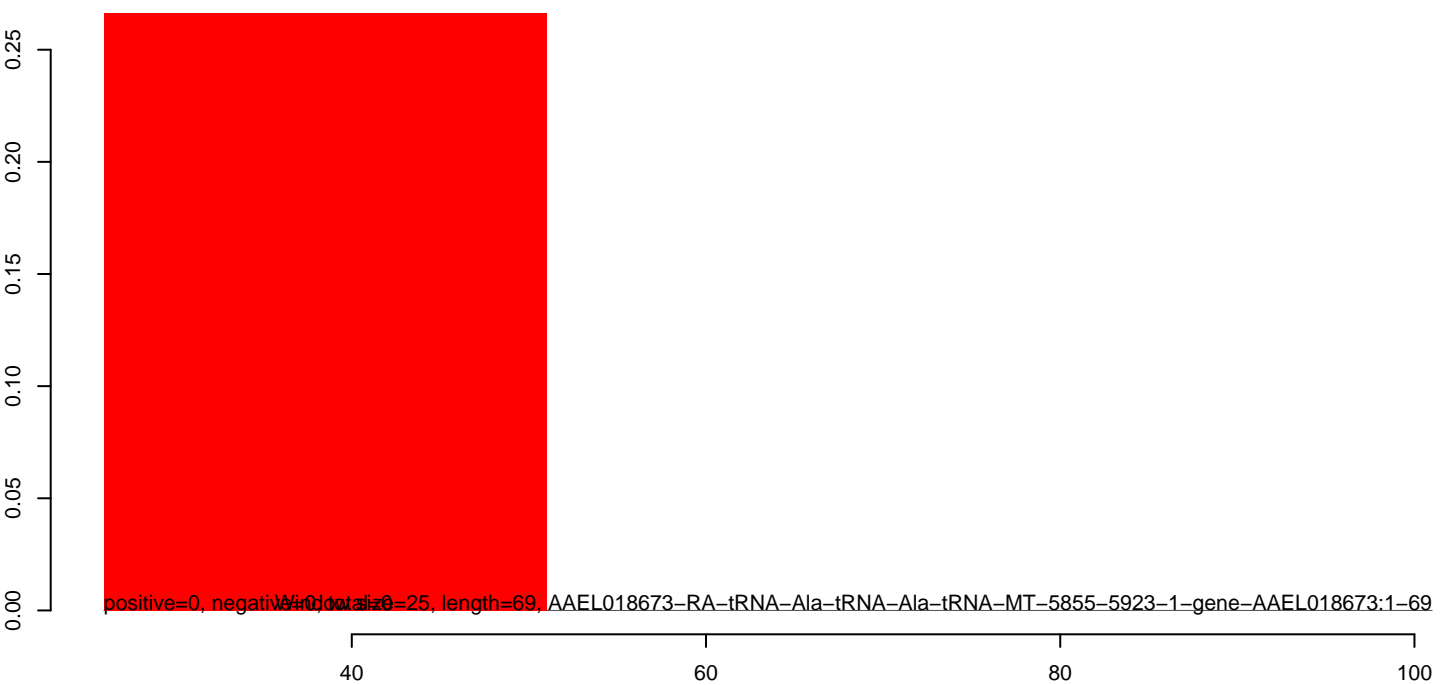
AeAlbo_C636_6dpi_SINV2.18_23.rep



AeAlbo_C636_6dpi_SINV2.24_35.rep



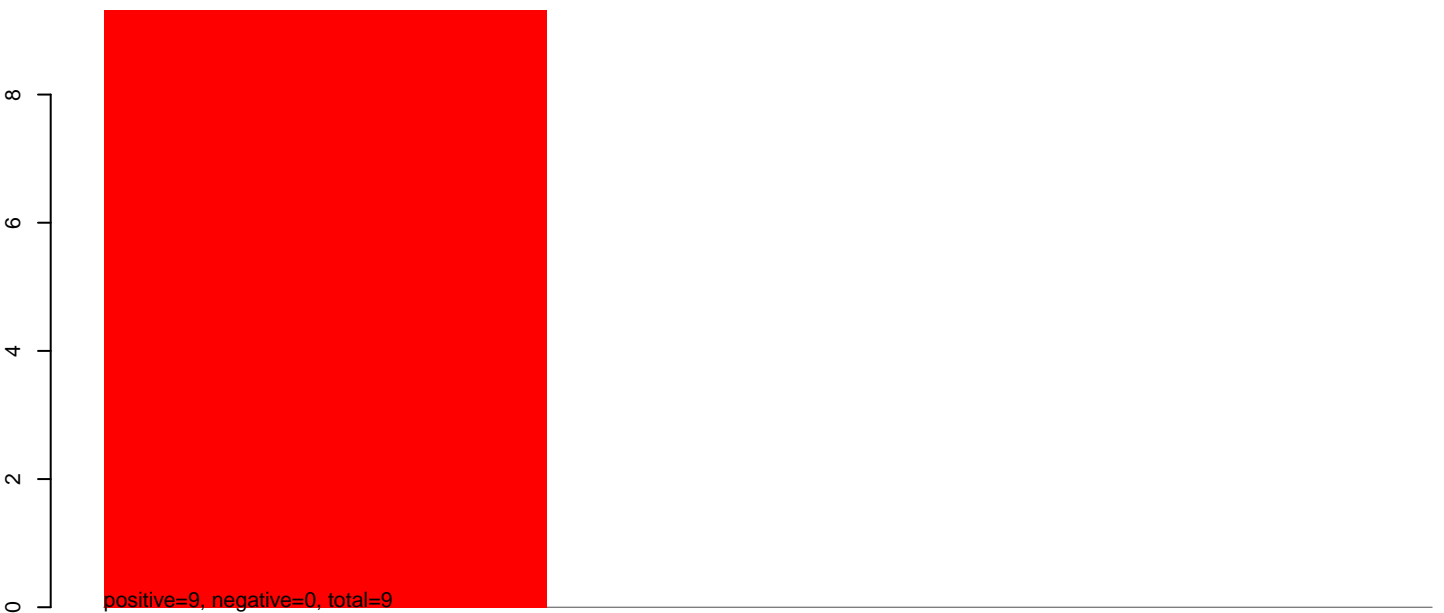
AeAlbo_C636_6dpi_SINV2.rep



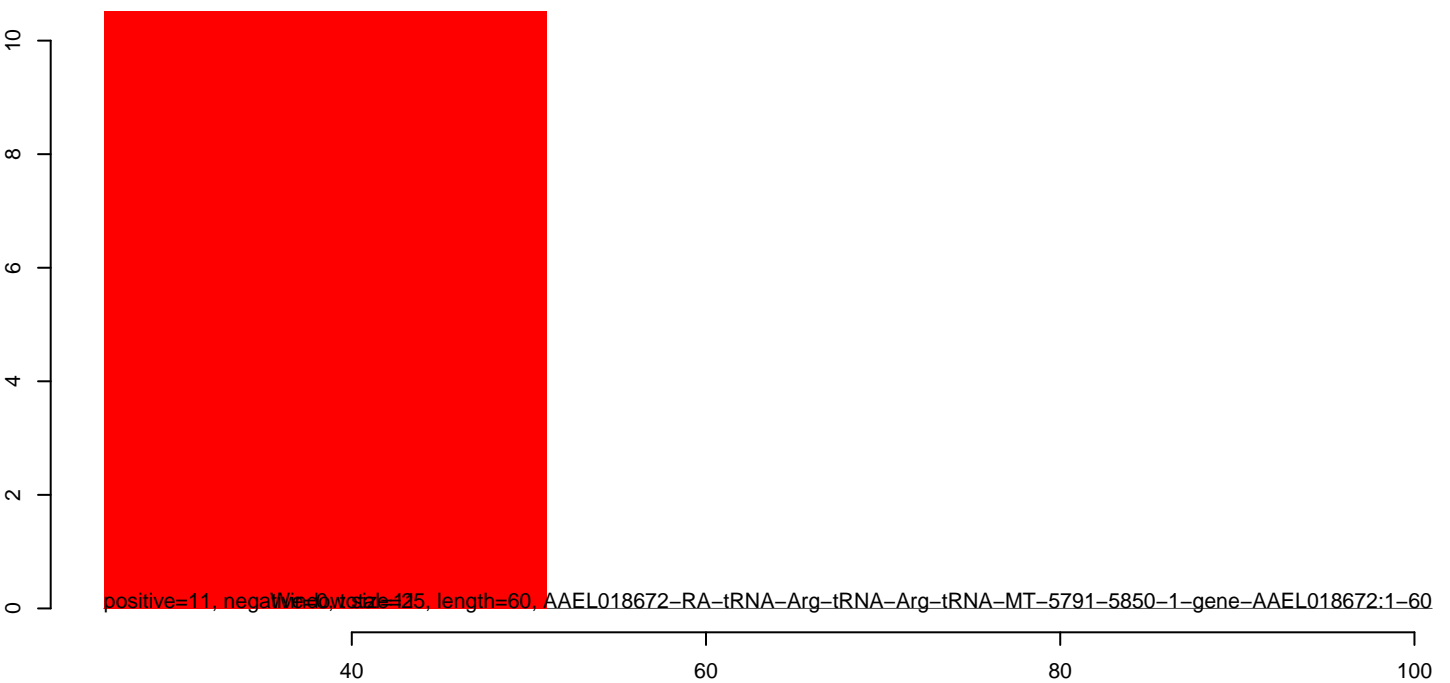
AeAlbo_C636_6dpi_SINV2.18_23.rep



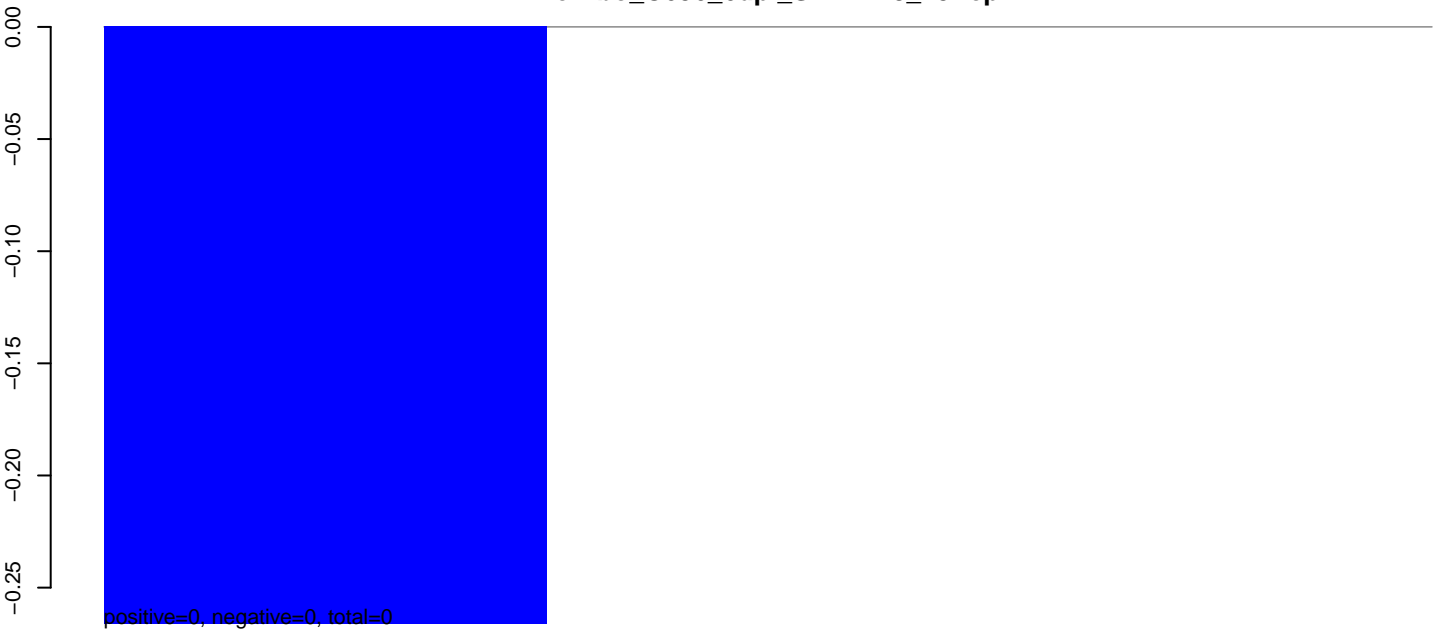
AeAlbo_C636_6dpi_SINV2.24_35.rep



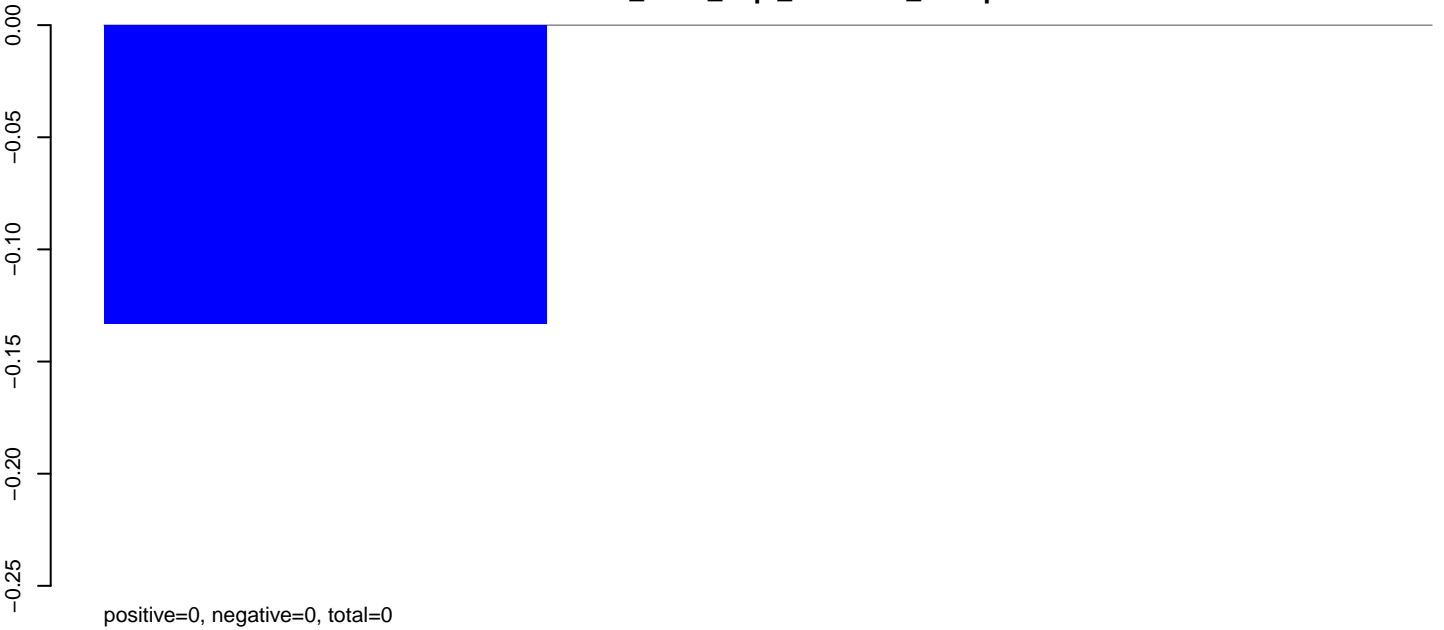
AeAlbo_C636_6dpi_SINV2.rep



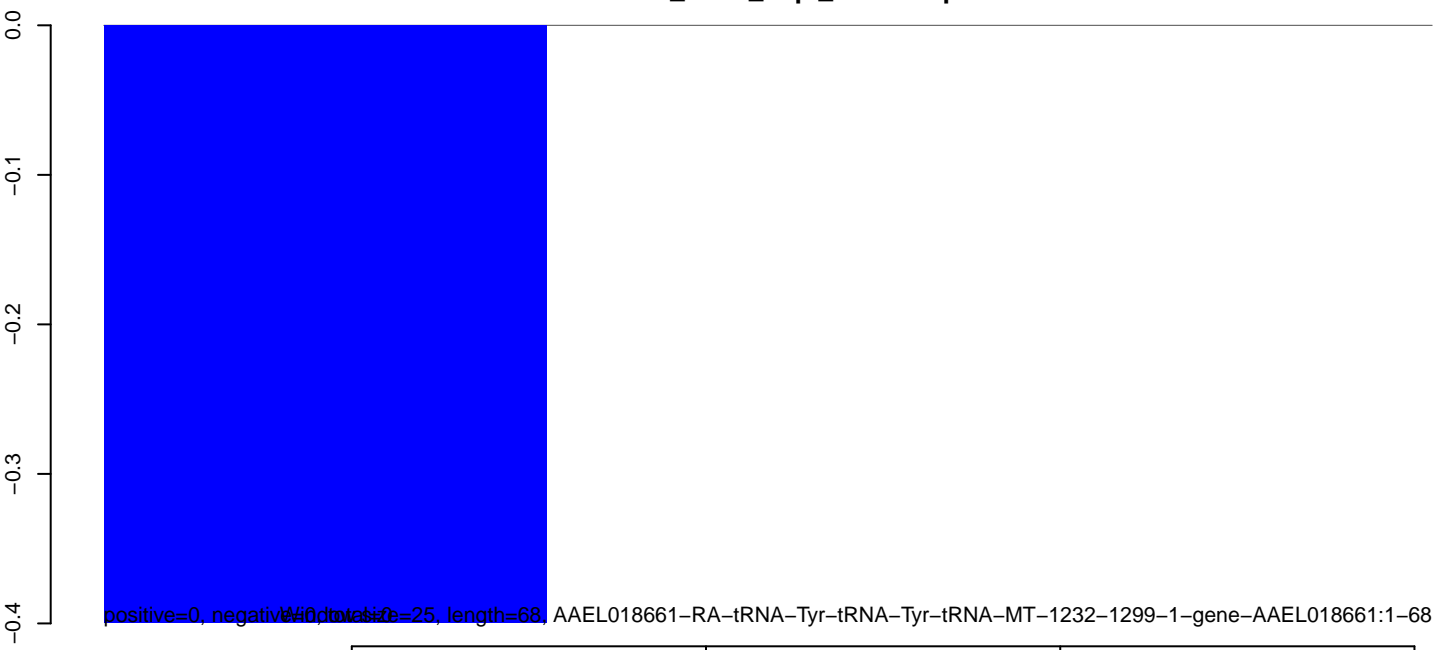
AeAlbo_C636_6dpi_SINV2.18_23.rep



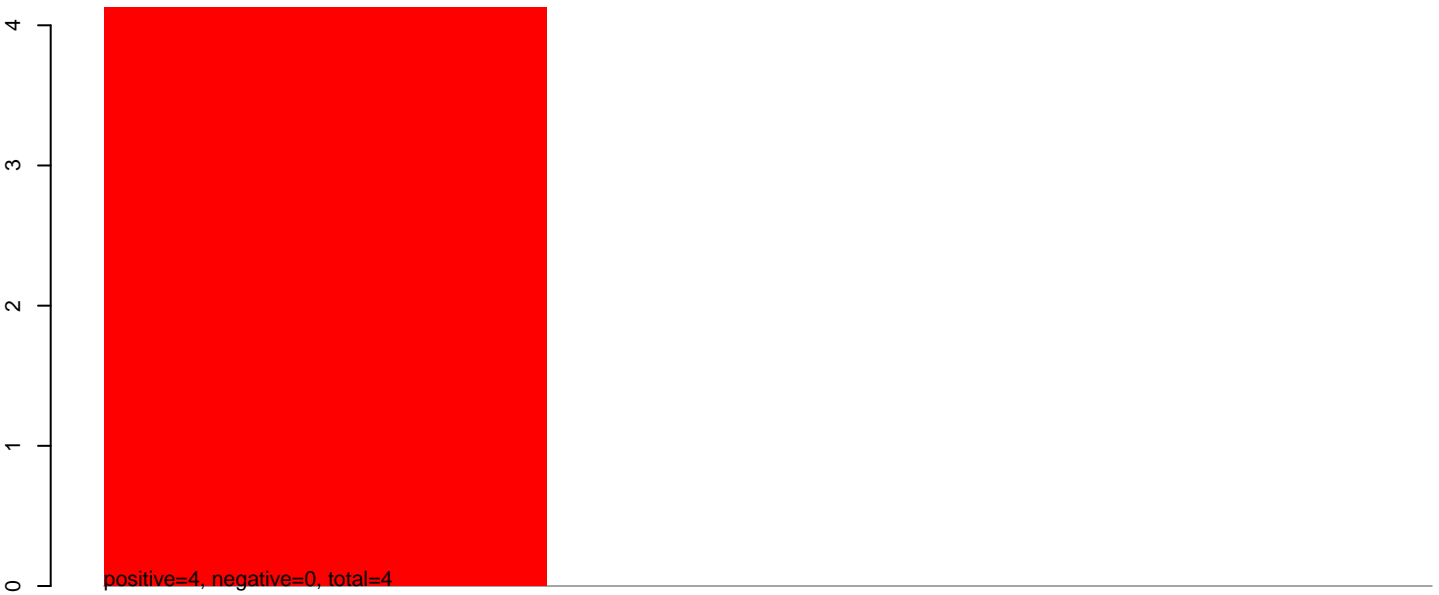
AeAlbo_C636_6dpi_SINV2.24_35.rep



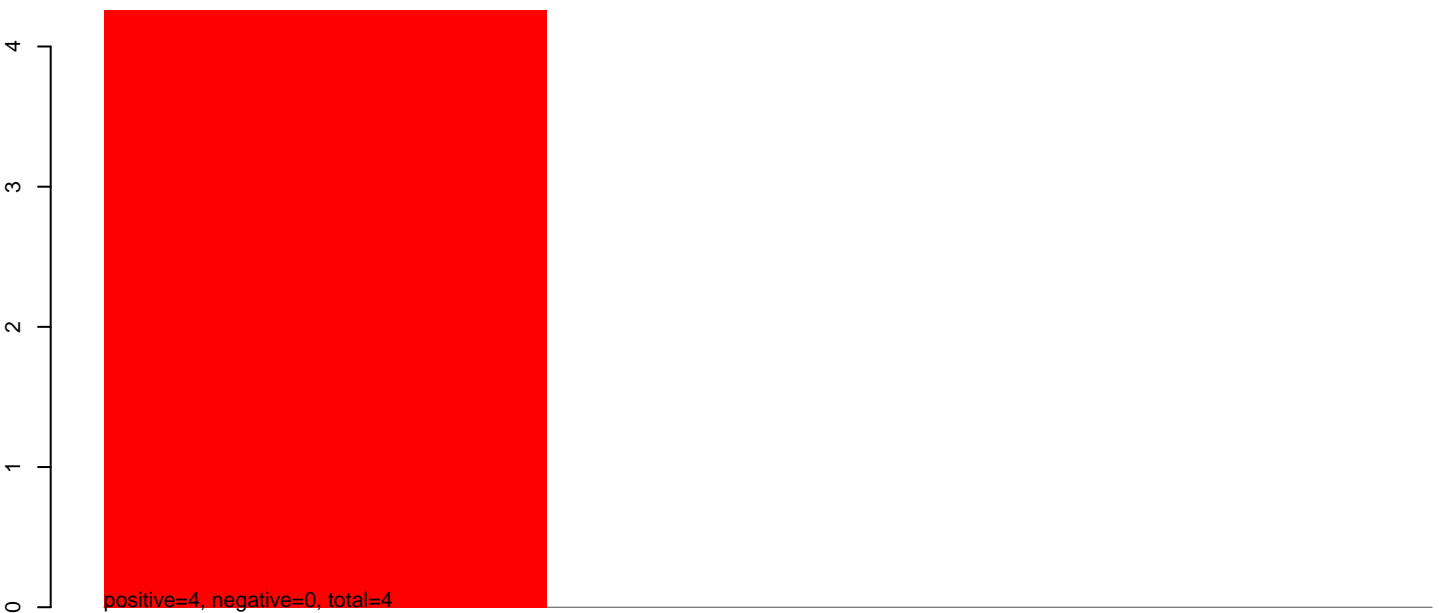
AeAlbo_C636_6dpi_SINV2.rep



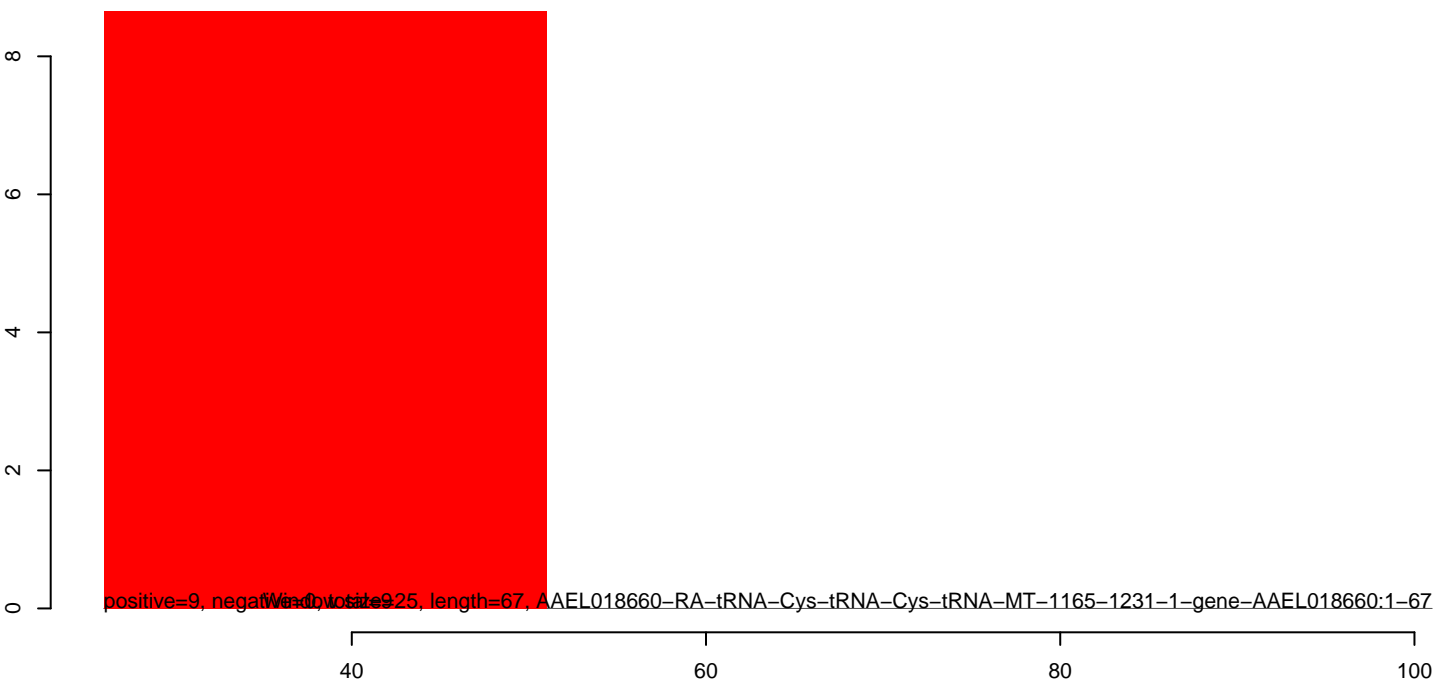
AeAlbo_C636_6dpi_SINV2.18_23.rep



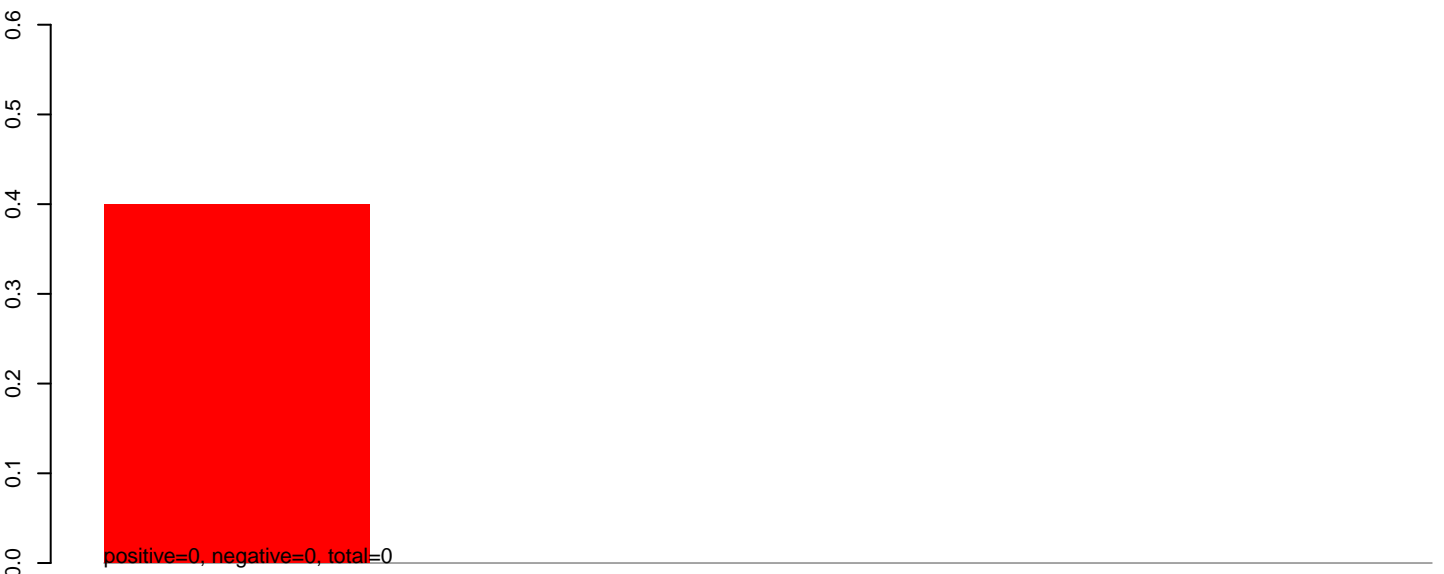
AeAlbo_C636_6dpi_SINV2.24_35.rep



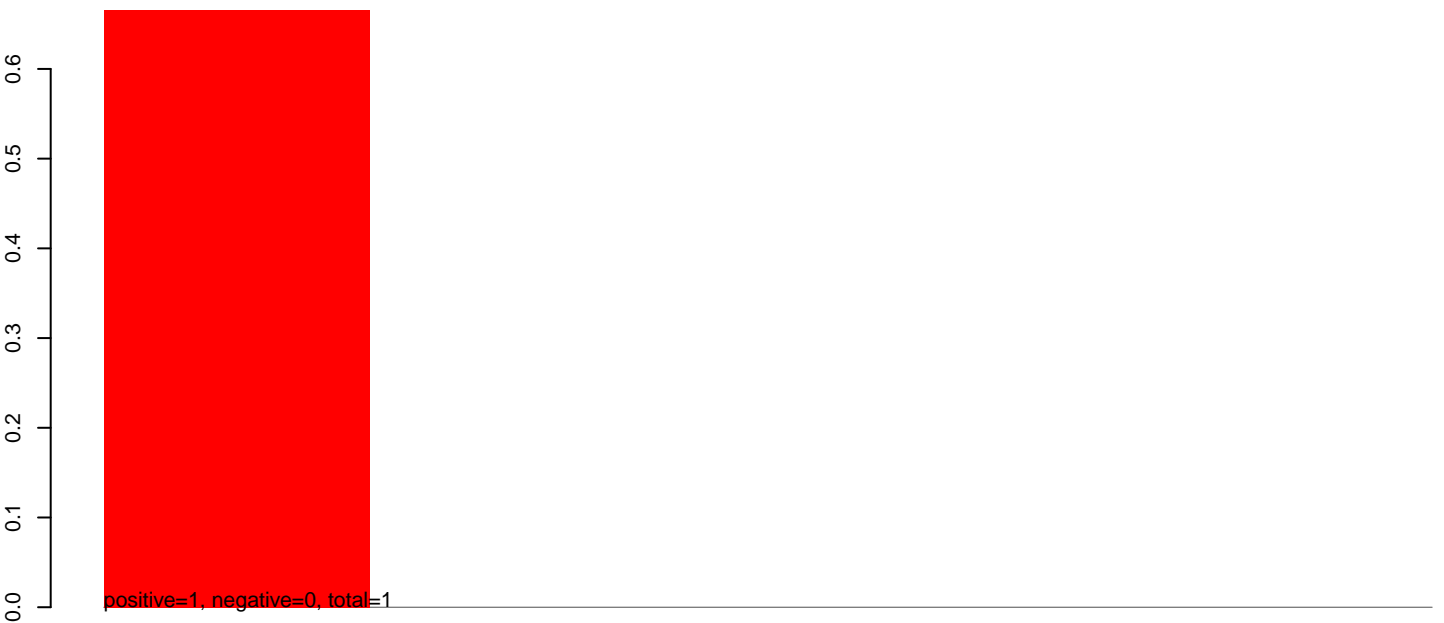
AeAlbo_C636_6dpi_SINV2.rep



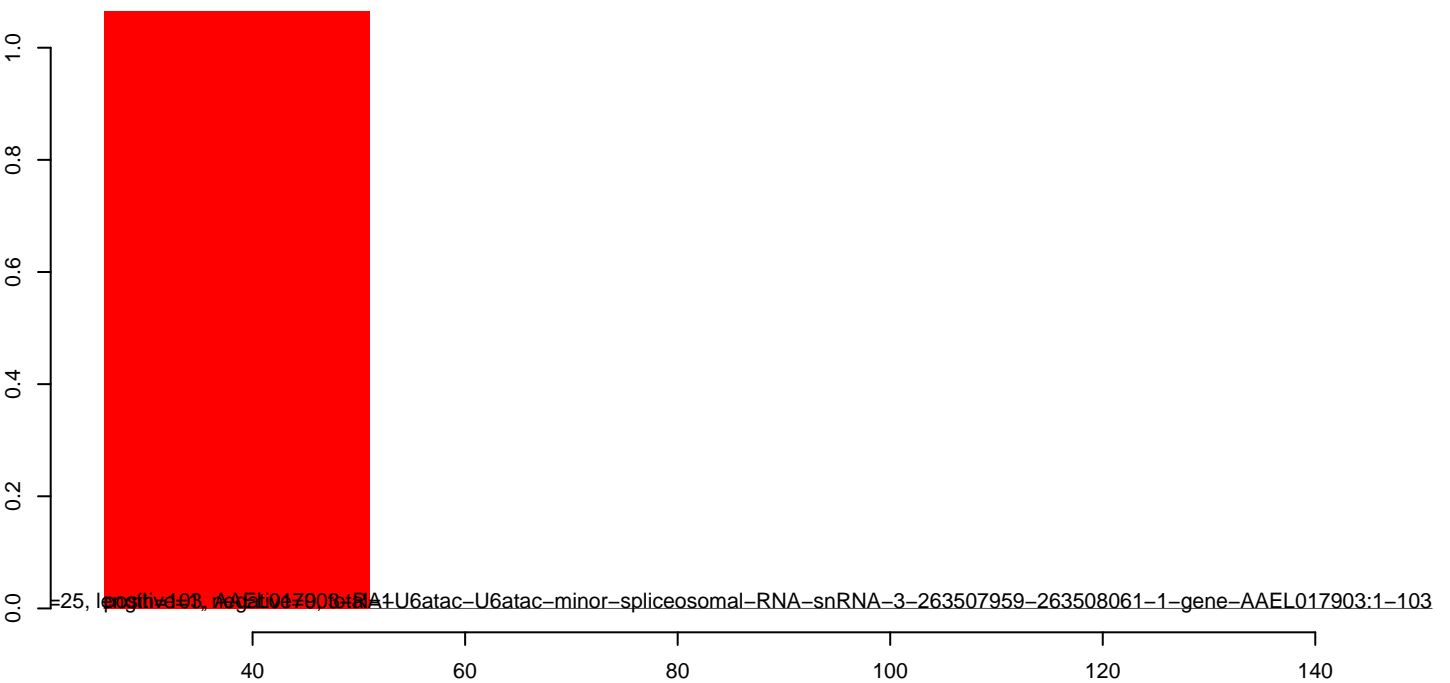
AeAlbo_C636_6dpi_SINV2.18_23.rep



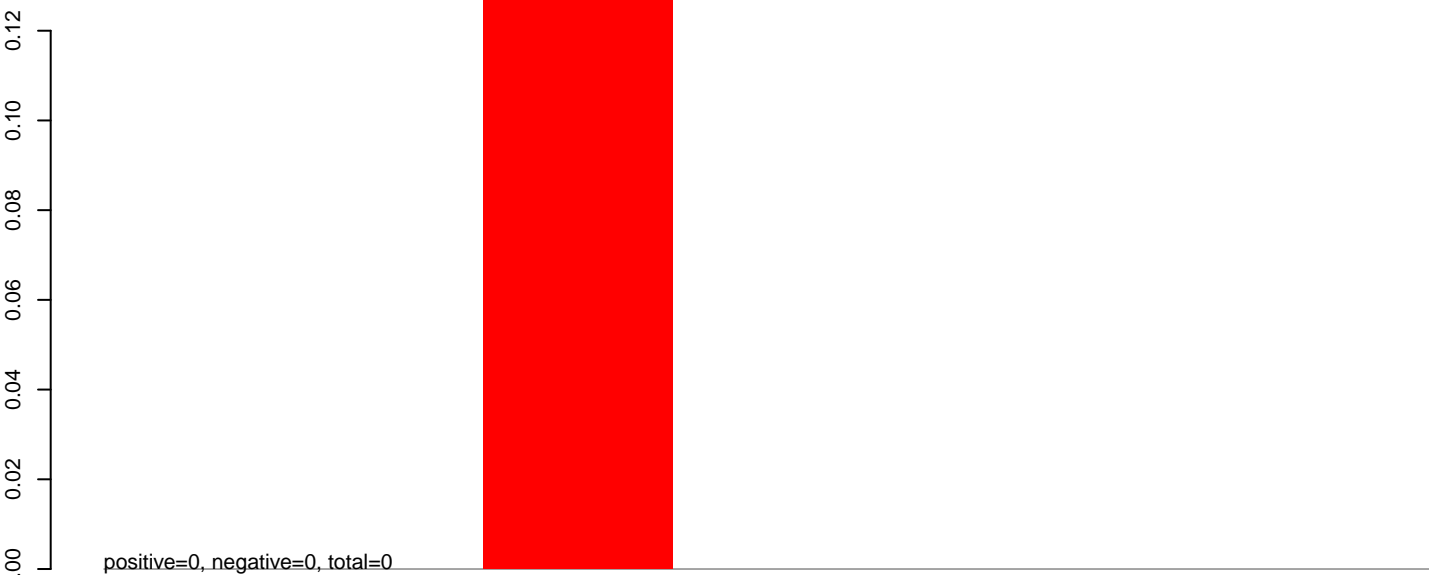
AeAlbo_C636_6dpi_SINV2.24_35.rep



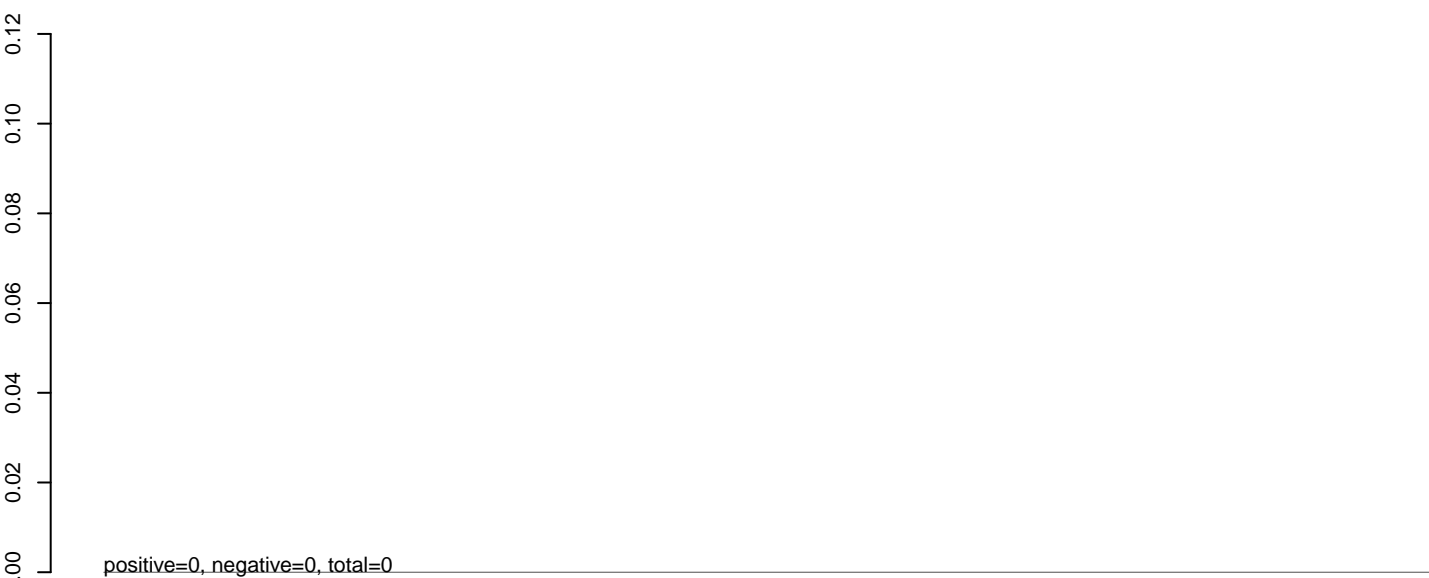
AeAlbo_C636_6dpi_SINV2.rep



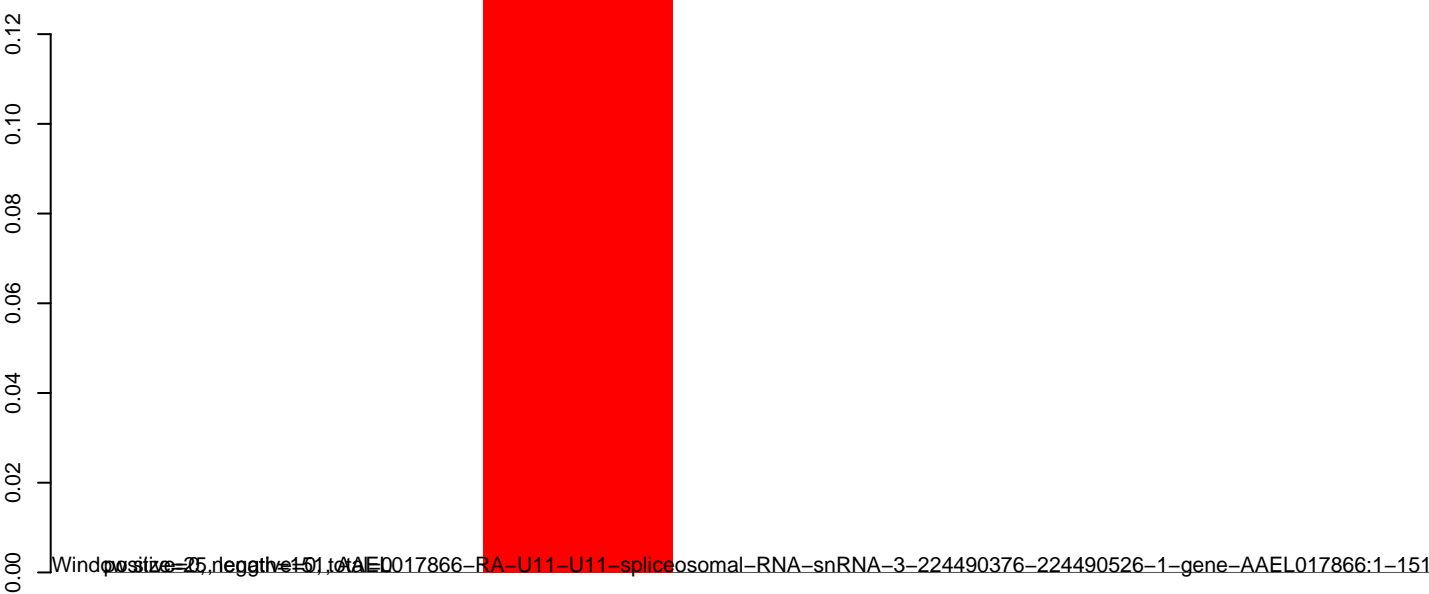
AeAlbo_C636_6dpi_SINV2.18_23.rep



AeAlbo_C636_6dpi_SINV2.24_35.rep



AeAlbo_C636_6dpi_SINV2.rep



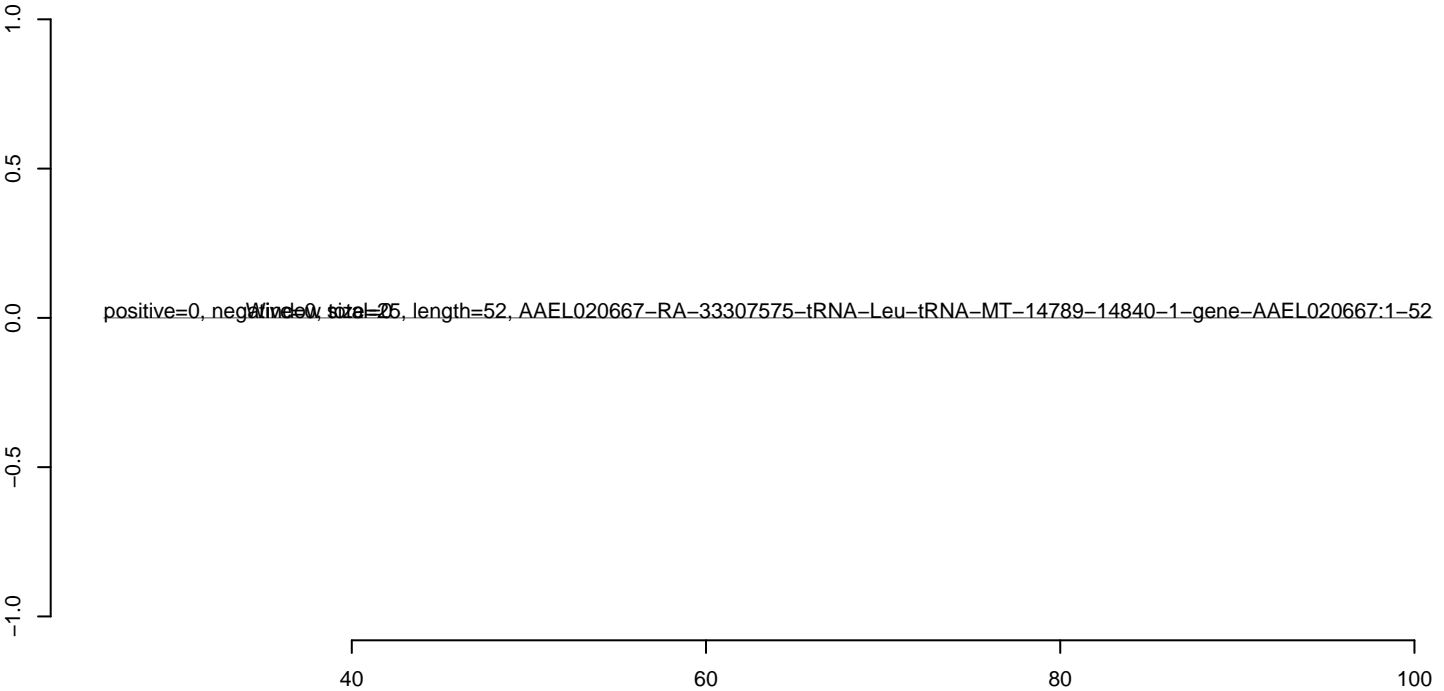
AeAlbo_C636_6dpi_SINV2.18_23.rep



AeAlbo_C636_6dpi_SINV2.24_35.rep



AeAlbo_C636_6dpi_SINV2.rep



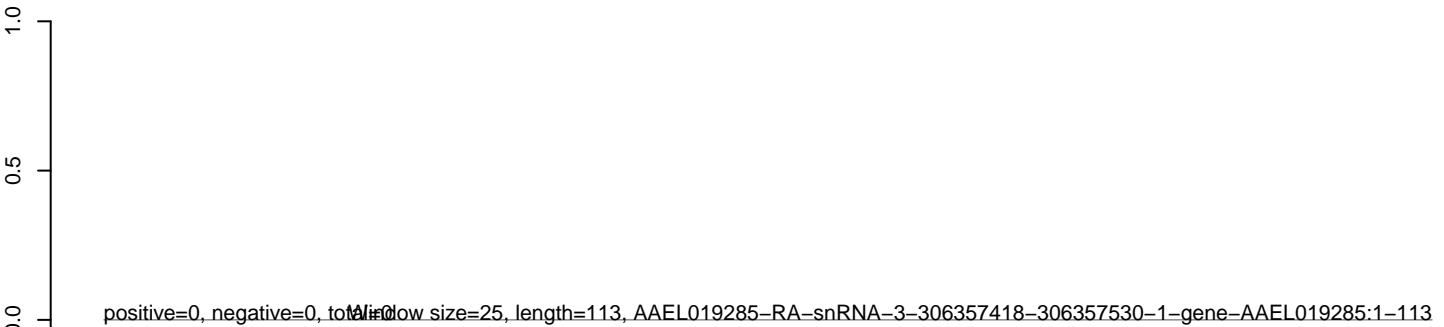
AeAlbo_C636_6dpi_SINV2.18_23.rep



AeAlbo_C636_6dpi_SINV2.24_35.rep



AeAlbo_C636_6dpi_SINV2.rep



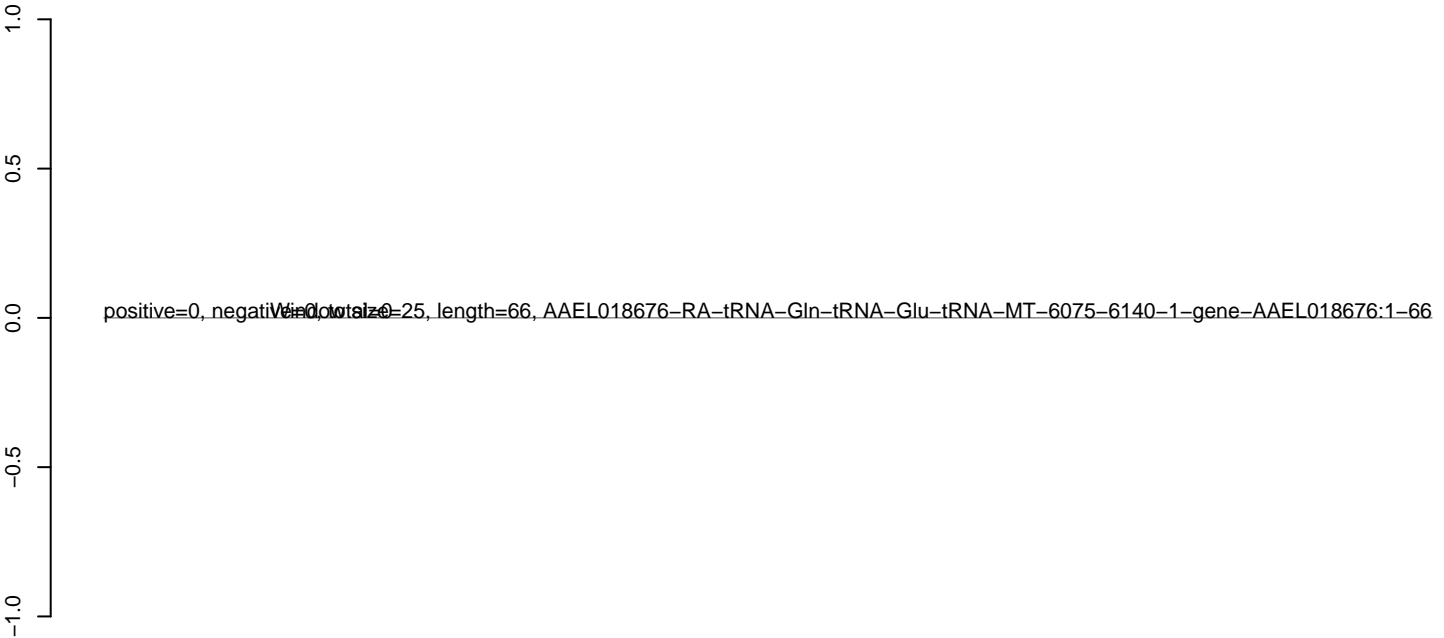
AeAlbo_C636_6dpi_SINV2.18_23.rep



AeAlbo_C636_6dpi_SINV2.24_35.rep



AeAlbo_C636_6dpi_SINV2.rep



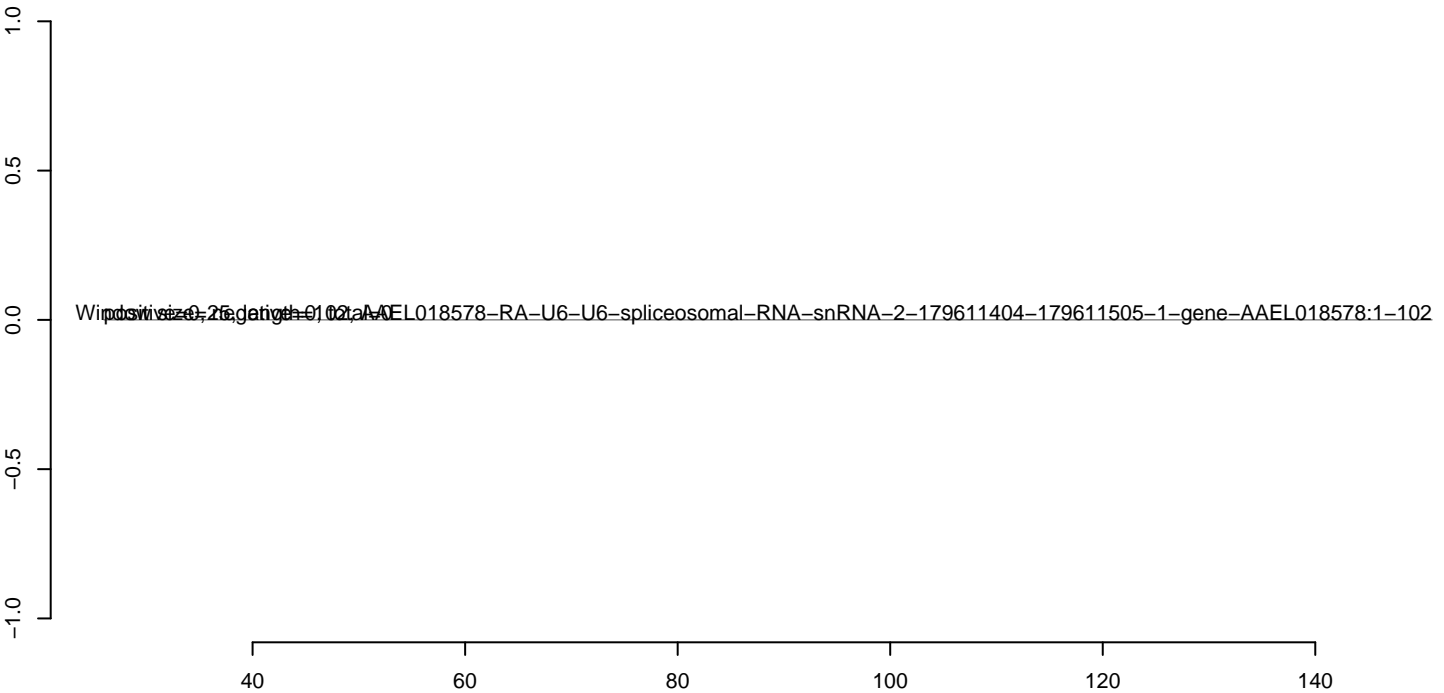
AeAlbo_C636_6dpi_SINV2.18_23.rep



AeAlbo_C636_6dpi_SINV2.24_35.rep



AeAlbo_C636_6dpi_SINV2.rep



AeAlbo_C636_6dpi_SINV2.18_23.rep



AeAlbo_C636_6dpi_SINV2.24_35.rep



AeAlbo_C636_6dpi_SINV2.rep

